

COMMITTENTE:



PROGETTAZIONE:



**DIRETTRICE FERROVIARIA MESSINA - CATANIA - PALERMO**

**NUOVO COLLEGAMENTO PALERMO - CATANIA**

**U.O. INFRASTRUTTURE SUD**

**PROGETTO DEFINITIVO**

**TRATTA LERCARA DIR. - CALTANISSETTA XIRBI (LOTTO 3)**

Opere di sostegno piazzali - Lotto 3b

PT56: Muro di controripa MU96B

Relazione di calcolo

SCALA:

-

COMMESSA    LOTTO    FASE    ENTE    TIPO DOC.    OPERA/DISCIPLINA    PROGR.    REV.

RS3T    30    D    78    CL    MU96B0    001    B

Rev.	Descrizione	Redatto	Data	Verificato	Data	Approvato	Data	Autorizzato Data
A	Emissione Esecutiva	ATI Sintagma Rocksoll - Edin	Feb-2020	M.Salleolini 	Feb-2020	A.Barreca 	Feb-2020	D.Tiberti Apr-2020
B	Emissione Esecutiva	ATI Sintagma Rocksoll - Edin	Apr-2020	M.Salleolini 	Apr-2020	A.Barreca 	Apr-2020	

ITA RFI SpA  
 Direzione Generale  
 UO Infrastrutture Sud  
 Dott. Ing. Paolo Tiberti  
 Ordine degli Ingegneri Prov. di Napoli n. 11878

 <b>ITALFERR</b> GRUPPO FERROVIE DELLO STATO ITALIANE	<b>DIRETTRICE FERROVIARIA MESSINA – CATANIA – PALERMO</b> <b>NUOVO COLLEGAMENTO PALERMO – CATANIA</b> <b>TRATTA VALLELUNGA – CALTANISSETTA XIRBI (LOTTO 3b)</b> <b>OPERE DI SOSTEGNO PIAZZALI – LOTTO 3B</b>					
	PT56: MURO DI CONTRORIPA MU96B RELAZIONE DI CALCOLO	COMMESSA RS3T	LOTTO 30 D 78	CODIFICA CL	DOCUMENTO MU96B0 001	REV. B

## INDICE

1.	PREMESSA.....	7
1.1	DESCRIZIONE DELL'OPERA .....	7
2.	NORMATIVA DI RIFERIMENTO.....	11
3.	DOCUMENTI DI RIFERIMENTO.....	11
4.	UNITÀ DI MISURA E SIMBOLOGIA.....	12
5.	CARATTERISTICHE DEI MATERIALI.....	13
5.1	CALCESTRUZZO.....	13
5.2	ACCIAIO IN BARRE AD ADERENZA MIGLIORATA B450 C.....	17
6.	INQUADRAMENTO GEOTECNICO .....	18
7.	CRITERI DI VERIFICA – MURI DI SOSTEGNO.....	20
7.1	VERIFICHE GEOTECNICHE (SLU) IN CONDIZIONI STATICHE.....	20
7.1.1	VERIFICA A SCORRIMENTO.....	22
7.1.2	VERIFICA A RIBALTAMENTO.....	23
7.1.3	VERIFICA A CARICO LIMITE DELLA FONDAZIONE.....	23
7.1.4	VERIFICA A STABILITÀ GLOBALE .....	23
7.2	VERIFICHE GEOTECNICHE (SLV) IN CONDIZIONI SISMICHE .....	24
7.3	VERIFICHE GEOTECNICHE (SLE).....	26
7.4	VERIFICHE GEOTECNICHE - URTO .....	27
7.5	VERIFICHE STRUTTURALI SLU.....	28
7.5.1	CRITERI DI VERIFICA DELLE SEZIONI IN C.A.....	28
7.5.2	VERIFICHE PER GLI STATI LIMITE ULTIMI A FLESSIONE - PRESSOFLESSIONE.....	28
7.5.3	VERIFICA AGLI STATI LIMITE ULTIMI A TAGLIO.....	28
7.6	VERIFICHE STRUTTURALI SLE .....	30
7.6.1	VERIFICHE ALLE TENSIONI.....	30
7.6.2	VERIFICHE A FESSURAZIONE.....	31
8.	CRITERI DI VERIFICA – PARATIE .....	33

 <b>ITALFERR</b> GRUPPO FERROVIE DELLO STATO ITALIANE	<b>DIRETTRICE FERROVIARIA MESSINA – CATANIA – PALERMO</b> <b>NUOVO COLLEGAMENTO PALERMO – CATANIA</b> <b>TRATTA VALLELUNGA – CALTANISSETTA XIRBI (LOTTO 3b)</b> <b>OPERE DI SOSTEGNO PIAZZALI – LOTTO 3B</b>					
	PT56: MURO DI CONTRORIPA MU96B RELAZIONE DI CALCOLO	COMMESSA RS3T	LOTTO 30 D 78	CODIFICA CL	DOCUMENTO MU96B0 001	REV. B

8.1	VERIFICHE GEOTECNICHE (SLU) IN CONDIZIONI STATICHE.....	33
8.2	VERIFICHE GEOTECNICHE SLV (CONDIZIONI SISMICHE) .....	33
9.	ANALISI DEI CARICHI .....	35
9.1	PESI PROPRI .....	35
9.2	CARICHI PERMANENTI .....	38
9.2.1	<i>PARAPETTO METALLICO</i> .....	38
9.2.2	<i>BARRIERA DI SICUREZZA</i> .....	38
9.2.3	<i>SPINTA DEL TERRENO</i> .....	38
9.3	CARICHI VARIABILI .....	40
9.3.1	<i>CARICHI MOBILI DA TRAFFICO</i> .....	40
9.4	VALUTAZIONE DELL' AZIONE SISMICA .....	41
9.4.1	<i>VITA NOMINALE</i> .....	41
9.4.2	<i>CLASSE D'USO</i> .....	41
9.4.3	<i>PERIODO DI RIFERIMENTO</i> .....	41
9.4.4	<i>PARAMETRI SISMICI</i> .....	41
9.5	COMBINAZIONI DI CARICO .....	46
10.	PROGETTO E VERIFICA DEL MURO DI CONTRORIPA “TIPO 0” .....	50
10.1	DATI DI INPUT .....	50
10.2	CALCOLO DELLE AZIONI.....	53
10.2.1	<i>FORZE VERTICALI E INERZIALI</i> .....	53
10.2.2	<i>SPINTE IN CONDIZIONE STATICA</i> .....	55
10.2.3	<i>SPINTE IN CONDIZIONE SISMICA +</i> .....	56
10.2.4	<i>SPINTE IN CONDIZIONE SISMICA -</i> .....	57
10.3	VERIFICHE GEOTECNICHE .....	58
10.3.1	<i>VERIFICA STATICA A RIBALTAMENTO, SCORRIMENTO E CARICO LIMITE VERTICALE - C. DRENATE</i> .....	58
10.3.2	<i>VERIFICA SISMICA A RIBALTAMENTO, SCORRIMENTO E CARICO LIMITE VERTICALE - C. DRENATE</i> .....	60

 <b>ITALFERR</b> GRUPPO FERROVIE DELLO STATO ITALIANE	<b>DIRETTRICE FERROVIARIA MESSINA – CATANIA – PALERMO</b> <b>NUOVO COLLEGAMENTO PALERMO – CATANIA</b> <b>TRATTA VALLELUNGA – CALTANISSETTA XIRBI (LOTTO 3b)</b> <b>OPERE DI SOSTEGNO PIAZZALI – LOTTO 3B</b>					
	PT56: MURO DI CONTRORIPA MU96B RELAZIONE DI CALCOLO	COMMESSA RS3T	LOTTO 30 D 78	CODIFICA CL	DOCUMENTO MU96B0 001	REV. B

10.3.3	VERIFICA DI STABILITÀ GLOBALE – COND. DRENATE.....	64
10.3.4	VERIFICA STATICA A RIBALTAMENTO, SCORRIMENTO E CARICO LIMITE VERTICALE - C. NON DRENATE .....	68
10.3.5	VERIFICA SISMICA A RIBALTAMENTO, SCORRIMENTO E CARICO LIMITE VERTICALE - C. NON DRENATE .....	70
10.3.6	VERIFICA DI STABILITÀ GLOBALE – COND. NON DRENATE .....	74
10.4	VERIFICHE STRUTTURALI.....	78
10.4.1	CALCOLO DELLE SOLLECITAZIONI.....	78
10.4.2	VERIFICHE SLU .....	80
10.4.3	VERIFICHE SLE TENSIONE.....	82
10.4.4	VERIFICHE SLE FESSURAZIONE.....	83
11.	PROGETTO E VERIFICA DEL MURO DI CONTRORIPA “TIPO 1” .....	84
11.1	DATI DI INPUT .....	84
11.2	CALCOLO DELLE AZIONI.....	87
11.2.1	FORZE VERTICALI E INERZIALI.....	87
11.2.2	SPINTE IN CONDIZIONE STATICA .....	89
11.2.3	SPINTE IN CONDIZIONE SISMICA +.....	90
11.2.4	SPINTE IN CONDIZIONE SISMICA - .....	91
11.3	VERIFICHE GEOTECNICHE .....	92
11.3.1	VERIFICA STATICA A RIBALTAMENTO, SCORRIMENTO E CARICO LIMITE VERTICALE - C. DRENATE.....	92
11.3.2	VERIFICA SISMICA A RIBALTAMENTO, SCORRIMENTO E CARICO LIMITE VERTICALE - C. DRENATE.....	94
11.3.3	VERIFICA DI STABILITÀ GLOBALE – COND. DRENATE.....	98
11.3.4	VERIFICA STATICA A RIBALTAMENTO, SCORRIMENTO E CARICO LIMITE VERTICALE - C. NON DRENATE .....	102
11.3.5	VERIFICA SISMICA A RIBALTAMENTO, SCORRIMENTO E CARICO LIMITE VERTICALE - C. NON DRENATE .....	104
11.3.6	VERIFICA DI STABILITÀ GLOBALE – COND. NON DRENATE .....	108
11.4	VERIFICHE STRUTTURALI.....	112

11.4.1	CALCOLO DELLE SOLLECITAZIONI.....	112
11.4.2	VERIFICHE SLU .....	114
11.4.3	VERIFICHE SLE TENSIONE .....	116
11.4.4	VERIFICHE SLE FESSURAZIONE .....	117
12.	PROGETTO E VERIFICA DEL MURO DI CONTRORIPA “TIPO 2” .....	118
12.1	DATI DI INPUT .....	118
12.2	CALCOLO DELLE AZIONI.....	121
12.2.1	FORZE VERTICALI E INERZIALI.....	121
12.2.2	SPINTE IN CONDIZIONE STATICA .....	123
12.2.3	SPINTE IN CONDIZIONE SISMICA +.....	124
12.2.4	SPINTE IN CONDIZIONE SISMICA - .....	125
12.3	VERIFICHE GEOTECNICHE .....	126
12.3.1	VERIFICA STATICA A RIBALTAMENTO, SCORRIMENTO E CARICO LIMITE VERTICALE - C. DRENATE.....	126
12.3.2	VERIFICA SISMICA A RIBALTAMENTO, SCORRIMENTO E CARICO LIMITE VERTICALE - C. DRENATE.....	128
12.3.3	VERIFICA DI STABILITÀ GLOBALE – COND. DRENATE.....	132
12.3.4	VERIFICA STATICA A RIBALTAMENTO, SCORRIMENTO E CARICO LIMITE VERTICALE - C. NON DRENATE .....	136
12.3.5	VERIFICA SISMICA A RIBALTAMENTO, SCORRIMENTO E CARICO LIMITE VERTICALE - C. NON DRENATE .....	138
12.3.6	VERIFICA DI STABILITÀ GLOBALE – COND. NON DRENATE.....	142
12.4	VERIFICHE STRUTTURALI.....	146
12.4.1	CALCOLO DELLE SOLLECITAZIONI.....	146
12.4.2	VERIFICHE SLU .....	148
12.4.3	VERIFICHE SLE TENSIONE .....	150
12.4.4	VERIFICHE SLE FESSURAZIONE .....	151
13.	PROGETTO E VERIFICA DELLA PARATIA “TIPO 1” .....	152
13.1	DATI DI INPUT .....	152

13.2	FASI DI CALCOLO.....	152
13.3	RISULTATI DELLE ANALISI.....	154
13.4	VERIFICHE GEOTECNICHE .....	156
13.4.1	VERIFICHE SLE.....	156
13.4.2	VERIFICA DI STABILITÀ GLOBALE.....	157
13.5	VERIFICHE STRUTTURALI.....	158

## 1. PREMESSA

Il presente documento si inserisce nell'ambito della redazione degli elaborati tecnici di progetto definitivo della direttrice ferroviaria Messina-Catania-Palermo, nuovo collegamento Palermo-Catania tratta Vallelunga – Caltanissetta Xirbi (Lotto 3b).

### 1.1 DESCRIZIONE DELL'OPERA

Nella presente relazione sono illustrati i calcoli e le verifiche delle opere di sostegno MU96B situate in corrispondenza del piazzale PT56 – Fabbricato Galleria Trabona finestra all'interno della viabilità NV59B (Figura 1-1, Figura 1-2).

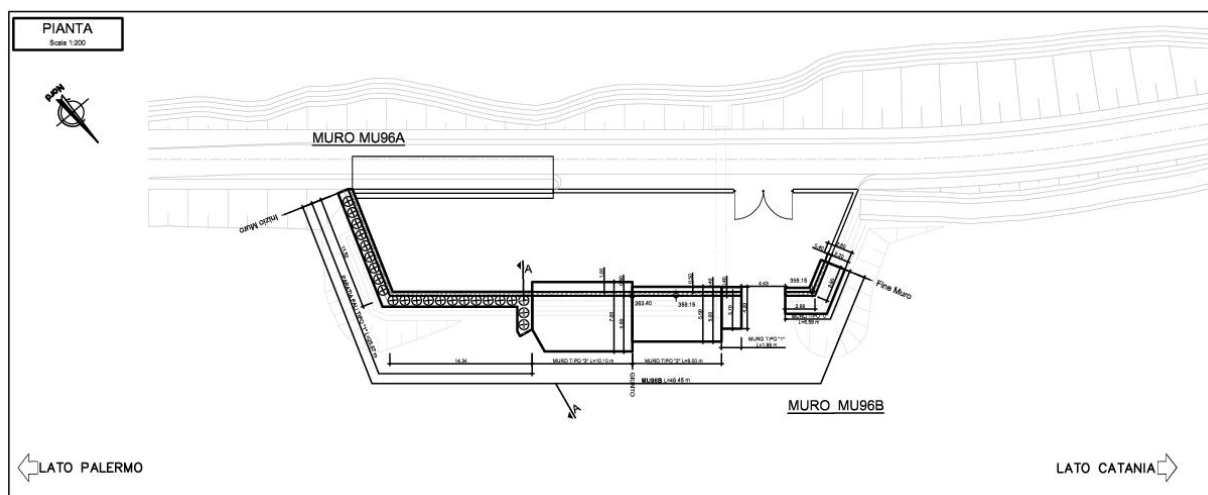


Figura 1-1 – PT56: Muro di sostegno MU96B - Pianta.

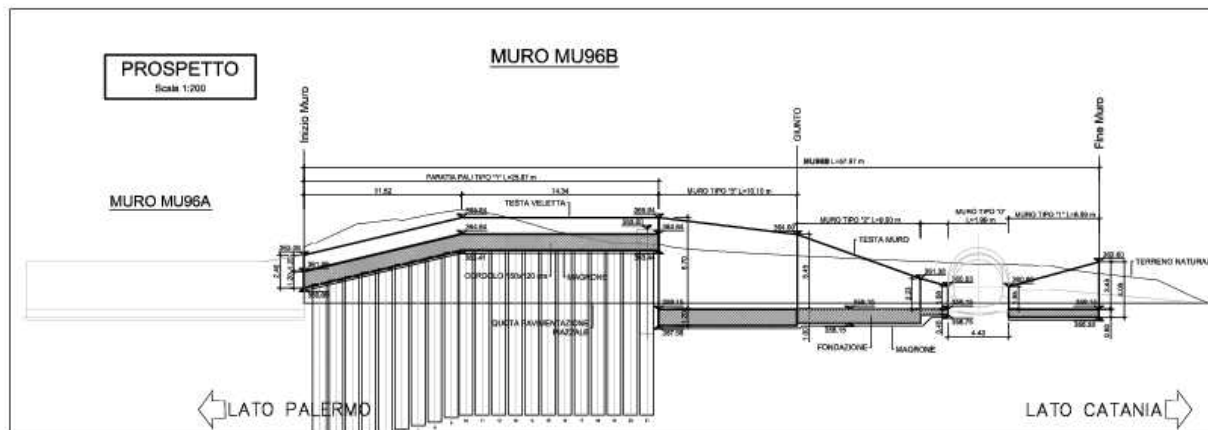


Figura 1-2 – PT56: Muro di sostegno MU96B - Prospetto.

Quanto riportato di seguito consentirà di verificare che il dimensionamento della struttura è stato effettuato nel rispetto dei requisiti di resistenza richiesti all'opera.

L'altezza del muro è variabile con lo sviluppo dell'opera stessa fino ad un massimo di 6.70m, con spessore del paramento in testa di 0.4m, spessore della soletta di fondazione compresa tra 0.40m e 1.00m e larghezza della stessa compresa tra 2.60m e 5.50m.

Sono state individuate quattro tipologie di "muro di controripa" le cui caratteristiche sono di seguito riassunte:

- muro *"tipo 0"* per altezze fino a 2.00 metri circa la fondazione del muro è diretta ed è caratterizzata da una lunghezza di 2.60 m e spessore 0.40 m. Il ricoprimento sopra la zattera di valle è pari ad almeno 20 cm. L'altezza del paramento massima è pari a 2.23 m (Figura 1-3).

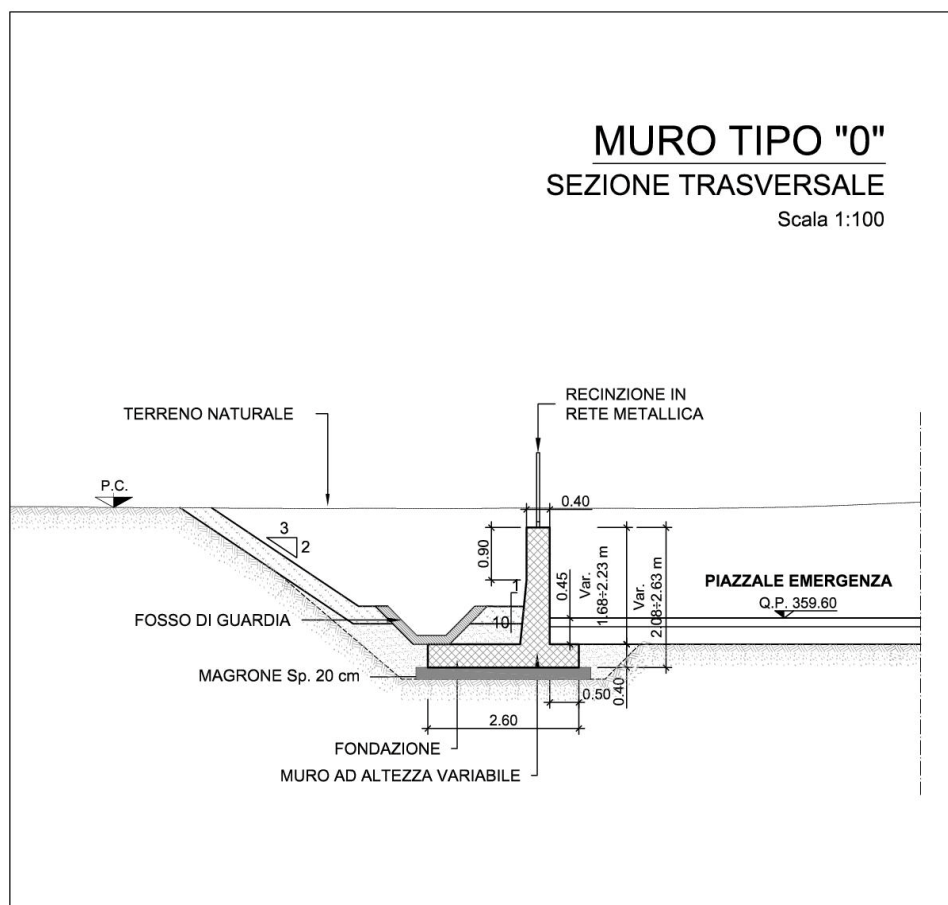


Figura 1-3 – PT56: Muro di sottoscarpa MU96B- Sezione tipo 0.

- muro “tipo 1” per altezze fino a 4,50 metri la fondazione del muro è diretta ed è caratterizzata da una lunghezza di 4.20 m e spessore 0.60 m. Il ricoprimento sopra la zattera di valle è pari ad almeno 20 cm. L’altezza del paramento massima è pari a 4.50 m (Figura 1-4).

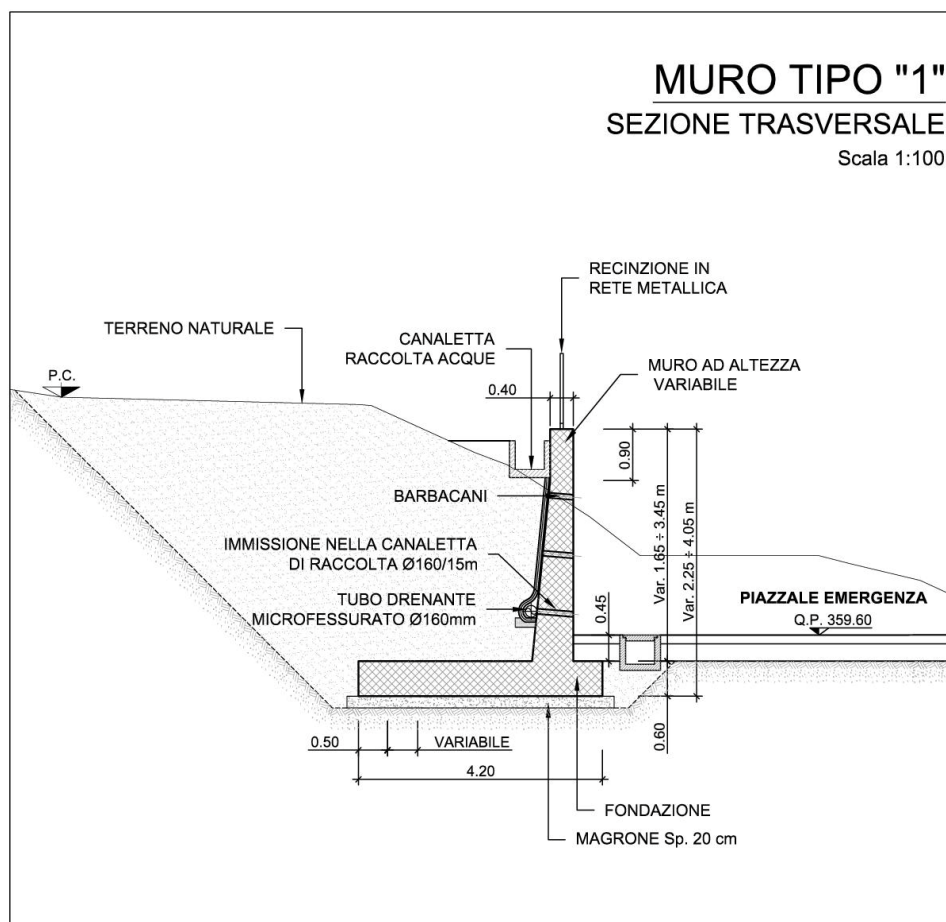


Figura 1-4 – PT56: Muro di sottoscarpa MU96B – Sezione tipo 1.

- muro “tipo 2”, fino ad altezze del paramento di 6.00 metri circa la fondazione del muro è diretta ed è caratterizzata da una lunghezza di 5.50 m e spessore 1.00 m. Il ricoprimento sopra la zattera di valle è pari ad almeno 20 cm. L’altezza del paramento massima è pari a 6.70 m (Figura 1-5).

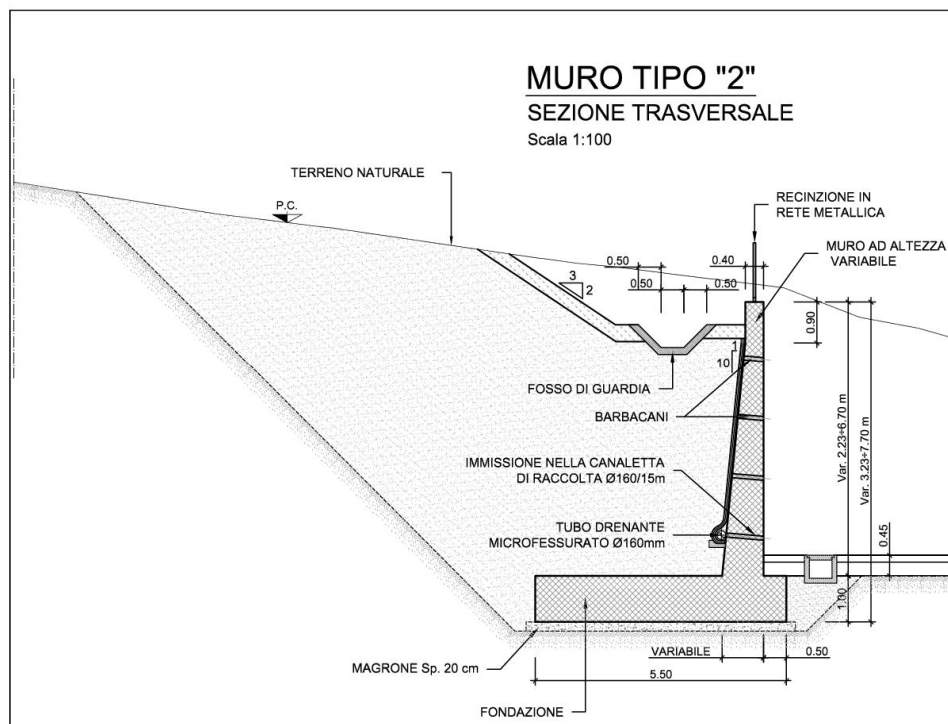


Figura 1-5 – PT56: Muro di sottoscarpa MU96B – Sezione tipo 2.

Di seguito si svolgerà la verifica per ogni tipo di muro precedentemente descritto caratterizzato dall'altezza di paramento massima.

	<b>DIRETTRICE FERROVIARIA MESSINA – CATANIA – PALERMO          NUOVO COLLEGAMENTO PALERMO – CATANIA          TRATTA VALLELUNGA – CALTANISSETTA XIRBI (LOTTO 3b)          OPERE DI SOSTEGNO PIAZZALI – LOTTO 3B</b>					
PT56: MURO DI CONTRORIPA MU96B RELAZIONE DI CALCOLO	COMMESSA RS3T	LOTTO 30 D 78	CODIFICA CL	DOCUMENTO MU96B0 001	REV. B	FOGLIO 11 di 160

## 2. **NORMATIVA DI RIFERIMENTO**

L'interpretazione dei risultati e la redazione della presente relazione sono stati effettuati nel rispetto della Normativa in vigore.

I principali riferimenti normativi sono i seguenti:

**Norme Tecniche per le Costruzioni - D.M. 17-01-18 (NTC-2018);**

**Circolare n. 7 del 21 gennaio 2019 - Istruzioni per l'Applicazione dell'aggiornamento delle Norme Tecniche per le Costruzioni di cui al Decreto Ministeriale 17 gennaio 2018;**

**Regolamento (UE) N.1299/2014 del 18 novembre 2014 della Commissione Europea.** Relativo alle specifiche tecniche di interoperabilità per il sottosistema "infrastruttura" del sistema ferroviario dell'Unione Europea.

**Eurocodici EN 1991-2: 2003/AC:2010 – Eurocodice 1 – Parte 2**

**RFI DTC SI MA IFS 001 C del 21-12-18 - Manuale di Progettazione delle Opere Civili**

## 3. **DOCUMENTI DI RIFERIMENTO**

Vengono presi a riferimento i seguenti elaborati grafici progettuali di pertinenza:

RS3T.3.0.D.78.P9.MU.96.B.0.001: “Opere di sostegno viabilità – Lotto 3b – PT56: Muro di sostegno MU96B – Pianta, prospetto e sezioni”

RS3T.3.0.D.78.TT.OC.00.0.0.007.A: “Opere civili – Elaborati generali OO. CC. – Tabella incidenze armature Opere Civili Viabilità – Lotto 3b”

RS3T.3.0.D.78.GE.GE.00.0.0.002.B: “Geotecnica – Elaborati generali – Relazione geotecnica generale – Lotto 3b”

 <b>ITALFERR</b> GRUPPO FERROVIE DELLO STATO ITALIANE	DIRETTRICE FERROVIARIA MESSINA – CATANIA – PALERMO NUOVO COLLEGAMENTO PALERMO – CATANIA TRATTA VALLELUNGA – CALTANISSETTA XIRBI (LOTTO 3b) OPERE DI SOSTEGNO PIAZZALI – LOTTO 3B					
	PT56: MURO DI CONTRORIPA MU96B RELAZIONE DI CALCOLO	COMMESSA RS3T	LOTTO 30 D 78	CODIFICA CL	DOCUMENTO MU96B0 001	REV. B

#### 4. UNITÀ DI MISURA E SIMBOLOGIA

Si utilizza il Sistema Internazionale (SI):

unità di misura principali

N (Newton)	unità di forza
m (metro)	unità di lunghezza
kg (kilogrammo-massa)	unità di massa
s (secondo)	unità di tempo

unità di misura derivate **kN**

(kiloNewton)	103N
<b>MN</b> (megaNewton)	106N
<b>kgf</b> (kilogrammo-forza)	1 kgf = 9.81 N
<b>cm</b> (centimetro)	10 <sup>-2</sup> m
<b>mm</b> (millimetro)	10 <sup>-3</sup> m
<b>Pa</b> (Pascal)	1 N/m <sup>2</sup>
<b>kPa</b> (kiloPascal)	103 N/m <sup>2</sup>
MPa (megaPascal)	106 N/m <sup>2</sup>
N/m <sup>3</sup>	(peso specifico)
<b>g</b> (accelerazione di gravità)	~9.81 m/s <sup>2</sup>

corrispondenze notevoli

$$1 \text{ MPa} = 1 \text{ N/mm}^2$$

$$1 \text{ MPa} \sim 10 \text{ kgf/cm}^2$$

Si utilizzano i seguenti principali simboli con le relative unità di misura normalmente adottate:

$\gamma$ (gamma)	peso dell'unità di volume	(kN/m <sup>3</sup> )
$\sigma$ (sigma)	tensione normale	(N/mm <sup>2</sup> )

 <b>ITALFERR</b> GRUPPO FERROVIE DELLO STATO ITALIANE	DIRETTRICE FERROVIARIA MESSINA – CATANIA – PALERMO NUOVO COLLEGAMENTO PALERMO – CATANIA TRATTA VALLELUNGA – CALTANISSETTA XIRBI (LOTTO 3b) OPERE DI SOSTEGNO PIAZZALI – LOTTO 3B					
	PT56: MURO DI CONTRORIPA MU96B RELAZIONE DI CALCOLO	COMMESSA RS3T	LOTTO 30 D 78	CODIFICA CL	DOCUMENTO MU96B0 001	REV. B

$\tau$ (tau)	tensione tangenziale	(N / mm <sup>2</sup> )	
$\varepsilon$ (epsilon)	deformazione	(m/m)	-
$\phi$ (fi)	angolo di resistenza	(° sessagesimali)	

## 5. CARATTERISTICHE DEI MATERIALI

Le caratteristiche dei materiali sono ricavate con riferimento alle indicazioni contenute nei capitoli 4 e 11 del D.M. 17 gennaio 2018. Nelle tabelle che seguono sono indicate le principali caratteristiche e i riferimenti dei paragrafi del D.M. citato.

### 5.1 CALCESTRUZZO

- Elemento strutturale: fondazione ed elevazione muro di sostegno

Classe di resistenza = C32/40;

Rck = resistenza cubica = 40 N/mm<sup>2</sup>;

fck = resistenza cilindrica caratteristica = 0.83 Rck = 33.20 N/ mm<sup>2</sup>;

fcm = resistenza cilindrica media = fck + 8 = 41.20 N/ mm<sup>2</sup>;

fcd = acc fck/ $\gamma_c$  = 18,81 N/mm<sup>2</sup>;

fctm = resistenza a trazione media = 0.30 x fck<sup>2/3</sup> = 3.10 N/ mm<sup>2</sup>;

fcfm = resistenza a traz. per flessione media = 1.20 x fctm = 3.72 N/ mm<sup>2</sup>;

fckf = resistenza a traz. per flessione carati. = 0.70 x fcfm = 2.60 N/ mm<sup>2</sup>;

Ecm = modulo elast. tra 0 e 0.40fcm = 22000 x (fcm/10)<sup>0.3</sup> = 33642.78 N/ mm<sup>2</sup>;

Tolleranza di posa del copriferro = 10 mm;

Classe di esposizione XC4

Copriferro minimo  $c_{min}$  = 50 mm

Condizioni ambientali: aggressive

- Elemento strutturale: pali

Classe di resistenza = C25/30;

 <p><b>ITALFERR</b> GRUPPO FERROVIE DELLO STATO ITALIANE</p>	<p>DIRETTRICE FERROVIARIA MESSINA – CATANIA – PALERMO          NUOVO COLLEGAMENTO PALERMO – CATANIA          TRATTA VALLELUNGA – CALTANISSETTA XIRBI (LOTTO 3b)          OPERE DI SOSTEGNO PIAZZALI – LOTTO 3B</p>												
<p>PT56: MURO DI CONTRORIPA MU96B          RELAZIONE DI CALCOLO</p>	<table border="1"> <thead> <tr> <th>COMMESSA</th> <th>LOTTO</th> <th>CODIFICA</th> <th>DOCUMENTO</th> <th>REV.</th> <th>FOGLIO</th> </tr> </thead> <tbody> <tr> <td>RS3T</td> <td>30 D 78</td> <td>CL</td> <td>MU96B0 001</td> <td>B</td> <td>14 di 160</td> </tr> </tbody> </table>	COMMESSA	LOTTO	CODIFICA	DOCUMENTO	REV.	FOGLIO	RS3T	30 D 78	CL	MU96B0 001	B	14 di 160
COMMESSA	LOTTO	CODIFICA	DOCUMENTO	REV.	FOGLIO								
RS3T	30 D 78	CL	MU96B0 001	B	14 di 160								

$R_{ck} = \text{resistenza cubica} = 30 \text{ N/mm}^2$ ;

$f_{ck} = \text{resistenza cilindrica caratteristica} = 0.83 R_{ck} = 24.9 \text{ N/mm}^2$ ;

$f_{cm} = \text{resistenza cilindrica media} = f_{ck} + 8 = 32.9 \text{ N/mm}^2$ ;

$f_{cd} = \alpha_{cc} f_{ck} / \gamma_c = 14.11 \text{ N/mm}^2$ ;

$f_{ctm} = \text{resistenza a trazione media} = 0.30 \times f_{ck}^{2/3} = 2.56 \text{ N/mm}^2$ ;

$f_{ctm} = \text{resistenza a traz. per flessione media} = 1.20 \times f_{ctm} = 3.07 \text{ N/mm}^2$ ;

$f_{ctk} = \text{resistenza a traz. per flessione carati.} = 0.70 \times f_{ctm} = 2.15 \text{ N/mm}^2$ ;

$E_{cm} = \text{modulo elast. tra } 0 \text{ e } 0.40 f_{cm} = 22000 \times (f_{cm}/10)^{0.3} = 31447.2 \text{ N/mm}^2$ ;

Classe di esposizione XC2

Copriferro = 60 mm

Tolleranza di posa del copriferro = 10 mm;

Condizioni ambientali: normali

Apertura fessure limite:  $w_1 = 0.2 \text{ mm}$

 <b>ITALFERR</b> GRUPPO FERROVIE DELLO STATO ITALIANE	DIRETTRICE FERROVIARIA MESSINA – CATANIA – PALERMO NUOVO COLLEGAMENTO PALERMO – CATANIA TRATTA VALLELUNGA – CALTANISSETTA XIRBI (LOTTO 3b) OPERE DI SOSTEGNO PIAZZALI – LOTTO 3B					
	PT56: MURO DI CONTRORIPA MU96B RELAZIONE DI CALCOLO	COMMESSA RS3T	LOTTO 30 D 78	CODIFICA CL	DOCUMENTO MU96B0 001	REV. B

### CALCOLO COPRIFERRO - § C4.1.6.1.3 ISTRUZIONI NTC 2018

- Elemento strutturale: fondazione ed elevazione muro di sostegno – muro tipo 0, 1

Diametro (o diametro equivalente) barre longitudinali:	20	[mm]
Diametro staffe:	10	[mm]
Classe Calcestruzzo:	C32/40	
Condizioni ambientali:	Aggressive	
Vita nominale costruzione:	75	[anni]
Tolleranza di posa:	10	[mm]
<b>Copriferro staffe:</b>		
Copriferro minimo $C_{min}$ :	40	[mm]
Copriferro nominale Netto Staffe:	50	[mm]
<b>Copriferro barre longitudinali:</b>		
Copriferro nominale Netto barre longitudinali:	70	[mm]
<b>Copriferro nominale dal Baricentro della Barra longitudinale:</b>	<b>80</b>	<b>[mm]</b>

- Elemento strutturale: fondazione ed elevazione muro di sostegno – muro tipo 2

Diametro (o diametro equivalente) barre longitudinali:	24	[mm]
Diametro staffe:	12	[mm]
Classe Calcestruzzo:	C32/40	
Condizioni ambientali:	Aggressive	
Vita nominale costruzione:	75	[anni]
Tolleranza di posa:	10	[mm]
<b>Copriferro staffe:</b>		
Copriferro minimo $C_{min}$ :	40	[mm]
Copriferro nominale Netto Staffe:	50	[mm]
<b>Copriferro barre longitudinali:</b>		



DIRETTRICE FERROVIARIA MESSINA – CATANIA – PALERMO  
NUOVO COLLEGAMENTO PALERMO – CATANIA  
TRATTA VALLELUNGA – CALTANISSETTA XIRBI (LOTTO 3b)  
OPERE DI SOSTEGNO PIAZZALI – LOTTO 3B

PT56: MURO DI CONTRORIPA MU96B  
RELAZIONE DI CALCOLO

COMMESSA	LOTTO	CODIFICA	DOCUMENTO	REV.	FOGLIO
RS3T	30 D 78	CL	MU96B0 001	B	16 di 160

Copriferro nominale Netto barre longitudinali: 74 [mm]

**Copriferro nominale dal Baricentro della Barra longitudinale: 86 [mm]**

 <b>ITALFERR</b> GRUPPO FERROVIE DELLO STATO ITALIANE	<b>DIRETTRICE FERROVIARIA MESSINA – CATANIA – PALERMO</b> <b>NUOVO COLLEGAMENTO PALERMO – CATANIA</b> <b>TRATTA VALLELUNGA – CALTANISSETTA XIRBI (LOTTO 3b)</b> <b>OPERE DI SOSTEGNO PIAZZALI – LOTTO 3B</b>					
	PT56: MURO DI CONTRORIPA MU96B RELAZIONE DI CALCOLO	COMMESSA RS3T	LOTTO 30 D 78	CODIFICA CL	DOCUMENTO MU96B0 001	REV. B

## 5.2 ACCIAIO IN BARRE AD ADERENZA MIGLIORATA B450 C

L'acciaio per cemento armato B450C è caratterizzato dai seguenti valori nominali delle tensioni caratteristiche di snervamento e rottura da utilizzare nei calcoli:

$f_{v\ nom}$	450 N/mm <sup>2</sup>
$f_{t\ nom}$	540 N/mm <sup>2</sup>

Tabella 5-1 Tensioni caratteristiche acciaio.

E deve rispettare i requisiti indicati nella seguente tabella:

CARATTERISTICHE	REQUISITI	FRATTILE (%)
Tensione caratteristica di snervamento $f_{yk}$	$\geq f_{v\ nom}$	5.0
Tensione caratteristica di rottura $f_{tk}$	$\geq f_{t\ nom}$	5.0
$(f_t/f_y)_k$	$\geq 1,15$	10.0
$(f_v/f_{vnom})_k$	$< 1,35$	10.0
Allungamento $(A_{gt})_k$	$\geq 7,5\ %$	10.0
Diametro del mandrino per prove di piegamento a 90 ° e successivo raddrizzamento senza cricche:		
$\phi < 12\ mm$	4 $\phi$	
$12 \leq \phi \leq 16\ mm$	5 $\phi$	
per $16 < \phi \leq 25\ mm$	8 $\phi$	
per $25 < \phi \leq 40\ mm$	10 $\phi$	

Tabella 5-2 Requisiti acciaio.

Inoltre si ha:

- $E_s = 210000\ N/mm^2$
- Sovrapposizioni barre  $\geq 40\phi$

Resistenza di calcolo dell'acciaio per la verifica agli SLU ( $\gamma_s=1.15$ ):

Resistenza di calcolo a rottura per trazione e deformazione corrispondente:

- $f_{yd} = f_{yk}/\gamma_s = 391.3\ N/mm^2$
- $\epsilon_{yd} = f_{yd}/E_s = 0.186\ %$

 <b>ITALFERR</b> GRUPPO FERROVIE DELLO STATO ITALIANE	DIRETTRICE FERROVIARIA MESSINA – CATANIA – PALERMO NUOVO COLLEGAMENTO PALERMO – CATANIA TRATTA VALLELUNGA – CALTANISSETTA XIRBI (LOTTO 3b) OPERE DI SOSTEGNO PIAZZALI – LOTTO 3B					
	PT56: MURO DI CONTRORIPA MU96B RELAZIONE DI CALCOLO	COMMESSA RS3T	LOTTO 30 D 78	CODIFICA CL	DOCUMENTO MU96B0 001	REV. B

## 6. INQUADRAMENTO GEOTECNICO

Il modello geotecnico di calcolo è stato definito sulla base di quanto riportato nella relazione geotecnica: Si riportano di seguito i terreni su cui poggiano i muri di sostegno lungo il tracciato, con i parametri fisici e meccanici ad essi assegnati. Da un'analisi dei dati a disposizione emerge che lo strato di terreno sul quale verrà impostato il piano di posa della fondazione dei muri di sostegno è caratterizzato dai valori dei parametri di calcolo riportati in Tabella 6-1. Per quanto riguarda i parametri meccanici assunti nel calcolo si sono considerati i valori medi dell'intervallo di variabilità riportato nel profilo geotecnico.

Si evidenzia, inoltre, la presenza di una coltre superficiale di circa 1m le cui caratteristiche non risultano tali da permettervi l'impostazione del piano di posa del muro di sostegno.

Unità litologiche da p.c.	da [m]	a [m]	$\gamma$ [kN/m <sup>3</sup> ]	$c'_k$ [kPa]	$\varphi'_k$ [°]	$c_u$ [kPa]	$E_0$ [MPa]
GPQ	1.00	-	21	18	24	100	50

Tabella 6-1 – Valori di calcolo dei parametri geotecnici del terreno

In cui:

$\gamma$  = peso specifico del terreno;

$c'_k$  = coesione efficace;

$\varphi'_k$  = angolo d'attrito efficace;

$c_u$  = coesione non drenata;

$E_0$  = Modulo dinamico del terreno;

Il rilevato a monte avrà superficie orizzontale.

La falda è posta ad una profondità superiore a 5.0 metri dal piano campagna.

Per le caratteristiche dei rilevati stradali si assumono i seguenti parametri:

- peso volume,  $\gamma = 19 \text{ kN/m}^3$ ;

- angolo d'attrito,  $\varphi' = 35^\circ$ ;

 <b>ITALFERR</b> GRUPPO FERROVIE DELLO STATO ITALIANE	DIRETTRICE FERROVIARIA MESSINA – CATANIA – PALERMO NUOVO COLLEGAMENTO PALERMO – CATANIA TRATTA VALLELUNGA – CALTANISSETTA XIRBI (LOTTO 3b) OPERE DI SOSTEGNO PIAZZALI – LOTTO 3B					
	PT56: MURO DI CONTRORIPA MU96B RELAZIONE DI CALCOLO	COMMESSA RS3T	LOTTO 30 D 78	CODIFICA CL	DOCUMENTO MU96B0 001	REV. B

- coesione efficace  $c' = 0$  kPa.

Per l'inquadramento geotecnico si rimanda alla "Relazione geotecnica generale" e ai relativi profili geotecnici.

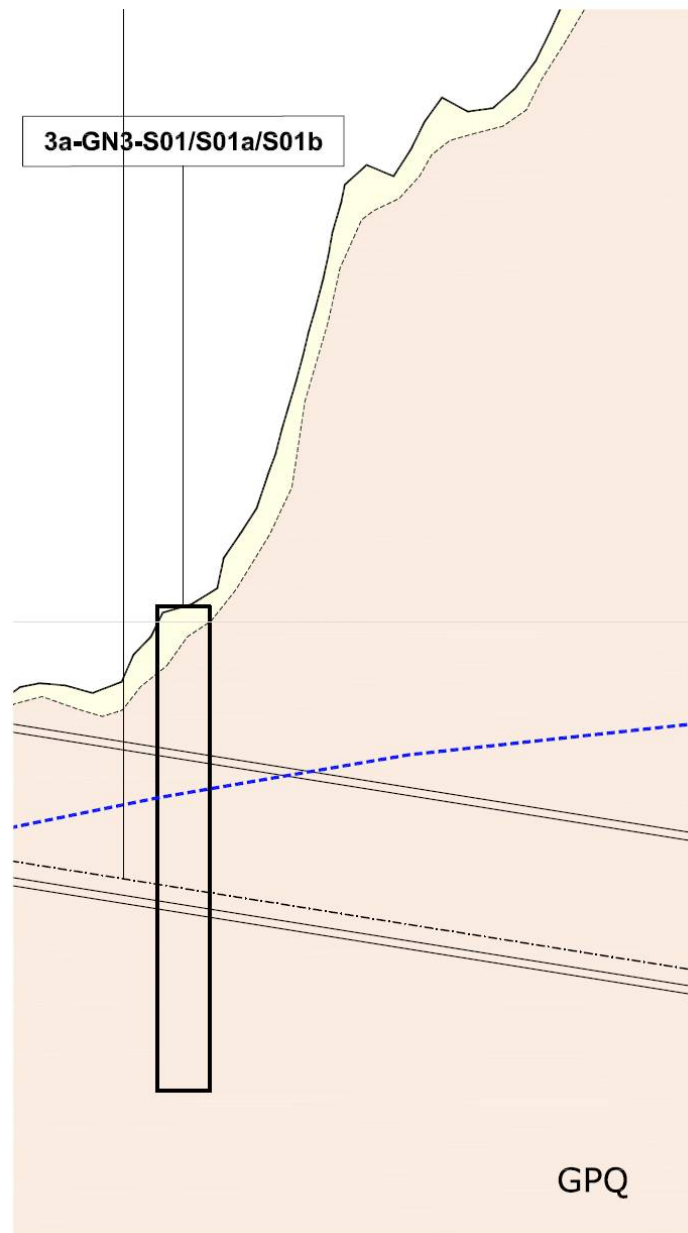


Figura 6-1 – Stralcio del profilo geotecnico.

 <b>ITAFERR</b> GRUPPO FERROVIE DELLO STATO ITALIANE	DIRETTRICE FERROVIARIA MESSINA – CATANIA – PALERMO NUOVO COLLEGAMENTO PALERMO – CATANIA TRATTA VALLELUNGA – CALTANISSETTA XIRBI (LOTTO 3b) OPERE DI SOSTEGNO PIAZZALI – LOTTO 3B					
	PT56: MURO DI CONTRORIPA MU96B RELAZIONE DI CALCOLO	COMMESSA RS3T	LOTTO 30 D 78	CODIFICA CL	DOCUMENTO MU96B0 001	REV. B

## 7. CRITERI DI VERIFICA – MURI DI SOSTEGNO

### 7.1 VERIFICHE GEOTECNICHE (SLU) IN CONDIZIONI STATICHE

Nelle verifiche di sicurezza si è preso in considerazione tutti i meccanismi di stato limite ultimo sia a breve termine sia a lungo termine. Gli stati limite ultimi delle opere di sostegno si riferiscono allo sviluppo di meccanismi di collasso determinati dalla mobilitazione della resistenza del terreno, e al raggiungimento della resistenza degli elementi strutturali che compongono le opere stesse.

Per i **muri di sostegno su fondazione diretta** si considerano i seguenti Stati Limite Ultimi:

#### SLU di tipo geotecnico (GEO)

- Scorrimento sul piano di posa;
- Collasso per carico limite del complesso fondazione-terreno;
- Ribaltamento;
- Stabilità globale del complesso opera di sostegno-terreno.

#### SLU di tipo strutturale (STR)

- Raggiungimento della resistenza negli elementi strutturali.

La verifica di stabilità globale del complesso opera di sostegno – terreno deve essere effettuata, analogamente a quanto previsto al §6.8 delle NTC2018, secondo l'Approccio 1 – Combinazione 2 (A2+M2+R2), tenendo conto dei coefficienti parziali riportati nelle Tabelle 6.2.I, 6.2.II e 6.8.I delle NTC18.

Le rimanenti verifiche devono essere effettuate secondo l'Approccio 2 con la combinazione (A1+M1+R3), tenendo conto dei valori dei coefficienti parziali riportati nelle 6.2.I, 6.2.II, 6.4.II e 6.4.VI delle NTC18.

Il progetto e la verifica dei muri di sostegno sono stati effettuati con l'ausilio di fogli di calcolo nei quali vengono implementate tutte le caratteristiche geometriche dei muri insieme ai parametri di resistenza geotecnica.

Per ogni tipologia di muro di sostegno studiata, si è verificato che le caratteristiche geometriche siano tali che il muro possa essere considerato a mensola con suola lunga (vedere Figura 7-1), così come previsto al §3.10.3.3. del Manuale di Progettazione delle Opere Civili (RFI DTC SI MA IFS 001 C).

Si è considerato, pertanto, che la spinta sull'opera di sostegno agisca sul piano verticale cd, assunto come il paramento virtuale del muro.

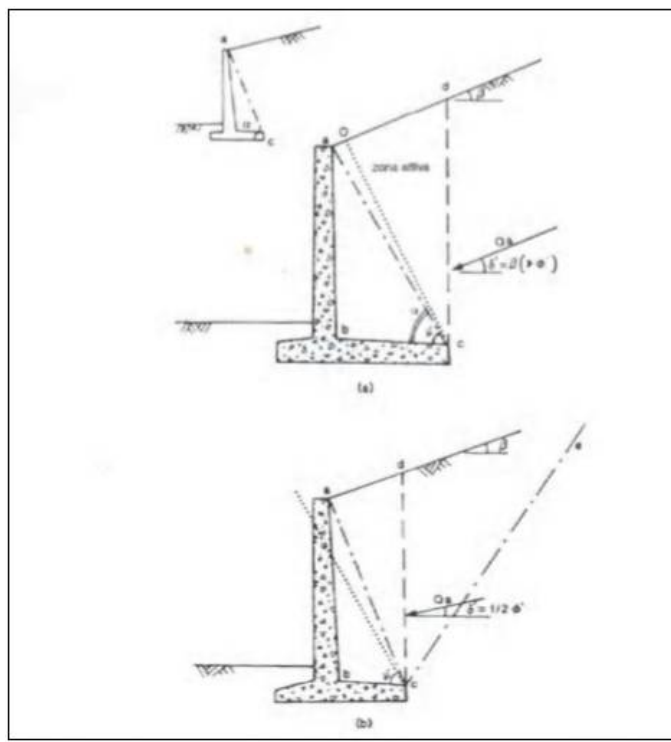


Figura 7-1 – Spinta sui muri di sostegno a mensola con suola lunga (caso a) e con suola corta (caso b).

Su tale paramento l'angolo di inclinazione  $\delta$  della risultante della spinta (applicata ad  $1/3$  dell'altezza del paramento virtuale) si potrà assumere uguale all'angolo di inclinazione  $\beta$  del terrapieno, a meno che  $\beta$  non sia superiore all'angolo di resistenza al taglio del terreno  $\varphi'$ , nel qual caso si potrà assumere  $\delta = \varphi'$ .

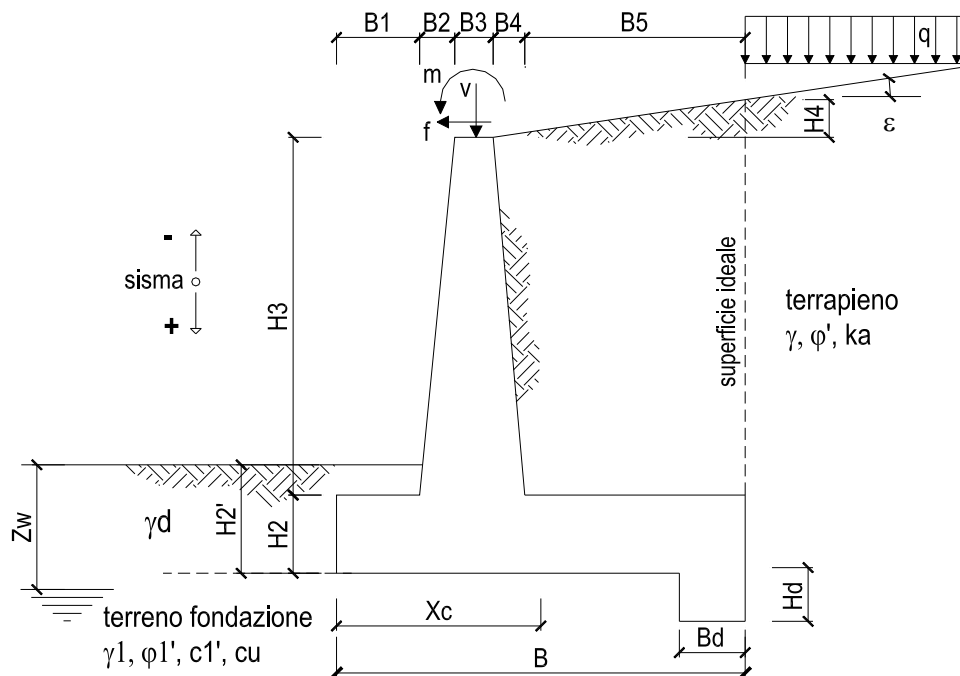
Il terreno al di sopra della suola (abcd) è stato considerato stabilizzante nelle verifiche, e ad esso sono da applicarsi le forze d'inerzia in fase sismica.

Inoltre nella verifica a scorrimento e a ribaltamento dei muri di sostegno viene trascurata la resistenza passiva antistante il muro.

Nel nostro caso l'angolo di attrito fondazione-terreno nelle verifiche a scorrimento è pari a

$$\varphi'_{cv} = \arctan(\tan \varphi')$$

Le caratteristiche geometriche sono riportate sinteticamente nel seguente schema:



### 7.1.1 VERIFICA A SCORRIMENTO

La verifica dell'equilibrio allo stato limite di scorrimento viene condotta confrontando l'azione resistente  $R_h$ , pari al prodotto della risultante delle forze verticali per il coefficiente d'attrito con l'azione instabilizzante, pari alla risultante di tutte le componenti orizzontali delle forze agenti sul muro.

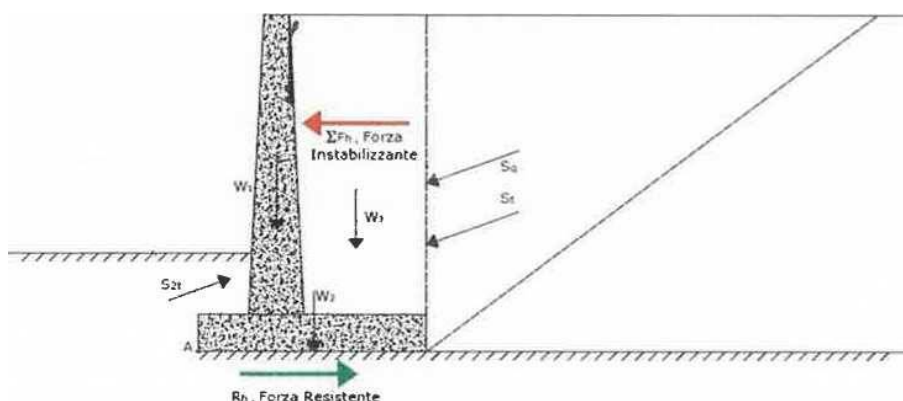


Figura 7-2 – Verifica a scorrimento.

In condizioni sismiche, ai fini del dimensionamento, si fa riferimento ad un sisma agente da monte verso valle del muro, in direzione orizzontale, dal basso verso l'alto e dall'alto verso il basso, in direzione verticale.

### 7.1.2 VERIFICA A RIBALTAMENTO

L'equilibrio allo stato limite è condotto confrontando il momento delle forze stabilizzanti e quello delle forze ribaltanti, entrambi rispetto all'estremo A di valle della fondazione.

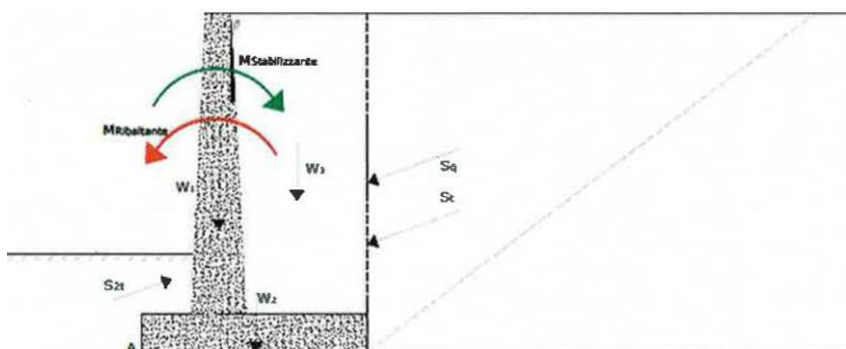


Figura 7-3– Verifica a ribaltamento.

### 7.1.3 VERIFICA A CARICO LIMITE DELLA FONDAZIONE

Per il calcolo della capacità portante della fondazione si è fatto riferimento alla formula di Brinch-Hansen (1970) integrata dai coefficienti sismici di Paolucci e Pecker (1995), di seguito riportata:

$$q_{lim} = c' N_c s_c d_c i_c b_c g_c z_c + q N_q s_q d_q i_q b_q g_q z_q + 0.5 \gamma B N s_y d_y i_y b_y g_y z_y$$

$$F_s = q_{lim} / q_{es}$$

con  $q_{es} = N / (B \cdot L')$  la pressione dovuta al carico verticale.

### 7.1.4 VERIFICA A STABILITÀ GLOBALE

Per le verifiche di stabilità dei pendii naturali si ricorre, nell'ambito dei metodi all'equilibrio limite, ai cosiddetti metodi delle strisce, in particolare il metodo di Bishop. Si ipotizza una superficie cilindrica di scorrimento potenziale, S, si suddivide idealmente la porzione di terreno delimitato da questa e dalla superficie topografica in n conci e si analizza l'equilibrio limite di ciascun concio.

 <b>ITALFERR</b> GRUPPO FERROVIE DELLO STATO ITALIANE	<b>DIRETTRICE FERROVIARIA MESSINA – CATANIA – PALERMO</b> <b>NUOVO COLLEGAMENTO PALERMO – CATANIA</b> <b>TRATTA VALLELUNGA – CALTANISSETTA XIRBI (LOTTO 3b)</b> <b>OPERE DI SOSTEGNO PIAZZALI – LOTTO 3B</b>					
	PT56: MURO DI CONTRORIPA MU96B RELAZIONE DI CALCOLO	COMMESSA RS3T	LOTTO 30 D 78	CODIFICA CL	DOCUMENTO MU96B0 001	REV. B

## 7.2 VERIFICHE GEOTECNICHE (SLV) IN CONDIZIONI SISMICHE

L'analisi della sicurezza dei muri di sostegno in condizioni sismiche può essere eseguita mediante i metodi pseudo-statici e i metodi degli spostamenti.

L'analisi pseudo-statica si esegue mediante i metodi dell'equilibrio limite. Il modello di calcolo deve comprendere l'opera di sostegno, il volume di terreno a tergo dell'opera, che si suppone in stato di equilibrio limite attivo, e gli eventuali sovraccarichi agenti sul volume suddetto.

Nell'analisi pseudo-statica, l'azione sismica è rappresentata da una forza statica equivalente pari al prodotto delle forze di gravità per un opportuno coefficiente sismico.

Nelle verifiche, i valori dei coefficienti sismici orizzontale  $k_h$  e verticale  $k_v$  possono essere valutati mediante le espressioni

$$k_h = \beta_m \frac{a_g}{g}$$

$$k_v = \pm 0.5 k_h$$

dove:

$\beta_m$  = coefficiente di riduzione dell'accelerazione massima attesa al sito;

$a_{max}$  = accelerazione orizzontale massima attesa al sito;

$g$  = accelerazione di gravità.

In assenza di analisi specifiche della risposta sismica locale, l'accelerazione massima può essere valutata con la relazione

$$a_{max} = S \cdot a_g = (S_S \cdot S_T) \cdot a_g$$

dove:

$S$  = coefficiente che comprende l'effetto dell'amplificazione stratigrafica ( $S_S$ ) e dell'amplificazione topografica ( $S_T$ ) di cui al paragrafo 3.2.3.2 delle NTC18.

Nella precedente espressione, il coefficiente di riduzione dell'accelerazione massima attesa al sito è pari a:

$\beta_m = 0.38$  nelle verifiche allo stato limite ultimo (SLV)

$\beta_m = 0.47$  nelle verifiche allo stato limite di esercizio (SLD)

 <b>ITALFERR</b> GRUPPO FERROVIE DELLO STATO ITALIANE	<b>DIRETTRICE FERROVIARIA MESSINA – CATANIA – PALERMO</b> <b>NUOVO COLLEGAMENTO PALERMO – CATANIA</b> <b>TRATTA VALLELUNGA – CALTANISSETTA XIRBI (LOTTO 3b)</b> <b>OPERE DI SOSTEGNO PIAZZALI – LOTTO 3B</b>					
	PT56: MURO DI CONTRORIPA MU96B RELAZIONE DI CALCOLO	COMMESSA RS3T	LOTTO 30 D 78	CODIFICA CL	DOCUMENTO MU96B0 001	REV. B

Per muri non liberi di subire spostamenti relativi rispetto al terreno, il coefficiente  $\beta_m$  assume valore unitario.

Nel caso di muri liberi di traslare o di ruotare intorno al piede, si può assumere che l'incremento di spinta dovuta al sisma agisca nello stesso punto di quella statica. Negli altri casi, in assenza di studi specifici, si deve assumere che tale incremento sia applicato a metà altezza del muro.

Lo stato limite di ribaltamento deve essere trattato impiegando coefficienti parziali unitari sulle azioni e sui parametri geotecnici (paragrafo 7.11.1 delle NTC18) e utilizzando valori di  $\beta_m$  incrementati del 50% rispetto a quelli innanzi indicati e comunque non superiori all'unità.

In condizioni sismiche deve essere soddisfatta la verifica di stabilità del complesso muro – terreno con i criteri indicati al paragrafo 7.11.4 delle NTC2018.

Il calcolo della spinta in condizioni sismiche è stato effettuato impiegando la Teoria di Mononobe – Okabe.

La teoria di Mononobe – Okabe fa uso del metodo dell'equilibrio limite e può essere considerata una estensione della teoria di Coulomb, in cui, alle usuali spinte al contorno del cuneo instabile di terreno, sono sommate anche le azioni inerziali orizzontali e verticali dovute all'accelerazione delle masse.

Le spinte Attiva e Passiva si calcolano come:

$$S_{a,t} = \frac{1}{2} \gamma \cdot k_{as} \cdot h^2 \cdot (1 \mp k_v)$$

Il coefficiente  $k_{as}$  è valutato, quindi, secondo tale formulazione, in cui i simboli usati sono:

$\phi$  = angolo di attrito interno del terrapieno;

$\psi$  = angolo di inclinazione rispetto all'orizzontale della parete interessata del muro;

$\beta$  = angolo di inclinazione rispetto all'orizzontale del profilo del terrapieno;

$\delta$  = angolo di attrito terrapieno – muro;

$\theta$  = angolo di rotazione addizionale definito come segue.

$$\tan \theta = \frac{k_h}{1 \mp k_v}$$

Il coefficiente per stati di spinta attiva si divide in due casi:

 <b>ITAFERR</b> GRUPPO FERROVIE DELLO STATO ITALIANE	DIRETTRICE FERROVIARIA MESSINA – CATANIA – PALERMO NUOVO COLLEGAMENTO PALERMO – CATANIA TRATTA VALLELUNGA – CALTANISSETTA XIRBI (LOTTO 3b) OPERE DI SOSTEGNO PIAZZALI – LOTTO 3B					
	PT56: MURO DI CONTRORIPA MU96B RELAZIONE DI CALCOLO	COMMESSA RS3T	LOTTO 30 D 78	CODIFICA CL	DOCUMENTO MU96B0 001	REV. B

$$\beta \leq \phi - \theta \rightarrow k_{as} = \frac{\sin^2(\psi + \phi - \theta)}{\cos\theta \cdot \sin^2\psi \cdot \sin(\psi - \theta - \delta) \left[ 1 + \sqrt{\frac{\sin(\phi + \delta) \cdot \sin(\phi - \beta - \theta)}{\sin(\psi - \theta - \delta) \cdot \sin(\psi + \beta)}} \right]^2}$$

$$\beta > \phi - \theta \rightarrow k_{as} = \frac{\sin^2(\psi + \phi - \theta)}{\cos\theta \cdot \sin^2\psi \cdot \sin(\psi - \theta - \delta)}$$

Il coefficiente per stati di spinta passiva è invece:

$$k_{ps} = \frac{\sin^2(\psi + \phi - \theta)}{\cos\theta \cdot \sin^2\psi \cdot \sin(\psi + \theta) \left[ 1 - \sqrt{\frac{\sin\phi \cdot \sin(\phi + \beta - \theta)}{\sin(\psi + \beta) \cdot \sin(\psi + \theta)}} \right]^2}$$

### 7.3 VERIFICHE GEOTECNICHE (SLE)

Per ciascun stato limite di esercizio deve essere rispettata la condizione [6.2.7] delle NTC 2018:

$$E_d \leq C_d$$

essendo  $E_d$  e  $C_d$  rispettivamente il valore di progetto dell'effetto delle azioni e il prescritto valore limite dell'effetto delle azioni (spostamenti, rotazioni, distorsioni, ecc.).

In particolare, dovranno essere valutati gli spostamenti delle opere di sostegno e del terreno circostante per verificarne la compatibilità con la funzionalità delle opere stesse e con la sicurezza e funzionalità dei manufatti adiacenti, anche a seguito di modifiche indotte sul regime delle pressioni interstiziali.

Per i lavori e le opere da realizzare in prossimità di linee ferroviarie già in esercizio, le verifiche agli SLE dovranno essere condotte assumendo come limite degli spostamenti indotti durante la costruzione sui binari in esercizio i valori limite dei difetti riferiti al secondo livello di qualità descritti nella specifica tecnica RFI TCAR ST AR 01 001 D "Standard di qualità geometrica del binario con velocità fino a 300 km/h" e relativi allegati.

Qualora vengano superati i limiti riferiti al primo livello di qualità, il progetto dovrà prevedere l'esecuzione di un monitoraggio del binario durante la costruzione al fine di controllare l'effettivo andamento delle deformazioni.

	<b>DIRETTRICE FERROVIARIA MESSINA – CATANIA – PALERMO</b> <b>NUOVO COLLEGAMENTO PALERMO – CATANIA</b> <b>TRATTA VALLELUNGA – CALTANISSETTA XIRBI (LOTTO 3b)</b> <b>OPERE DI SOSTEGNO PIAZZALI – LOTTO 3B</b>					
PT56: MURO DI CONTRORIPA MU96B RELAZIONE DI CALCOLO	COMMESSA RS3T	LOTTO 30 D 78	CODIFICA CL	DOCUMENTO MU96B0 001	REV. B	FOGLIO 27 di 160

#### 7.4 VERIFICHE GEOTECNICHE - URTO

L'urto rappresenta un carico eccezionale quindi la combinazione di riferimento vede i coefficienti parziali delle azioni e dei materiali pari all'unità.

Si eseguirà la verifica a scorrimento e a ribaltamento per le quali si applica un carico di 100 kN diffuso sulla lunghezza del muro, che a favore di sicurezza si considera pari a 10 m da cui:

$$f = 100/10 = 10 \text{ kN/m} \quad \text{forza in testa}$$

$$m = f \cdot 1 = 10 \text{ kNm/m} \quad \text{momento in testa al muro}$$

 <b>ITALFERR</b> GRUPPO FERROVIE DELLO STATO ITALIANE	DIRETTRICE FERROVIARIA MESSINA – CATANIA – PALERMO NUOVO COLLEGAMENTO PALERMO – CATANIA TRATTA VALLELUNGA – CALTANISSETTA XIRBI (LOTTO 3b) OPERE DI SOSTEGNO PIAZZALI – LOTTO 3B					
	PT56: MURO DI CONTRORIPA MU96B RELAZIONE DI CALCOLO	COMMESSA RS3T	LOTTO 30 D 78	CODIFICA CL	DOCUMENTO MU96B0 001	REV. B

## 7.5 VERIFICHE STRUTTURALI SLU

Le verifiche di resistenza delle sezioni sono eseguite secondo il metodo semiprobabilistico agli stati limite. I coefficienti di sicurezza adottati sono i seguenti:

- coefficiente parziale di sicurezza per il calcestruzzo: 1.50;
- coefficiente parziale di sicurezza per l'acciaio in barre: 1.15;

Il paragrafo in oggetto illustra nel dettaglio i criteri generali adottati per le verifiche strutturali e geotecniche condotte nel progetto. Ulteriori dettagli di carattere specifico, laddove impiegati, sono dichiarati e motivati nelle relative risultanze delle verifiche.

### 7.5.1 CRITERI DI VERIFICA DELLE SEZIONI IN C.A.

Per le sezioni in cemento armato si effettuano:

- verifiche per gli stati limite ultimi a presso-flessione;
- verifiche per gli stati limite ultimi a taglio;
- verifiche per gli stati limite di esercizio.

### 7.5.2 VERIFICHE PER GLI STATI LIMITE ULTIMI A FLESSIONE - PRESSOFLESSIONE

Allo stato limite ultimo, le verifiche a flessione o presso-flessione sono condotte confrontando (per le sezioni più significative) le resistenze ultime e le sollecitazioni massime agenti, valutando di conseguenza il corrispondente fattore di sicurezza.

### 7.5.3 VERIFICA AGLI STATI LIMITE ULTIMI A TAGLIO

La verifica allo stato limite ultimo per azioni di taglio è condotta secondo quanto prescritto dal DM17/01/2018, per elementi con armatura a taglio verticali.

Si fa, pertanto, riferimento ai seguenti valori della resistenza di calcolo:

- resistenza di calcolo dell'elemento privo di armatura a taglio:

$$V_{Rd} = \max \left\{ \left[ 0,18 \cdot k \cdot (100 \cdot \rho_1 \cdot f_{ck})^{1/3} / \gamma_c + 0,15 \cdot \sigma_{cp} \right] b_w \cdot d; (v_{\min} + 0,15 \cdot \sigma_{cp}) \cdot b_w \cdot d \right\}$$

- valore di progetto dello sforzo di taglio che può essere sopportato dall'armatura a taglio alla tensione di snervamento:

 <b>ITALFERR</b> GRUPPO FERROVIE DELLO STATO ITALIANE	DIRETTRICE FERROVIARIA MESSINA – CATANIA – PALERMO NUOVO COLLEGAMENTO PALERMO – CATANIA TRATTA VALLELUNGA – CALTANISSETTA XIRBI (LOTTO 3b) OPERE DI SOSTEGNO PIAZZALI – LOTTO 3B												
PT56: MURO DI CONTRORIPA MU96B RELAZIONE DI CALCOLO	<table border="1"> <thead> <tr> <th>COMMESSA</th> <th>LOTTO</th> <th>CODIFICA</th> <th>DOCUMENTO</th> <th>REV.</th> <th>FOGLIO</th> </tr> </thead> <tbody> <tr> <td>RS3T</td> <td>30 D 78</td> <td>CL</td> <td>MU96B0 001</td> <td>B</td> <td>29 di 160</td> </tr> </tbody> </table>	COMMESSA	LOTTO	CODIFICA	DOCUMENTO	REV.	FOGLIO	RS3T	30 D 78	CL	MU96B0 001	B	29 di 160
COMMESSA	LOTTO	CODIFICA	DOCUMENTO	REV.	FOGLIO								
RS3T	30 D 78	CL	MU96B0 001	B	29 di 160								

$$V_{Rsd} = 0,9 \cdot d \cdot \frac{A_{sw}}{s} \cdot f_{yd} \cdot (\operatorname{ctg} \alpha + \operatorname{ctg} \theta) \cdot \sin \alpha$$

- valore di progetto del massimo sforzo di taglio che può essere sopportato dall'elemento, limitato dalla rottura delle bielle compresse:

$$V_{Rcd} = 0,9 \cdot d \cdot b_w \cdot \alpha_c \cdot v \cdot f_{cd} (\operatorname{ctg} \alpha + \operatorname{ctg} \theta) / (1 + \operatorname{ctg}^2 \theta)$$

Nelle espressioni precedenti, i simboli hanno i seguenti significati:

$$k = 1 + \sqrt{\frac{200}{d}} \leq 2 \text{ con } d \text{ in mm};$$

$$\rho_1 = \frac{A_{s1}}{b_w \cdot d} \leq 0.02;$$

$A_{s1}$  è l'area dell'armatura tesa;

$b_w$  è la larghezza minima della sezione in zona tesa;

$$\sigma_{cp} = \frac{N_{Ed}}{A_c} < 0.2 \cdot f_{cd};$$

$N_{Ed}$  è la forza assiale nella sezione dovuta ai carichi;

$A_c$  è l'area della sezione di calcestruzzo;

$$v_{min} = 0.035 \cdot k^{3/2} \cdot f_{ck}^{1/2};$$

$1 \leq \operatorname{cot} \theta \leq 2.5$  è l'inclinazione dei puntoni di calcestruzzo rispetto all'asse della trave;

$A_{sw}$  è l'area della sezione trasversale dell'armatura a taglio;

$s$  è il passo delle staffe;

$f_{ywd}$  è la tensione di snervamento di progetto dell'armatura a taglio;

$f'_{cd} = 0.5 \cdot f_{cd}$  è la resistenza ridotta a compressione del calcestruzzo d'anima;

 <b>ITALFERR</b> GRUPPO FERROVIE DELLO STATO ITALIANE	DIRETTRICE FERROVIARIA MESSINA – CATANIA – PALERMO NUOVO COLLEGAMENTO PALERMO – CATANIA TRATTA VALLELUNGA – CALTANISSETTA XIRBI (LOTTO 3b) OPERE DI SOSTEGNO PIAZZALI – LOTTO 3B					
	PT56: MURO DI CONTRORIPA MU96B RELAZIONE DI CALCOLO	COMMESSA RS3T	LOTTO 30 D 78	CODIFICA CL	DOCUMENTO MU96B0 001	REV. B

$\alpha_{cw} = 1$  è un coefficiente che tiene conto dell'interazione tra la tensione nel corrente compresso e qualsiasi tensione di compressione assiale.

## 7.6 VERIFICHE STRUTTURALI SLE

La verifica nei confronti degli Stati limite di esercizio, consiste nel controllare, con riferimento alle sollecitazioni di calcolo corrispondenti alle Combinazioni di Esercizio il tasso di Lavoro nei Materiali e l'ampiezza delle fessure attesa, secondo quanto di seguito specificato

### 7.6.1 VERIFICHE ALLE TENSIONI

La verifica delle tensioni in esercizio consiste nel controllare il rispetto dei limiti tensionali previsti per il calcestruzzo e per l'acciaio per ciascuna delle combinazioni di carico caratteristiche "Rara" e "Quasi Permanente"; i valori tensionali nei materiali sono valutati secondo le note teorie di analisi delle sezioni in c.a. in campo elastico e con calcestruzzo "non reagente" adottando come limiti di riferimento, trattandosi nel caso in specie di opere Ferroviarie, quelli indicati nel documento "Manuale di progettazione opere civili".

La verifica consiste nel controllo delle tensioni nei materiali supponendo una legge costitutiva tensioni-deformazioni di tipo lineare. In particolare si controlla la tensione massima di compressione del calcestruzzo e di trazione dell'acciaio, verificando che:

$\sigma_c < 0.55 f_{ck}$  per combinazione di carico caratteristica (rara);

$\sigma_c < 0.40 f_{ck}$  per combinazione di carico quasi permanente;

$\sigma_s < 0.75 f_k$  per combinazione di carico caratteristica (rara).

#### Strutture in c.a.

##### Tensioni di compressione del calcestruzzo

Devono essere rispettati i seguenti limiti per le tensioni di compressione nel calcestruzzo:

- per combinazione di carico caratteristica (rara):  $0,55 f_{ck}$ ;

- per combinazioni di carico quasi permanente:  $0,40 f_{ck}$ ;

- per spessori minori di 5 cm, le tensioni normali limite di esercizio sono ridotte del 30%.

##### Tensioni di trazione nell'acciaio

Per le armature ordinarie, la massima tensione di trazione sotto la combinazione di carico caratteristica (rara) non deve superare  $0.75 f_{yk}$ .

 <b>ITALFERR</b> GRUPPO FERROVIE DELLO STATO ITALIANE	DIRETTRICE FERROVIARIA MESSINA – CATANIA – PALERMO NUOVO COLLEGAMENTO PALERMO – CATANIA TRATTA VALLELUNGA – CALTANISSETTA XIRBI (LOTTO 3b) OPERE DI SOSTEGNO PIAZZALI – LOTTO 3B					
	PT56: MURO DI CONTRORIPA MU96B RELAZIONE DI CALCOLO	COMMESSA RS3T	LOTTO 30 D 78	CODIFICA CL	DOCUMENTO MU96B0 001	REV. B

Per il caso in esame risulta in particolare :

- Muro di sostegno:

#### CALCESTRUZZO

$$\sigma_{\text{cmax QP}} = (0,40 f_{\text{ck}}) = \mathbf{13.28} \text{ MPa} \quad (\text{Combinazione di Carico Quasi Permanente})$$

$$\sigma_{\text{cmax R}} = (0,55 f_{\text{ck}}) = \mathbf{18.26} \text{ MPa} \quad (\text{Combinazione di Carico Caratteristica - Rara})$$

#### ACCIAIO

$$\sigma_{\text{s max}} = (0,75 f_{\text{yk}}) = \mathbf{337.5} \text{ MPa} \quad \text{Combinazione di Carico Caratteristica(Rara)}$$

#### 7.6.2 VERIFICHE A FESSURAZIONE

La verifica di fessurazione consiste nel controllare l'ampiezza dell'apertura delle fessure sotto combinazione di carico frequente e combinazione quasi permanente. Essendo la struttura a contatto col terreno si considerano condizioni ambientali aggressive; le armature di acciaio ordinario sono ritenute poco sensibili [NTC – Tabella 4.1.IV]

In relazione all'aggressività ambientale e alla sensibilità dell'acciaio, l'apertura limite delle fessure è riportato nel prospetto seguente:

Gruppi di esigenza	Condizioni ambientali	Combinazione di azione	Armatura			
			Sensibile		Poco sensibile	
			Stato limite	wd	Stato limite	wd
a	Ordinarie	frequente	ap. fessure	$\leq w_2$	ap. fessure	$\leq w_3$
		quasi permanente	ap. fessure	$\leq w_1$	ap. fessure	$\leq w_2$
b	Aggressive	frequente	ap. fessure	$\leq w_1$	ap. fessure	$\leq w_2$
		quasi permanente	decompressione	-	ap. fessure	$\leq w_1$
c	Molto Aggressive	frequente	formazione fessure	-	ap. fessure	$\leq w_1$
		quasi permanente	decompressione	-	ap. fessure	$\leq w_1$

Tabella 4.1.III – Descrizione delle condizioni ambientali

CONDIZIONI AMBIENTALI	CLASSE DI ESPOSIZIONE
Ordinarie	X0, XC1, XC2, XC3, XF1
Aggressive	XC4, XD1, XS1, XA1, XA2, XF2, XF3
Molto aggressive	XD2, XD3, XS2, XS3, XA3, XF4

Tabella 7-1 – Criteri di scelta dello stato limite di fessurazione e condizioni ambientali

Risultando:

$$w_1 = 0.2 \text{ mm}$$

$$w_2 = 0.3 \text{ mm}$$

 <b>ITALFERR</b> GRUPPO FERROVIE DELLO STATO ITALIANE	DIRETTRICE FERROVIARIA MESSINA – CATANIA – PALERMO NUOVO COLLEGAMENTO PALERMO – CATANIA TRATTA VALLELUNGA – CALTANISSETTA XIRBI (LOTTO 3b) OPERE DI SOSTEGNO PIAZZALI – LOTTO 3B												
PT56: MURO DI CONTRORIPA MU96B RELAZIONE DI CALCOLO	<table border="1"> <thead> <tr> <th>COMMESSA</th> <th>LOTTO</th> <th>CODIFICA</th> <th>DOCUMENTO</th> <th>REV.</th> <th>FOGLIO</th> </tr> </thead> <tbody> <tr> <td>RS3T</td> <td>30 D 78</td> <td>CL</td> <td>MU96B0 001</td> <td>B</td> <td>32 di 160</td> </tr> </tbody> </table>	COMMESSA	LOTTO	CODIFICA	DOCUMENTO	REV.	FOGLIO	RS3T	30 D 78	CL	MU96B0 001	B	32 di 160
COMMESSA	LOTTO	CODIFICA	DOCUMENTO	REV.	FOGLIO								
RS3T	30 D 78	CL	MU96B0 001	B	32 di 160								

w3= 0.4 mm

Alle prescrizioni normative presenti in NTC si sostituiscono in tal caso quelle fornite dalle specifiche RFI (Manuale di progettazione delle opere civili parte II sezione 2 – Requisiti concernenti la fessurazione per strutture in c.a., c.a.p. e miste acciaio-calcestruzzo) secondo cui la verifica nei confronti dello stato limite di apertura delle fessure va effettuata utilizzando le sollecitazioni derivanti dalla combinazione caratteristica (rara).

Per tutte le strutture a permanente contatto con il terreno e per le zone non ispezionabili di tutte le strutture, l'apertura convenzionale delle fessure dovrà risultare:

Combinazione Caratteristica (Rara)

$$\delta_f \leq w_1 = 0.2 \text{ mm}$$

Riguardo infine il valore di calcolo delle fessure da confrontare con i valori limite fissati dalla norma, si è utilizzata la procedura prevista al punto " C4.1.2.2.4.5 Verifica allo stato limite di fessurazione" della Circolare n.7/19.

 <b>ITALFERR</b> GRUPPO FERROVIE DELLO STATO ITALIANE	<b>DIRETTRICE FERROVIARIA MESSINA – CATANIA – PALERMO</b> <b>NUOVO COLLEGAMENTO PALERMO – CATANIA</b> <b>TRATTA VALLELUNGA – CALTANISSETTA XIRBI (LOTTO 3b)</b> <b>OPERE DI SOSTEGNO PIAZZALI – LOTTO 3B</b>												
PT56: MURO DI CONTRORIPA MU96B RELAZIONE DI CALCOLO	<table border="1"> <thead> <tr> <th>COMMESSA</th> <th>LOTTO</th> <th>CODIFICA</th> <th>DOCUMENTO</th> <th>REV.</th> <th>FOGLIO</th> </tr> </thead> <tbody> <tr> <td>RS3T</td> <td>30 D 78</td> <td>CL</td> <td>MU96B0 001</td> <td>B</td> <td>33 di 160</td> </tr> </tbody> </table>	COMMESSA	LOTTO	CODIFICA	DOCUMENTO	REV.	FOGLIO	RS3T	30 D 78	CL	MU96B0 001	B	33 di 160
COMMESSA	LOTTO	CODIFICA	DOCUMENTO	REV.	FOGLIO								
RS3T	30 D 78	CL	MU96B0 001	B	33 di 160								

## 8. CRITERI DI VERIFICA – PARATIE

### 8.1 VERIFICHE GEOTECNICHE (SLU) IN CONDIZIONI STATICHE

Le verifiche delle paratie sono state condotte nei riguardi dei seguenti stati limite ultimi (SLU):

- collasso del complesso opera-terreno;
- instabilità globale dell'insieme terreno-opera;
- sfilamento di uno o più ancoraggi;
- raggiungimento della resistenza in uno o più ancoraggi,
- raggiungimento della resistenza degli elementi strutturali.

Per le strutture di sostegno flessibili si adotta l'Approccio Progettuale 1 con le due combinazioni di coefficienti parziali (tabelle 6.2.I, 6.2.II e 6.5.I del DM 17/01/2018):

- combinazione 1: A1 + M1 + R1
- combinazione 2: A2 + M2 + R1.

Il dimensionamento geotecnico dell'opera è stato condotto con la verifica di stati limite ultimi GEO, applicando la Combinazione 2 (A2+M2+R1); per le verifiche di stati limite ultimi STR l'analisi è stata invece condotta con la combinazione 1 (A1+M1+R1).

Al fine di rispettare le richieste della Normativa in merito al modello geometrico di riferimento (§6.5.2.2 DM 17/01/2018) nel caso di opere in cui la funzione di sostegno è affidata alla resistenza del volume di terreno a valle dell'opera, la quota di valle è diminuita di:

$$\Delta h = \min (0.5; 10\% \Delta t)$$

in cui  $\Delta t$  è la differenza di quota tra il livello inferiore di vincolo e il fondo scavo.

Per le verifiche di stabilità globale è stato applicato l'Approccio 1- Combinazione 2 (A2+M2+R2 – tab. 6.2.I, 6.2.II e 6.8.I del DM 17/01/2018).

Le verifiche sono state condotte mediante l'ausilio del codice di calcolo Paratie Plus.

### 8.2 VERIFICHE GEOTECNICHE SLV (CONDIZIONI SISMICHE)

Le verifiche in condizioni sismiche sono state condotte con riferimento allo stato limite ultimo di salvaguardia della vita (SLV), con riferimento alla configurazione finale dell'opera di sostegno. Per le verifiche in condizioni sismiche i coefficienti parziali sulle azioni e sui parametri geotecnici sono pari

 <p><b>ITALFERR</b> GRUPPO FERROVIE DELLO STATO ITALIANE</p>	<p>DIRETTRICE FERROVIARIA MESSINA – CATANIA – PALERMO NUOVO COLLEGAMENTO PALERMO – CATANIA TRATTA VALLELUNGA – CALTANISSETTA XIRBI (LOTTO 3b) OPERE DI SOSTEGNO PIAZZALI – LOTTO 3B</p>					
<p>PT56: MURO DI CONTRORIPA MU96B RELAZIONE DI CALCOLO</p>	<p>COMMESSA RS3T</p>	<p>LOTTO 30 D 78</p>	<p>CODIFICA CL</p>	<p>DOCUMENTO MU96B0 001</p>	<p>REV. B</p>	<p>FOGLIO 34 di 160</p>

all'unità. Si adotta il metodo pseudostatico, calcolando il coefficiente sismico orizzontale secondo le prescrizioni della normativa (DM 17/01/2018):

$$k_h = \alpha \cdot \beta \cdot \left( \frac{a_{\max}}{g} \right)$$

dove:

$a_{\max}$  è l'accelerazione orizzontale massima attesa al sito,

$\alpha$  è il coefficiente di deformabilità (Figura 7.11.2 del DM 17/01/2018);

$\beta$  è il coefficiente di spostamento (Figura 7.11.3 del DM 17/01/2018).

Per la definizione dell'azione sismica si rimanda al paragrafo 7.4. L'effetto del sisma sulle strutture di sostegno è ottenuto applicando un incremento di spinta (cfr § 7.11.6.3.1 del D.M. 17/01/2018 e § C7.11.6.3 della Circolare 7/19) del terreno valutato secondo la teoria di Mononobe-Okabe, agente direttamente sulla paratia secondo una distribuzione uniforme sull'intera altezza dell'opera.

$$\Delta S_E = \left[ \frac{1}{2} \gamma \cdot H^2 \cdot (K_{aE} - K_a) \right] / H,$$

dove:  $\gamma$  rappresenta il peso dell'unità di volume della formazione con la quale l'opera interagisce,  $H$  rappresenta l'altezza totale dell'opera (comprensiva del tratto infisso),  $K_{aE}$  e  $K_a$  rappresentano i coefficienti di spinta attiva in condizioni sismiche e statiche rispettivamente.

Per la valutazione della spinta passiva si assume  $\alpha=1$  (§7.11.6.3 del DM 17/01/2018). Il coefficiente sismico verticale,  $k_v$ , si assume pari a 0 (§7.11.6.3 del DM 17/01/2018).

I coefficienti di spinta attiva sono determinati attraverso la relazione di Mononobe (1929) e Okabe (1926). I coefficienti di spinta passiva sono determinati attraverso la relazione di Lancellotta (2007). L'angolo di attrito terreno/struttura,  $\delta$ , si assume pari a 1/2 della resistenza al taglio del terreno naturale.

## 9. ANALISI DEI CARICHI

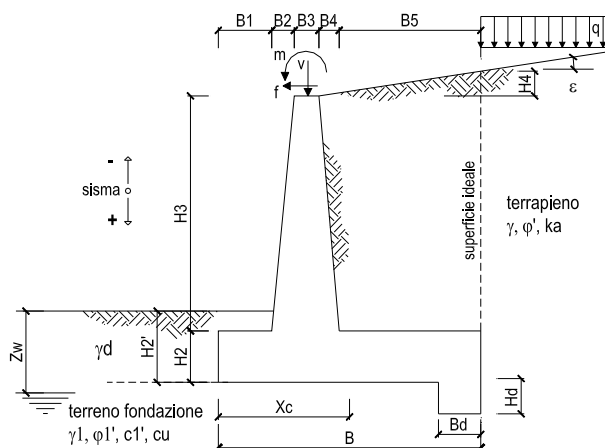
Nel seguente paragrafo si descrivono i carichi elementari che agiscono sulla struttura in oggetto. Tali azioni sono definite secondo le normative e sono utilizzate per la generazione delle combinazioni di carico nell'ambito delle verifiche di resistenza, in esercizio ed in presenza dell'evento sismico.

Tutti i carichi elementari si riferiscono all'unità di sviluppo del muro, pertanto sono tutti definiti rispetto all'unità di lunghezza.

### 9.1 PESI PROPRI

Il peso proprio del muro è calcolato in automatico dal foglio di calcolo elettronico.

I dati di input per i muri su fondazione diretta sono i seguenti:



#### Geometria del Muro

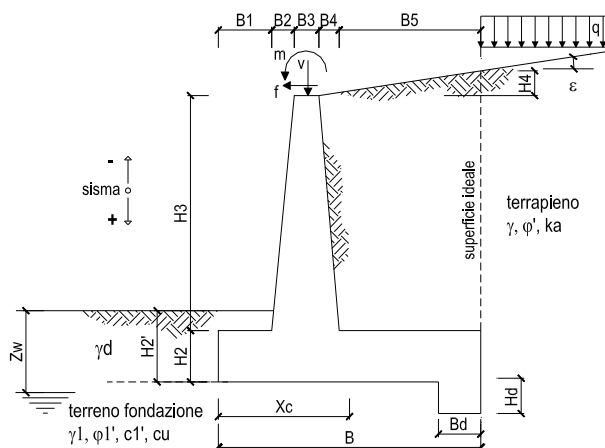
Elevazione	H3 =	2.00	(m)
Aggetto Valle	B2 =	0.00	(m)
Spessore del Muro in Testa	B3 =	0.40	(m)
Aggetto monte	B4 =	0.11	(m)

#### Geometria della Fondazione

Larghezza Fondazione	B =	2.60	(m)
Spessore Fondazione	H2 =	0.40	(m)
Suola Lato Valle	B1 =	0.50	(m)
Suola Lato Monte	B5 =	1.59	(m)
Altezza dente	Hd =	0.00	(m)
Larghezza dente	Bd =	0.00	(m)
Mezzeria Sezione	Xc =	1.30	(m)

Peso Specifico del Calcestruzzo	$\gamma_{cls}$ =	25.00	(kN/m <sup>3</sup> )
---------------------------------	------------------	-------	----------------------

Figura 9-1 – Caratteristiche geometriche muri di sostegno con fondazione diretta – tipo 0.



**Geometria del Muro**

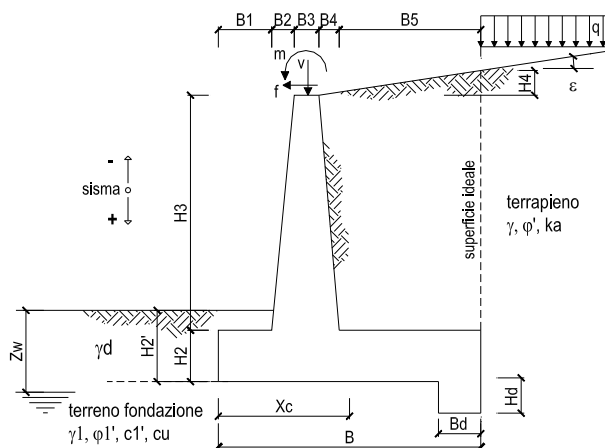
Elevazione	H3 =	3.45	(m)
Aggetto Valle	B2 =	0.00	(m)
Spessore del Muro in Testa	B3 =	0.40	(m)
Aggetto monte	B4 =	0.26	(m)

**Geometria della Fondazione**

Larghezza Fondazione	B =	4.20	(m)
Spessore Fondazione	H2 =	0.60	(m)
Suola Lato Valle	B1 =	0.50	(m)
Suola Lato Monte	B5 =	3.04	(m)
Altezza dente	Hd =	0.00	(m)
Larghezza dente	Bd =	0.00	(m)
Mezzeria Sezione	Xc =	2.10	(m)

Peso Specifico del Calcestruzzo	$\gamma_{cls}$ =	25.00	(kN/m <sup>3</sup> )
---------------------------------	------------------	-------	----------------------

Figura 9-2 – Caratteristiche geometriche muri di sostegno con fondazione diretta – tipo 1.



	DIRETTRICE FERROVIARIA MESSINA – CATANIA – PALERMO NUOVO COLLEGAMENTO PALERMO – CATANIA TRATTA VALLELUNGA – CALTANISSETTA XIRBI (LOTTO 3b) OPERE DI SOSTEGNO PIAZZALI – LOTTO 3B					
	PT56: MURO DI CONTRORIPA MU96B RELAZIONE DI CALCOLO	COMMESSA RS3T	LOTTO 30 D 78	CODIFICA CL	DOCUMENTO MU96B0 001	REV. B

**Geometria del Muro**

Elevazione	H3 =	6.70	(m)
Aggetto Valle	B2 =	0.00	(m)
Spessore del Muro in Testa	B3 =	0.40	(m)
Aggetto monte	B4 =	0.58	(m)

**Geometria della Fondazione**

Larghezza Fondazione	B =	5.50	(m)
Spessore Fondazione	H2 =	1.00	(m)
Suola Lato Valle	B1 =	0.50	(m)
Suola Lato Monte	B5 =	4.02	(m)
Altezza dente	Hd =	0.00	(m)
Larghezza dente	Bd =	0.00	(m)
Mezzeria Sezione	Xc =	2.75	(m)

Peso Specifico del Calcestruzzo	$\gamma_{cls}$ =	25.00	(kN/m <sup>3</sup> )
---------------------------------	------------------	-------	----------------------

Figura 9-3 – Caratteristiche geometriche muri di sostegno con fondazione diretta – tipo 2.

 <b>ITALFERR</b> GRUPPO FERROVIE DELLO STATO ITALIANE	DIRETTRICE FERROVIARIA MESSINA – CATANIA – PALERMO NUOVO COLLEGAMENTO PALERMO – CATANIA TRATTA VALLELUNGA – CALTANISSETTA XIRBI (LOTTO 3b) OPERE DI SOSTEGNO PIAZZALI – LOTTO 3B					
	PT56: MURO DI CONTRORIPA MU96B RELAZIONE DI CALCOLO	COMMESSA RS3T	LOTTO 30 D 78	CODIFICA CL	DOCUMENTO MU96B0 001	REV. B

## 9.2 CARICHI PERMANENTI

### 9.2.1 PARAPETTO METALLICO

Per il parapetto metallico si considerano le seguenti azioni agenti sul muro:

$$V_{\text{parapetto}} = 1.00 \text{ kN/m}$$

### 9.2.2 BARRIERA DI SICUREZZA

Per la barriera di sicurezza si considerano le seguenti azioni agenti sul muro:

$$V_{\text{barriera}} = 2.50 \text{ kN/m}$$

### 9.2.3 SPINTA DEL TERRENO

#### Muro di sostegno

A tergo del muro agisce la spinta del terreno di riporto (materiale proveniente da cava).

La spinta in condizioni di esercizio viene calcolata con il coefficiente di spinta attiva  $k_a$ .

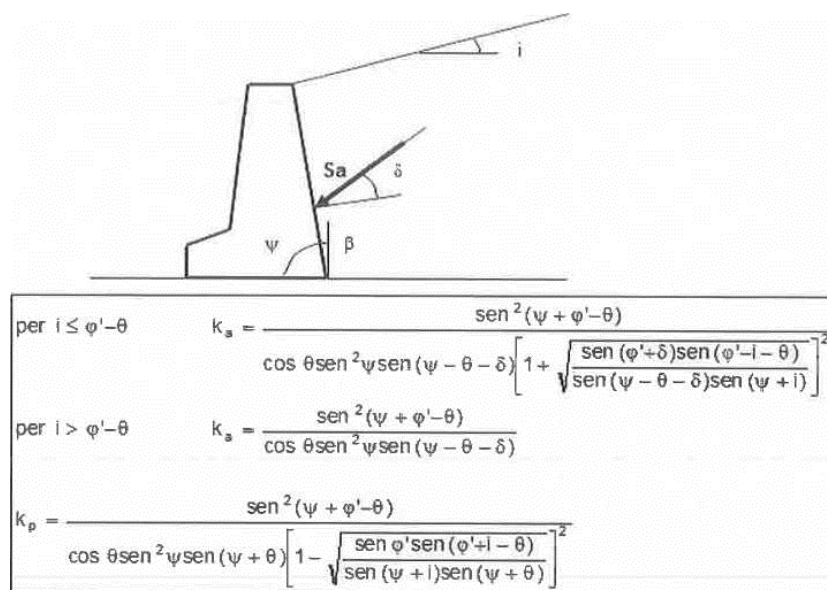


Figura 9-4 – Coefficiente di spinta attiva e passiva.

La spinta sull'opera di sostegno dovrà essere applicata sul piano verticale, assunto come paramento virtuale del muro, definito a partire dall'estremo a monte della scarpa di fondazione.

 <b>ITALFERR</b> GRUPPO FERROVIE DELLO STATO ITALIANE	DIRETTRICE FERROVIARIA MESSINA – CATANIA – PALERMO NUOVO COLLEGAMENTO PALERMO – CATANIA TRATTA VALLELUNGA – CALTANISSETTA XIRBI (LOTTO 3b) OPERE DI SOSTEGNO PIAZZALI – LOTTO 3B					
	PT56: MURO DI CONTRORIPA MU96B RELAZIONE DI CALCOLO	COMMESSA RS3T	LOTTO 30 D 78	CODIFICA CL	DOCUMENTO MU96B0 001	REV. B

Su tale paramento l'angolo di inclinazione  $\delta$  della risultante della spinta (applicata ad  $1/3$  dell'altezza del paramento virtuale) si potrà assumere uguale all'angolo di inclinazione  $\beta$  del terrapieno, a meno che  $\beta$  non sia superiore all'angolo di resistenza al taglio del terreno  $\varphi'$ , nel qual caso si assumerà  $\delta = \varphi'$ .

<i>Dati Geotecnici</i>			<i>valori caratteristici SLE</i>	<i>valori di progetto</i>	
				STR/GEO	EQU
Dati Terrapieno	Angolo di attrito del terrapieno	(°)	$\varphi'$	30.00	30.00
	Peso Unità di Volume del terrapieno	(kN/m <sup>3</sup> )	$\gamma'$	19.00	19.00
	Angolo di attrito terreno-superficie ideale	(°)	$\delta$	10.00	10.00

*Figura 9-5 – Dati geotecnici*

### Paratia

Nel modello di calcolo impiegato dal software di calcolo Paratie, la spinta del terreno viene determinata investigando l'interazione statica tra il terreno e la struttura deformabile, a partire da uno stato di spinta a riposo del terreno sulla paratia.

I parametri che identificano il tipo di legge costitutiva possono essere distinti in due sottoclassi: parametri di spinta e parametri di deformabilità del terreno.

I parametri di spinta sono il coefficiente di spinta a riposo  $K_0$ , il coefficiente di spinta attiva  $K_a$  e il coefficiente di spinta passiva  $K_p$ .

	<b>DIRETTRICE FERROVIARIA MESSINA – CATANIA – PALERMO</b> <b>NUOVO COLLEGAMENTO PALERMO – CATANIA</b> <b>TRATTA VALLELUNGA – CALTANISSETTA XIRBI (LOTTO 3b)</b> <b>OPERE DI SOSTEGNO PIAZZALI – LOTTO 3B</b>					
PT56: MURO DI CONTRORIPA MU96B RELAZIONE DI CALCOLO	COMMESSA RS3T	LOTTO 30 D 78	CODIFICA CL	DOCUMENTO MU96B0 001	REV. B	FOGLIO 40 di 160

### 9.3 CARICHI VARIABILI

#### 9.3.1 CARICHI MOBILI DA TRAFFICO

Per quanto attiene il sovraccarico variabile dovuto al carico stradale non si applica alcun carico verticale statico sul terreno a monte del muro in quanto la notevole distanza della strada dall'opera di sostegno suggerisce la dissipazione delle tensioni nel terreno senza che si inneschi una spinta a tergo del muro.

 <b>ITALFERR</b> GRUPPO FERROVIE DELLO STATO ITALIANE	DIRETTRICE FERROVIARIA MESSINA – CATANIA – PALERMO NUOVO COLLEGAMENTO PALERMO – CATANIA TRATTA VALLELUNGA – CALTANISSETTA XIRBI (LOTTO 3b) OPERE DI SOSTEGNO PIAZZALI – LOTTO 3B					
	PT56: MURO DI CONTRORIPA MU96B RELAZIONE DI CALCOLO	COMMESSA RS3T	LOTTO 30 D 78	CODIFICA CL	DOCUMENTO MU96B0 001	REV. B

## 9.4 VALUTAZIONE DELL'AZIONE SISMICA

### 9.4.1 VITA NOMINALE

La vita nominale di un'opera strutturale  $V_N$  è intesa come il numero di anni nel quale la struttura, purché soggetta alla manutenzione ordinaria, deve potere essere usata per lo scopo al quale è destinata. Nel presente caso l'opera viene inserita nella seguente tipologia di costruzione:

2) Opere ordinarie, ponti, opere infrastrutturali e dighe di dimensioni contenute o di importanza normale

La cui vita nominale è pari a: 75 anni.

### 9.4.2 CLASSE D'USO

In presenza di azioni sismiche, con riferimento alle conseguenze di un'interruzione di operatività o di un eventuale collasso, l'opera appartiene alla seguente classe d'uso:

Classe III: Costruzioni il cui uso preveda affollamenti significativi. Industrie con attività pericolose per l'ambiente. Reti viarie extraurbane non ricadenti in Classe d'uso IV. Ponti e reti ferroviarie la cui interruzione provochi situazioni di emergenza. Dighe rilevanti per le conseguenze di un loro eventuale collasso.

Il coefficiente d'uso è pari a 1.50.

### 9.4.3 PERIODO DI RIFERIMENTO

Le azioni sismiche su ciascuna costruzione vengono valutate in relazione al periodo di riferimento  $V_R$  ricavato, per ciascun tipo di costruzione, moltiplicandone la vita nominale  $V_N$  per il coefficiente d'uso  $C_u$ .

Pertanto  $V_R = 75 \times 1.5 = 112.5$  anni.

### 9.4.4 PARAMETRI SISMICI

Fissata la vita di riferimento  $V_R$ , i due parametri  $T_R$  e  $P_{VR}$  sono immediatamente esprimibili, l'uno in funzione dell'altro, mediante l'espressione:

$$T_R = -\frac{V_R}{\ln(1 - P_{VR})} = -\frac{C_u V_N}{\ln(1 - P_{VR})}$$

Stati Limite	$P_{VF}$ : Probabilità di superamento nel periodo di riferimento $V_R$	
Stati limite di esercizio	SLO	81%
	SLD	63%
Stati limite ultimi	SLV	10%
	SLC	5%

Tabella 9-1 – Probabilità di superamento al variare dello stato limite considerato.

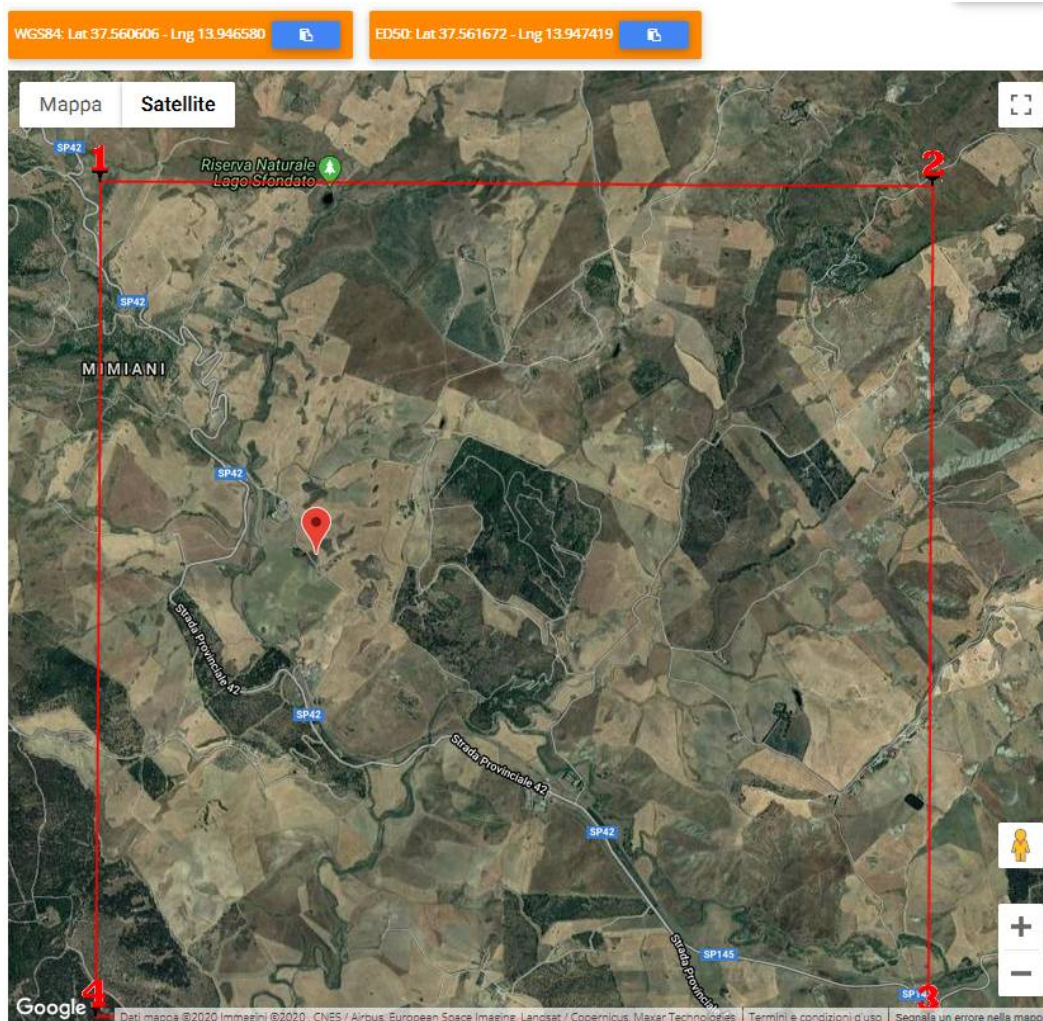


Tabella 9-2 – Localizzazione del sito ove sorgeranno le opera.

 <b>ITALFERR</b> GRUPPO FERROVIE DELLO STATO ITALIANE	<b>DIRETTRICE FERROVIARIA MESSINA – CATANIA – PALERMO</b> <b>NUOVO COLLEGAMENTO PALERMO – CATANIA</b> <b>TRATTA VALLELUNGA – CALTANISSETTA XIRBI (LOTTO 3b)</b> <b>OPERE DI SOSTEGNO PIAZZALI – LOTTO 3B</b>					
	PT56: MURO DI CONTRORIPA MU96B RELAZIONE DI CALCOLO	COMMESSA <b>RS3T</b>	LOTTO <b>30 D 78</b>	CODIFICA <b>CL</b>	DOCUMENTO <b>MU96B0 001</b>	REV. <b>B</b>

Da cui si ottiene la seguente tabella:

Stati limite

 Classe Edificio  
 III. Affollamento significativo...

 Vita Nominale: 75

 Interpolazione: Media ponderata

**CU = 1.5**

Stato Limite	Tr [anni]	$a_g$ [g]	Fo	Tc <sup>*</sup> [s]
Operatività (SLO)	68	0.039	2.519	0.283
Danno (SLD)	113	0.047	2.502	0.314
Salvaguardia vita (SLV)	1068	0.094	2.670	0.442
Prevenzione collasso (SLC)	2193	0.112	2.754	0.480
Periodo di riferimento per l'azione sismica:	112.5			

Tabella 9-3 – Parametri relativi all'azione sismica.

Ai fini della definizione dell'azione sismica di progetto, si rende necessario valutare l'effetto della risposta sismica locale. Per la definizione dell'azione sismica si può fare riferimento a un approccio semplificato, che si basa sull'individuazione delle categorie di sottosuolo di riferimento in accordo a quanto indicato nel § 3.2.2 delle NTC2018. I terreni di progetto possono essere caratterizzati come appartenenti a terreni di Categoria C. In condizioni topografiche superficiali semplici si può adottare la seguente classificazione.

Categoria	Caratteristiche della superficie topografica
T1	Superficie pianeggiante, pendii e rilievi isolati con inclinazione media $i \leq 15^\circ$
T2	Pendii con inclinazione media $i > 15^\circ$
T3	Rilievi con larghezza in cresta molto minore che alla base e inclinazione media $15^\circ \leq i \leq 30^\circ$
T4	Rilievi con larghezza in cresta molto minore che alla base e inclinazione media $i > 30^\circ$

Tabella 9-4 – Categorie topografiche.

L'area interessata risulta classificabile come T1.

 <b>ITALFERR</b> GRUPPO FERROVIE DELLO STATO ITALIANE	<b>DIRETTRICE FERROVIARIA MESSINA – CATANIA – PALERMO</b> <b>NUOVO COLLEGAMENTO PALERMO – CATANIA</b> <b>TRATTA VALLELUNGA – CALTANISSETTA XIRBI (LOTTO 3b)</b> <b>OPERE DI SOSTEGNO PIAZZALI – LOTTO 3B</b>					
	PT56: MURO DI CONTRORIPA MU96B RELAZIONE DI CALCOLO	COMMESSA RS3T	LOTTO 30 D 78	CODIFICA CL	DOCUMENTO MU96B0 001	REV. B

In riferimento a quanto indicato nel §3.2.3.2.1 delle NTC2018 per la definizione dello spettro elastico in accelerazione è necessario valutare il valore del coefficiente  $S = S_s S_T$  e di  $C_C$  in base alla categoria di sottosuolo e alle condizioni topografiche; si fa riferimento nella valutazione dei coefficienti alle tabelle di seguito riportate:

Categoria sottosuolo	$S_s$	$C_C$
A	1,00	1,00
B	$1,00 \leq 1,40 - 0,40 \cdot F_o \cdot \frac{a_g}{g} \leq 1,20$	$1,10 \cdot (T_C^*)^{-0,20}$
C	$1,00 \leq 1,70 - 0,60 \cdot F_o \cdot \frac{a_g}{g} \leq 1,50$	$1,05 \cdot (T_C^*)^{-0,33}$
D	$0,90 \leq 2,40 - 1,50 \cdot F_o \cdot \frac{a_g}{g} \leq 1,80$	$1,25 \cdot (T_C^*)^{-0,50}$
E	$1,00 \leq 2,00 - 1,10 \cdot F_o \cdot \frac{a_g}{g} \leq 1,60$	$1,15 \cdot (T_C^*)^{-0,40}$

Tabella 9-5 – Espressioni di  $S_s$  e  $C_C$ .

Categoria topografica	Ubicazione dell'opera o dell'intervento	$S_T$
T1	-	1,0
T2	In corrispondenza della sommità del pendio	1,2
T3	In corrispondenza della cresta di un rilievo con pendenza media minore o uguale a 30°	1,2
T4	In corrispondenza della cresta di un rilievo con pendenza media maggiore di 30°	1,4

Tabella 9-6 – Valori massimi dei coefficienti di amplificazione topografica  $S_T$ .

valori dei coefficienti di amplificazione stratigrafica sono pari a  $S_s = 1.50$  e  $C_C = 1.370$

valore del coefficiente di amplificazione topografica è posto pari a  $S_T = 1.0$

Dalla sezione dedicata al calcolo dei parametri sismici di base del programma "GeoStru", si ricavano i seguenti parametri dello spettro di risposta relativo al sito più gravoso.

PT56: MURO DI CONTRORIPA MU96B  
RELAZIONE DI CALCOLO

COMMESSA	LOTTO	CODIFICA	DOCUMENTO	REV.	FOGLIO
RS3T	30 D 78	CL	MU96B0 001	B	45 di 160



Cat. Sottosuolo

C



Cat. Topografica

T1

	SLO	SLD	SLV	SLC
SS Amplificazione stratigrafica	1,50	1,50	1,50	1,50
CC Coeff. funz categoria	1,59	1,54	1,37	1,34
ST Amplificazione topografica	1,00	1,00	1,00	1,00

 <b>ITALFERR</b> GRUPPO FERROVIE DELLO STATO ITALIANE	<b>DIRETTRICE FERROVIARIA MESSINA – CATANIA – PALERMO</b> <b>NUOVO COLLEGAMENTO PALERMO – CATANIA</b> <b>TRATTA VALLELUNGA – CALTANISSETTA XIRBI (LOTTO 3b)</b> <b>OPERE DI SOSTEGNO PIAZZALI – LOTTO 3B</b>					
	PT56: MURO DI CONTRORIPA MU96B RELAZIONE DI CALCOLO	COMMESSA RS3T	LOTTO 30 D 78	CODIFICA CL	DOCUMENTO MU96B0 001	REV. B

## 9.5 COMBINAZIONI DI CARICO

Le combinazioni di carico prese in considerazione nelle verifiche sono state definite in base a quanto prescritto dalle NTC-2018 al par.2.5.3:

- Combinazione fondamentale, generalmente impiegata per gli stati limite ultimi (SLU):  

$$\gamma_{G1} \cdot G_1 + \gamma_{G2} \cdot G_2 + \gamma_P \cdot P + \gamma_{Q1} \cdot Q_{k1} + \gamma_{Q2} \cdot \psi_{02} \cdot Q_{k2} + \gamma_{Q3} \cdot \psi_{03} \cdot Q_{k3} + \dots$$
 [2.5.1]
  - Combinazione caratteristica, cosiddetta rara, generalmente impiegata per gli stati limite di esercizio (SLE) irreversibili:  

$$G_1 + G_2 + P + Q_{k1} + \psi_{02} \cdot Q_{k2} + \psi_{03} \cdot Q_{k3} + \dots$$
 [2.5.2]
  - Combinazione frequente, generalmente impiegata per gli stati limite di esercizio reversibili:  

$$G_1 + G_2 + P + \psi_{11} \cdot Q_{k1} + \psi_{22} \cdot Q_{k2} + \psi_{23} \cdot Q_{k3} + \dots$$
 [2.5.3]
  - Combinazione quasi permanente (SLE), generalmente impiegata per gli effetti a lungo termine:  

$$G_1 + G_2 + P + \psi_{21} \cdot Q_{k1} + \psi_{22} \cdot Q_{k2} + \psi_{23} \cdot Q_{k3} + \dots$$
 [2.5.4]
  - Combinazione sismica, impiegata per gli stati limite ultimi e di esercizio connessi all'azione sismica E:  

$$E + G_1 + G_2 + P + \psi_{21} \cdot Q_{k1} + \psi_{22} \cdot Q_{k2} + \dots$$
 [2.5.5]
  - Combinazione eccezionale, impiegata per gli stati limite ultimi connessi alle azioni eccezionali A:  

$$G_1 + G_2 + P + A_d + \psi_{21} \cdot Q_{k1} + \psi_{22} \cdot Q_{k2} + \dots$$
 [2.5.6]
- Gli effetti dell'azione sismica saranno valutati tenendo conto delle masse associate ai seguenti carichi gravitazionali:
- $$G_1 + G_2 + \sum_j \psi_{2j} Q_{kj}$$
- [2.5.7]

Per i muri di sostegno o per altre strutture miste ad essi assimilabili devono essere effettuate le verifiche con riferimento almeno ai seguenti stati limite:

SLU di tipo geotecnico (GEO)

- Scorrimento sul piano di posa;
- Collasso per carico limite del complesso fondazione-terreno;
- Ribaltamento;
- Stabilità globale del complesso opera di sostegno-terreno;

SLU di tipo strutturale (STR)

- Raggiungimento della resistenza negli elementi strutturali.

La verifica di stabilità globale del complesso opera di sostegno-terreno deve essere effettuata secondo l'Approccio 1, con la Combinazione 2 (A2+M2+R2).

Le rimanenti verifiche devono essere effettuate secondo l'Approccio 2, con la combinazione (A1+M1+R3).

 <b>ITALFERR</b> GRUPPO FERROVIE DELLO STATO ITALIANE	<b>DIRETTRICE FERROVIARIA MESSINA – CATANIA – PALERMO</b> <b>NUOVO COLLEGAMENTO PALERMO – CATANIA</b> <b>TRATTA VALLELUNGA – CALTANISSETTA XIRBI (LOTTO 3b)</b> <b>OPERE DI SOSTEGNO PIAZZALI – LOTTO 3B</b>					
	PT56: MURO DI CONTRORIPA MU96B RELAZIONE DI CALCOLO	COMMESSA RS3T	LOTTO 30 D 78	CODIFICA CL	DOCUMENTO MU96B0 001	REV. B

Per ciascuna verifica si deve tenere conto dei coefficienti parziali per le azioni, dei parametri geotecnici e dei coefficienti di amplificazione per le verifiche di sicurezza, tutti riportati nelle seguenti tabelle.

Nella verifica a ribaltamento i coefficienti R3 si applicano agli effetti delle azioni stabilizzanti.

Coefficiente			EQU <sup>(1)</sup>	A1	A2
Azioni permanenti	favorevoli	$\gamma_{G1}$	0,90	1,00	1,00
	sfavorevoli		1,10	1,35	1,00
Azioni permanenti non strutturali <sup>(2)</sup>	favorevoli	$\gamma_{G2}$	0,00	0,00	0,00
	sfavorevoli		1,50	1,50	1,30
Ballast <sup>(3)</sup>	favorevoli	$\gamma_B$	0,90	1,00	1,00
	sfavorevoli		1,50	1,50	1,30
Azioni variabili da traffico <sup>(4)</sup>	favorevoli	$\gamma_Q$	0,00	0,00	0,00
	sfavorevoli		1,45	1,45	1,25
Azioni variabili	favorevoli	$\gamma_{Qi}$	0,00	0,00	0,00
	sfavorevoli		1,50	1,50	1,30
Precompressione	favorevole	$\gamma_P$	0,90	1,00	1,00
	sfavorevole		1,00 <sup>(5)</sup>	1,00 <sup>(6)</sup>	1,00
Ritiro, viscosità e cedimenti non imposti appositamente	favorevole	$\gamma_{Ce}$	0,00	0,00	0,00
	sfavorevole	d	1,20	1,20	1,00

Tabella 9-7 - Coefficienti parziali di sicurezza per le combinazioni di carico agli SLU.

Parametro	Grandezza alla quale applicare il coefficiente parziale	Coefficiente parziale $\gamma_M$	(M1)	(M2)
Tangente dell'angolo di resistenza al taglio	$\tan \varphi'_k$	$\gamma_{\varphi'}$	1,0	1,25
Coesione efficace	$c'_k$	$\gamma_c$	1,0	1,25
Resistenza non drenata	$c_{uk}$	$\gamma_{cu}$	1,0	1,4
Peso dell'unità di volume	$\gamma_\gamma$	$\gamma_\gamma$	1,0	1,0

Tabella 9-8 - Coefficienti parziali per i parametri geotecnici del terreno.

Verifica	Coefficiente parziale (R3)
Capacità portante della fondazione	$\gamma_R = 1,4$
Scorrimento	$\gamma_R = 1,1$
Ribaltamento	$\gamma_R = 1,15$
Resistenza del terreno a valle	$\gamma_R = 1,4$

Tabella 9-9 – Coefficienti parziali  $\gamma_R$  per le verifiche agli stati limite ultimi dei muri di sostegno.

COEFFICIENTE	R2
$\gamma_R$	1,1

 <b>ITALFERR</b> GRUPPO FERROVIE DELLO STATO ITALIANE	<b>DIRETTRICE FERROVIARIA MESSINA – CATANIA – PALERMO</b> <b>NUOVO COLLEGAMENTO PALERMO – CATANIA</b> <b>TRATTA VALLELUNGA – CALTANISSETTA XIRBI (LOTTO 3b)</b> <b>OPERE DI SOSTEGNO PIAZZALI – LOTTO 3B</b>					
	PT56: MURO DI CONTRORIPA MU96B RELAZIONE DI CALCOLO	COMMESSA RS3T	LOTTO 30 D 78	CODIFICA CL	DOCUMENTO MU96B0 001	REV. B

Tabella 9-10 – Coefficienti parziali per le verifiche di sicurezza di opere di materiali sciolti e fronti di scavo.

Le combinazioni sismiche, in maniera del tutto analoga alle combinazioni statiche, sono effettuate con l'approccio 2, ponendo però pari all'unità i coefficienti parziali sulle azioni e sui parametri geotecnici e impiegando le resistenze di progetto con i coefficienti parziali  $\gamma_R$  indicati nella seguente tabella.

Verifica	Coefficiente parziale $\gamma_R$
Carico limite	1.2
Scorrimento	1.0
Ribaltamento	1.0
Resistenza del terreno a valle	1.2

Tabella 9-11 – Coefficienti parziali  $\gamma_R$  per le verifiche agli stati limite (SLV) dei muri di sostegno.

Le verifiche pseudo-statiche di sicurezza dei fronti di scavo e dei rilevati in condizioni sismiche si eseguono adottando valori unitari dei coefficienti parziali del gruppo A e M per il calcolo delle azioni e dei parametri geotecnici di progetto e un coefficiente parziale  $\gamma_R$  pari a 1.2.

Al fine della determinazione dei valori caratteristici delle azioni dovute al traffico, si devono considerare, generalmente, le combinazioni riportate nella seguente tabella:

Gruppo di azioni	Carichi sulla superficie carrabile					Carichi su marciapiedi e piste ciclabili non sormontabili
	Carichi verticali			Carichi orizzontali		Carichi verticali
	Modello principale (schemi di carico 1, 2, 3, 4 e 6)	Veicoli speciali	Folla (Schema di carico 5)	Frenatura	Forza centrifuga	Carico uniformemente distribuito
1	Valore caratteristico					Schema di carico 5 con valore di combinazione 2,5kN/m <sup>2</sup>
2a	Valore frequente			Valore caratteristico		
2b	Valore frequente				Valore caratteristico	
3 (*)						Schema di carico 5 con valore caratteristico 5,0kN/m <sup>2</sup>
4 (**)			Schema di carico 5 con valore caratteristico 5,0kN/m <sup>2</sup>			Schema di carico 5 con valore caratteristico 5,0kN/m <sup>2</sup>
5 (***)	Da definirsi per il singolo progetto	Valore caratteristico o nominale				

(\*) Ponti pedonali  
 (\*\*) Da considerare solo se richiesto dal particolare progetto (ad es. ponti in zona urbana)  
 (\*\*\*) Da considerare solo se si considerano veicoli speciali

Tabella 9-12 – Valori caratteristici delle azioni dovute al traffico.

Questa fornisce i valori dei coefficienti parziali delle azioni da assumere nell'analisi per la determinazione degli effetti delle azioni nelle verifiche agli stati limite ultimo.

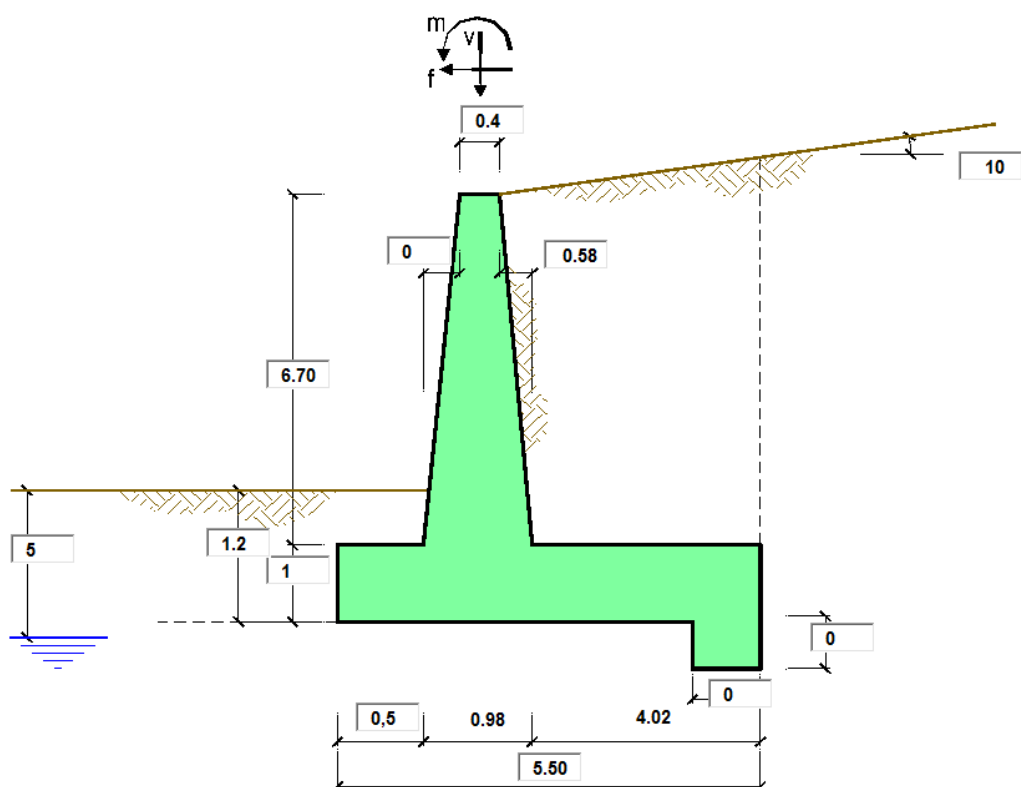
I valori dei coefficienti di combinazione  $\psi_{0j}$ ,  $\psi_{1j}$ ,  $\psi_{2j}$  per le diverse categorie sono riportati nella tabella successiva:

Azioni	Gruppo di azioni (Tab. 5.1.IV)	Coefficiente $\Psi_0$ di combi- nazione	Coefficiente $\Psi_1$ (valori frequent)	Coefficiente $\Psi_2$ (valori quasi permanenti)
Azioni da traffico (Tab. 5.1.IV)	Schema 1 (carichi tandem)	0,75	0,75	0,0
	Schemi 1, 5 e 6 (carichi distribuiti)	0,40	0,40	0,0
	Schemi 3 e 4 (carichi concentrati)	0,40	0,40	0,0
	Schema 2	0,0	0,75	0,0
	2	0,0	0,0	0,0
	3	0,0	0,0	0,0
	4 (folla)	–	0,75	0,0
	5	0,0	0,0	0,0
Vento	a ponte scarico SLU e SLE	0,6	0,2	0,0
	in esecuzione	0,8	0,0	0,0
	a ponte carico SLU e SLE	0,6	0,0	0,0
Neve	SLU e SLE	0,0	0,0	0,0
	in esecuzione	0,8	0,6	0,5
Temperatura	SLU e SLE	0,6	0,6	0,5

Tabella 9-13 – Coefficienti  $\psi$  per le azioni variabili per ponti stradali e pedonali.

## 10. PROGETTO E VERIFICA DEL MURO DI CONTRORIPA “TIPO 0”

### 10.1 DATI DI INPUT



#### Geometria del Muro

Elevazione	H3 =	6.70	(m)
Aggetto Valle	B2 =	0.00	(m)
Spessore del Muro in Testa	B3 =	0.40	(m)
Aggetto monte	B4 =	0.58	(m)

#### Geometria della Fondazione

Larghezza Fondazione	B =	5.50	(m)
Spessore Fondazione	H2 =	1.00	(m)
Suola Lato Valle	B1 =	0.50	(m)
Suola Lato Monte	B5 =	4.02	(m)
Altezza dente	Hd =	0.00	(m)
Larghezza dente	Bd =	0.00	(m)
Mezzeria Sezione	Xc =	2.75	(m)

Peso Specifico del Calcestruzzo	$\gamma_{cls}$ =	25.00	(kN/m <sup>3</sup> )
---------------------------------	------------------	-------	----------------------

*Dati geotecnici e carichi agenti – Condizione statica e sismica*

<b>Dati Geotecnici</b>			valori caratteristici		valori di progetto	
			SLE		STR/GEO	EQU
Dati Terrapieno	Angolo di attrito del terrapieno	(°)	$\varphi'$	30.00	30.00	30.00
	Peso Unità di Volume del terrapieno	(kN/m <sup>3</sup> )	$\gamma'$	19.00	19.00	19.00
	Angolo di attrito terreno-superficie ideale	(°)	$\delta$	10.00	10.00	10.00
Dati Terreno Fondazione	Condizioni		<input checked="" type="radio"/> drenate <input type="radio"/> Non Drenate			
	Coesione Terreno di Fondazione	(kPa)	$c_1'$	18.00	18.00	18.00
	Angolo di attrito del Terreno di Fondazione	(°)	$\varphi_1'$	24.00	24.00	24.00
	Peso Unità di Volume del Terreno di Fondazione	(kN/m <sup>3</sup> )	$\gamma_1$	21.00	21.00	21.00
	Peso Unità di Volume del Rinterro della Fondazione	(kN/m <sup>3</sup> )	$\gamma_d$	19.00	19.00	19.00
	Profondità "Significativa" (n.b.: consigliata H = 2*B)	(m)	Hs	11.00		
	Modulo di deformazione	(kN/m <sup>2</sup> )	E	5000		

Dati Sismici	Accelerazione sismica	$a_g/g$	0.095	(-)	
	Coefficiente Amplificazione Stratigrafico	$S_s$	1.5	(-)	
	Coefficiente Amplificazione Topografico	$S_T$	1	(-)	
	Coefficiente di riduzione dell'accelerazione massima	$\beta_s$	0.38	(-)	
	Coefficiente sismico orizzontale	kh	0.05415	(-)	
	Coefficiente sismico verticale	kv	0.0271	(-)	
Muro libero di traslare o ruotare			<input checked="" type="radio"/> si <input type="radio"/> no		

			STR/GEO	RIB
Coefficienti di Spinta	Coeff. di Spinta Attiva Statico	ka	0.350	0.350
	Coeff. Di Spinta Attiva Sismica sisma +	kas+	0.392	0.415
	Coeff. Di Spinta Attiva Sismica sisma -	kas-	0.395	0.422
	Coeff. Di Spinta Passiva	kp	2.371	2.371
	Coeff. Di Spinta Passiva Sismica sisma +	kps+	2.288	2.247
	Coeff. Di Spinta Passiva Sismica sisma -	kps-	2.283	2.236

<b>Carichi Agenti</b>			valori caratteristici		valori di progetto	
			SLE - sisma		STR/GEO	EQU
Carichi permanenti	Sovraccarico permanente	(kN/m <sup>2</sup> )	qp	0.00	0.00	0.00
	Sovraccarico su zattera di monte <input type="radio"/> si <input checked="" type="radio"/> no					
	Forza Orizzontale in Testa permanente	(kN/m)	fp	0.00	0.00	0.00
	Forza Verticale in Testa permanente	(kN/m)	vp	3.50	3.50	3.50
Condizioni Statiche	Momento in Testa permanente	(kNm/m)	mp	0.00	0.00	0.00
	Sovraccarico Accidentale in condizioni statiche	(kN/m <sup>2</sup> )	q	0.00	0.00	0.00
	Forza Orizzontale in Testa accidentale in condizioni statiche	(kN/m)	f	0.00	0.00	0.00
	Forza Verticale in Testa accidentale in condizioni statiche	(kN/m)	v	0.00	0.00	0.00
	Momento in Testa accidentale in condizioni statiche	(kNm/m)	m	0.00	0.00	0.00
Condizioni Sismiche	Coefficienti di combinazione condizione frequente $\Psi_1$		1.00	condizione quasi permanente $\Psi_2$	0.00	
	Sovraccarico Accidentale in condizioni sismiche	(kN/m <sup>2</sup> )	qs	0.00		
	Forza Orizzontale in Testa accidentale in condizioni sismiche	(kN/m)	fs	0.00		
	Forza Verticale in Testa accidentale in condizioni sismiche	(kN/m)	vs	0.00		
	Momento in Testa accidentale in condizioni sismiche	(kNm/m)	ms	0.00		

PT56: MURO DI CONTRORIPA MU96B  
RELAZIONE DI CALCOLO

COMMESSA	LOTTO	CODIFICA	DOCUMENTO	REV.	FOGLIO
RS3T	30 D 78	CL	MU96B0 001	B	52 di 160

### CARATTERISTICHE DEI MATERIALI STRUTTURALI

#### Calcestruzzo

classe cls	<input type="text" value="C32/40"/>		
Rck	40	(MPa)	
fck	32	(MPa)	
fc <sub>m</sub>	40	(MPa)	
E <sub>c</sub>	33346	(MPa)	
α <sub>cc</sub>	0.85		
γ <sub>c</sub>	1.50		
$f_{cd} = \alpha_{cc} \cdot f_{ck} / \gamma_c$	18.13	(MPa)	
$f_{ctm} = 0.30 \cdot f_{ck}^{2/3}$	3.02	(MPa)	

#### Tensioni limite (tensioni ammissibili)

##### condizioni statiche

σ <sub>c</sub>	19.2	Mpa
σ <sub>f</sub>	360	Mpa

##### condizioni sismiche

σ <sub>c</sub>	19.2	Mpa
σ <sub>f</sub>	360	Mpa

#### Valore limite di apertura delle fessure

Frequente	<input type="text" value="w1"/>	0.2	mm
Quasi Permanente	<input type="text" value="w1"/>	0.2	mm

#### Acciaio

tipo di acciaio	<input type="text" value="B450C"/>		
f <sub>yk</sub> =	450	(MPa)	
γ <sub>s</sub> =	1.15		
$f_{yd} = f_{yk} / \gamma_s / \gamma_E =$	391.30	(MPa)	
E <sub>s</sub> =	210000	(MPa)	
ε <sub>ys</sub> =	0.19%		

coefficiente omogeneizzazione acciaio n = 15

#### Copriferro (distanza asse armatura-bordo)

c = 8.00 (cm)

#### Copriferro minimo di normativa (ricoprimento armatura)

c<sub>min</sub> = 5.00 (cm)

#### Interferro tra I e II strato

i<sub>I-II</sub> = 5.00 (cm)

## 10.2 CALCOLO DELLE AZIONI

### 10.2.1 FORZE VERTICALI E INERZIALI

#### FORZE VERTICALI

##### - Peso del Muro (Pm)

			SLE	STR/GEO	EQU/RIB
Pm1 =	$(B2 \cdot H3 \cdot \gamma_{cls}) / 2$	(kN/m)	0.00	0.00	0.00
Pm2 =	$(B3 \cdot H3 \cdot \gamma_{cls})$	(kN/m)	67.00	67.00	67.00
Pm3 =	$(B4 \cdot H3 \cdot \gamma_{cls}) / 2$	(kN/m)	48.58	48.58	48.58
Pm4 =	$(B \cdot H2 \cdot \gamma_{cls})$	(kN/m)	137.50	137.50	137.50
Pm5 =	$(Bd \cdot Hd \cdot \gamma_{cls})$	(kN/m)	0.00	0.00	0.00
Pm =	Pm1 + Pm2 + Pm3 + Pm4 + Pm5	(kN/m)	253.08	253.08	253.08

##### - Peso del terreno e sovr. perm. sulla scarpa di monte del muro (Pt)

Pt1 =	$(B5 \cdot H3 \cdot \gamma)$	(kN/m)	511.75	511.75	511.75
Pt2 =	$(0,5 \cdot (B4 + B5) \cdot H4 \cdot \gamma)$	(kN/m)	35.45	35.45	35.45
Pt3 =	$(B4 \cdot H3 \cdot \gamma) / 2$	(kN/m)	36.92	36.92	36.92
Sovr =	$qp \cdot (B4 + B5)$	(kN/m)	0.00	0.00	0.00
Pt =	Pt1 + Pt2 + Pt3 + Sovr	(kN/m)	584.11	584.11	584.11

##### - Sovraccarico accidentale sulla scarpa di monte del muro

Sovr acc. Stat	$q \cdot (B4 + B5)$	(kN/m)	0	0	
Sovr acc. Sism	$qs \cdot (B4 + B5)$	(kN/m)	0		

#### MOMENTI DELLE FORZE VERT. RISPETTO AL PIEDE DI VALLE DEL MURO

##### - Muro (Mm)

			SLE	STR/GEO	EQU/RIB
Mm1 =	$Pm1 \cdot (B1 + 2/3 \cdot B2)$	(kNm/m)	0.00	0.00	0.00
Mm2 =	$Pm2 \cdot (B1 + B2 + 0,5 \cdot B3)$	(kNm/m)	46.90	46.90	46.90
Mm3 =	$Pm3 \cdot (B1 + B2 + B3 + 1/3 \cdot B4)$	(kNm/m)	53.11	53.11	53.11
Mm4 =	$Pm4 \cdot (B/2)$	(kNm/m)	378.13	378.13	378.13
Mm5 =	$Pm5 \cdot (B - Bd/2)$	(kNm/m)	0.00	0.00	0.00
Mm =	Mm1 + Mm2 + Mm3 + Mm4 + Mm5	(kNm/m)	478.13	478.13	478.13

##### - Terrapieno e sovr. perm. sulla scarpa di monte del muro

Mt1 =	$Pt1 \cdot (B1 + B2 + B3 + B4 + 0,5 \cdot B5)$	(kNm/m)	1785.99	1785.99	1785.99
Mt2 =	$Pt2 \cdot (B1 + B2 + B3 + 2/3 \cdot (B4 + B5))$	(kNm/m)	140.60	140.60	140.60
Mt3 =	$Pt3 \cdot (B1 + B2 + B3 + 2/3 \cdot B4)$	(kNm/m)	47.50	47.50	47.50
Msovr =	$Sovr \cdot (B1 + B2 + B3 + 1/2 \cdot (B4 + B5))$	(kNm/m)	0.00	0.00	0.00
Mt =	Mt1 + Mt2 + Mt3 + Msovr	(kNm/m)	1974.09	1974.09	1974.09

##### - Sovraccarico accidentale sulla scarpa di monte del muro

Sovr acc. Stat	$q \cdot (B1 + B2 + B3 + 1/2 \cdot (B4 + B5))$	(kNm/m)	0	0	
Sovr acc. Sism	$qs \cdot (B1 + B2 + B3 + 1/2 \cdot (B4 + B5))$	(kNm/m)	0		

PT56: MURO DI CONTRORIPA MU96B  
RELAZIONE DI CALCOLO

COMMESSA	LOTTO	CODIFICA	DOCUMENTO	REV.	FOGLIO
RS3T	30 D 78	CL	MU96B0 001	B	54 di 160

### INERZIA DEL MURO E DEL TERRAPIENO

- Inerzia orizzontale e verticale del muro (Ps)

Ps h =	$P_m \cdot kh$	(kN/m)	13.70	20.56
Ps v =	$P_m \cdot kv$	(kN/m)	6.85	10.28

- Inerzia orizzontale e verticale del terrapieno a tergo del muro (Pts)

Ptsh =	$P_t \cdot kh$	(kN/m)	31.63	47.44
Ptsh v =	$P_t \cdot kv$	(kN/m)	15.81	23.72

- Incremento orizzontale di momento dovuto all'inerzia del muro (MPs h)

MPs1 h =	$kh \cdot P_m1 \cdot (H_2 + H_3/3)$	(kNm/m)	0.00	0.00
MPs2 h =	$kh \cdot P_m2 \cdot (H_2 + H_3/2)$	(kNm/m)	15.78	23.67
MPs3 h =	$kh \cdot P_m3 \cdot (H_2 + H_3/3)$	(kNm/m)	8.50	12.76
MPs4 h =	$kh \cdot P_m4 \cdot (H_2/2)$	(kNm/m)	3.72	5.58
MPs5 h =	$-kh \cdot P_m5 \cdot (H_d/2)$	(kNm/m)	0.00	0.00
MPs h =	$MPs1 + MPs2 + MPs3 + MPs4 + MPs5$	(kNm/m)	28.01	42.01

- Incremento verticale di momento dovuto all'inerzia del muro (MPs v)

MPs1 v =	$kv \cdot P_m1 \cdot (B_1 + 2/3 \cdot B_2)$	(kNm/m)	0.00	0.00
MPs2 v =	$kv \cdot P_m2 \cdot (B_1 + B_2 + B_3/2)$	(kNm/m)	1.27	1.90
MPs3 v =	$kv \cdot P_m3 \cdot (B_1 + B_2 + B_3 + B_4/3)$	(kNm/m)	1.44	2.16
MPs4 v =	$kv \cdot P_m4 \cdot (B/2)$	(kNm/m)	10.24	15.36
MPs5 v =	$kv \cdot P_m5 \cdot (B - B_d/2)$	(kNm/m)	0.00	0.00
MPs v =	$MPs1 + MPs2 + MPs3 + MPs4 + MPs5$	(kNm/m)	12.95	19.42

- Incremento orizzontale di momento dovuto all'inerzia del terrapieno (MPts h)

MPts1 h =	$kh \cdot P_t1 \cdot (H_2 + H_3/2)$	(kNm/m)	120.54	180.81
MPts2 h =	$kh \cdot P_t2 \cdot (H_2 + H_3 + H_4/3)$	(kNm/m)	23.94	35.90
MPts3 h =	$kh \cdot P_t3 \cdot (H_2 + H_3 \cdot 2/3)$	(kNm/m)	10.93	16.39
MPts h =	$MPts1 + MPts2 + MPts3$	(kNm/m)	155.41	233.11

- Incremento verticale di momento dovuto all'inerzia del terrapieno (MPts v)

MPts1 v =	$kv \cdot P_t1 \cdot ((H_2 + H_3/2) - (B - B_5/2) \cdot 0.5)$	(kNm/m)	48.36	72.53
MPts2 v =	$kv \cdot P_t2 \cdot ((H_2 + H_3 + H_4/3) - (B - B_5/3) \cdot 0.5)$	(kNm/m)	3.99	5.99
MPts3 v =	$kv \cdot P_t3 \cdot ((H_2 + H_3 \cdot 2/3) - (B_1 + B_2 + B_3 + 2/3 \cdot B_4) \cdot 0.5)$	(kNm/m)	1.77	2.65
MPts v =	$MPts1 + MPts2 + MPts3$	(kNm/m)	54.12	81.18

## 10.2.2 SPINTE IN CONDIZIONE STATICA

### SPINTE DEL TERRENO E DEL SOVRACCARICO

- Spinta totale condizione statica

		SLE	STR/GEO	EQU/RIB
St =	$0,5 \cdot \gamma \cdot (H_2 + H_3 + H_4 + H_d)^2 \cdot k_a$	(kN/m) 240.53	312.69	312.69
Sq perm =	$q \cdot (H_2 + H_3 + H_4 + H_d) \cdot k_a$	(kN/m) 0.00	0.00	0.00
Sq acc =	$q \cdot (H_2 + H_3 + H_4 + H_d) \cdot k_a$	(kN/m) 0.00	0.00	0.00

- Componente orizzontale condizione statica

Sth =	$St \cdot \cos \delta$	(kN/m) 236.87	307.94	307.94
Sqh perm =	$Sq \text{ perm} \cdot \cos \delta$	(kN/m) 0.00	0.00	0.00
Sqh acc =	$Sq \text{ acc} \cdot \cos \delta$	(kN/m) 0.00	0.00	0.00

- Componente verticale condizione statica

Stv =	$St \cdot \sin \delta$	(kN/m) 41.77	54.30	54.30
Sqv perm =	$Sq \text{ perm} \cdot \sin \delta$	(kN/m) 0.00	0.00	0.00
Sqv acc =	$Sq \text{ acc} \cdot \sin \delta$	(kN/m) 0.00	0.00	0.00

- Spinta passiva sul dente

$Sp = \frac{1}{2} \cdot g_1 \cdot H_d^2 \cdot \frac{1}{2} \cdot \gamma_1 \cdot H_d^2 \cdot k_p + (2 \cdot c_1 \cdot k_p^{0.5} + \gamma_1 \cdot k_p \cdot H_2) \cdot H_d$	(kN/m)	0.00	0.00	0.00
--	--------	------	------	------

### MOMENTI DELLA SPINTA DEL TERRENO E DEL SOVRACCARICO

		SLE	STR/GEO	EQU/RIB
MSt1 =	$Sth \cdot ((H_2 + H_3 + H_4 + H_d) / 3 - H_d)$	(kNm/m) 672.02	873.63	873.63
MSt2 =	$Stv \cdot B$	(kNm/m) 229.72	298.64	298.64
MSq1 perm =	$Sqh \text{ perm} \cdot ((H_2 + H_3 + H_4 + H_d) / 2 - H_d)$	(kNm/m) 0.00	0.00	0.00
MSq1 acc =	$Sqh \text{ acc} \cdot ((H_2 + H_3 + H_4 + H_d) / 2 - H_d)$	(kNm/m) 0.00	0.00	0.00
MSq2 perm =	$Sqv \text{ perm} \cdot B$	(kNm/m) 0.00	0.00	0.00
MSq2 acc =	$Sqv \text{ acc} \cdot B$	(kNm/m) 0.00	0.00	0.00
MSp =	$\gamma_1 \cdot H_d^3 \cdot k_p / 3 + (2 \cdot c_1 \cdot k_p^{0.5} + \gamma_1 \cdot k_p \cdot H_2) \cdot H_d^2 / 2$	(kNm/m) 0.00	0.00	0.00

### MOMENTI DOVUTI ALLE FORZE ESTERNE

Mfext1 =	$mp + m$	(kNm/m) 0.00	0.00	0.00
Mfext2 =	$(fp + f) \cdot (H_3 + H_2)$	(kNm/m) 0.00	0.00	0.00
Mfext3 =	$(vp + v) \cdot (B_1 + B_2 + B_3 / 2)$	(kNm/m) 2.45	2.45	2.45

### 10.2.3 SPINTE IN CONDIZIONE SISMICA +

#### SPINTE DEL TERRENO E DEL SOVRACCARICO

		SLE	STR/GEO	EQU/RIB
- Spinta condizione sismica +				
Sst1 stat =	$0,5 \cdot \gamma \cdot (H2+H3+H4+Hd) \cdot ka$	(kN/m)	240.53	240.53
Sst1 sism =	$0,5 \cdot \gamma \cdot (1+kv) \cdot (H2+H3+H4+Hd) \cdot kas^+ - Sst1 \text{ stat}$	(kN/m)	36.79	36.79
Ssq1 perm =	$qp \cdot (H2+H3+H4+Hd) \cdot kas^+$	(kN/m)	0.00	0.00
Ssq1 acc =	$qs \cdot (H2+H3+H4+Hd) \cdot kas^+$	(kN/m)	0.00	0.00
- Componente orizzontale condizione sismica +				
Sst1h stat =	$Sst1 \text{ stat} \cdot \cos \delta$	(kN/m)	236.87	236.87
Sst1h sism =	$Sst1 \text{ sism} \cdot \cos \delta$	(kN/m)	36.23	36.23
Ssq1h perm =	$Ssq1 \text{ perm} \cdot \cos \delta$	(kN/m)	0.00	0.00
Ssq1h acc =	$Ssq1 \text{ acc} \cdot \cos \delta$	(kN/m)	0.00	0.00
- Componente verticale condizione sismica +				
Sst1v stat =	$Sst1 \text{ stat} \cdot \sin \delta$	(kN/m)	41.77	41.77
Sst1v sism =	$Sst1 \text{ sism} \cdot \sin \delta$	(kN/m)	6.39	6.39
Ssq1v perm =	$Ssq1 \text{ perm} \cdot \sin \delta$	(kN/m)	0.00	0.00
Ssq1v acc =	$Ssq1 \text{ acc} \cdot \sin \delta$	(kN/m)	0.00	0.00
- Spinta passiva sul dente				
Sp =	$\frac{1}{2} \cdot \gamma_1 \cdot (1+kv) \cdot Hd^2 \cdot kps^+ + (2 \cdot c_1 \cdot kps^{+0.5} + \gamma_1 \cdot (1+kv) \cdot kps^+ \cdot H2) \cdot Hd$	(kN/m)	0.00	0.00

#### MOMENTI DELLA SPINTA DEL TERRENO E DEL SOVRACCARICO

		SLE	STR/GEO	EQU/RIB
- Condizione sismica +				
MSst1 stat =	$Sst1h \text{ stat} \cdot ((H2+H3+H4+hd)/3-hd)$	(kNm/m)	672.02	672.02
MSst1 sism =	$Sst1h \text{ sism} \cdot ((H2+H3+H4+Hd)/3-Hd)$	(kNm/m)	102.78	102.78
MSst2 stat =	$Sst1v \text{ stat} \cdot B$	(kNm/m)	229.72	229.72
MSst2 sism =	$Sst1v \text{ sism} \cdot B$	(kNm/m)	35.13	35.13
MSsq1 =	$Ssq1h \cdot ((H2+H3+H4+Hd)/2-Hd)$	(kNm/m)	0.00	0.00
MSsq2 =	$Ssq1v \cdot B$	(kNm/m)	0.00	0.00
MSp =	$\gamma_1 \cdot Hd^3 \cdot kps^+ / 3 + (2 \cdot c_1 \cdot kps^{+0.5} + \gamma_1 \cdot kps^+ \cdot H2) \cdot Hd^2 / 2$	(kNm/m)	0.00	0.00

#### MOMENTI DOVUTI ALLE FORZE ESTERNE

Mfext1 =	$mp+ms$	(kNm/m)	0.00
Mfext2 =	$(fp+fs) \cdot (H3 + H2)$	(kNm/m)	0.00
Mfext3 =	$(vp+vs) \cdot (B1 + B2 + B3/2)$	(kNm/m)	2.45

## 10.2.4 SPINTE IN CONDIZIONE SISMICA -

### SPINTE DEL TERRENO E DEL SOVRACCARICO

- Spinta condizione sismica -

		SLE	STR/GEO	EQU/RIB
Sst1 stat = $0,5 \cdot \gamma \cdot (H2+H3+H4+Hd) \cdot ka$	(kN/m)	240.53	240.53	240.53
Sst1 sism = $0,5 \cdot \gamma \cdot (1-kv) \cdot (H2+H3+H4+Hd) \cdot ka - Sst1\ stat$	(kN/m)	23.89	23.89	37.87
Ssq1 perm = $qp \cdot (H2+H3+H4+Hd) \cdot ka$	(kN/m)	0.00	0.00	0.00
Ssq1 acc = $qs \cdot (H2+H3+H4+Hd) \cdot ka$	(kN/m)	0.00	0.00	0.00

- Componente orizzontale condizione sismica -

Sst1h stat = $Sst1\ stat \cdot \cos \delta$	(kN/m)	236.87	236.87	236.87
Sst1h sism = $Sst1\ sism \cdot \cos \delta$	(kN/m)	23.53	23.53	37.30
Ssq1h perm = $Ssq1\ perm \cdot \cos \delta$	(kN/m)	0.00	0.00	0.00
Ssq1h acc = $Ssq1\ acc \cdot \cos \delta$	(kN/m)	0.00	0.00	0.00

- Componente verticale condizione sismica -

Sst1v stat = $Sst1\ stat \cdot \sin \delta$	(kN/m)	41.77	41.77	41.77
Sst1v sism = $Sst1\ sism \cdot \sin \delta$	(kN/m)	4.15	4.15	6.58
Ssq1v perm = $Ssq1\ perm \cdot \sin \delta$	(kN/m)	0.00	0.00	0.00
Ssq1v acc = $Ssq1\ acc \cdot \sin \delta$	(kN/m)	0.00	0.00	0.00

- Spinta passiva sul dente

$Sp = \frac{1}{2} \cdot \gamma_1 \cdot (1-kv) \cdot Hd^2 \cdot kps + (2 \cdot c_1 \cdot kps^{0.5} + \gamma_1 \cdot (1-kv) \cdot kps \cdot H2) \cdot Hd$	(kN/m)	0.00	0.00	0.00
---	--------	------	------	------

### MOMENTI DELLA SPINTA DEL TERRENO E DEL SOVRACCARICO

- Condizione sismica -

		SLE	STR/GEO	EQU/RIB
MSst1 stat = $Sst1h\ stat \cdot ((H2+H3+H4+hd)/3-hd)$	( kNm/m )	672.02	672.02	672.02
MSst1 sism = $Sst1h\ sism \cdot ((H2+H3+H4+Hd)/3-Hd)$	( kNm/m )	66.75	66.75	105.81
MSst2 stat = $Sst1v\ stat \cdot B$	( kNm/m )	229.72	229.72	229.72
MSst2 sism = $Sst1v\ sism \cdot B$	( kNm/m )	22.82	22.82	36.17
MSsq1 = $Ssq1h \cdot ((H2+H3+H4+Hd)/2-Hd)$	( kNm/m )	0.00	0.00	0.00
MSsq2 = $Ssq1v \cdot B$	( kNm/m )	0.00	0.00	0.00
MSp = $\gamma_1 \cdot Hd^3 \cdot kps + 3 \cdot (2 \cdot c_1 \cdot kps^{0.5} + \gamma_1 \cdot kps \cdot H2) \cdot Hd^2 / 2$	( kNm/m )	0.00	0.00	0.00

### MOMENTI DOVUTI ALLE FORZE ESTERNE

Mfext1 = $mp+ms$	( kNm/m )		0.00	
Mfext2 = $(fp+fs) \cdot (H3 + H2)$	( kNm/m )		0.00	
Mfext3 = $(vp+vs) \cdot (B1 + B2 + B3/2)$	( kNm/m )		2.45	

### 10.3 VERIFICHE GEOTECNICHE

#### 10.3.1 VERIFICA STATICA A RIBALTAMENTO, SCORRIMENTO E CARICO LIMITE VERTICALE - C. DRENATE

##### VERIFICA ALLO SCORRIMENTO (STR/GEO)

Risultante forze verticali (N)				
$N = P_m + P_t + v + S_{tv} + S_{qv \text{ perm}} + S_{qv \text{ acc}}$	894.98	(kN/m)		
Risultante forze orizzontali (T)				
$T = S_{th} + S_{qh} + f$	307.94	(kN/m)		
Coefficiente di attrito alla base (f)				
$f = \text{tg}\phi_1'$	0.45	(-)		
<b>Fs scorr.</b>	<b><math>(N \cdot f + S_p) / T</math></b>	<b>1.29</b>	<b>&gt;</b>	<b>1.1</b>

##### VERIFICA AL RIBALTAMENTO

Momento stabilizzante (Ms)				
$M_s = M_m + M_t + M_{fext3}$	2454.68	( kNm/m )		
Momento ribaltante (Mr)				
$M_r = M_{St} + M_{Sq} + M_{fext1} + M_{fext2} + M_{Sp}$	574.99	( kNm/m )		
<b>Fs ribaltamento</b>	<b><math>M_s / M_r</math></b>	<b>4.27</b>	<b>&gt;</b>	<b>1.15</b>

##### VERIFICA CARICO LIMITE DELLA FONDAZIONE (STR/GEO)

Risultante forze verticali (N)		Nmin	Nmax	
$N = P_m + P_t + v + S_{tv} + S_{qv} (+ S_{ovr \text{ acc}})$	894.98	894.98	894.98	(kN/m)
Risultante forze orizzontali (T)				
$T = S_{th} + S_{qh} + f - S_p$	307.94	307.94	307.94	(kN/m)
Risultante dei momenti rispetto al piede di valle (MM)				
$MM = \sum M$	1879.69	1879.69	1879.69	( kNm/m )
Momento rispetto al baricentro della fondazione (M)				
$M = X_c \cdot N - MM$	581.51	581.51	581.51	( kNm/m )

### Formula Generale per il Calcolo del Carico Limite Unitario (Brinch-Hansen, 1970)

Fondazione Nastriforme

$$q_{lim} = c'N_c'ic + q_0'N_q'iq + 0,5*\gamma_1*B*N_\gamma'i_\gamma$$

c1'	coesione terreno di fondaz.	18.00			(kPa)
$\phi_1'$	angolo di attrito terreno di fondaz.	24.00			(°)
$\gamma_1$	peso unità di volume terreno fondaz.	17.91			(kN/m <sup>3</sup> )
$q_0 = \gamma d'H_2'$	sovraccarico stabilizzante	22.80			(kN/m <sup>2</sup> )
$e = M / N$	eccentricità	0.65	0.65		(m)
$B^* = B - 2e$	larghezza equivalente	4.20	4.20		(m)

I valori di  $N_c$ ,  $N_q$  e  $N_\gamma$  sono stati valutati con le espressioni suggerite da Vesic (1975)

$N_q = \text{tg}^2(45 + \phi'/2)*e^{(\pi*\text{tg}(\phi'))}$	(1 in cond. nd)	9.60			(-)
$N_c = (N_q - 1)/\text{tg}(\phi')$	(2+ $\pi$ in cond. nd)	19.32			(-)
$N_\gamma = 2*(N_q + 1)*\text{tg}(\phi')$	(0 in cond. nd)	9.44			(-)

I valori di  $i_c$ ,  $i_q$  e  $i_\gamma$  sono stati valutati con le espressioni suggerite da Vesic (1975)

$i_q = (1 - T/(N + B*c'*\text{cotg}\phi'))^m$	(1 in cond. nd)	0.51	0.51		(-)
$i_c = i_q - (1 - i_q)/(N_q - 1)$		0.45	0.45		(-)
$i_\gamma = (1 - T/(N + B*c'*\text{cotg}\phi'))^{m+1}$		0.36	0.36		(-)

(fondazione nastriforme  $m = 2$ )

$q_{lim}$	(carico limite unitario)	393.90	393.90		(kN/m <sup>2</sup> )
-----------	--------------------------	--------	--------	--	----------------------

<b>FS carico limite</b>	<b><math>F = q_{lim}*B^*/N</math></b>	Nmin	<b>1.85</b>	>	<b>1.4</b>
		Nmax	<b>1.85</b>	>	

 <b>ITALFERR</b> GRUPPO FERROVIE DELLO STATO ITALIANE	DIRETTRICE FERROVIARIA MESSINA – CATANIA – PALERMO NUOVO COLLEGAMENTO PALERMO – CATANIA TRATTA VALLELUNGA – CALTANISSETTA XIRBI (LOTTO 3b) OPERE DI SOSTEGNO PIAZZALI – LOTTO 3B					
	PT56: MURO DI CONTRORIPA MU96B RELAZIONE DI CALCOLO	COMMESSA RS3T	LOTTO 30 D 78	CODIFICA CL	DOCUMENTO MU96B0 001	REV. B

### 10.3.2 VERIFICA SISMICA A RIBALTAMENTO, SCORRIMENTO E CARICO LIMITE VERTICALE - C. DRENATE

Condizione sismica +

#### VERIFICA ALLO SCORRIMENTO

Risultante forze verticali (N)				
$N = P_m + P_t + v_p + v_s + S_{st1v} + S_{sq1v} + P_s v + P_{tsv}$	911.51	(kN/m)		
Risultante forze orizzontali (T)				
$T = S_{st1h} + S_{sq1h} + f_p + f_s + P_s h + P_{tsh}$	318.44	(kN/m)		
Coefficiente di attrito alla base (f)				
$f = \operatorname{tg}\varphi_1'$	0.45	(-)		
<b><math>F_s = (N \cdot f + S_p) / T</math></b>	<b>1.27</b>	<b>&gt;</b>		<b>1</b>

#### VERIFICA AL RIBALTAMENTO

Momento stabilizzante (Ms)				
$M_s = M_m + M_t + M_{fext3}$	2454.68	(kNm/m)		
Momento ribaltante (Mr)				
$M_r = M_{Sst} + M_{Ssq} + M_{fext1} + M_{fext2} + M_{Sp} + M_{Ps} + M_{pts}$	721.51	(kNm/m)		
<b><math>F_r = M_s / M_r</math></b>	<b>3.40</b>	<b>&gt;</b>		<b>1</b>

#### VERIFICA A CARICO LIMITE DELLA FONDAZIONE

Risultante forze verticali (N)		Nmin	Nmax	
$N = P_m + P_t + v_p + v_s + S_{st1v} + S_{sq1v} + P_s v + P_{tsv} + (Sovr\ acc)$	911.51	911.51	911.51	(kN/m)
Risultante forze orizzontali (T)				
$T = S_{st1h} + S_{sq1h} + f_p + f_s + P_s h + P_{tsh} - S_p$	318.44			(kN/m)
Risultante dei momenti rispetto al piede di valle (MM)				
$MM = \sum M$	1828.38		1828.38	(kNm/m)
Momento rispetto al baricentro della fondazione (M)				
$M = X_c \cdot N - MM$	678.26		678.26	(kNm/m)

### Formula Generale per il Calcolo del Carico Limite Unitario (Brinch-Hansen, 1970)

Fondazione Nastriforme

$$q_{lim} = c'N_c'ic + q_0*N_q'iq + 0,5*\gamma_1*B*N_\gamma'i_\gamma$$

$c'1'$	coesione terreno di fondaz.	18.00			(kN/mq)
$\phi'1'$	angolo di attrito terreno di fondaz.	24.00			(°)
$\gamma_1$	peso unità di volume terreno fondaz.	17.91			(kN/m <sup>3</sup> )
$q_0 = \gamma d^*H2'$	sovraccarico stabilizzante	22.80			(kN/m <sup>2</sup> )
$e = M / N$	eccentricità	0.74	0.74		(m)
$B^* = B - 2e$	larghezza equivalente	4.01	4.01		(m)

I valori di  $N_c$ ,  $N_q$  e  $N_\gamma$  sono stati valutati con le espressioni suggerite da Vesic (1975)

$N_q = tg^2(45 + \phi'/2)*e^{(\pi*tg(\phi'))}$	(1 in cond. nd)	9.60			(-)
$N_c = (N_q - 1)/tg(\phi')$	(2+ $\pi$ in cond. nd)	19.32			(-)
$N_\gamma = 2*(N_q + 1)*tg(\phi')$	(0 in cond. nd)	9.44			(-)

I valori di  $i_c$ ,  $i_q$  e  $i_\gamma$  sono stati valutati con le espressioni suggerite da Vesic (1975)

$i_q = (1 - T/(N + B*c'*cotg\phi'))^m$	(1 in cond. nd)	0.49	0.49		(-)
$i_c = i_q - (1 - i_q)/(N_q - 1)$		0.44	0.44		(-)
$i_\gamma = (1 - T/(N + B*c'*cotg\phi'))^{m+1}$		0.35	0.35		(-)

(fondazione nastriforme  $m = 2$ )

$q_{lim}$	(carico limite unitario)	378.07	378.07		(kN/m <sup>2</sup> )
-----------	--------------------------	--------	--------	--	----------------------

<b>FS carico limite</b>	<b><math>F = q_{lim}*B^*/N</math></b>	<b><math>N_{min}</math></b>	<b>1.66</b>	<b>&gt;</b>	<b>1.2</b>
		<b><math>N_{max}</math></b>	<b>1.66</b>	<b>&gt;</b>	

Condizione sismica -

**VERIFICA ALLO SCORRIMENTO**

Risultante forze verticali (N)

$$N = P_m + P_t + v_p + v_s + S_{st1v} + S_{sq1v} + P_s v + P_{tsv} \quad 863.93 \quad (\text{kN/m})$$

Risultante forze orizzontali (T)

$$T = S_{st1h} + S_{sq1h} + f_p + f_s + P_s h + P_{tsh} \quad 305.74 \quad (\text{kN/m})$$

Coefficiente di attrito alla base (f)

$$f = \text{tg}\phi_1' \quad 0.45 \quad (-)$$

$$F_s = (N \cdot f + S_p) / T \quad \mathbf{1.26} \quad > \quad \mathbf{1}$$

**VERIFICA AL RIBALTAMENTO**

Momento stabilizzante (Ms)

$$M_s = M_m + M_t + M_{fext3} \quad 2454.68 \quad (\text{kNm/m})$$

Momento ribaltante (Mr)

$$M_r = M_{Sst} + M_{Ssq} + M_{fext1} + M_{fext2} + M_{Sp} + M_{Ps} + M_{pts} \quad 887.66 \quad (\text{kNm/m})$$

$$F_r = M_s / M_r \quad \mathbf{2.77} \quad > \quad \mathbf{1}$$

**VERIFICA A CARICO LIMITE DELLA FONDAZIONE**

Risultante forze verticali (N)

$$N = P_m + P_t + v_p + v_s + S_{st1v} + S_{sq1v} + P_s v + P_{tsv} \quad \begin{matrix} N_{min} & N_{max} \\ 863.93 & 863.93 \end{matrix} \quad (\text{kN/m})$$

Risultante forze orizzontali (T)

$$T = S_{st1h} + S_{sq1h} + f_p + f_s + P_s h + P_{tsh} - S_p \quad 305.74 \quad (\text{kN/m})$$

Risultante dei momenti rispetto al piede di valle (MM)

$$MM = \sum M \quad 1717.96 \quad 1717.96 \quad (\text{kNm/m})$$

Momento rispetto al baricentro della fondazione (M)

$$M = X_c \cdot N - MM \quad 657.85 \quad 657.85 \quad (\text{kNm/m})$$

### Formula Generale per il Calcolo del Carico Limite Unitario (Brinch-Hansen, 1970)

Fondazione Nastriforme

$$q_{lim} = c'N_c i_c + q_0 N_q i_q + 0,5 \gamma_1 B^* N_\gamma i_\gamma$$

$c1'$	coesione terreno di fondaz.	18.00			(kN/mq)
$\phi 1'$	angolo di attrito terreno di fondaz.	24.00			(°)
$\gamma_1$	peso unità di volume terreno fondaz.	17.91			(kN/m <sup>3</sup> )
$q_0 = \gamma d^* H_2'$	sovraccarico stabilizzante	22.80			(kN/m <sup>2</sup> )
$e = M / N$	eccentricità	0.76	0.76		(m)
$B^* = B - 2e$	larghezza equivalente	3.98	3.98		(m)

I valori di  $N_c$ ,  $N_q$  e  $N_\gamma$  sono stati valutati con le espressioni suggerite da Vesic (1975)

$N_q = \text{tg}^2(45 + \phi/2) e^{(\pi \text{tg}(\phi))}$	(1 in cond. nd)	9.60			(-)
$N_c = (N_q - 1) / \text{tg}(\phi)$	( $2 + \pi$ in cond. nd)	19.32			(-)
$N_\gamma = 2^*(N_q + 1) * \text{tg}(\phi)$	(0 in cond. nd)	9.44			(-)

I valori di  $i_c$ ,  $i_q$  e  $i_\gamma$  sono stati valutati con le espressioni suggerite da Vesic (1975)

$i_q = (1 - T / (N + B^* c' \cot \phi))^m$	(1 in cond. nd)	0.49	0.49		(-)
$i_c = i_q - (1 - i_q) / (N_q - 1)$		0.43	0.43		(-)
$i_\gamma = (1 - T / (N + B^* c' \cot \phi))^{m+1}$		0.35	0.35		(-)

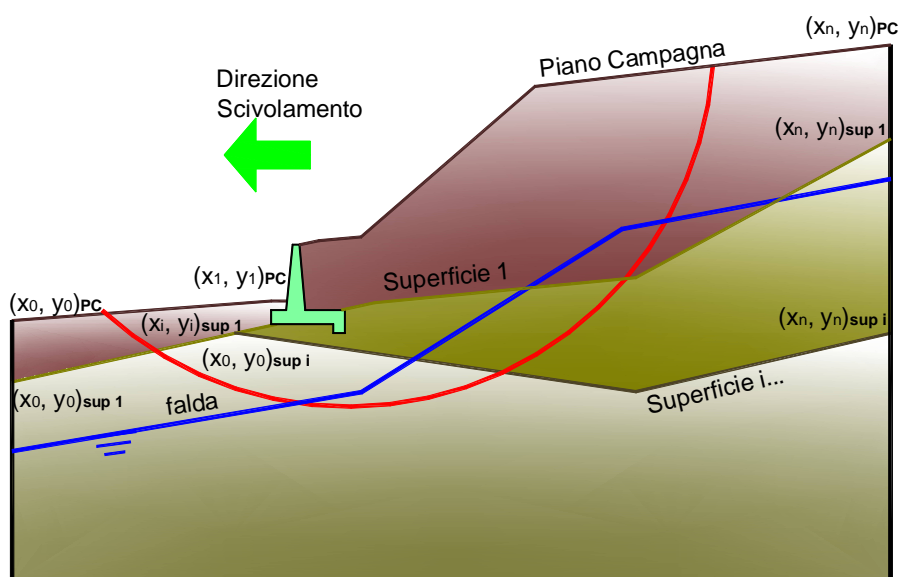
(fondazione nastriforme  $m = 2$ )

$q_{lim}$	(carico limite unitario)	374.65	374.65		(kN/m <sup>2</sup> )
-----------	--------------------------	--------	--------	--	----------------------

<b>FS carico limite</b>	<b><math>F = q_{lim} * B^* / N</math></b>	$N_{min}$	<b>1.72</b>	>	<b>1.2</b>
		$N_{max}$	<b>1.72</b>	>	

### 10.3.3 VERIFICA DI STABILITÀ GLOBALE – COND. DRENATE

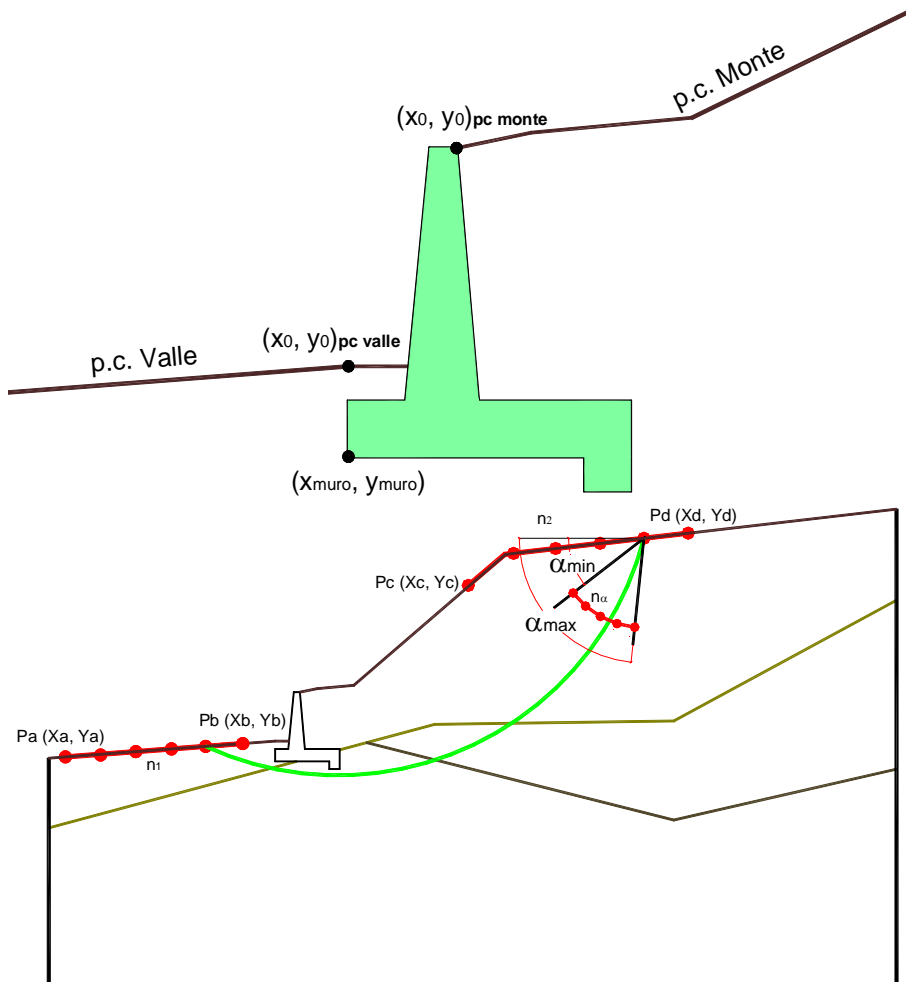
Le analisi di stabilità, di seguito riportate, sono state effettuate limitando la ricerca delle potenziali superfici di scorrimento critiche alla fascia più prossima alla linea stradale.



	$\gamma$ [kN/m <sup>3</sup> ]	$\phi$ [°]	$c$ [kPa]	Descrizione
<b>materiale 1</b>	21.00	24	0	Rilevato - riporto
<b>materiale 2</b>	21.00	24	18	Unità geotecnica 1 - GPQ
<b>materiale 3</b>				
<b>materiale 4</b>				

PT56: MURO DI CONTRORIPA MU96B  
RELAZIONE DI CALCOLO

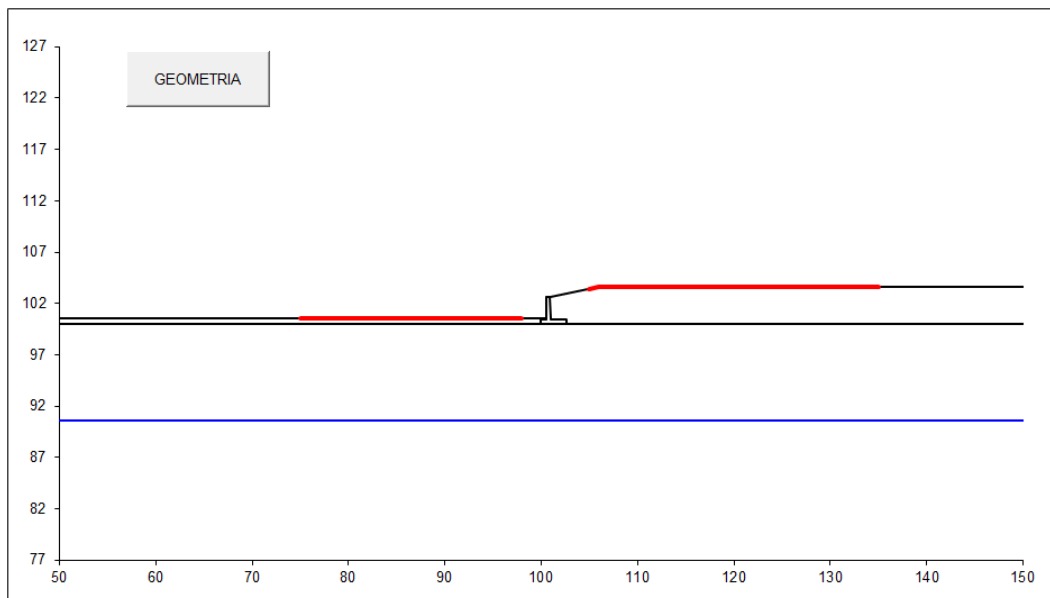
COMMESSA	LOTTO	CODIFICA	DOCUMENTO	REV.	FOGLIO
RS3T	30 D 78	CL	MU96B0 001	B	65 di 160



p.c. valle		p.c. monte		superficie 1		superficie 2		superficie 3		fida	
materiale 1				materiale 2		materiale 3		materiale 4		fida	
x	y	x	y	x	y	x	y	x	y	x	y
0	100.000	100.600	0	100.900	102.630	0	50.000	100.000	0	50.000	90.600
1	50.000	100.600	1	105.900	103.630	1	150.000	100.000	1	150.000	90.600
2			2	150.000	102.400	2			2		
3			3			3			3		
4			4			4			4		
5			5			5			5		
6			6			6			6		
7			7			7			7		
8			8			8			8		
9			9			9			9		
10			10			10			10		

**Sovraccarichi**

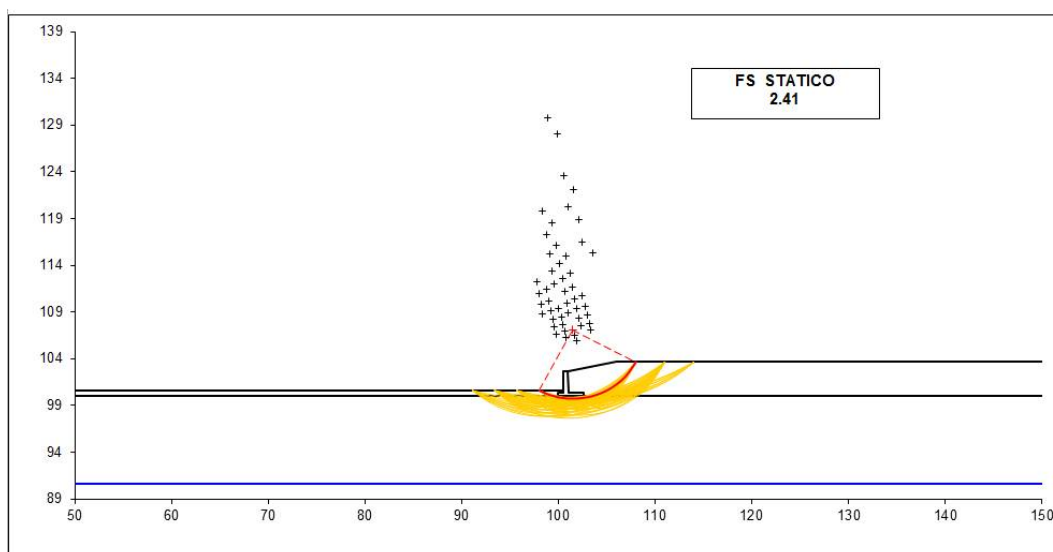
	$x_{in}$	$q_{in}$	$x_{fin}$	$q_{fin}$	% sisma	
sovraccarico 1	<input checked="" type="checkbox"/>	103.900	0	106.500	0	20%
sovraccarico 2	<input type="checkbox"/>					



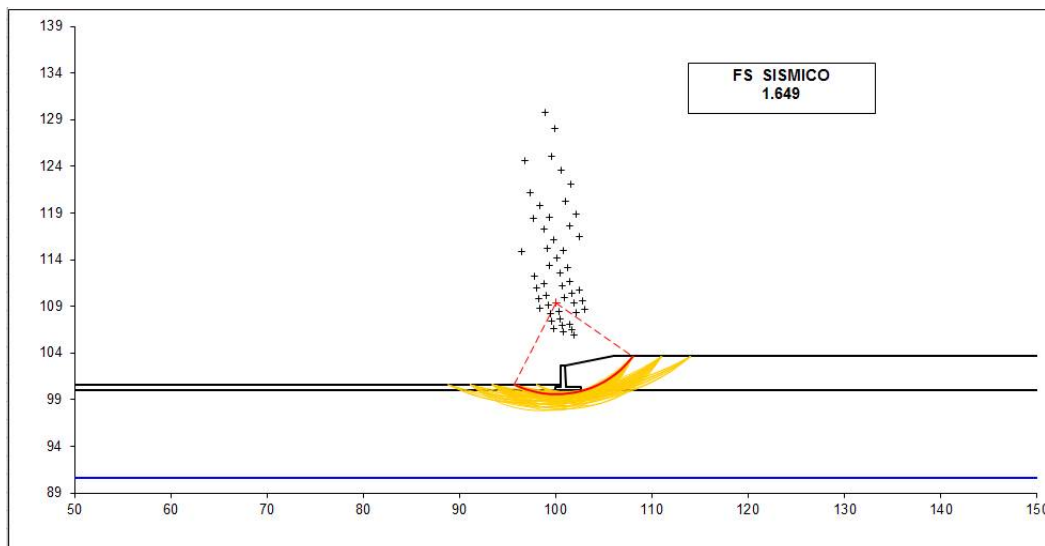
<b>#strisce</b>
30

# Superfici Calcolate	FS Bishop	
1027	STATICO	2.410
	SISMICO	1.649

### Condizioni statiche



### Condizioni sismiche



 <b>ITALFERR</b> GRUPPO FERROVIE DELLO STATO ITALIANE	DIRETTRICE FERROVIARIA MESSINA – CATANIA – PALERMO NUOVO COLLEGAMENTO PALERMO – CATANIA TRATTA VALLELUNGA – CALTANISSETTA XIRBI (LOTTO 3b) OPERE DI SOSTEGNO PIAZZALI – LOTTO 3B					
	PT56: MURO DI CONTRORIPA MU96B RELAZIONE DI CALCOLO	COMMESSA RS3T	LOTTO 30 D 78	CODIFICA CL	DOCUMENTO MU96B0 001	REV. B

### 10.3.4 VERIFICA STATICA A RIBALTAMENTO, SCORRIMENTO E CARICO LIMITE VERTICALE - C. NON DRENATE

#### VERIFICA ALLO SCORRIMENTO (STR/GEO)

Risultante forze verticali (N)				
$N = P_m + P_t + v + St_v + Sq_v \text{ perm} + Sq_v \text{ acc}$	135.84	(kN/m)		
Risultante forze orizzontali (T)				
$T = S_{th} + S_{qh} + f$	36.49	(kN/m)		
Coefficiente di attrito alla base (f)				
$f = \text{tg}\phi_1'$	0.45	(-)		
<b>Fs scorr.</b>	<b>(N*f + Sp) / T</b>	<b>1.66</b>	<b>&gt;</b>	<b>1.1</b>

#### VERIFICA AL RIBALTAMENTO

Momento stabilizzante (Ms)				
$M_s = M_m + M_t + M_{fext3}$	188.44	( kNm/m )		
Momento ribaltante (Mr)				
$M_r = M_{St} + M_{Sq} + M_{fext1} + M_{fext2} + M_{Sp}$	18.91	( kNm/m )		
<b>Fs ribaltamento</b>	<b>Ms / Mr</b>	<b>9.97</b>	<b>&gt;</b>	<b>1.15</b>

#### VERIFICA CARICO LIMITE DELLA FONDAZIONE (STR/GEO)

Risultante forze verticali (N)		Nmin	Nmax	
$N = P_m + P_t + v + St_v + Sq_v (+ \text{Sovr acc})$	135.84	135.84	135.84	(kN/m)
Risultante forze orizzontali (T)				
$T = S_{th} + S_{qh} + f - Sp$	36.49	36.49	36.49	(kN/m)
Risultante dei momenti rispetto al piede di valle (MM)				
$MM = \Sigma M$	169.54	169.54	169.54	( kNm/m )
Momento rispetto al baricentro della fondazione (M)				
$M = X_c * N - MM$	7.05	7.05	7.05	( kNm/m )

### Formula Generale per il Calcolo del Carico Limite Unitario (Brinch-Hansen, 1970)

Fondazione Nastriforme

$$q_{lim} = c'N_c i_c + q_0 N_q i_q + 0,5 \gamma_1 B^* N_\gamma i_\gamma$$

cu	res. al taglio nd terreno di fondaz.	100.00			(kPa)
$\gamma_1$	peso unità di volume terreno fondaz.	21.00			(kN/m <sup>3</sup> )
$q_0 = \gamma d^* H_2'$	sovraccarico stabilizzante	12.60			(kN/m <sup>2</sup> )
$e = M / N$	eccentricità	0.05	0.05		(m)
$B^* = B - 2e$	larghezza equivalente	2.50	2.50		(m)

I valori di  $N_c$ ,  $N_q$  e  $N_\gamma$  sono stati valutati con le espressioni suggerite da Vesic (1975)

$N_q = \text{tg}^2(45 + \varphi'/2) e^{(\pi \text{tg}(\varphi'))}$	(1 in cond. nd)	1.00			(-)
$N_c = (N_q - 1) / \text{tg}(\varphi')$	(2+ $\pi$ in cond. nd)	5.14			(-)
$N_\gamma = 2^*(N_q + 1) \text{tg}(\varphi')$	(0 in cond. nd)	0.00			(-)

I valori di  $i_c$ ,  $i_q$  e  $i_\gamma$  sono stati valutati con le espressioni suggerite da Vesic (1975)

$i_q = (1 - T / (N + B^* c' \cot \varphi'))^m$	(1 in cond. nd)	1.00	1.00		(-)
$i_c = (1 - m T / (B^* cu^* N_c))$		0.94	0.94		(-)
$i_\gamma = (1 - T / (N + B^* c' \cot \varphi'))^{m+1}$		--			(-)

(fondazione nastriforme  $m = 2$ )

$q_{lim}$	(carico limite unitario)	497.52	497.52		(kN/m <sup>2</sup> )
-----------	--------------------------	--------	--------	--	----------------------

<b>FS carico limite</b>	<b><math>F = q_{lim} B^* / N</math></b>	Nmin	<b>9.14</b>	>	<b>1.4</b>
		Nmax	<b>9.14</b>	>	

### 10.3.5 VERIFICA SISMICA A RIBALTAMENTO, SCORRIMENTO E CARICO LIMITE VERTICALE - C. NON DRENATE

Condizione sismica +

#### VERIFICA ALLO SCORRIMENTO

Risultante forze verticali (N)				
$N = P_m + P_t + v_p + v_s + S_{st1v} + S_{sq1v} + P_s v + P_{tsv}$	138.52	(kN/m)		
Risultante forze orizzontali (T)				
$T = S_{st1h} + S_{sq1h} + f_p + f_s + P_s h + P_{tsh}$	39.18	(kN/m)		
Coefficiente di attrito alla base (f)				
$f = \operatorname{tg}\varphi_1'$	0.45	(-)		
<b><math>F_s = (N \cdot f + S_p) / T</math></b>	<b>1.57</b>	<b>&gt;</b>		<b>1</b>

#### VERIFICA AL RIBALTAMENTO

Momento stabilizzante (Ms)				
$M_s = M_m + M_t + M_{fext3}$	188.44	(kNm/m)		
Momento ribaltante (Mr)				
$M_r = M_{Sst} + M_{Ssq} + M_{fext1} + M_{fext2} + M_{Sp} + M_{Ps} + M_{pts}$	24.45	(kNm/m)		
<b><math>F_r = M_s / M_r</math></b>	<b>7.71</b>	<b>&gt;</b>		<b>1</b>

#### VERIFICA A CARICO LIMITE DELLA FONDAZIONE

Risultante forze verticali (N)		Nmin	Nmax	
$N = P_m + P_t + v_p + v_s + S_{st1v} + S_{sq1v} + P_s v + P_{tsv} + (Sovr\ acc)$	138.52	138.52	138.52	(kN/m)
Risultante forze orizzontali (T)				
$T = S_{st1h} + S_{sq1h} + f_p + f_s + P_s h + P_{tsh} - S_p$	39.18			(kN/m)
Risultante dei momenti rispetto al piede di valle (MM)				
$MM = \Sigma M$	167.36		167.36	(kNm/m)
Momento rispetto al baricentro della fondazione (M)				
$M = X_c \cdot N - MM$	12.71		12.71	(kNm/m)

### Formula Generale per il Calcolo del Carico Limite Unitario (Brinch-Hansen, 1970)

Fondazione Nastriforme

$$q_{lim} = c \cdot N_c \cdot i_c + q_0 \cdot N_q \cdot i_q + 0,5 \cdot \gamma_1 \cdot B^* \cdot N_\gamma \cdot i_\gamma$$

cu	res. al taglio nd terreno di fondaz.	100.00		(kN/mq)
$\gamma_1$	peso unità di volume terreno fondaz.	21.00		(kN/m <sup>3</sup> )
$q_0 = \gamma \cdot d \cdot H_2'$	sovraccarico stabilizzante	12.60		(kN/m <sup>2</sup> )
$e = M / N$	eccentricità	0.09	0.09	(m)
$B^* = B - 2e$	larghezza equivalente	2.42	2.42	(m)

I valori di  $N_c$ ,  $N_q$  e  $N_\gamma$  sono stati valutati con le espressioni suggerite da Vesic (1975)

$N_q = \text{tg}^2(45 + \varphi/2) \cdot e^{(\pi \cdot \text{tg}(\varphi))}$	(1 in cond. nd)	1.00		(-)
$N_c = (N_q - 1) / \text{tg}(\varphi)$	(2+ $\pi$ in cond. nd)	5.14		(-)
$N_\gamma = 2 \cdot (N_q + 1) \cdot \text{tg}(\varphi)$	(0 in cond. nd)	0.00		(-)

I valori di  $i_c$ ,  $i_q$  e  $i_\gamma$  sono stati valutati con le espressioni suggerite da Vesic (1975)

$i_q = (1 - T / (N + B^* \cdot c \cdot \cot \varphi))^m$	(1 in cond. nd)	1.00	1.00	(-)
$i_c = (1 - m \cdot T / (B^* \cdot c \cdot u \cdot N_c))$		0.94	0.94	(-)
$i_\gamma = (1 - T / (N + B^* \cdot c \cdot \cot \varphi))^{m+1}$		--		(-)

(fondazione nastriforme  $m = 2$ )

$q_{lim}$	(carico limite unitario)	494.33	494.33	(kN/m <sup>2</sup> )
-----------	--------------------------	--------	--------	----------------------

<b>FS carico limite</b>	<b><math>F = q_{lim} \cdot B^* / N</math></b>	Nmin	<b>8.62</b>	>	<b>1.2</b>
		Nmax	<b>8.62</b>	>	

Condizione sismica -

**VERIFICA ALLO SCORRIMENTO**

Risultante forze verticali (N)

$$N = P_m + P_t + v_p + v_s + S_{st1v} + S_{sq1v} + P_s v + P_{tsv} \quad 131.44 \quad (\text{kN/m})$$

Risultante forze orizzontali (T)

$$T = S_{st1h} + S_{sq1h} + f_p + f_s + P_s h + P_{tsh} \quad 37.67 \quad (\text{kN/m})$$

Coefficiente di attrito alla base (f)

$$f = \text{tg}\phi_1' \quad 0.45 \quad (-)$$

$$F_s = (N \cdot f + S_p) / T \quad \mathbf{1.55} \quad > \quad \mathbf{1}$$

**VERIFICA AL RIBALTAMENTO**

Momento stabilizzante (Ms)

$$M_s = M_m + M_t + M_{fext3} \quad 188.44 \quad (\text{kNm/m})$$

Momento ribaltante (Mr)

$$M_r = M_{Sst} + M_{Ssq} + M_{fext1} + M_{fext2} + M_{Sp} + M_{Ps} + M_{pts} \quad 38.44 \quad (\text{kNm/m})$$

$$F_r = M_s / M_r \quad \mathbf{4.90} \quad > \quad \mathbf{1}$$

**VERIFICA A CARICO LIMITE DELLA FONDAZIONE**

Risultante forze verticali (N)

$$N = P_m + P_t + v_p + v_s + S_{st1v} + S_{sq1v} + P_s v + P_{tsv} \quad \begin{matrix} N_{min} \\ 131.44 \end{matrix} \quad \begin{matrix} N_{max} \\ 131.44 \end{matrix} \quad (\text{kN/m})$$

Risultante forze orizzontali (T)

$$T = S_{st1h} + S_{sq1h} + f_p + f_s + P_s h + P_{tsh} - S_p \quad 37.67 \quad (\text{kN/m})$$

Risultante dei momenti rispetto al piede di valle (MM)

$$MM = \sum M \quad 158.05 \quad 158.05 \quad (\text{kNm/m})$$

Momento rispetto al baricentro della fondazione (M)

$$M = X_c \cdot N - MM \quad 12.82 \quad 12.82 \quad (\text{kNm/m})$$

### Formula Generale per il Calcolo del Carico Limite Unitario (Brinch-Hansen, 1970)

Fondazione Nastriforme

$$q_{lim} = c \cdot N_c \cdot i_c + q_0 \cdot N_q \cdot i_q + 0,5 \cdot \gamma_1 \cdot B^* \cdot N_\gamma \cdot i_\gamma$$

cu	res. al taglio nd terreno di fondaz.	100.00		(kN/mq)
$\gamma_1$	peso unità di volume terreno fondaz.	21.00		(kN/m <sup>3</sup> )
$q_0 = \gamma \cdot d^* \cdot H_2'$	sovraccarico stabilizzante	12.60		(kN/m <sup>2</sup> )
$e = M / N$	eccentricità	0.10	0.10	(m)
$B^* = B - 2e$	larghezza equivalente	2.40	2.40	(m)

I valori di  $N_c$ ,  $N_q$  e  $N_\gamma$  sono stati valutati con le espressioni suggerite da Vesic (1975)

$N_q = \text{tg}^2(45 + \varphi/2) \cdot e^{(\pi \cdot \text{tg}(\varphi))}$	(1 in cond. nd)	1.00		(-)
$N_c = (N_q - 1) / \text{tg}(\varphi)$	( $2 + \pi$ in cond. nd)	5.14		(-)
$N_\gamma = 2 \cdot (N_q + 1) \cdot \text{tg}(\varphi)$	(0 in cond. nd)	0.00		(-)

I valori di  $i_c$ ,  $i_q$  e  $i_\gamma$  sono stati valutati con le espressioni suggerite da Vesic (1975)

$i_q = (1 - T / (N + B^* \cdot c' \cdot \text{cotg} \varphi'))^m$	(1 in cond. nd)	1.00	1.00	(-)
$i_c = (1 - m \cdot T / (B^* \cdot c_u \cdot N_c))$		0.94	0.94	(-)
$i_\gamma = (1 - T / (N + B^* \cdot c' \cdot \text{cotg} \varphi'))^{m+1}$		--		(-)

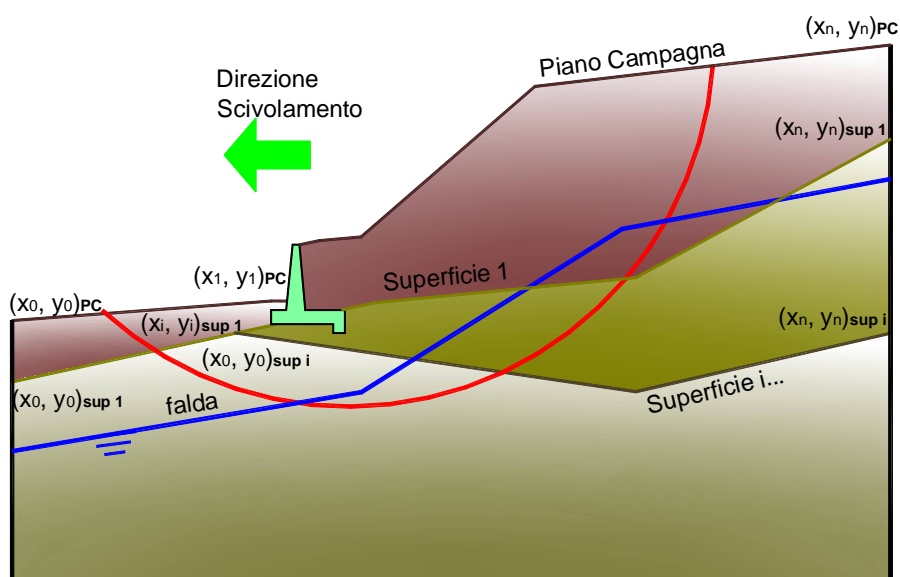
(fondazione nastriforme  $m = 2$ )

$q_{lim}$	(carico limite unitario)	495.43	495.43	(kN/m <sup>2</sup> )
-----------	--------------------------	--------	--------	----------------------

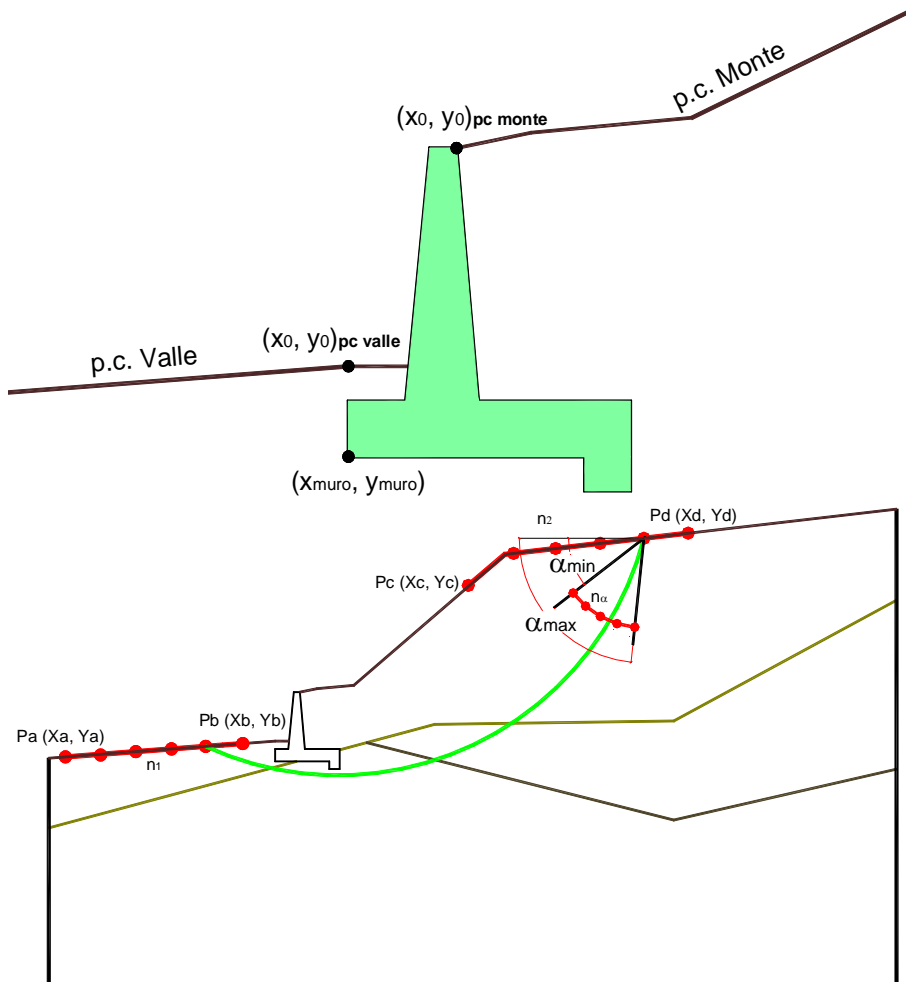
<b>FS carico limite</b>	<b><math>F = q_{lim} \cdot B^* / N</math></b>	$N_{min}$	<b>9.07</b>	>	<b>1.2</b>
		$N_{max}$	<b>9.07</b>	>	

### 10.3.6 VERIFICA DI STABILITÀ GLOBALE – COND. NON DRENATE

Le analisi di stabilità, di seguito riportate, sono state effettuate limitando la ricerca delle potenziali superfici di scorrimento critiche alla fascia più prossima alla linea stradale.



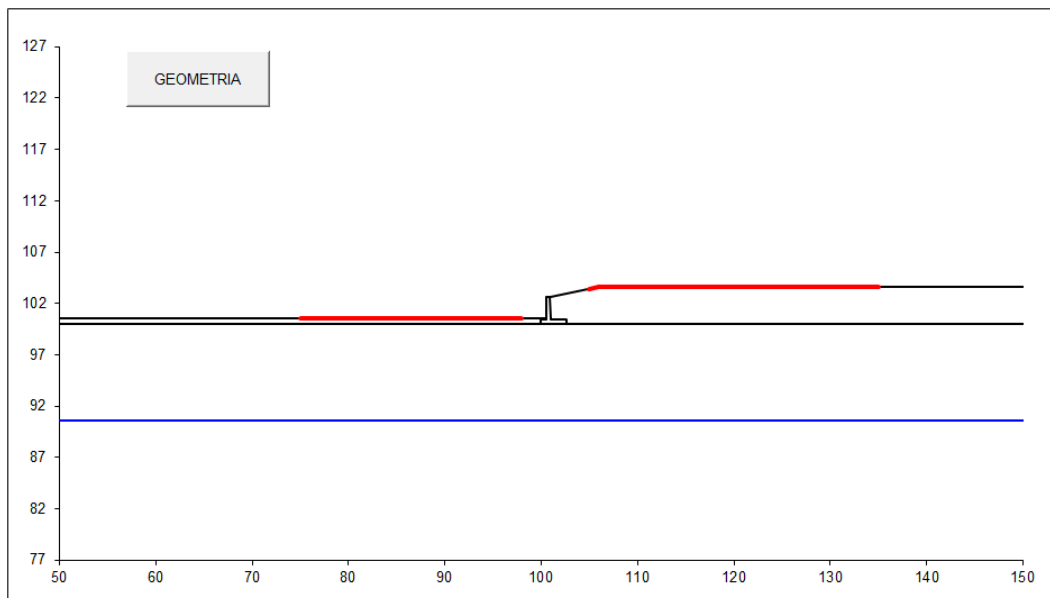
	$\gamma$ [kN/m <sup>3</sup> ]	$\phi$ [°]	$c$ [kPa]	Descrizione
<b>materiale 1</b>	21.00	24	0	Rilevato - riporto
<b>materiale 2</b>	21.00	24	100	Unità geotecnica 1 - GPQ
<b>materiale 3</b>				
<b>materiale 4</b>				



p.c. valle		p.c. monte		superficie 1		superficie 2		superficie 3		fida	
materiale 1				materiale 2		materiale 3		materiale 4		fida	
x	y	x	y	x	y	x	y	x	y	x	y
0	100.000	100.600	0	100.900	102.630	0	50.000	100.000	0	50.000	90.600
1	50.000	100.600	1	105.900	103.630	1	150.000	100.000	1	150.000	90.600
2			2	150.000	102.400	2			2		
3			3			3			3		
4			4			4			4		
5			5			5			5		
6			6			6			6		
7			7			7			7		
8			8			8			8		
9			9			9			9		
10			10			10			10		

**Sovraccarichi**

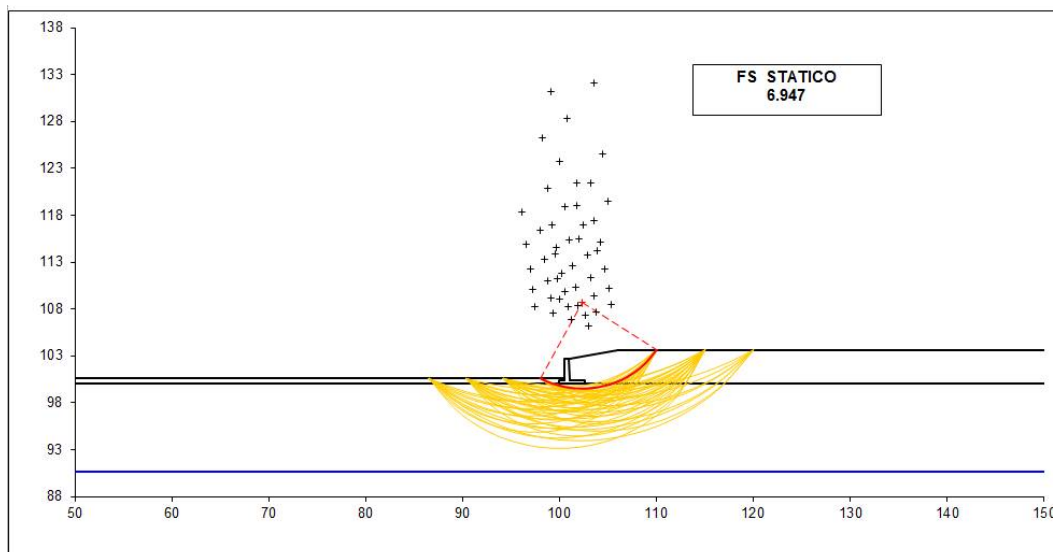
	$x_{in}$	$q_{in}$	$x_{fin}$	$q_{fin}$	% sisma	
sovraccarico 1	<input checked="" type="checkbox"/>	103.900	0	106.500	0	20%
sovraccarico 2	<input type="checkbox"/>					



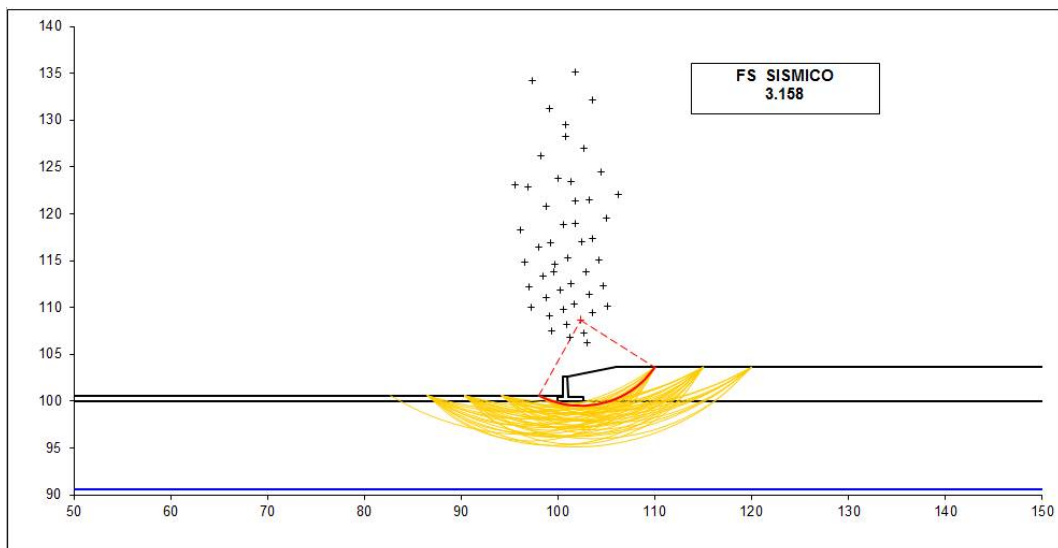
<b>#strisce</b>
<b>30</b>

<b># Superfici Calcolate</b>	<b>FS Bishop</b>	
	<b>STATICO</b>	<b>6.947</b>
<b>237</b>	<b>SISMICO</b>	<b>3.158</b>

### Condizioni statiche



## Condizioni sismiche



## 10.4 VERIFICHE STRUTTURALI

### 10.4.1 CALCOLO DELLE SOLLECITAZIONI

#### Reazione del terreno

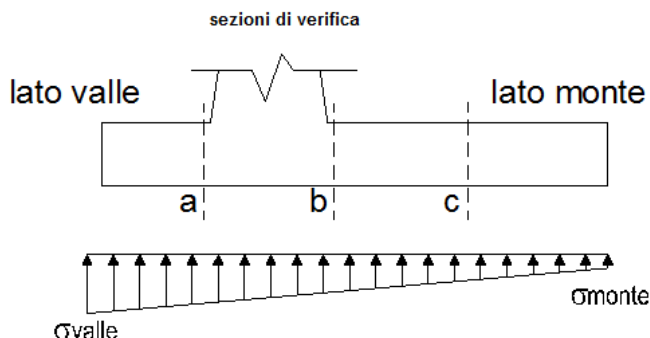
$$\sigma_{valle} = N / A + M / W_{gg}$$

$$\sigma_{monte} = N / A - M / W_{gg}$$

$$A = 1.0 \cdot B = 2.60 \quad (m^2)$$

$$W_{gg} = 1.0 \cdot B^2 / 6 = 1.13 \quad (m^3)$$

caso	N	M	$\sigma_{valle}$	$\sigma_{monte}$
	[kN]	[kNm]	[kN/m <sup>2</sup> ]	[kN/m <sup>2</sup> ]
statico	135.84	7.05	58.51	45.99
	135.84	7.05	58.51	45.99
sisma+	138.52	12.71	64.56	41.99
	138.52	12.71	64.56	41.99
sisma-	131.44	12.82	61.93	39.18
	131.44	12.82	61.93	39.18



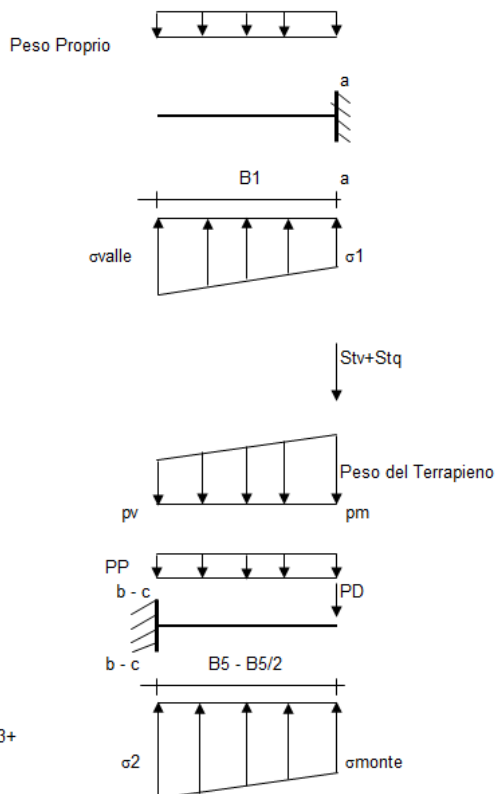
#### Mensola Lato Valle

Peso Proprio. PP = 10.00 (kN/m)

$$M_a = \sigma_1 \cdot B^2 / 2 + (\sigma_{valle} - \sigma_1) \cdot B^2 / 3 - PP \cdot B^2 / 2 \cdot (1 \pm kv)$$

$$V_a = \sigma_1 \cdot B + (\sigma_{valle} - \sigma_1) \cdot B / 2 - PP \cdot B \cdot (1 \pm kv)$$

caso	$\sigma_{valle}$	$\sigma_1$	$M_a$	$V_a$
	[kN/m <sup>2</sup> ]	[kN/m <sup>2</sup> ]	[kNm]	[kN]
statico	58.51	56.10	5.96	23.65
	58.51	56.10	5.96	23.65
sisma+	64.56	60.22	6.61	27.14
	64.56	60.22	6.64	27.14
sisma-	61.93	57.55	6.34	25.83
	61.93	57.55	6.31	25.83



#### Mensola Lato Monte

PP = 10.00 (kN/m<sup>2</sup>)      peso proprio soletta fondazione  
PD = 0.00 (kN/m)      peso proprio dente

	Nmin	N max stat	N max sism	
pm	48.07	48.07	48.07	(kN/m <sup>2</sup> )
pvb	42.74	42.74	42.74	(kN/m <sup>2</sup> )
pvc	45.40	45.40	45.40	(kN/m <sup>2</sup> )

$$M_b = (\sigma_{monte} - (p_{vb} + PP)) \cdot (1 \pm kv) \cdot B^2 / 2 + (\sigma_2 - \sigma_{monte}) \cdot B^2 / 6 - (pm - p_{vb}) \cdot (1 \pm kv) \cdot B^2 / 3 + (Stv + Sqv) \cdot B^2 \cdot PD \cdot (1 \pm kv) \cdot (B_5 - Bd / 2) - PD \cdot kh \cdot (Hd + H2 / 2) + M_{sp} + Sp \cdot H2 / 2$$

$$M_c = (\sigma_{monte} - (p_{vc} + PP)) \cdot (1 \pm kv) \cdot (B_5 / 2)^2 / 2 + (\sigma_2 - \sigma_{monte}) \cdot (B_5 / 2)^2 / 6 - (pm - p_{vc}) \cdot (1 \pm kv) \cdot (B_5 / 2)^2 / 3 + (Stv + Sqv) \cdot (B_5 / 2) \cdot PD \cdot (1 \pm kv) \cdot (B_5 / 2 - Bd / 2) - PD \cdot kh \cdot (Hd + H2 / 2) + M_{sp} + Sp \cdot H2 / 2$$

$$V_b = (\sigma_{monte} - (p_{vb} + PP)) \cdot (1 \pm kv) \cdot B_5 + (\sigma_2 - \sigma_{monte}) \cdot B_5 / 2 - (pm - p_{vb}) \cdot (1 \pm kv) \cdot B_5 / 2 - (Stv + Sqv) \cdot PD \cdot (1 \pm kv)$$

$$V_c = (\sigma_{monte} - (p_{vc} + PP)) \cdot (1 \pm kv) \cdot (B_5 / 2) + (\sigma_2 - \sigma_{monte}) \cdot (B_5 / 2) / 2 - (pm - p_{vc}) \cdot (1 \pm kv) \cdot (B_5 / 2) / 2 - (Stv + Sqv) \cdot PD \cdot (1 \pm kv)$$

caso	$\sigma_{monte}$ [kN/m <sup>2</sup> ]	$\sigma_{2b}$ [kN/m <sup>2</sup> ]	Mb [kNm]	Vb [kN]	$\sigma_{2c}$ [kN/m <sup>2</sup> ]	Mc [kNm]	Vc [kN]
statico	45.99	53.64	-20.03	-15.32	49.81	-8.25	-13.77
	45.99	53.64	-20.03	-15.32	49.81	-8.25	-13.77
sisma+	41.99	55.79	-23.25	-18.44	48.89	-9.10	-15.90
	41.99	55.79	-23.25	-18.44	48.89	-9.10	-15.90
sisma-	39.18	53.09	-22.49	-17.79	46.13	-8.79	-15.41
	39.18	53.09	-22.49	-17.79	46.13	-8.79	-15.41

**CALCOLO SOLLECITAZIONI PARAMENTO VERTICALE DEL MURO**

**Azioni sulla parete e Sezioni di Calcolo**

$$M_{t \text{ stat}} = \frac{1}{2} K_{a_{orizz}} \cdot \gamma \cdot (1 \pm kv) \cdot h^2 \cdot h/3$$

$$M_{t \text{ sism}} = \frac{1}{2} \cdot \gamma \cdot (K_{a_{orizz}} \cdot (1 \pm kv) - K_{a_{orizz}}) \cdot h^2 \cdot h/2 \quad o \cdot h/3$$

$$M_q = \frac{1}{2} K_{a_{orizz}} \cdot q \cdot h^2$$

$$M_{ext} = m + P \cdot h$$

$$M_{inerzia} = \Sigma P m_i \cdot b_i \cdot kh$$

$$N_{ext} = v$$

$$N_{pp+inerzia} = \Sigma P m_i \cdot (1 \pm kv)$$

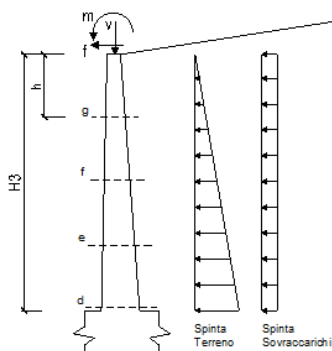
$$V_{t \text{ stat}} = \frac{1}{2} K_{a_{orizz}} \cdot \gamma \cdot (1 \pm kv) \cdot h^2$$

$$V_{t \text{ sism}} = \frac{1}{2} \cdot \gamma \cdot (K_{a_{orizz}} \cdot (1 \pm kv) - K_{a_{orizz}}) \cdot h^2$$

$$V_q = K_{a_{orizz}} \cdot q \cdot h$$

$$V_{ext} = f$$

$$V_{inerzia} = \Sigma P m_i \cdot kh$$



**condizione statica**

sezione	h [m]	Mt [kNm/m]	Mq [kNm/m]	M <sub>ext</sub> [kNm/m]	M <sub>tot</sub> [kNm/m]	N <sub>ext</sub> [kN/m]	N <sub>pp</sub> [kN/m]	N <sub>tot</sub> [kN/m]
d-d	2.23	15.71	0.00	0.00	15.71	3.50	25.37	28.87
e-e	1.67	6.63	0.00	0.00	6.63	3.50	18.45	21.95
f-f	1.12	1.96	0.00	0.00	1.96	3.50	11.92	15.42
g-g	0.56	0.25	0.00	0.00	0.25	3.50	5.77	9.27

sezione	h [m]	Vt [kN/m]	Vq [kN/m]	V <sub>ext</sub> [kN/m]	V <sub>tot</sub> [kN/m]
d-d	2.23	21.14	0.00	0.00	21.14
e-e	1.67	11.89	0.00	0.00	11.89
f-f	1.12	5.28	0.00	0.00	5.28
g-g	0.56	1.32	0.00	0.00	1.32

**condizione sismica +**

sezione	h [m]	M <sub>t stat</sub> [kNm/m]	M <sub>t sism</sub> [kNm/m]	Mq [kNm/m]	M <sub>ext</sub> [kNm/m]	M <sub>inerzia</sub> [kNm/m]	M <sub>tot</sub> [kNm/m]	N <sub>ext</sub> [kN/m]	N <sub>pp+inerzia</sub> [kN/m]	N <sub>tot</sub> [kN/m]
d-d	2.23	12.09	1.88	0.00	0.00	1.47	15.43	3.50	26.05	29.55
e-e	1.67	5.10	0.79	0.00	0.00	0.81	6.70	3.50	18.95	22.45
f-f	1.12	1.51	0.23	0.00	0.00	0.35	2.10	3.50	12.24	15.74
g-g	0.56	0.19	0.03	0.00	0.00	0.09	0.30	3.50	5.92	9.42

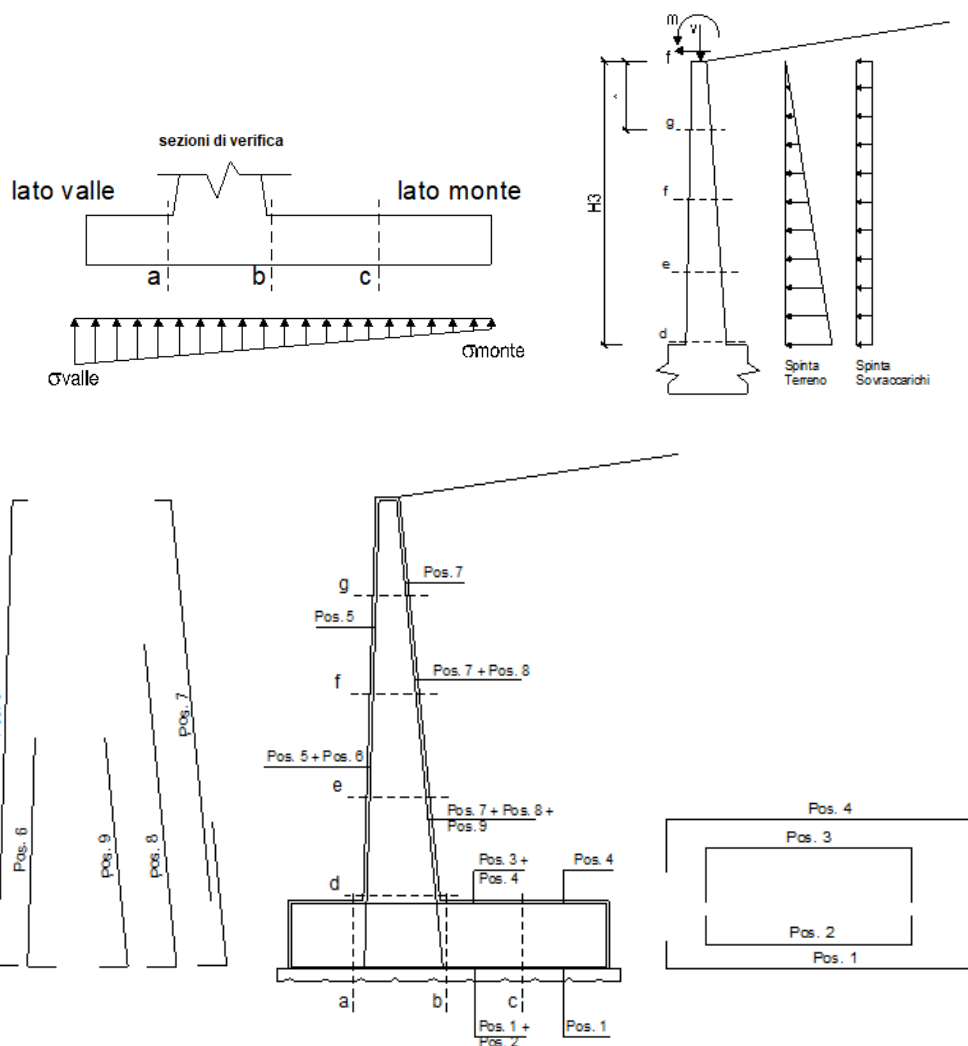
sezione	h [m]	V <sub>t stat</sub> [kN/m]	V <sub>t sism</sub> [kN/m]	Vq [kN/m]	V <sub>ext</sub> [kN/m]	V <sub>inerzia</sub> [kN/m]	V <sub>tot</sub> [kN/m]
d-d	2.23	16.26	2.53	0.00	0.00	1.37	20.16
e-e	1.67	9.15	1.42	0.00	0.00	1.00	11.57
f-f	1.12	4.07	0.63	0.00	0.00	0.65	5.34
g-g	0.56	1.02	0.16	0.00	0.00	0.31	1.49

**condizione sismica -**

sezione	h [m]	M <sub>t stat</sub> [kNm/m]	M <sub>t sism</sub> [kNm/m]	Mq [kNm/m]	M <sub>ext</sub> [kNm/m]	M <sub>inerzia</sub> [kNm/m]	M <sub>tot</sub> [kNm/m]	N <sub>ext</sub> [kN/m]	N <sub>pp+inerzia</sub> [kN/m]	N <sub>tot</sub> [kN/m]
d-d	2.23	12.09	1.22	0.00	0.00	1.47	14.78	3.50	24.68	28.18
e-e	1.67	5.10	0.51	0.00	0.00	0.81	6.42	3.50	17.95	21.45
f-f	1.12	1.51	0.15	0.00	0.00	0.35	2.02	3.50	11.59	15.09
g-g	0.56	0.19	0.02	0.00	0.00	0.09	0.29	3.50	5.61	9.11

sezione	h [m]	V <sub>t stat</sub> [kN/m]	V <sub>t sism</sub> [kN/m]	Vq [kN/m]	V <sub>ext</sub> [kN/m]	V <sub>inerzia</sub> [kN/m]	V <sub>tot</sub> [kN/m]
d-d	2.23	16.26	1.64	0.00	0.00	1.37	19.28
e-e	1.67	9.15	0.92	0.00	0.00	1.00	11.07
f-f	1.12	4.07	0.41	0.00	0.00	0.65	5.12
g-g	0.56	1.02	0.10	0.00	0.00	0.31	1.43

### 10.4.2 VERIFICHE SLU



#### Armatura minima

L'armatura minima principale in fondazione deve essere in percentuale non inferiore allo 0.20% dell'area di conglomerato.

L'armatura minima principale presente in zona tesa deve essere in percentuale non inferiore allo 0.15% dell'area di conglomerato per l'intera lunghezza.

L'armatura secondaria, ortogonale a quella principale, deve essere pari al massimo delle seguenti percentuali:

- 0.10% dell'area di conglomerato in entrambi i lembi;
- 20% dell'armatura principale.

Muro  $h = 2,23m$  su fondazione diretta

**ARMATURE**

pos	n°/ml	$\phi$	II strato	pos	n°/ml	$\phi$	II strato
1	5.0	16		5	5.0	16	
2	0.0	0	<input type="checkbox"/>	6	0.0	0	<input type="checkbox"/>
3	0.0	0	<input type="checkbox"/>	7	5.0	20	
4	5.0	20		8	0.0	0	<input type="checkbox"/>
				9	0.0	0	<input type="checkbox"/>

Pertanto l'armatura secondaria sarà pari a:

sez a – a:  $\phi 10/20cm$  (ripartitori in fondazione e in elevazione);

sez b – b:  $\phi 10/20cm$  (ripartitori in fondazione);

sez c – c:  $\phi 10/20cm$  (ripartitori in fondazione);

sez d – d:  $\phi 10/20cm$  (ripartitori in fondazione);

sez e – e:  $\phi 10/20cm$  (ripartitori in fondazione);

sez f – f:  $\phi 10/20cm$  (ripartitori in fondazione);

sez g – g:  $\phi 10/20cm$  (ripartitori in fondazione);

Sez.	M	N	h	Af	A'f	Mu
(-)	(kNm)	(kN)	(m)	(cm <sup>2</sup> )	(cm <sup>2</sup> )	(kNm)
a - a	6.64	0.00	0.40	10.05	15.71	135.91
b - b	-23.25	0.00	0.40	15.71	10.05	190.15
c - c	-9.10	0.00	0.40	15.71	10.05	190.15
d - d	15.71	28.87	0.51	15.71	10.05	263.17
e - e	6.70	22.45	0.48	15.71	10.05	244.76
f - f	2.10	15.74	0.46	15.71	10.05	226.48
g - g	0.30	9.42	0.43	15.71	10.05	208.43

(n.b.: M+ tende le fibre di intradosso, M- tende le fibre di estradosso)

Sez.	V <sub>Ed</sub>	h	V <sub>rd</sub>	$\phi$ staffe	i orizz.	i vert.	$\theta$	V <sub>Rsd</sub>	
(-)	(kN)	(m)	(kN)	(mm)	(cm)	(cm)	(°)	(kN)	
a - a	27.14	0.40	151.80	10	20	20	21.8	553.19	Armatura a taglio non necessaria
b - b	18.44	0.40	172.20	10	20	20	21.8	553.19	Armatura a taglio non necessaria
c - c	15.90	0.40	172.20	10	20	20	21.8	553.19	Armatura a taglio non necessaria
d - d	21.14	0.51	200.62	10	20	20	21.8	743.35	Armatura a taglio non necessaria
e - e	11.89	0.48	193.86	10	20	20	21.8	695.81	Armatura a taglio non necessaria
f - f	5.34	0.46	186.91	10	20	20	21.8	648.27	Armatura a taglio non necessaria
g - g	1.49	0.43	179.83	10	20	20	21.8	600.73	Armatura a taglio non necessaria

### 10.4.3 VERIFICHE SLE TENSIONE

#### Condizione Statica

Sez.	M	N	h	Af	A'f	$\sigma_c$	$\sigma_f$	
(-)	(kNm)	(kN)	(m)	(cm <sup>2</sup> )	(cm <sup>2</sup> )	(N/mm <sup>2</sup> )	(N/mm <sup>2</sup> )	
a - a	5.28	0.00	0.40	10.05	15.71	0.42	18.06	
b - b	-14.21	0.00	0.40	15.71	10.05	0.95	31.81	
c - c	-5.84	0.00	0.40	15.71	10.05	0.39	13.08	
d - d	12.09	28.87	0.51	15.71	10.05	0.49	11.06	
e - e	5.10	21.95	0.48	15.71	10.05	0.22	2.75	
f - f	1.51	15.42	0.46	15.71	10.05	0.07	-0.05	
g - g	0.19	9.27	0.43	15.71	10.05	0.03	-	sez. compressa

#### Condizione Sismica

Sez.	M	N	h	Af	A'f	$\sigma_c$	$\sigma_f$	
(-)	(kNm)	(kN)	(m)	(cm <sup>2</sup> )	(cm <sup>2</sup> )	(N/mm <sup>2</sup> )	(N/mm <sup>2</sup> )	
a - a	6.61	0.00	0.40	10.05	15.71	0.53	22.58	
b - b	-23.25	0.00	0.40	15.71	10.05	1.56	52.06	
c - c	-9.10	0.00	0.40	15.71	10.05	0.61	20.37	
d - d	15.43	28.18	0.51	15.71	10.05	0.63	16.60	
e - e	6.70	21.45	0.48	15.71	10.05	0.30	5.37	
f - f	2.10	15.09	0.46	15.71	10.05	0.10	0.36	
g - g	0.30	9.11	0.43	15.71	10.05	0.03	-	sez. compressa

(n.b.: M+ tende le fibre di intradosso, M- tende le fibre di estradosso)

#### 10.4.4 VERIFICHE SLE FESSURAZIONE

##### condizione Frequente

Sez.	M	N	h	Af	A'f	$\sigma_c$	$\sigma_f$	wk	w <sub>amm</sub>
(-)	(kNm)	(kN)	(m)	(cm <sup>2</sup> )	(cm <sup>2</sup> )	(N/mm <sup>2</sup> )	(N/mm <sup>2</sup> )	(mm)	(mm)
a - a	5.28	0.00	0.40	10.05	15.71	0.42	18.06	0.027	0.200
b - b	-14.21	0.00	0.40	15.71	10.05	0.95	31.81	0.041	0.200
c - c	-5.84	0.00	0.40	15.71	10.05	0.39	13.08	0.017	0.200
d - d	12.09	28.87	0.51	15.71	10.05	0.49	11.06	0.015	0.200
e - e	5.10	21.95	0.48	15.71	10.05	0.22	2.75	0.003	0.200
f - f	1.51	15.42	0.46	15.71	10.05	0.07	-0.05	0.000	0.200
g - g	0.19	9.27	0.43	15.71	10.05	0.00	-	-	0.200

sez. compressa

(n.b.: M+ tende le fibre di intradosso, M- tende le fibre di estradosso)

##### condizione Quasi Permanente

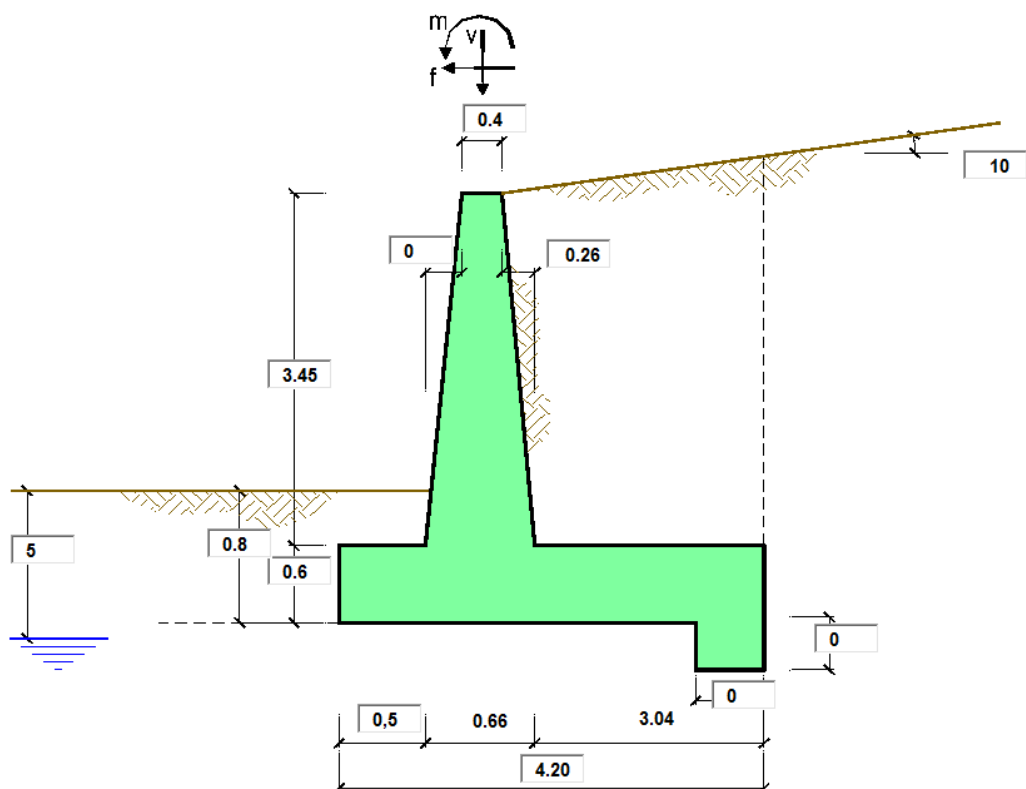
Sez.	M	N	h	Af	A'f	$\sigma_c$	$\sigma_f$	wk	w <sub>amm</sub>
(-)	(kNm)	(kN)	(m)	(cm <sup>2</sup> )	(cm <sup>2</sup> )	(N/mm <sup>2</sup> )	(N/mm <sup>2</sup> )	(mm)	(mm)
a - a	5.28	0.00	0.40	10.05	15.71	0.42	18.06	0.027	0.200
b - b	-14.21	0.00	0.40	15.71	10.05	0.95	31.81	0.041	0.200
c - c	-5.84	0.00	0.40	15.71	10.05	0.39	13.08	0.017	0.200
d - d	12.09	28.87	0.51	15.71	10.05	0.49	11.06	0.015	0.200
e - e	5.10	21.95	0.48	15.71	10.05	0.22	2.75	0.003	0.200
f - f	1.51	15.42	0.46	15.71	10.05	0.07	-0.05	0.000	0.200
g - g	0.19	9.27	0.43	15.71	10.05	0.00	-	-	0.200

sez. compressa

(n.b.: M+ tende le fibre di intradosso, M- tende le fibre di estradosso)

## 11. PROGETTO E VERIFICA DEL MURO DI CONTRORIPA “TIPO 1”

### 11.1 DATI DI INPUT



#### Geometria del Muro

Elevazione	H3 =	3.45	(m)
Aggetto Valle	B2 =	0.00	(m)
Spessore del Muro in Testa	B3 =	0.40	(m)
Aggetto monte	B4 =	0.26	(m)

#### Geometria della Fondazione

Larghezza Fondazione	B =	4.20	(m)
Spessore Fondazione	H2 =	0.60	(m)
Suola Lato Valle	B1 =	0.50	(m)
Suola Lato Monte	B5 =	3.04	(m)
Altezza dente	Hd =	0.00	(m)
Larghezza dente	Bd =	0.00	(m)
Mezzeria Sezione	Xc =	2.10	(m)

Peso Specifico del Calcestruzzo	$\gamma_{cls}$ =	25.00	(kN/m <sup>3</sup> )
---------------------------------	------------------	-------	----------------------

***Dati geotecnici e carichi agenti – Condizione statica e sismica***

<b>Dati Geotecnici</b>			valori caratteristici		valori di progetto	
			SLE		STR/GEO	EQU
Dati Terrapieno	Angolo di attrito del terrapieno	(°)	$\varphi'$	30.00	30.00	30.00
	Peso Unità di Volume del terrapieno	(kN/m <sup>3</sup> )	$\gamma'$	19.00	19.00	19.00
	Angolo di attrito terreno-superficie ideale	(°)	$\delta$	10.00	10.00	10.00
Dati Terreno Fondazione	Condizioni		<input checked="" type="radio"/> drenate <input type="radio"/> Non Drenate			
	Coesione Terreno di Fondazione	(kPa)	$c_1'$	18.00	18.00	18.00
	Angolo di attrito del Terreno di Fondazione	(°)	$\varphi_1'$	24.00	24.00	24.00
	Peso Unità di Volume del Terreno di Fondazione	(kN/m <sup>3</sup> )	$\gamma_1$	21.00	21.00	21.00
	Peso Unità di Volume del Rinterro della Fondazione	(kN/m <sup>3</sup> )	$\gamma_d$	19.00	19.00	19.00
	Profondità "Significativa" (n.b.: consigliata H = 2*B)	(m)	Hs	8.00		
	Modulo di deformazione	(kN/m <sup>2</sup> )	E	5000		

Dati Sismici	Accelerazione sismica	$a_g/g$	0.095	(-)	
	Coefficiente Amplificazione Stratigrafico	$S_s$	1.5	(-)	
	Coefficiente Amplificazione Topografico	$S_T$	1	(-)	
	Coefficiente di riduzione dell'accelerazione massima	$\beta_s$	0.38	(-)	
	Coefficiente sismico orizzontale	kh	0.05415	(-)	
	Coefficiente sismico verticale	kv	0.0271	(-)	
Muro libero di traslare o ruotare			<input checked="" type="radio"/> si <input type="radio"/> no		

**RIBALTAMENTO**

$\beta_s$	0.57
kh	0.08123
kv	0.04061

			STR/GEO	RIB
Coefficienti di Spinta	Coeff. di Spinta Attiva Statico	ka	0.350	0.350
	Coeff. Di Spinta Attiva Sismica sisma +	kas+	0.392	0.415
	Coeff. Di Spinta Attiva Sismica sisma -	kas-	0.395	0.422
	Coeff. Di Spinta Passiva	kp	2.371	2.371
	Coeff. Di Spinta Passiva Sismica sisma +	kps+	2.288	2.247
	Coeff. Di Spinta Passiva Sismica sisma -	kps-	2.283	2.236

<b>Carichi Agenti</b>			valori caratteristici		valori di progetto	
			SLE - sisma		STR/GEO	EQU
Carichi permanenti	Sovraccarico permanente	(kN/m <sup>2</sup> )	qp	0.00	0.00	0.00
	Sovraccarico su zattera di monte <input type="radio"/> si <input checked="" type="radio"/> no					
	Forza Orizzontale in Testa permanente	(kN/m)	fp	0.00	0.00	0.00
	Forza Verticale in Testa permanente	(kN/m)	vp	3.50	3.50	3.50
	Momento in Testa permanente	(kNm/m)	mp	0.00	0.00	0.00
Condizioni Statiche	Sovraccarico Accidentale in condizioni statiche	(kN/m <sup>2</sup> )	q	0.00	0.00	0.00
	Forza Orizzontale in Testa accidentale in condizioni statiche	(kN/m)	f	0.00	0.00	0.00
	Forza Verticale in Testa accidentale in condizioni statiche	(kN/m)	v	0.00	0.00	0.00
	Momento in Testa accidentale in condizioni statiche	(kNm/m)	m	0.00	0.00	0.00
	Coefficienti di combinazione condizione frequente $\Psi_1$		1.00	condizione quasi permanente $\Psi_2$	0.00	
Condizioni Sismiche	Sovraccarico Accidentale in condizioni sismiche	(kN/m <sup>2</sup> )	qs	0.00		
	Forza Orizzontale in Testa accidentale in condizioni sismiche	(kN/m)	fs	0.00		
	Forza Verticale in Testa accidentale in condizioni sismiche	(kN/m)	vs	0.00		
	Momento in Testa accidentale in condizioni sismiche	(kNm/m)	ms	0.00		

PT56: MURO DI CONTRORIPA MU96B  
RELAZIONE DI CALCOLO

COMMESSA	LOTTO	CODIFICA	DOCUMENTO	REV.	FOGLIO
RS3T	30 D 78	CL	MU96B0 001	B	86 di 160

### CARATTERISTICHE DEI MATERIALI STRUTTURALI

#### Calcestruzzo

classe cls

Rck	40	(MPa)
fck	32	(MPa)
fc <sub>m</sub>	40	(MPa)
E <sub>c</sub>	33346	(MPa)
α <sub>cc</sub>	0.85	
γ <sub>c</sub>	1.50	
$f_{cd} = \alpha_{cc} \cdot f_{ck} / \gamma_c$	18.13	(MPa)
$f_{ctm} = 0.30 \cdot f_{ck}^{2/3}$	3.02	(MPa)

#### Tensioni limite (tensioni ammissibili)

##### condizioni statiche

σ <sub>c</sub>	19.2	Mpa
σ <sub>f</sub>	360	Mpa

##### condizioni sismiche

σ <sub>c</sub>	19.2	Mpa
σ <sub>f</sub>	360	Mpa

#### Valore limite di apertura delle fessure

Frequente	<input type="text" value="w1"/>	0.2	mm
Quasi Permanente	<input type="text" value="w1"/>	0.2	mm

#### Acciaio

tipo di acciaio

f <sub>yk</sub>	=	450	(MPa)
γ <sub>s</sub>	=	1.15	
f <sub>yd</sub> = f <sub>yk</sub> / γ <sub>s</sub>	=	391.30	(MPa)
E <sub>s</sub>	=	210000	(MPa)
ε <sub>ys</sub>	=	0.19%	

coefficiente omogeneizzazione acciaio n = 15

#### Copriferro (distanza asse armatura-bordo)

c = 8.00 (cm)

#### Copriferro minimo di normativa (ricoprimento armatura)

c<sub>min</sub> = 5.00 (cm)

#### Interferro tra I e II strato

i<sub>I-II</sub> = 5.00 (cm)

## 11.2 CALCOLO DELLE AZIONI

### 11.2.1 FORZE VERTICALI E INERZIALI

#### FORZE VERTICALI

##### - Peso del Muro (Pm)

			SLE	STR/GEO	EQU/RIB
Pm1 =	$(B2 \cdot H3 \cdot \gamma_{cls}) / 2$	(kN/m)	0.00	0.00	0.00
Pm2 =	$(B3 \cdot H3 \cdot \gamma_{cls})$	(kN/m)	34.50	34.50	34.50
Pm3 =	$(B4 \cdot H3 \cdot \gamma_{cls}) / 2$	(kN/m)	11.21	11.21	11.21
Pm4 =	$(B \cdot H2 \cdot \gamma_{cls})$	(kN/m)	63.00	63.00	63.00
Pm5 =	$(Bd \cdot Hd \cdot \gamma_{cls})$	(kN/m)	0.00	0.00	0.00
Pm =	Pm1 + Pm2 + Pm3 + Pm4 + Pm5	(kN/m)	108.71	108.71	108.71

##### - Peso del terreno e sovr. perm. sulla scarpa di monte del muro (Pt)

Pt1 =	$(B5 \cdot H3 \cdot \gamma)$	(kN/m)	199.27	199.27	199.27
Pt2 =	$(0,5 \cdot (B4 + B5) \cdot H4 \cdot \gamma)$	(kN/m)	18.24	18.24	18.24
Pt3 =	$(B4 \cdot H3 \cdot \gamma) / 2$	(kN/m)	8.52	8.52	8.52
Sovr =	$qp \cdot (B4 + B5)$	(kN/m)	0.00	0.00	0.00
Pt =	Pt1 + Pt2 + Pt3 + Sovr	(kN/m)	226.04	226.04	226.04

##### - Sovraccarico accidentale sulla scarpa di monte del muro

Sovr acc. Stat	$q \cdot (B4 + B5)$	(kN/m)	0	0	
Sovr acc. Sism	$qs \cdot (B4 + B5)$	(kN/m)	0		

#### MOMENTI DELLE FORZE VERT. RISPETTO AL PIEDE DI VALLE DEL MURO

##### - Muro (Mm)

			SLE	STR/GEO	EQU/RIB
Mm1 =	$Pm1 \cdot (B1 + 2/3 \cdot B2)$	(kNm/m)	0.00	0.00	0.00
Mm2 =	$Pm2 \cdot (B1 + B2 + 0,5 \cdot B3)$	(kNm/m)	24.15	24.15	24.15
Mm3 =	$Pm3 \cdot (B1 + B2 + B3 + 1/3 \cdot B4)$	(kNm/m)	11.06	11.06	11.06
Mm4 =	$Pm4 \cdot (B/2)$	(kNm/m)	132.30	132.30	132.30
Mm5 =	$Pm5 \cdot (B - Bd/2)$	(kNm/m)	0.00	0.00	0.00
Mm =	Mm1 + Mm2 + Mm3 + Mm4 + Mm5	(kNm/m)	167.51	167.51	167.51

##### - Terrapieno e sovr. perm. sulla scarpa di monte del muro

Mt1 =	$Pt1 \cdot (B1 + B2 + B3 + B4 + 0,5 \cdot B5)$	(kNm/m)	534.05	534.05	534.05
Mt2 =	$Pt2 \cdot (B1 + B2 + B3 + 2/3 \cdot (B4 + B5))$	(kNm/m)	56.55	56.55	56.55
Mt3 =	$Pt3 \cdot (B1 + B2 + B3 + 2/3 \cdot B4)$	(kNm/m)	9.15	9.15	9.15
Msovr =	$Sovr \cdot (B1 + B2 + B3 + 1/2 \cdot (B4 + B5))$	(kNm/m)	0.00	0.00	0.00
Mt =	Mt1 + Mt2 + Mt3 + Msovr	(kNm/m)	599.75	599.75	599.75

##### - Sovraccarico accidentale sulla scarpa di monte del muro

Sovr acc. Stat	$q \cdot (B1 + B2 + B3 + 1/2 \cdot (B4 + B5))$	(kNm/m)	0	0	
Sovr acc. Sism	$qs \cdot (B1 + B2 + B3 + 1/2 \cdot (B4 + B5))$	(kNm/m)	0		

PT56: MURO DI CONTRORIPA MU96B  
RELAZIONE DI CALCOLO

COMMESSA	LOTTO	CODIFICA	DOCUMENTO	REV.	FOGLIO
RS3T	30 D 78	CL	MU96B0 001	B	88 di 160

### INERZIA DEL MURO E DEL TERRAPIENO

- Inerzia orizzontale e verticale del muro (Ps)

Ps h =	$P_m \cdot kh$	(kN/m)	5.89	8.83
Ps v =	$P_m \cdot kv$	(kN/m)	2.94	4.42

- Inerzia orizzontale e verticale del terrapieno a tergo del muro (Pts)

Ptsh =	$P_t \cdot kh$	(kN/m)	12.24	18.36
Ptsh v =	$P_t \cdot kv$	(kN/m)	6.12	9.18

- Incremento orizzontale di momento dovuto all'inerzia del muro (MPs h)

MPs1 h =	$kh \cdot P_m1 \cdot (H_2 + H_3/3)$	(kNm/m)	0.00	0.00
MPs2 h =	$kh \cdot P_m2 \cdot (H_2 + H_3/2)$	(kNm/m)	4.34	6.52
MPs3 h =	$kh \cdot P_m3 \cdot (H_2 + H_3/3)$	(kNm/m)	1.06	1.59
MPs4 h =	$kh \cdot P_m4 \cdot (H_2/2)$	(kNm/m)	1.02	1.54
MPs5 h =	$-kh \cdot P_m5 \cdot (H_d/2)$	(kNm/m)	0.00	0.00
MPs h =	$MPs1 + MPs2 + MPs3 + MPs4 + MPs5$	(kNm/m)	6.43	9.64

- Incremento verticale di momento dovuto all'inerzia del muro (MPs v)

MPs1 v =	$kv \cdot P_m1 \cdot (B_1 + 2/3 \cdot B_2)$	(kNm/m)	0.00	0.00
MPs2 v =	$kv \cdot P_m2 \cdot (B_1 + B_2 + B_3/2)$	(kNm/m)	0.65	0.98
MPs3 v =	$kv \cdot P_m3 \cdot (B_1 + B_2 + B_3 + B_4/3)$	(kNm/m)	0.30	0.45
MPs4 v =	$kv \cdot P_m4 \cdot (B/2)$	(kNm/m)	3.58	5.37
MPs5 v =	$kv \cdot P_m5 \cdot (B - B_d/2)$	(kNm/m)	0.00	0.00
MPs v =	$MPs1 + MPs2 + MPs3 + MPs4 + MPs5$	(kNm/m)	4.54	6.80

- Incremento orizzontale di momento dovuto all'inerzia del terrapieno (MPts h)

MPts1 h =	$kh \cdot P_t1 \cdot (H_2 + H_3/2)$	(kNm/m)	25.09	37.63
MPts2 h =	$kh \cdot P_t2 \cdot (H_2 + H_3 + H_4/3)$	(kNm/m)	7.75	11.62
MPts3 h =	$kh \cdot P_t3 \cdot (H_2 + H_3 \cdot 2/3)$	(kNm/m)	1.34	2.01
MPts h =	$MPts1 + MPts2 + MPts3$	(kNm/m)	34.17	51.26

- Incremento verticale di momento dovuto all'inerzia del terrapieno (MPts v)

MPts1 v =	$kv \cdot P_t1 \cdot ((H_2 + H_3/2) - (B - B_5/2) \cdot 0.5)$	(kNm/m)	14.46	21.69
MPts2 v =	$kv \cdot P_t2 \cdot ((H_2 + H_3 + H_4/3) - (B - B_5/3) \cdot 0.5)$	(kNm/m)	1.57	2.36
MPts3 v =	$kv \cdot P_t3 \cdot ((H_2 + H_3 \cdot 2/3) - (B_1 + B_2 + B_3 + 2/3 \cdot B_4) \cdot 0.5)$	(kNm/m)	0.30	0.45
MPts v =	$MPts1 + MPts2 + MPts3$	(kNm/m)	16.33	24.50

## 11.2.2 SPINTE IN CONDIZIONE STATICA

### SPINTE DEL TERRENO E DEL SOVRACCARICO

- Spinta totale condizione statica

		SLE	STR/GEO	EQU/RIB
St =	$0,5 \cdot \gamma \cdot (H_2 + H_3 + H_4 + H_d)^2 \cdot k_a$	(kN/m) 71.24	92.61	92.61
Sq perm =	$q \cdot (H_2 + H_3 + H_4 + H_d) \cdot k_a$	(kN/m) 0.00	0.00	0.00
Sq acc =	$q \cdot (H_2 + H_3 + H_4 + H_d) \cdot k_a$	(kN/m) 0.00	0.00	0.00

- Componente orizzontale condizione statica

Sth =	$St \cdot \cos \delta$	(kN/m) 70.16	91.20	91.20
Sqh perm =	$Sq \text{ perm} \cdot \cos \delta$	(kN/m) 0.00	0.00	0.00
Sqh acc =	$Sq \text{ acc} \cdot \cos \delta$	(kN/m) 0.00	0.00	0.00

- Componente verticale condizione statica

Stv =	$St \cdot \sin \delta$	(kN/m) 12.37	16.08	16.08
Sqv perm =	$Sq \text{ perm} \cdot \sin \delta$	(kN/m) 0.00	0.00	0.00
Sqv acc =	$Sq \text{ acc} \cdot \sin \delta$	(kN/m) 0.00	0.00	0.00

- Spinta passiva sul dente

$Sp = \frac{1}{2} \cdot g_1 \cdot H_d^2 \cdot \frac{1}{2} \cdot \gamma_1 \cdot H_d^2 \cdot k_p + (2 \cdot c_1 \cdot k_p^{0.5} + \gamma_1 \cdot k_p \cdot H_2) \cdot H_d$	(kN/m)	0.00	0.00	0.00
--	--------	------	------	------

### MOMENTI DELLA SPINTA DEL TERRENO E DEL SOVRACCARICO

		SLE	STR/GEO	EQU/RIB
MSt1 =	$Sth \cdot ((H_2 + H_3 + H_4 + H_d) / 3 - H_d)$	(kNm/m) 108.32	140.81	140.81
MSt2 =	$Stv \cdot B$	(kNm/m) 51.96	67.54	67.54
MSq1 perm =	$Sqh \text{ perm} \cdot ((H_2 + H_3 + H_4 + H_d) / 2 - H_d)$	(kNm/m) 0.00	0.00	0.00
MSq1 acc =	$Sqh \text{ acc} \cdot ((H_2 + H_3 + H_4 + H_d) / 2 - H_d)$	(kNm/m) 0.00	0.00	0.00
MSq2 perm =	$Sqv \text{ perm} \cdot B$	(kNm/m) 0.00	0.00	0.00
MSq2 acc =	$Sqv \text{ acc} \cdot B$	(kNm/m) 0.00	0.00	0.00
MSp =	$\gamma_1 \cdot H_d^3 \cdot k_p / 3 + (2 \cdot c_1 \cdot k_p^{0.5} + \gamma_1 \cdot k_p \cdot H_2) \cdot H_d^2 / 2$	(kNm/m) 0.00	0.00	0.00

### MOMENTI DOVUTI ALLE FORZE ESTERNE

Mfext1 =	$mp + m$	(kNm/m) 0.00	0.00	0.00
Mfext2 =	$(fp + f) \cdot (H_3 + H_2)$	(kNm/m) 0.00	0.00	0.00
Mfext3 =	$(vp + v) \cdot (B_1 + B_2 + B_3 / 2)$	(kNm/m) 2.45	2.45	2.45

### 11.2.3 SPINTE IN CONDIZIONE SISMICA +

#### SPINTE DEL TERRENO E DEL SOVRACCARICO

- Spinta condizione sismica +

		SLE	STR/GEO	EQU/RIB
Sst1 stat = $0,5 \cdot \gamma \cdot (H2+H3+H4+Hd) \cdot ka$	(kN/m)	71.24	71.24	71.24
Sst1 sism = $0,5 \cdot \gamma \cdot (1+kv) \cdot (H2+H3+H4+Hd) \cdot kas^+ - Sst1 \text{ stat}$	(kN/m)	10.89	10.89	16.86
Ssq1 perm = $qp \cdot (H2+H3+H4+Hd) \cdot kas^+$	(kN/m)	0.00	0.00	0.00
Ssq1 acc = $qs \cdot (H2+H3+H4+Hd) \cdot kas^+$	(kN/m)	0.00	0.00	0.00

- Componente orizzontale condizione sismica +

Sst1h stat = $Sst1 \text{ stat} \cdot \cos \delta$	(kN/m)	70.16	70.16	70.16
Sst1h sism = $Sst1 \text{ sism} \cdot \cos \delta$	(kN/m)	10.73	10.73	16.60
Ssq1h perm = $Ssq1 \text{ perm} \cdot \cos \delta$	(kN/m)	0.00	0.00	0.00
Ssq1h acc = $Ssq1 \text{ acc} \cdot \cos \delta$	(kN/m)	0.00	0.00	0.00

- Componente verticale condizione sismica +

Sst1v stat = $Sst1 \text{ stat} \cdot \sin \delta$	(kN/m)	12.37	12.37	12.37
Sst1v sism = $Sst1 \text{ sism} \cdot \sin \delta$	(kN/m)	1.89	1.89	2.93
Ssq1v perm = $Ssq1 \text{ perm} \cdot \sin \delta$	(kN/m)	0.00	0.00	0.00
Ssq1v acc = $Ssq1 \text{ acc} \cdot \sin \delta$	(kN/m)	0.00	0.00	0.00

- Spinta passiva sul dente

$Sp = \frac{1}{2} \cdot \gamma_1 \cdot (1+kv) \cdot Hd^2 \cdot kps^+ + (2 \cdot c_1 \cdot kps^{+0.5} + \gamma_1 \cdot (1+kv) \cdot kps^+ \cdot H2) \cdot Hd$	(kN/m)	0.00	0.00	0.00
--	--------	------	------	------

#### MOMENTI DELLA SPINTA DEL TERRENO E DEL SOVRACCARICO

- Condizione sismica +

		SLE	STR/GEO	EQU/RIB
MSst1 stat = $Sst1h \text{ stat} \cdot ((H2+H3+H4+hd)/3-hd)$	( kNm/m )	108.32	108.32	108.32
MSst1 sism = $Sst1h \text{ sism} \cdot ((H2+H3+H4+Hd)/3-Hd)$	( kNm/m )	16.57	16.57	25.64
MSst2 stat = $Sst1v \text{ stat} \cdot B$	( kNm/m )	51.96	51.96	51.96
MSst2 sism = $Sst1v \text{ sism} \cdot B$	( kNm/m )	7.95	7.95	12.30
MSsq1 = $Ssq1h \cdot ((H2+H3+H4+Hd)/2-Hd)$	( kNm/m )	0.00	0.00	0.00
MSsq2 = $Ssq1v \cdot B$	( kNm/m )	0.00	0.00	0.00
MSp = $\gamma_1 \cdot Hd^3 \cdot kps^+ / 3 + (2 \cdot c_1 \cdot kps^{+0.5} + \gamma_1 \cdot kps^+ \cdot H2) \cdot Hd^2 / 2$	( kNm/m )	0.00	0.00	0.00

#### MOMENTI DOVUTI ALLE FORZE ESTERNE

Mfext1 = $mp+ms$	( kNm/m )		0.00	
Mfext2 = $(fp+fs) \cdot (H3 + H2)$	( kNm/m )		0.00	
Mfext3 = $(vp+vs) \cdot (B1 + B2 + B3/2)$	( kNm/m )		2.45	

### 11.2.4 SPINTE IN CONDIZIONE SISMICA -

#### SPINTE DEL TERRENO E DEL SOVRACCARICO

- Spinta condizione sismica -

		SLE	STR/GEO	EQU/RIB
Sst1 stat = $0,5 \cdot \gamma' \cdot (H_2 + H_3 + H_4 + H_d) \cdot k_a$	(kN/m)	71.24	71.24	71.24
Sst1 sism = $0,5 \cdot \gamma' \cdot (1 - k_v) \cdot (H_2 + H_3 + H_4 + H_d) \cdot k_a \cdot S$	(kN/m)	7.08	7.08	11.22
Ssq1 perm = $q_p \cdot (H_2 + H_3 + H_4 + H_d) \cdot k_{as}$	(kN/m)	0.00	0.00	0.00
Ssq1 acc = $q_s \cdot (H_2 + H_3 + H_4 + H_d) \cdot k_{as}$	(kN/m)	0.00	0.00	0.00

- Componente orizzontale condizione sismica -

Sst1h stat = Sst1 stat * cos $\delta$	(kN/m)	70.16	70.16	70.16
Sst1h sism = Sst1 sism * cos $\delta$	(kN/m)	6.97	6.97	11.05
Ssq1h perm = Ssq1 perm * cos $\delta$	(kN/m)	0.00	0.00	0.00
Ssq1h acc = Ssq1 acc * cos $\delta$	(kN/m)	0.00	0.00	0.00

- Componente verticale condizione sismica -

Sst1v stat = Sst1 stat * sen $\delta$	(kN/m)	12.37	12.37	12.37
Sst1v sism = Sst1 sism * sen $\delta$	(kN/m)	1.23	1.23	1.95
Ssq1v perm = Ssq1 perm * sen $\delta$	(kN/m)	0.00	0.00	0.00
Ssq1v acc = Ssq1 acc * sen $\delta$	(kN/m)	0.00	0.00	0.00

- Spinta passiva sul dente

$S_p = \frac{1}{2} \cdot \gamma'_1 \cdot (1 - k_v) \cdot H_d^2 \cdot k_{ps} + (2 \cdot c_1 \cdot k_{ps}^{0.5} + \gamma'_1 \cdot (1 - k_v) \cdot k_{ps} \cdot H_2) \cdot H_d$	(kN/m)	0.00	0.00	0.00
--	--------	------	------	------

#### MOMENTI DELLA SPINTA DEL TERRENO E DEL SOVRACCARICO

- Condizione sismica -

		SLE	STR/GEO	EQU/RIB
MSst1 stat = Sst1h stat * ((H <sub>2</sub> +H <sub>3</sub> +H <sub>4</sub> +h <sub>d</sub> )/3-h <sub>d</sub> )	(kNm/m)	108.32	108.32	108.32
MSst1 sism = Sst1h sism * ((H <sub>2</sub> +H <sub>3</sub> +H <sub>4</sub> +H <sub>d</sub> )/3-H <sub>d</sub> )	(kNm/m)	10.76	10.76	17.05
MSst2 stat = Sst1v stat * B	(kNm/m)	51.96	51.96	51.96
MSst2 sism = Sst1v sism * B	(kNm/m)	5.16	5.16	8.18
MSsq1 = Ssq1h * ((H <sub>2</sub> +H <sub>3</sub> +H <sub>4</sub> +H <sub>d</sub> )/2-H <sub>d</sub> )	(kNm/m)	0.00	0.00	0.00
MSsq2 = Ssq1v * B	(kNm/m)	0.00	0.00	0.00
M <sub>Sp</sub> = $\gamma'_1 \cdot H_d^3 \cdot k_{ps} / 3 + (2 \cdot c_1 \cdot k_{ps}^{0.5} + \gamma'_1 \cdot k_{ps} \cdot H_2) \cdot H_d^2 / 2$	(kNm/m)	0.00	0.00	0.00

#### MOMENTI DOVUTI ALLE FORZE ESTERNE

M <sub>fext1</sub> = mp+ms	(kNm/m)		0.00	
M <sub>fext2</sub> = (fp+fs)*(H <sub>3</sub> + H <sub>2</sub> )	(kNm/m)		0.00	
M <sub>fext3</sub> = (vp+vs)*(B <sub>1</sub> + B <sub>2</sub> + B <sub>3</sub> /2)	(kNm/m)		2.45	

## 11.3 VERIFICHE GEOTECNICHE

### 11.3.1 VERIFICA STATICA A RIBALTAMENTO, SCORRIMENTO E CARICO LIMITE VERTICALE - C. DRENATE

#### VERIFICA ALLO SCORRIMENTO (STR/GEO)

Risultante forze verticali (N)				
$N = P_m + P_t + v + S_{tv} + S_{qv} \text{ perm} + S_{qv} \text{ acc}$		354.33	(kN/m)	
Risultante forze orizzontali (T)				
$T = S_{th} + S_{qh} + f$		91.20	(kN/m)	
Coefficiente di attrito alla base (f)				
$f = \text{tg}\phi_1'$		0.45	(-)	
<b>Fs scorr.</b>	<b><math>(N \cdot f + S_p) / T</math></b>	<b>1.73</b>	<b>&gt;</b>	<b>1.1</b>

#### VERIFICA AL RIBALTAMENTO

Momento stabilizzante (Ms)				
$M_s = M_m + M_t + M_{fext3}$		769.71	( kNm/m )	
Momento ribaltante (Mr)				
$M_r = M_{St} + M_{Sq} + M_{fext1} + M_{fext2} + M_{Sp}$		73.27	( kNm/m )	
<b>Fs ribaltamento</b>	<b>Ms / Mr</b>	<b>10.51</b>	<b>&gt;</b>	<b>1.15</b>

#### VERIFICA CARICO LIMITE DELLA FONDAZIONE (STR/GEO)

Risultante forze verticali (N)		Nmin	Nmax	
$N = P_m + P_t + v + S_{tv} + S_{qv} (+ \text{Sovr acc})$		354.33	354.33	(kN/m)
Risultante forze orizzontali (T)				
$T = S_{th} + S_{qh} + f - S_p$		91.20	91.20	(kN/m)
Risultante dei momenti rispetto al piede di valle (MM)				
$MM = \sum M$		696.44	696.44	( kNm/m )
Momento rispetto al baricentro della fondazione (M)				
$M = X_c \cdot N - MM$		47.65	47.65	( kNm/m )

### Formula Generale per il Calcolo del Carico Limite Unitario (Brinch-Hansen, 1970)

Fondazione Nastriforme

$$q_{lim} = c'N_c i_c + q_0 N_q i_q + 0,5 \gamma_1 B^* N_\gamma i_\gamma$$

$c'$	coesione terreno di fondaz.	18.00		(kPa)
$\varphi_1'$	angolo di attrito terreno di fondaz.	24.00		(°)
$\gamma_1$	peso unità di volume terreno fondaz.	21.00		(kN/m <sup>3</sup> )
$q_0 = \gamma d^* H_2'$	sovraccarico stabilizzante	15.20		(kN/m <sup>2</sup> )
$e = M / N$	eccentricità	0.13	0.13	(m)
$B^* = B - 2e$	larghezza equivalente	3.93	3.93	(m)

I valori di  $N_c$ ,  $N_q$  e  $N_\gamma$  sono stati valutati con le espressioni suggerite da Vesic (1975)

$N_q = \text{tg}^2(45 + \varphi'/2) e^{(\pi \text{tg}(\varphi'))}$	(1 in cond. nd)	9.60		(-)
$N_c = (N_q - 1) / \text{tg}(\varphi')$	( $2 + \pi$ in cond. nd)	19.32		(-)
$N_\gamma = 2^*(N_q + 1) * \text{tg}(\varphi')$	(0 in cond. nd)	9.44		(-)

I valori di  $i_c$ ,  $i_q$  e  $i_\gamma$  sono stati valutati con le espressioni suggerite da Vesic (1975)

$i_q = (1 - T / (N + B^* c' \cot \varphi'))^m$	(1 in cond. nd)	0.68	0.68	(-)
$i_c = i_q - (1 - i_q) / (N_q - 1)$		0.64	0.64	(-)
$i_\gamma = (1 - T / (N + B^* c' \cot \varphi'))^{m+1}$		0.56	0.56	(-)

(fondazione nastriforme  $m = 2$ )

$q_{lim}$	(carico limite unitario)	537.50	537.50	(kN/m <sup>2</sup> )
-----------	--------------------------	--------	--------	----------------------

<b>FS carico limite</b>	<b><math>F = q_{lim} * B^* / N</math></b>	Nmin	<b>5.96</b>	>	<b>1.4</b>
		Nmax	<b>5.96</b>	>	

 <b>ITALFERR</b> GRUPPO FERROVIE DELLO STATO ITALIANE	DIRETTRICE FERROVIARIA MESSINA – CATANIA – PALERMO NUOVO COLLEGAMENTO PALERMO – CATANIA TRATTA VALLELUNGA – CALTANISSETTA XIRBI (LOTTO 3b) OPERE DI SOSTEGNO PIAZZALI – LOTTO 3B					
	PT56: MURO DI CONTRORIPA MU96B RELAZIONE DI CALCOLO	COMMESSA RS3T	LOTTO 30 D 78	CODIFICA CL	DOCUMENTO MU96B0 001	REV. B

### 11.3.2 VERIFICA SISMICA A RIBALTAMENTO, SCORRIMENTO E CARICO LIMITE VERTICALE - C. DRENATE

Condizione sismica +

#### VERIFICA ALLO SCORRIMENTO

Risultante forze verticali (N)				
$N = P_m + P_t + v_p + v_s + S_{st1v} + S_{sq1v} + P_s v + P_{tsv}$		361.57	(kN/m)	
Risultante forze orizzontali (T)				
$T = S_{st1h} + S_{sq1h} + f_p + f_s + P_s h + P_{tsh}$		99.01	(kN/m)	
Coefficiente di attrito alla base (f)				
$f = \tan \phi_1'$		0.45	(-)	
<b><math>F_s = (N \cdot f + S_p) / T</math></b>		<b>1.63</b>	<b>&gt;</b>	<b>1</b>

#### VERIFICA AL RIBALTAMENTO

Momento stabilizzante (Ms)				
$M_s = M_m + M_t + M_{fext3}$		769.71	(kNm/m)	
Momento ribaltante (Mr)				
$M_r = M_{Sst} + M_{Ssq} + M_{fext1} + M_{fext2} + M_{Sp} + M_{Ps} + M_{pts}$		99.31	(kNm/m)	
<b><math>F_r = M_s / M_r</math></b>		<b>7.75</b>	<b>&gt;</b>	<b>1</b>

#### VERIFICA A CARICO LIMITE DELLA FONDAZIONE

Risultante forze verticali (N)		Nmin	Nmax	
$N = P_m + P_t + v_p + v_s + S_{st1v} + S_{sq1v} + P_s v + P_{tsv} + (Sovr \text{ acc})$		361.57	361.57	(kN/m)
Risultante forze orizzontali (T)				
$T = S_{st1h} + S_{sq1h} + f_p + f_s + P_s h + P_{tsh} - S_p$		99.01		(kN/m)
Risultante dei momenti rispetto al piede di valle (MM)				
$MM = \sum M$		684.99	684.99	(kNm/m)
Momento rispetto al baricentro della fondazione (M)				
$M = X_c \cdot N - MM$		74.32	74.32	(kNm/m)

### Formula Generale per il Calcolo del Carico Limite Unitario (Brinch-Hansen, 1970)

Fondazione Nastriforme

$$q_{lim} = c'N_c'ic + q_0*N_q'iq + 0,5*\gamma_1*B*N_\gamma'i_\gamma$$

$c'1'$	coesione terreno di fondaz.	18.00			(kN/mq)
$\phi'1'$	angolo di attrito terreno di fondaz.	24.00			(°)
$\gamma_1$	peso unità di volume terreno fondaz.	21.00			(kN/m <sup>3</sup> )
$q_0 = \gamma d^*H2'$	sovraccarico stabilizzante	15.20			(kN/m <sup>2</sup> )
$e = M / N$	eccentricità	0.21	0.21		(m)
$B^* = B - 2e$	larghezza equivalente	3.79	3.79		(m)

I valori di  $N_c$ ,  $N_q$  e  $N_\gamma$  sono stati valutati con le espressioni suggerite da Vesic (1975)

$N_q = \text{tg}^2(45 + \phi'/2)*e^{(\pi*\text{tg}(\phi'))}$	(1 in cond. nd)	9.60			(-)
$N_c = (N_q - 1)/\text{tg}(\phi')$	(2+ $\pi$ in cond. nd)	19.32			(-)
$N_\gamma = 2*(N_q + 1)*\text{tg}(\phi')$	(0 in cond. nd)	9.44			(-)

I valori di  $i_c$ ,  $i_q$  e  $i_\gamma$  sono stati valutati con le espressioni suggerite da Vesic (1975)

$i_q = (1 - T/(N + B*c'*\text{cotg}\phi'))^m$	(1 in cond. nd)	0.65	0.65		(-)
$i_c = i_q - (1 - i_q)/(N_q - 1)$		0.61	0.61		(-)
$i_\gamma = (1 - T/(N + B*c'*\text{cotg}\phi'))^{m+1}$		0.53	0.53		(-)

(fondazione nastriforme  $m = 2$ )

$q_{lim}$	(carico limite unitario)	505.94	505.94		(kN/m <sup>2</sup> )
-----------	--------------------------	--------	--------	--	----------------------

<b>FS carico limite</b>	<b><math>F = q_{lim}*B^*/N</math></b>	<b>Nmin</b>	<b>5.30</b>	<b>&gt;</b>	<b>1.2</b>
		<b>Nmax</b>	<b>5.30</b>	<b>&gt;</b>	

Condizione sismica -

**VERIFICA ALLO SCORRIMENTO**

Risultante forze verticali (N)

$$N = P_m + P_t + v_p + v_s + S_{st1v} + S_{sq1v} + P_s v + P_{tsv} \quad 342.78 \quad (\text{kN/m})$$

Risultante forze orizzontali (T)

$$T = S_{st1h} + S_{sq1h} + f_p + f_s + P_s h + P_{tsh} \quad 95.25 \quad (\text{kN/m})$$

Coefficiente di attrito alla base (f)

$$f = \text{tg}\phi_1' \quad 0.45 \quad (-)$$

$$F_s = (N \cdot f + S_p) / T \quad \mathbf{1.60} \quad > \quad \mathbf{1}$$

**VERIFICA AL RIBALTAMENTO**

Momento stabilizzante (Ms)

$$M_s = M_m + M_t + M_{fext3} \quad 769.71 \quad (\text{kNm/m})$$

Momento ribaltante (Mr)

$$M_r = M_{Sst} + M_{Ssq} + M_{fext1} + M_{fext2} + M_{Sp} + M_{Ps} + M_{pts} \quad 157.44 \quad (\text{kNm/m})$$

$$F_r = M_s / M_r \quad \mathbf{4.89} \quad > \quad \mathbf{1}$$

**VERIFICA A CARICO LIMITE DELLA FONDAZIONE**

Risultante forze verticali (N)

$$N = P_m + P_t + v_p + v_s + S_{st1v} + S_{sq1v} + P_s v + P_{tsv} \quad \begin{matrix} N_{min} \\ 342.78 \end{matrix} \quad \begin{matrix} N_{max} \\ 342.78 \end{matrix} \quad (\text{kN/m})$$

Risultante forze orizzontali (T)

$$T = S_{st1h} + S_{sq1h} + f_p + f_s + P_s h + P_{tsh} - S_p \quad 95.25 \quad (\text{kN/m})$$

Risultante dei momenti rispetto al piede di valle (MM)

$$MM = \sum M \quad 646.28 \quad 646.28 \quad (\text{kNm/m})$$

Momento rispetto al baricentro della fondazione (M)

$$M = X_c \cdot N - MM \quad 73.57 \quad 73.57 \quad (\text{kNm/m})$$

### Formula Generale per il Calcolo del Carico Limite Unitario (Brinch-Hansen, 1970)

Fondazione Nastriforme

$$q_{lim} = c'N_c'ic + q_0*N_q'iq + 0,5*\gamma_1*B*N_\gamma'i_\gamma$$

$c'1'$	coesione terreno di fondaz.	18.00			(kN/mq)
$\phi'1'$	angolo di attrito terreno di fondaz.	24.00			(°)
$\gamma_1$	peso unità di volume terreno fondaz.	21.00			(kN/m <sup>3</sup> )
$q_0 = \gamma d^*H2'$	sovraccarico stabilizzante	15.20			(kN/m <sup>2</sup> )
$e = M / N$	eccentricità	0.21	0.21		(m)
$B^* = B - 2e$	larghezza equivalente	3.77	3.77		(m)

I valori di  $N_c$ ,  $N_q$  e  $N_\gamma$  sono stati valutati con le espressioni suggerite da Vesic (1975)

$N_q = \text{tg}^2(45 + \phi'/2)*e^{(\pi*\text{tg}(\phi'))}$	(1 in cond. nd)	9.60			(-)
$N_c = (N_q - 1)/\text{tg}(\phi')$	(2+ $\pi$ in cond. nd)	19.32			(-)
$N_\gamma = 2*(N_q + 1)*\text{tg}(\phi')$	(0 in cond. nd)	9.44			(-)

I valori di  $i_c$ ,  $i_q$  e  $i_\gamma$  sono stati valutati con le espressioni suggerite da Vesic (1975)

$i_q = (1 - T/(N + B*c'*\text{cotg}\phi'))^m$	(1 in cond. nd)	0.65	0.65		(-)
$i_c = i_q - (1 - i_q)/(N_q - 1)$		0.61	0.61		(-)
$i_\gamma = (1 - T/(N + B*c'*\text{cotg}\phi'))^{m+1}$		0.53	0.53		(-)

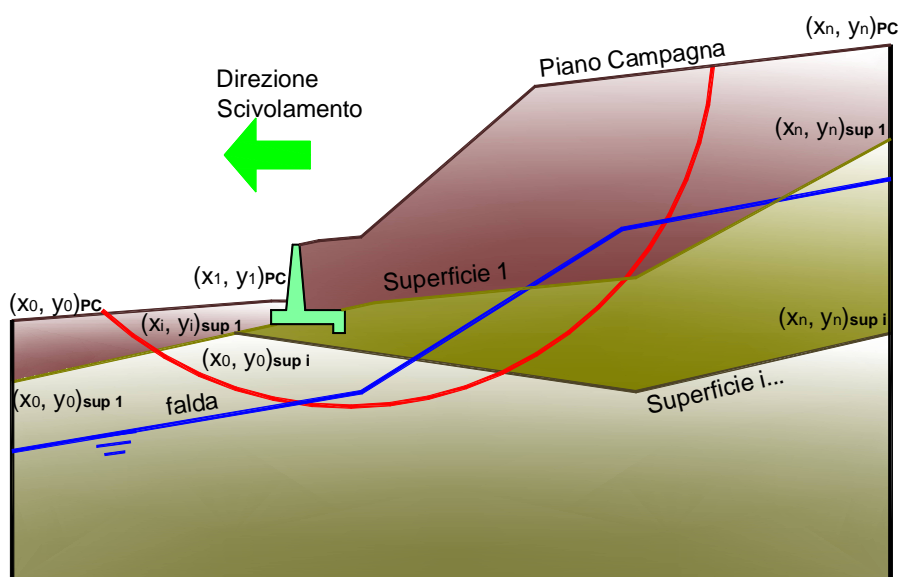
(fondazione nastriforme  $m = 2$ )

$q_{lim}$	(carico limite unitario)	505.01	505.01		(kN/m <sup>2</sup> )
-----------	--------------------------	--------	--------	--	----------------------

<b>FS carico limite</b>	<b><math>F = q_{lim}*B^*/N</math></b>	$N_{min}$	<b>5.56</b>	>	<b>1.2</b>
		$N_{max}$	<b>5.56</b>	>	

### 11.3.3 VERIFICA DI STABILITÀ GLOBALE – COND. DRENATE

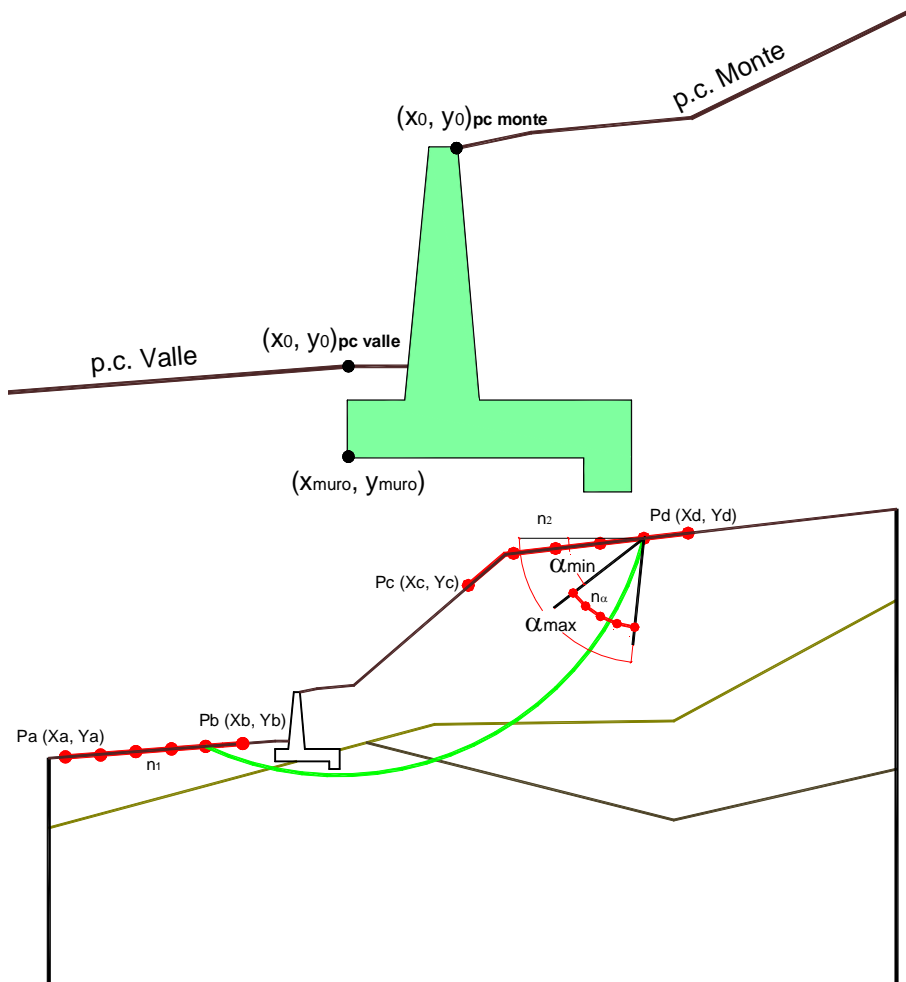
Le analisi di stabilità, di seguito riportate, sono state effettuate limitando la ricerca delle potenziali superfici di scorrimento critiche alla fascia più prossima alla linea stradale.



	$\gamma$ [kN/m <sup>3</sup> ]	$\phi$ [°]	$c$ [kPa]	Descrizione
<b>materiale 1</b>	21.00	24	0	Rilevato - riporto
<b>materiale 2</b>	21.00	24	18	Unità geotecnica 1 - GPQ
<b>materiale 3</b>				
<b>materiale 4</b>				

PT56: MURO DI CONTRORIPA MU96B  
RELAZIONE DI CALCOLO

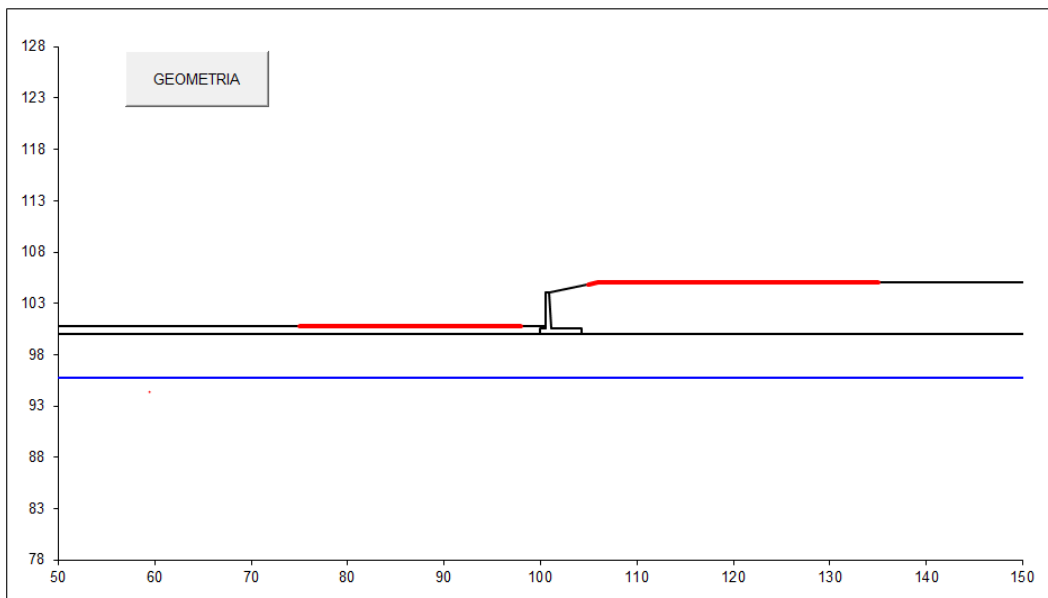
COMMESSA	LOTTO	CODIFICA	DOCUMENTO	REV.	FOGLIO
RS3T	30 D 78	CL	MU96B0 001	B	99 di 160



p.c. valle		p.c. monte		superficie 1		superficie 2		superficie 3		f.lda				
materiale 1				materiale 2		materiale 3		materiale 4		f.lda				
x	y	x	y	x	y	x	y	x	y	x	y			
0	100.000	100.800	0	100.900	104.050	0	50.000	100.000	0			0	50.000	95.800
1	50.000	100.800	1	105.900	105.050	1	150.000	100.000	1			1	150.000	95.800
2			2	150.000	105.050	2			2			2		
3			3			3			3			3		
4			4			4			4			4		
5			5			5			5			5		
6			6			6			6			6		
7			7			7			7			7		
8			8			8			8			8		
9			9			9			9			9		
10			10			10			10			10		

**Sovraccarichi**

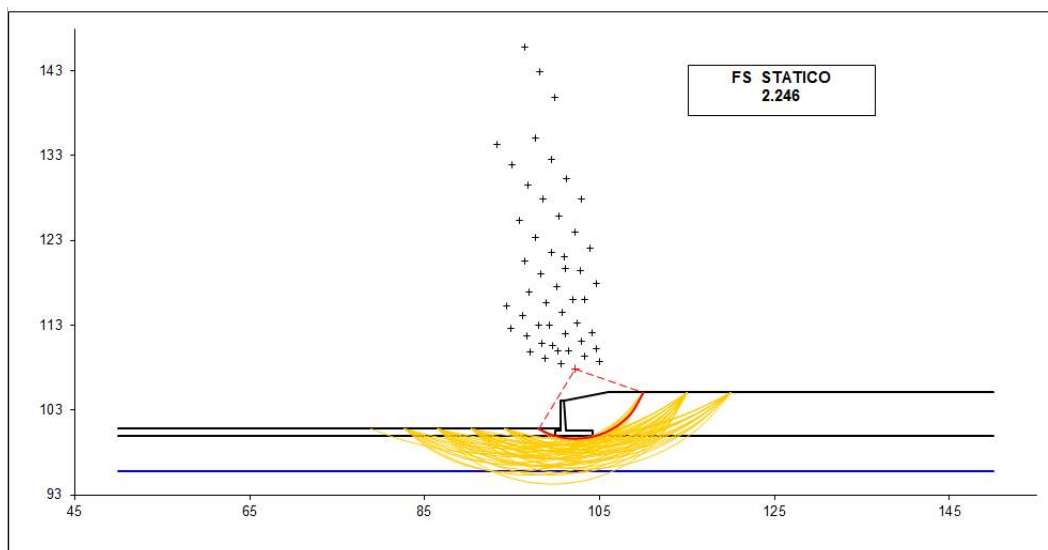
	$x_{in}$	$q_{in}$	$x_{fin}$	$q_{fin}$	% sisma	
sovraccarico 1	<input checked="" type="checkbox"/>	103.900	0	106.500	0	20%
sovraccarico 2	<input type="checkbox"/>					



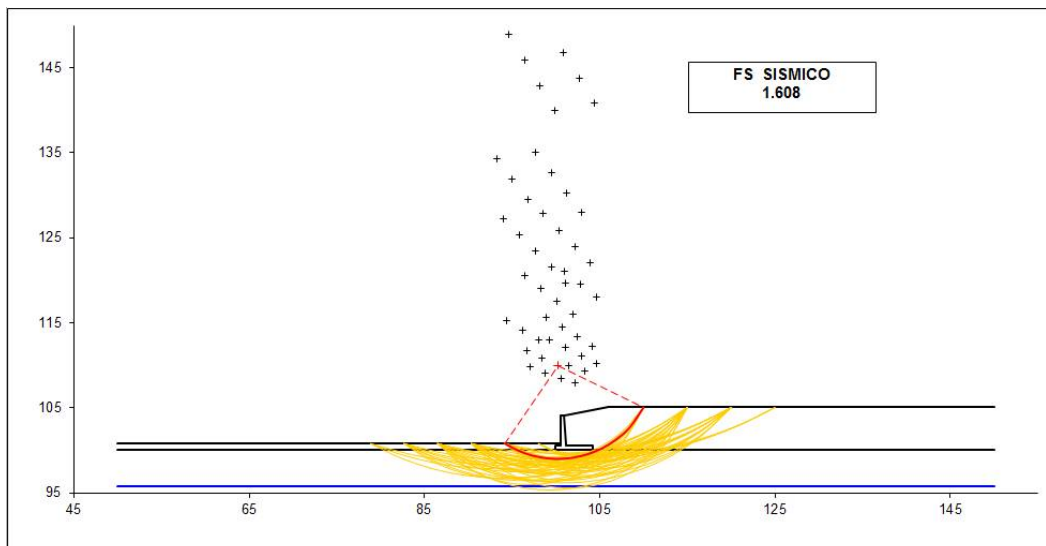
#strisce
30

# Superfici Calcolate	FS Bishop	
	205	STATICO
	SISMICO	1.608

### Condizioni statiche



## Condizioni sismiche



 <b>ITALFERR</b> GRUPPO FERROVIE DELLO STATO ITALIANE	DIRETTRICE FERROVIARIA MESSINA – CATANIA – PALERMO NUOVO COLLEGAMENTO PALERMO – CATANIA TRATTA VALLELUNGA – CALTANISSETTA XIRBI (LOTTO 3b) OPERE DI SOSTEGNO PIAZZALI – LOTTO 3B					
	PT56: MURO DI CONTRORIPA MU96B RELAZIONE DI CALCOLO	COMMESSA RS3T	LOTTO 30 D 78	CODIFICA CL	DOCUMENTO MU96B0 001	REV. B

### 11.3.4 VERIFICA STATICA A RIBALTAMENTO, SCORRIMENTO E CARICO LIMITE VERTICALE - C. NON DRENATE

#### VERIFICA ALLO SCORRIMENTO (STR/GEO)

Risultante forze verticali (N)				
$N = P_m + P_t + v + St_v + Sq_v \text{ perm} + Sq_v \text{ acc}$		354.33	(kN/m)	
Risultante forze orizzontali (T)				
$T = S_{th} + S_{qh} + f$		91.20	(kN/m)	
Coefficiente di attrito alla base (f)				
$f = \text{tg}\phi_1'$		0.45	(-)	
<b>Fs scorr.</b>	<b><math>(N \cdot f + S_p) / T</math></b>	<b>1.73</b>	<b>&gt;</b>	<b>1.1</b>

#### VERIFICA AL RIBALTAMENTO

Momento stabilizzante (Ms)				
$M_s = M_m + M_t + M_{fext3}$		769.71	( kNm/m )	
Momento ribaltante (Mr)				
$M_r = M_{St} + M_{Sq} + M_{fext1} + M_{fext2} + M_{Sp}$		73.27	( kNm/m )	
<b>Fs ribaltamento</b>	<b>Ms / Mr</b>	<b>10.51</b>	<b>&gt;</b>	<b>1.15</b>

#### VERIFICA CARICO LIMITE DELLA FONDAZIONE (STR/GEO)

Risultante forze verticali (N)		Nmin	Nmax	
$N = P_m + P_t + v + St_v + Sq_v (+ \text{Sovr acc})$		354.33	354.33	(kN/m)
Risultante forze orizzontali (T)				
$T = S_{th} + S_{qh} + f - S_p$		91.20	91.20	(kN/m)
Risultante dei momenti rispetto al piede di valle (MM)				
$MM = \Sigma M$		696.44	696.44	( kNm/m )
Momento rispetto al baricentro della fondazione (M)				
$M = X_c \cdot N - MM$		47.65	47.65	( kNm/m )

### Formula Generale per il Calcolo del Carico Limite Unitario (Brinch-Hansen, 1970)

Fondazione Nastriforme

$$q_{lim} = c'N_c i_c + q_0 N_q i_q + 0,5 \gamma_1 B^* N_\gamma i_\gamma$$

cu	res. al taglio nd terreno di fondaz.	100.00			(kPa)
$\gamma_1$	peso unità di volume terreno fondaz.	21.00			(kN/m <sup>3</sup> )
$q_0 = \gamma d^* H_2'$	sovraccarico stabilizzante	15.20			(kN/m <sup>2</sup> )
$e = M / N$	eccentricità	0.13	0.13		(m)
$B^* = B - 2e$	larghezza equivalente	3.93	3.93		(m)

I valori di  $N_c$ ,  $N_q$  e  $N_\gamma$  sono stati valutati con le espressioni suggerite da Vesic (1975)

$N_q = \text{tg}^2(45 + \varphi'/2) e^{(\pi \text{tg}(\varphi'))}$	(1 in cond. nd)	1.00			(-)
$N_c = (N_q - 1) / \text{tg}(\varphi')$	(2+ $\pi$ in cond. nd)	5.14			(-)
$N_\gamma = 2^*(N_q + 1) \text{tg}(\varphi')$	(0 in cond. nd)	0.00			(-)

I valori di  $i_c$ ,  $i_q$  e  $i_\gamma$  sono stati valutati con le espressioni suggerite da Vesic (1975)

$i_q = (1 - T / (N + B^* c' \cot \varphi'))^m$	(1 in cond. nd)	1.00	1.00		(-)
$i_c = (1 - m T / (B^* cu^* N_c))$		0.91	0.91		(-)
$i_\gamma = (1 - T / (N + B^* c' \cot \varphi'))^{m+1}$		--			(-)

(fondazione nastriforme  $m = 2$ )

$q_{lim}$	(carico limite unitario)	482.96	482.96		(kN/m <sup>2</sup> )
-----------	--------------------------	--------	--------	--	----------------------

<b>FS carico limite</b>	<b>F = <math>q_{lim} * B^* / N</math></b>	Nmin	<b>5.36</b>	>	<b>1.4</b>
		Nmax	<b>5.36</b>	>	

 <b>ITALFERR</b> GRUPPO FERROVIE DELLO STATO ITALIANE	DIRETTRICE FERROVIARIA MESSINA – CATANIA – PALERMO NUOVO COLLEGAMENTO PALERMO – CATANIA TRATTA VALLELUNGA – CALTANISSETTA XIRBI (LOTTO 3b) OPERE DI SOSTEGNO PIAZZALI – LOTTO 3B					
	PT56: MURO DI CONTRORIPA MU96B RELAZIONE DI CALCOLO	COMMESSA RS3T	LOTTO 30 D 78	CODIFICA CL	DOCUMENTO MU96B0 001	REV. B

### 11.3.5 VERIFICA SISMICA A RIBALTAMENTO, SCORRIMENTO E CARICO LIMITE VERTICALE - C. NON DRENATE

Condizione sismica +

#### VERIFICA ALLO SCORRIMENTO

Risultante forze verticali (N)				
$N = P_m + P_t + v_p + v_s + S_{st1v} + S_{sq1v} + P_s v + P_{tsv}$		361.57	(kN/m)	
Risultante forze orizzontali (T)				
$T = S_{st1h} + S_{sq1h} + f_p + f_s + P_s h + P_{tsh}$		99.01	(kN/m)	
Coefficiente di attrito alla base (f)				
$f = \operatorname{tg}\varphi_1'$		0.45	(-)	
<b><math>F_s = (N \cdot f + S_p) / T</math></b>		<b>1.63</b>	<b>&gt;</b>	<b>1</b>

#### VERIFICA AL RIBALTAMENTO

Momento stabilizzante (Ms)				
$M_s = M_m + M_t + M_{fext3}$		769.71	(kNm/m)	
Momento ribaltante (Mr)				
$M_r = M_{Sst} + M_{Ssq} + M_{fext1} + M_{fext2} + M_{Sp} + M_{Ps} + M_{pts}$		99.31	(kNm/m)	
<b><math>F_r = M_s / M_r</math></b>		<b>7.75</b>	<b>&gt;</b>	<b>1</b>

#### VERIFICA A CARICO LIMITE DELLA FONDAZIONE

Risultante forze verticali (N)		Nmin	Nmax	
$N = P_m + P_t + v_p + v_s + S_{st1v} + S_{sq1v} + P_s v + P_{tsv} + (Sovr\ acc)$		361.57	361.57	(kN/m)
Risultante forze orizzontali (T)				
$T = S_{st1h} + S_{sq1h} + f_p + f_s + P_s h + P_{tsh} - S_p$		99.01		(kN/m)
Risultante dei momenti rispetto al piede di valle (MM)				
$MM = \sum M$		684.99	684.99	(kNm/m)
Momento rispetto al baricentro della fondazione (M)				
$M = X_c \cdot N - MM$		74.32	74.32	(kNm/m)

### Formula Generale per il Calcolo del Carico Limite Unitario (Brinch-Hansen, 1970)

Fondazione Nastriforme

$$q_{lim} = c \cdot N_c \cdot i_c + q_0 \cdot N_q \cdot i_q + 0,5 \cdot \gamma_1 \cdot B^* \cdot N_\gamma \cdot i_\gamma$$

cu	res. al taglio nd terreno di fondaz.	100.00			(kN/mq)
$\gamma_1$	peso unità di volume terreno fondaz.	21.00			(kN/m <sup>3</sup> )
$q_0 = \gamma \cdot d \cdot H_2'$	sovraccarico stabilizzante	15.20			(kN/m <sup>2</sup> )
$e = M / N$	eccentricità	0.21	0.21		(m)
$B^* = B - 2e$	larghezza equivalente	3.79	3.79		(m)

I valori di  $N_c$ ,  $N_q$  e  $N_\gamma$  sono stati valutati con le espressioni suggerite da Vesic (1975)

$N_q = \text{tg}^2(45 + \varphi/2) \cdot e^{(\pi \cdot \text{tg}(\varphi))}$	(1 in cond. nd)	1.00			(-)
$N_c = (N_q - 1) / \text{tg}(\varphi)$	(2+ $\pi$ in cond. nd)	5.14			(-)
$N_\gamma = 2 \cdot (N_q + 1) \cdot \text{tg}(\varphi)$	(0 in cond. nd)	0.00			(-)

I valori di  $i_c$ ,  $i_q$  e  $i_\gamma$  sono stati valutati con le espressioni suggerite da Vesic (1975)

$i_q = (1 - T / (N + B^* \cdot c \cdot \cot \varphi))^m$	(1 in cond. nd)	1.00	1.00		(-)
$i_c = (1 - m \cdot T / (B^* \cdot c \cdot u \cdot N_c))$		0.90	0.90		(-)
$i_\gamma = (1 - T / (N + B^* \cdot c \cdot \cot \varphi))^{m+1}$		--			(-)

(fondazione nastriforme  $m = 2$ )

$q_{lim}$	(carico limite unitario)	477.10	477.10		(kN/m <sup>2</sup> )
-----------	--------------------------	--------	--------	--	----------------------

<b>FS carico limite</b>	<b>F = <math>q_{lim} \cdot B^* / N</math></b>	Nmin	<b>5.00</b>	>	<b>1.2</b>
		Nmax	<b>5.00</b>	>	

 <b>ITALFERR</b> GRUPPO FERROVIE DELLO STATO ITALIANE	DIRETTRICE FERROVIARIA MESSINA – CATANIA – PALERMO NUOVO COLLEGAMENTO PALERMO – CATANIA TRATTA VALLELUNGA – CALTANISSETTA XIRBI (LOTTO 3b) OPERE DI SOSTEGNO PIAZZALI – LOTTO 3B					
	PT56: MURO DI CONTRORIPA MU96B RELAZIONE DI CALCOLO	COMMESSA RS3T	LOTTO 30 D 78	CODIFICA CL	DOCUMENTO MU96B0 001	REV. B

Condizione sismica -

### VERIFICA ALLO SCORRIMENTO

Risultante forze verticali (N)					
$N = P_m + P_t + v_p + v_s + S_{st1v} + S_{sq1v} + P_s v + P_{t sv}$			342.78	(kN/m)	
Risultante forze orizzontali (T)					
$T = S_{st1h} + S_{sq1h} + f_p + f_s + P_s h + P_{t sh}$			95.25	(kN/m)	
Coefficiente di attrito alla base (f)					
$f = \operatorname{tg} \varphi_1'$			0.45	(-)	
<b><math>F_s = (N \cdot f + S_p) / T</math></b>			<b>1.60</b>	<b>&gt;</b>	<b>1</b>

### VERIFICA AL RIBALTAMENTO

Momento stabilizzante (Ms)					
$M_s = M_m + M_t + M_{fext3}$			769.71	(kNm/m)	
Momento ribaltante (Mr)					
$M_r = M_{Sst} + M_{Ssq} + M_{fext1} + M_{fext2} + M_{Sp} + M_{Ps} + M_{pts}$			157.44	(kNm/m)	
<b><math>F_r = M_s / M_r</math></b>			<b>4.89</b>	<b>&gt;</b>	<b>1</b>

### VERIFICA A CARICO LIMITE DELLA FONDAZIONE

Risultante forze verticali (N)			Nmin	Nmax	
$N = P_m + P_t + v_p + v_s + S_{st1v} + S_{sq1v} + P_s v + P_{t sv}$			342.78	342.78	(kN/m)
Risultante forze orizzontali (T)					
$T = S_{st1h} + S_{sq1h} + f_p + f_s + P_s h + P_{t sh} - S_p$			95.25		(kN/m)
Risultante dei momenti rispetto al piede di valle (MM)					
$MM = \sum M$			646.28	646.28	(kNm/m)
Momento rispetto al baricentro della fondazione (M)					
$M = X_c \cdot N - MM$			73.57	73.57	(kNm/m)

### Formula Generale per il Calcolo del Carico Limite Unitario (Brinch-Hansen, 1970)

Fondazione Nastriforme

$$q_{lim} = c \cdot N_c \cdot i_c + q_0 \cdot N_q \cdot i_q + 0,5 \cdot \gamma_1 \cdot B^* \cdot N_\gamma \cdot i_\gamma$$

cu	res. al taglio nd terreno di fondaz.	100.00			(kN/mq)
$\gamma_1$	peso unità di volume terreno fondaz.	21.00			(kN/m <sup>3</sup> )
$q_0 = \gamma \cdot d^* \cdot H_2'$	sovraccarico stabilizzante	15.20			(kN/m <sup>2</sup> )
$e = M / N$	eccentricità	0.21	0.21		(m)
$B^* = B - 2e$	larghezza equivalente	3.77	3.77		(m)

I valori di  $N_c$ ,  $N_q$  e  $N_\gamma$  sono stati valutati con le espressioni suggerite da Vesic (1975)

$N_q = \text{tg}^2(45 + \varphi/2) \cdot e^{(\pi \cdot \text{tg}(\varphi))}$	(1 in cond. nd)	1.00			(-)
$N_c = (N_q - 1) / \text{tg}(\varphi)$	(2+ $\pi$ in cond. nd)	5.14			(-)
$N_\gamma = 2 \cdot (N_q + 1) \cdot \text{tg}(\varphi)$	(0 in cond. nd)	0.00			(-)

I valori di  $i_c$ ,  $i_q$  e  $i_\gamma$  sono stati valutati con le espressioni suggerite da Vesic (1975)

$i_q = (1 - T / (N + B^* \cdot c' \cdot \cot \varphi'))^m$	(1 in cond. nd)	1.00	1.00		(-)
$i_c = (1 - m \cdot T / (B^* \cdot c_u \cdot N_c))$		0.90	0.90		(-)
$i_\gamma = (1 - T / (N + B^* \cdot c' \cdot \cot \varphi'))^{m+1}$		--			(-)

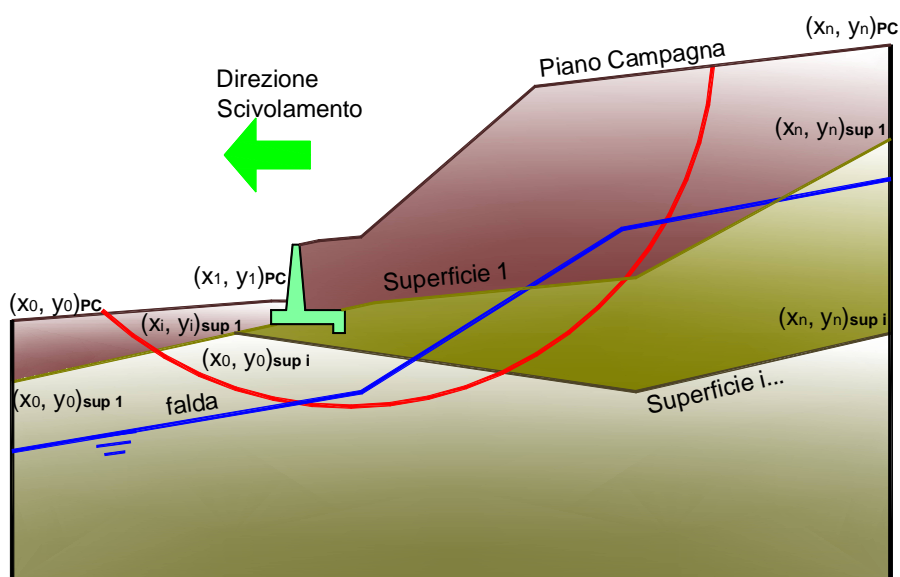
(fondazione nastriforme  $m = 2$ )

$q_{lim}$	(carico limite unitario)	478.84	478.84		(kN/m <sup>2</sup> )
-----------	--------------------------	--------	--------	--	----------------------

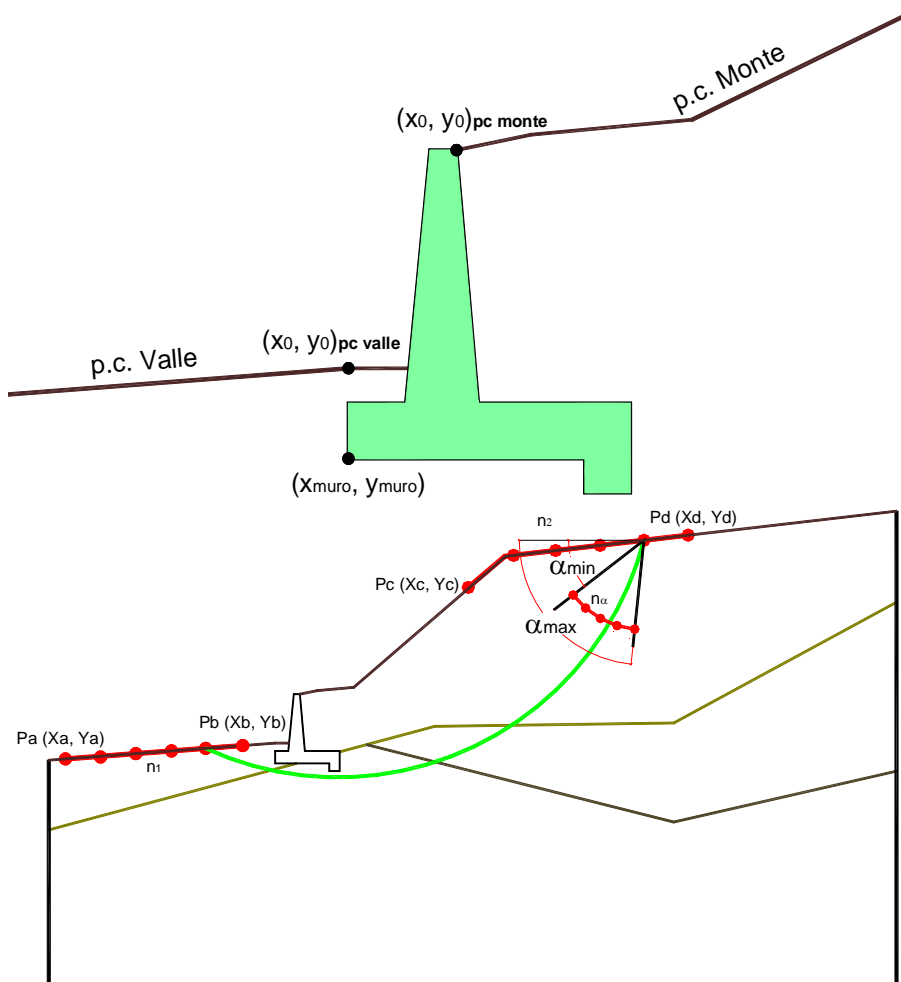
<b>FS carico limite</b>	<b>F = <math>q_{lim} \cdot B^* / N</math></b>	Nmin	<b>5.27</b>	>	<b>1.2</b>
		Nmax	<b>5.27</b>	>	

### 11.3.6 VERIFICA DI STABILITÀ GLOBALE – COND. NON DRENATE

Le analisi di stabilità, di seguito riportate, sono state effettuate limitando la ricerca delle potenziali superfici di scorrimento critiche alla fascia più prossima alla linea stradale.



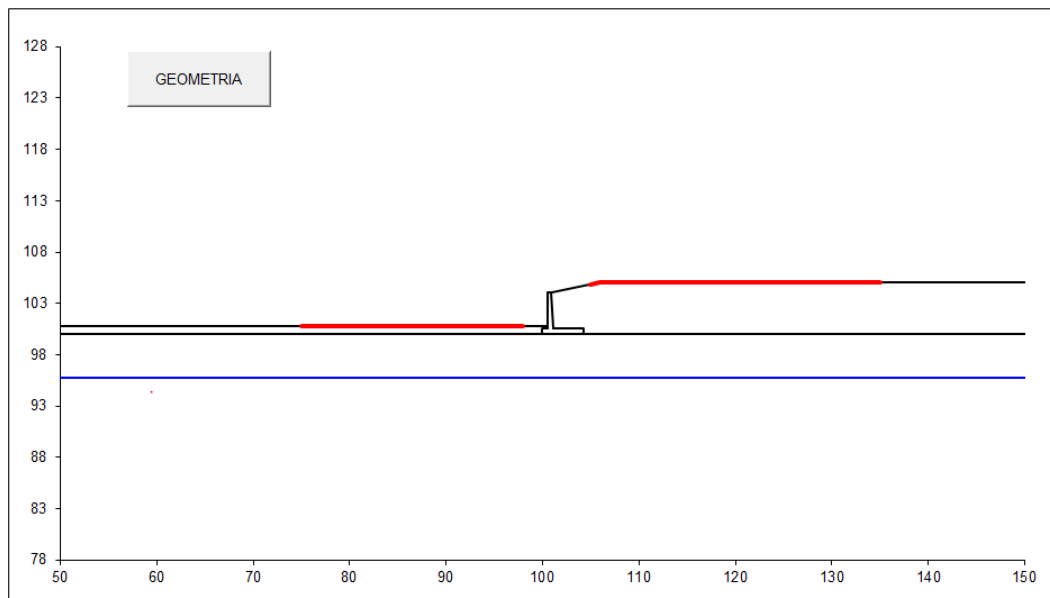
	$\gamma$ [kN/m <sup>3</sup> ]	$\phi$ [°]	$c$ [kPa]	Descrizione
<b>materiale 1</b>	21.00	24	0	Rilevato - riporto
<b>materiale 2</b>	21.00	24	100	Unità geotecnica 1 - GPQ
<b>materiale 3</b>				
<b>materiale 4</b>				



p.c. valle			p.c. monte			superficie 1		superficie 2		superficie 3		f.lda		
materiale 1						materiale 2		materiale 3		materiale 4				
x	y		x	y		x	y	x	y	x	y	x	y	
0	100.000	100.800	0	100.900	104.050	0	50.000	100.000	0			0	50.000	95.800
1	50.000	100.800	1	105.900	105.050	1	150.000	100.000	1			1	150.000	95.800
2			2	150.000	105.050	2			2			2		
3			3			3			3			3		
4			4			4			4			4		
5			5			5			5			5		
6			6			6			6			6		
7			7			7			7			7		
8			8			8			8			8		
9			9			9			9			9		
10			10			10			10			10		

**Sovraccarichi**

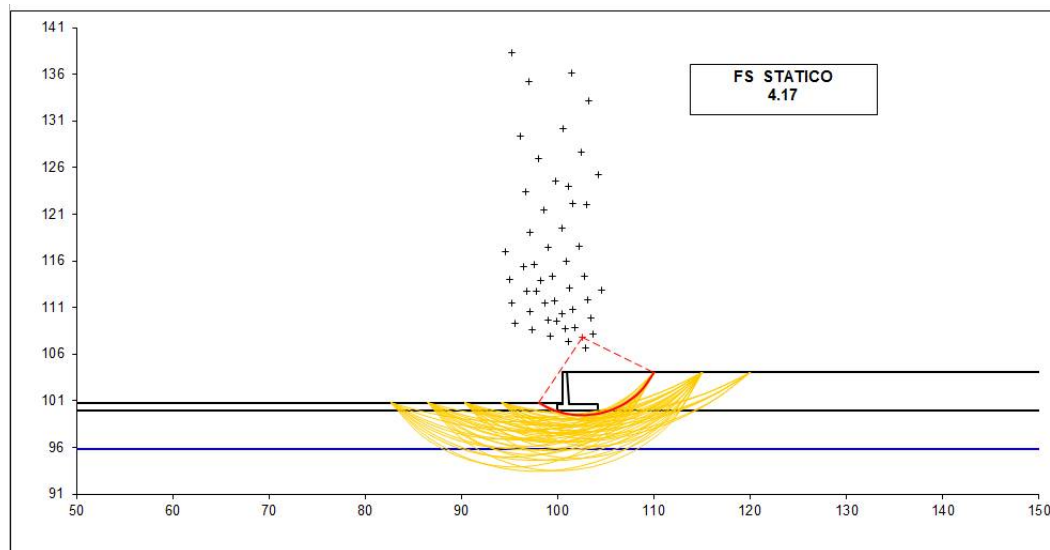
	<input type="checkbox"/>	$x_{in}$	$q_{in}$	$x_{fin}$	$q_{fin}$	% sisma
sovraccarico 1	<input checked="" type="checkbox"/>	103.900	0	106.500	0	20%
sovraccarico 2	<input type="checkbox"/>					



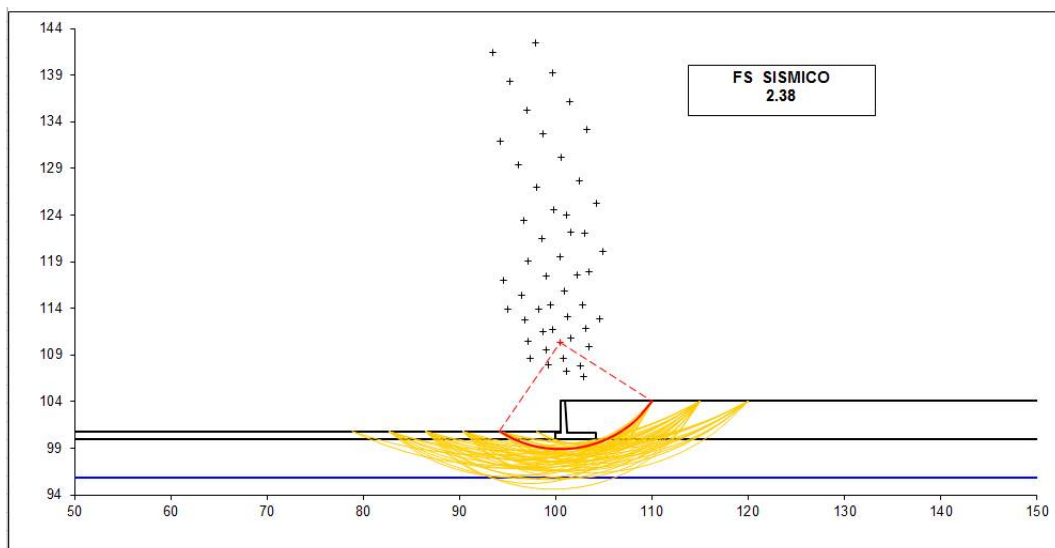
<b>#strisce</b>
<b>30</b>

<b># Superfici Calcolate</b>	<b>FS Bishop</b>	
	<b>STATICO</b>	<b>4.170</b>
<b>221</b>	<b>SISMICO</b>	<b>2.380</b>

### Condizioni statiche



## Condizioni sismiche



## 11.4 VERIFICHE STRUTTURALI

### 11.4.1 CALCOLO DELLE SOLLECITAZIONI

#### Reazione del terreno

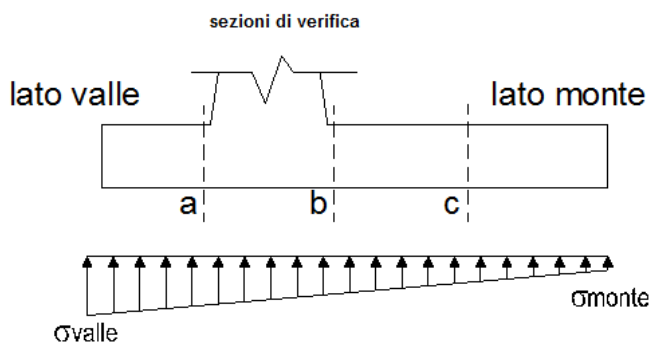
$$\sigma_{valle} = N / A + M / W_{gg}$$

$$\sigma_{monte} = N / A - M / W_{gg}$$

$$A = 1.0 \cdot B = 4.20 \quad (m^2)$$

$$W_{gg} = 1.0 \cdot B^2 / 6 = 2.94 \quad (m^3)$$

caso	N	M	$\sigma_{valle}$	$\sigma_{monte}$
	[kN]	[kNm]	[kN/m <sup>2</sup> ]	[kN/m <sup>2</sup> ]
statico	354.33	47.65	100.57	68.16
	354.33	47.65	100.57	68.16
sisma+	361.57	74.32	111.37	60.81
	361.57	74.32	111.37	60.81
sisma-	342.78	73.57	106.64	56.59
	342.78	73.57	106.64	56.59



#### Mensola Lato Valle

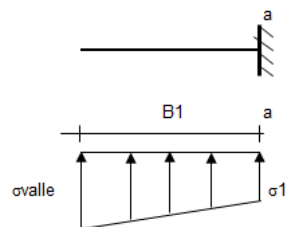
Peso Proprio.      PP = 15.00 (kN/m)

$$M_a = \sigma_1 \cdot B^2 / 2 + (\sigma_{valle} - \sigma_1) \cdot B^2 / 3 - PP \cdot B^2 / 2 \cdot (1 \pm kv)$$

$$V_a = \sigma_1 \cdot B + (\sigma_{valle} - \sigma_1) \cdot B / 2 - PP \cdot B \cdot (1 \pm kv)$$

caso	$\sigma_{valle}$	$\sigma_1$	$M_a$	$V_a$
	[kN/m <sup>2</sup> ]	[kN/m <sup>2</sup> ]	[kNm]	[kN]
statico	100.57	96.71	10.54	41.82
	100.57	96.71	10.54	41.82
sisma+	111.37	105.35	11.74	47.98
	111.37	105.35	11.80	47.98
sisma-	106.64	100.68	11.26	45.62
	106.64	100.68	11.21	45.62

Peso Proprio



#### Mensola Lato Monte

PP = 15.00 (kN/m<sup>2</sup>)

PD = 0.00 (kN/m)

peso proprio soletta fondazione

peso proprio dente

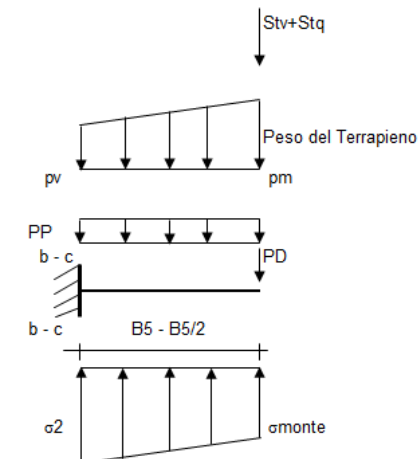
	Nmin	N max stat	N max sism	
pm	76.61	76.61	76.61	(kN/m <sup>2</sup> )
pvb	66.42	66.42	66.42	(kN/m <sup>2</sup> )
pvc	71.51	71.51	71.51	(kN/m <sup>2</sup> )

$$M_b = (\sigma_{monte} - (p_{vb} + PP)) \cdot (1 \pm kv) \cdot B^2 / 2 + (\sigma_2 - \sigma_{monte}) \cdot B^2 / 6 - (pm - p_{vb}) \cdot (1 \pm kv) \cdot B^2 / 3 + (Stv + Sqv) \cdot B^2 \cdot PD \cdot (1 \pm kv) \cdot (B_5 - Bd / 2) - PD \cdot kh \cdot (Hd + H2 / 2) + M_{sp} + Sp \cdot H2 / 2$$

$$M_c = (\sigma_{monte} - (p_{vc} + PP)) \cdot (1 \pm kv) \cdot (B_5 / 2)^2 / 2 + (\sigma_2 - \sigma_{monte}) \cdot (B_5 / 2)^2 / 6 - (pm - p_{vc}) \cdot (1 \pm kv) \cdot (B_5 / 2)^2 / 3 + (Stv + Sqv) \cdot (B_5 / 2) \cdot PD \cdot (1 \pm kv) \cdot (B_5 / 2 - Bd / 2) - PD \cdot kh \cdot (Hd + H2 / 2) + M_{sp} + Sp \cdot H2 / 2$$

$$V_b = (\sigma_{monte} - (p_{vb} + PP)) \cdot (1 \pm kv) \cdot B_5 + (\sigma_2 - \sigma_{monte}) \cdot B_5 / 2 - (pm - p_{vb}) \cdot (1 \pm kv) \cdot B_5 / 2 - (Stv + Sqv) \cdot PD \cdot (1 \pm kv)$$

$$V_c = (\sigma_{monte} - (p_{vc} + PP)) \cdot (1 \pm kv) \cdot (B_5 / 2) + (\sigma_2 - \sigma_{monte}) \cdot (B_5 / 2) / 2 - (pm - p_{vc}) \cdot (1 \pm kv) \cdot (B_5 / 2) / 2 - (Stv + Sqv) \cdot PD \cdot (1 \pm kv)$$



caso	$\sigma_{monte}$ [kN/m <sup>2</sup> ]	$\sigma_{2b}$ [kN/m <sup>2</sup> ]	Mb [kNm]	Vb [kN]	$\sigma_{2c}$ [kN/m <sup>2</sup> ]	Mc [kNm]	Vc [kN]
statico	68.16	91.62	-105.42	-36.22	79.89	-45.06	-40.10
	68.16	91.62	-105.42	-36.22	79.89	-45.06	-40.10
sisma+	60.81	97.40	-124.64	-43.90	79.11	-51.06	-46.96
	60.81	97.40	-124.64	-43.90	79.11	-51.06	-46.96
sisma-	56.59	92.82	-120.61	-42.38	74.70	-49.37	-45.52
	56.59	92.82	-120.61	-42.38	74.70	-49.37	-45.52

**CALCOLO SOLLECITAZIONI PARAMENTO VERTICALE DEL MURO**

**Azioni sulla parete e Sezioni di Calcolo**

$$M_{t \text{ stat}} = \frac{1}{2} K_{a_{orizz}} \cdot \gamma \cdot (1 \pm kv) \cdot h^2 \cdot h/3$$

$$M_{t \text{ sism}} = \frac{1}{2} \cdot \gamma \cdot (K_{a_{orizz}} \cdot (1 \pm kv) - K_{a_{orizz}}) \cdot h^2 \cdot h/2 \quad o \cdot h/3$$

$$M_q = \frac{1}{2} K_{a_{orizz}} \cdot q \cdot h^2$$

$$M_{ext} = m \cdot P \cdot h$$

$$M_{inerzia} = \Sigma P m_i \cdot b_i \cdot kh$$

$$N_{ext} = v$$

$$N_{pp+inerzia} = \Sigma P m_i \cdot (1 \pm kv)$$

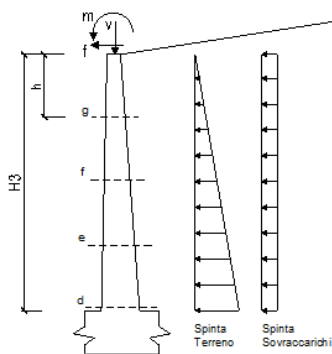
$$V_{t \text{ stat}} = \frac{1}{2} K_{a_{orizz}} \cdot \gamma \cdot (1 \pm kv) \cdot h^2$$

$$V_{t \text{ sism}} = \frac{1}{2} \cdot \gamma \cdot (K_{a_{orizz}} \cdot (1 \pm kv) - K_{a_{orizz}}) \cdot h^2$$

$$V_q = K_{a_{orizz}} \cdot q \cdot h$$

$$V_{ext} = f$$

$$V_{inerzia} = \Sigma P m_i \cdot kh$$



**condizione statica**

sezione	h [m]	Mt [kNm/m]	Mq [kNm/m]	M <sub>ext</sub> [kNm/m]	M <sub>tot</sub> [kNm/m]	N <sub>ext</sub> [kN/m]	N <sub>pp</sub> [kN/m]	N <sub>tot</sub> [kN/m]
d-d	3.45	58.19	0.00	0.00	58.19	3.50	45.71	49.21
e-e	2.59	24.55	0.00	0.00	24.55	3.50	32.18	35.68
f-f	1.73	7.27	0.00	0.00	7.27	3.50	20.05	23.55
g-g	0.86	0.91	0.00	0.00	0.91	3.50	9.33	12.83

sezione	h [m]	Vt [kN/m]	Vq [kN/m]	V <sub>ext</sub> [kN/m]	V <sub>tot</sub> [kN/m]
d-d	3.45	50.60	0.00	0.00	50.60
e-e	2.59	28.46	0.00	0.00	28.46
f-f	1.73	12.65	0.00	0.00	12.65
g-g	0.86	3.16	0.00	0.00	3.16

**condizione sismica +**

sezione	h [m]	M <sub>t stat</sub> [kNm/m]	M <sub>t sism</sub> [kNm/m]	Mq [kNm/m]	M <sub>ext</sub> [kNm/m]	M <sub>inerzia</sub> [kNm/m]	M <sub>tot</sub> [kNm/m]	N <sub>ext</sub> [kN/m]	N <sub>pp+inerzia</sub> [kN/m]	N <sub>tot</sub> [kN/m]
d-d	3.45	44.76	6.95	0.00	0.00	3.92	55.63	3.50	46.95	50.45
e-e	2.59	18.88	2.93	0.00	0.00	2.11	23.92	3.50	33.05	36.55
f-f	1.73	5.59	0.87	0.00	0.00	0.89	7.36	3.50	20.60	24.10
g-g	0.86	0.70	0.11	0.00	0.00	0.21	1.02	3.50	9.58	13.08

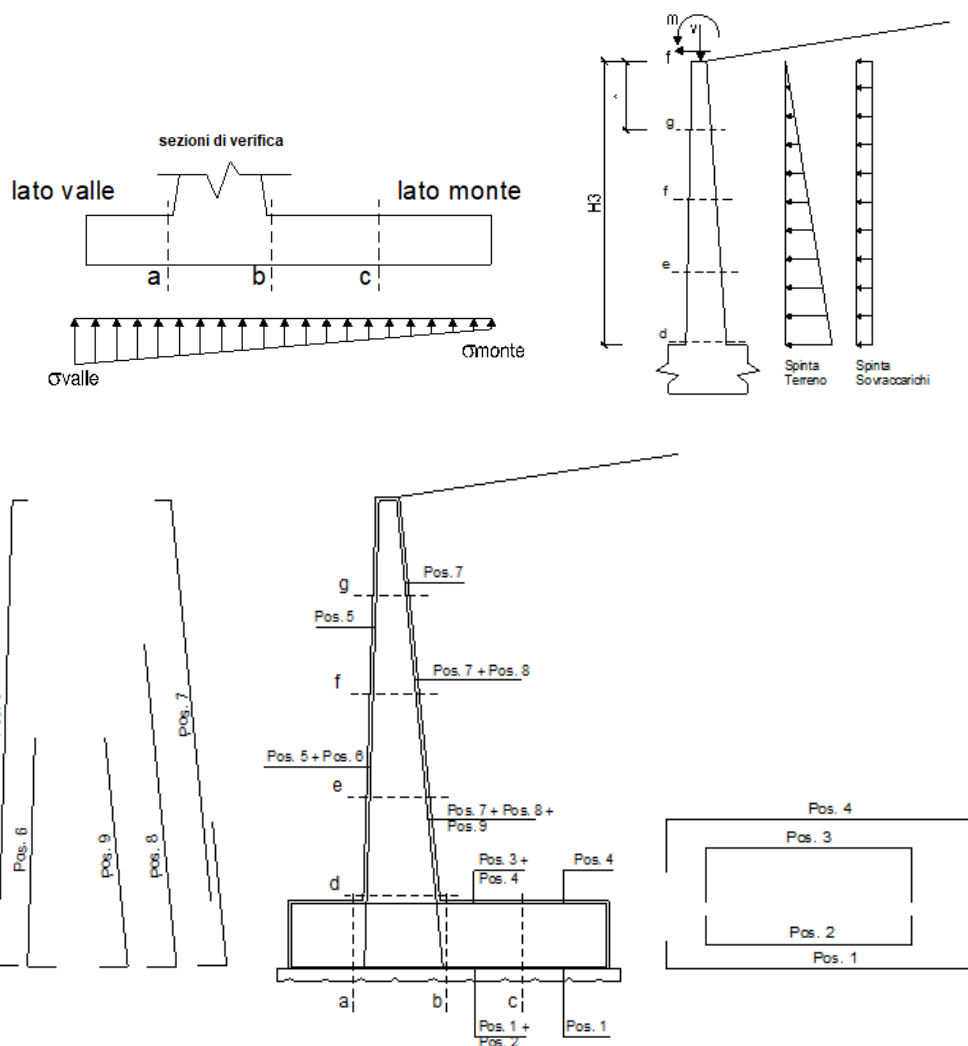
sezione	h [m]	V <sub>t stat</sub> [kN/m]	V <sub>t sism</sub> [kN/m]	Vq [kN/m]	V <sub>ext</sub> [kN/m]	V <sub>inerzia</sub> [kN/m]	V <sub>tot</sub> [kN/m]
d-d	3.45	38.92	6.04	0.00	0.00	2.48	47.44
e-e	2.59	21.89	3.40	0.00	0.00	1.74	27.04
f-f	1.73	9.73	1.51	0.00	0.00	1.09	12.33
g-g	0.86	2.43	0.38	0.00	0.00	0.50	3.32

**condizione sismica -**

sezione	h [m]	M <sub>t stat</sub> [kNm/m]	M <sub>t sism</sub> [kNm/m]	Mq [kNm/m]	M <sub>ext</sub> [kNm/m]	M <sub>inerzia</sub> [kNm/m]	M <sub>tot</sub> [kNm/m]	N <sub>ext</sub> [kN/m]	N <sub>pp+inerzia</sub> [kN/m]	N <sub>tot</sub> [kN/m]
d-d	3.45	44.76	4.51	0.00	0.00	3.92	53.19	3.50	44.47	47.97
e-e	2.59	18.88	1.90	0.00	0.00	2.11	22.89	3.50	31.31	34.81
f-f	1.73	5.59	0.56	0.00	0.00	0.89	7.05	3.50	19.51	23.01
g-g	0.86	0.70	0.07	0.00	0.00	0.21	0.98	3.50	9.07	12.57

sezione	h [m]	V <sub>t stat</sub> [kN/m]	V <sub>t sism</sub> [kN/m]	Vq [kN/m]	V <sub>ext</sub> [kN/m]	V <sub>inerzia</sub> [kN/m]	V <sub>tot</sub> [kN/m]
d-d	3.45	38.92	3.93	0.00	0.00	2.48	45.32
e-e	2.59	21.89	2.21	0.00	0.00	1.74	25.84
f-f	1.73	9.73	0.98	0.00	0.00	1.09	11.80
g-g	0.86	2.43	0.25	0.00	0.00	0.50	3.18

### 11.4.2 VERIFICHE SLU



#### Armatura minima

L'armatura minima principale in fondazione deve essere in percentuale non inferiore allo 0.20% dell'area di conglomerato.

L'armatura minima principale presente in zona tesa deve essere in percentuale non inferiore allo 0.15% dell'area di conglomerato per l'intera lunghezza.

L'armatura secondaria, ortogonale a quella principale, deve essere pari al massimo delle seguenti percentuali:

- 0.10% dell'area di conglomerato in entrambi i lembi;
- 20% dell'armatura principale.

Muro  $h = 3,45m$  su fondazione diretta

**ARMATURE**

pos	n°/ml	$\phi$	II strato	pos	n°/ml	$\phi$	II strato
1	10.0	16		5	10.0	16	
2	0.0	0	<input type="checkbox"/>	6	0.0	0	<input type="checkbox"/>
3	0.0	0	<input type="checkbox"/>	7	10.0	20	
4	10.0	20		8	0.0	0	<input type="checkbox"/>
				9	0.0	0	<input type="checkbox"/>

Pertanto l'armatura secondaria sarà pari a:

sez a – a:  $\phi 10/20cm$  (ripartitori in fondazione e in elevazione);

sez b – b:  $\phi 10/20cm$  (ripartitori in fondazione);

sez c – c:  $\phi 10/20cm$  (ripartitori in fondazione);

sez d – d:  $\phi 10/20cm$  (ripartitori in fondazione);

sez e – e:  $\phi 10/20cm$  (ripartitori in fondazione);

sez f – f:  $\phi 10/20cm$  (ripartitori in fondazione);

sez g – g:  $\phi 10/20cm$  (ripartitori in fondazione);

Sez.	M	N	h	Af	A'f	Mu
(-)	(kNm)	(kN)	(m)	(cm <sup>2</sup> )	(cm <sup>2</sup> )	(kNm)
a - a	11.80	0.00	0.60	20.11	31.42	391.87
b - b	-124.64	0.00	0.60	31.42	20.11	588.54
c - c	-51.06	0.00	0.60	31.42	20.11	588.54
d - d	58.19	49.21	0.66	31.42	20.11	674.74
e - e	24.55	35.68	0.60	31.42	20.11	590.26
f - f	7.36	24.10	0.53	31.42	20.11	507.02
g - g	1.02	13.08	0.47	31.42	20.11	424.62

(n.b.: M+ tende le fibre di intradosso, M- tende le fibre di estradosso)

Sez.	V <sub>Ed</sub>	h	V <sub>rd</sub>	$\sigma$ staffe	i orizz.	i vert.	$\theta$	V <sub>Rsd</sub>	
(-)	(kN)	(m)	(kN)	(mm)	(cm)	(cm)	(°)	(kN)	
a - a	47.98	0.60	233.83	10	20	20	21.8	898.94	Armatura a taglio non necessaria
b - b	43.90	0.60	271.34	10	20	20	21.8	898.94	Armatura a taglio non necessaria
c - c	46.96	0.60	271.34	10	20	20	21.8	898.94	Armatura a taglio non necessaria
d - d	50.60	0.66	292.38	10	20	20	21.8	1002.66	Armatura a taglio non necessaria
e - e	28.46	0.60	274.73	10	20	20	21.8	890.30	Armatura a taglio non necessaria
f - f	12.65	0.53	256.55	10	20	20	21.8	777.93	Armatura a taglio non necessaria
g - g	3.32	0.47	237.48	10	20	20	21.8	665.56	Armatura a taglio non necessaria

### 11.4.3 VERIFICHE SLE TENSIONE

#### Condizione Statica

Sez.	M	N	h	Af	A'f	$\sigma_c$	$\sigma_f$
(-)	(kNm)	(kN)	(m)	(cm <sup>2</sup> )	(cm <sup>2</sup> )	(N/mm <sup>2</sup> )	(N/mm <sup>2</sup> )
a - a	9.46	0.00	0.60	20.11	31.42	0.23	10.07
b - b	-78.13	0.00	0.60	31.42	20.11	1.71	54.02
c - c	-33.07	0.00	0.60	31.42	20.11	0.72	22.86
d - d	44.76	49.21	0.66	31.42	20.11	0.86	20.35
e - e	18.88	35.68	0.60	31.42	20.11	0.45	8.06
f - f	5.59	23.55	0.53	31.42	20.11	0.17	1.41
g - g	0.70	12.83	0.47	31.42	20.11	0.04	-

sez. compressa

#### Condizione Sismica

Sez.	M	N	h	Af	A'f	$\sigma_c$	$\sigma_f$
(-)	(kNm)	(kN)	(m)	(cm <sup>2</sup> )	(cm <sup>2</sup> )	(N/mm <sup>2</sup> )	(N/mm <sup>2</sup> )
a - a	11.74	0.00	0.60	20.11	31.42	0.29	12.50
b - b	-124.64	0.00	0.60	31.42	20.11	2.72	86.17
c - c	-51.06	0.00	0.60	31.42	20.11	1.12	35.30
d - d	55.63	47.97	0.66	31.42	20.11	1.06	27.15
e - e	23.92	34.81	0.60	31.42	20.11	0.56	11.61
f - f	7.36	23.01	0.53	31.42	20.11	0.22	2.72
g - g	1.02	12.57	0.47	31.42	20.11	0.05	-0.11

(n.b.: M+ tende le fibre di intradosso, M- tende le fibre di estradosso)

#### 11.4.4 VERIFICHE SLE FESSURAZIONE

##### condizione Frequente

Sez.	M	N	h	Af	A'f	$\sigma_c$	$\sigma_f$	wk	w <sub>amm</sub>
(-)	(kNm)	(kN)	(m)	(cm <sup>2</sup> )	(cm <sup>2</sup> )	(N/mm <sup>2</sup> )	(N/mm <sup>2</sup> )	(mm)	(mm)
a - a	9.46	0.00	0.60	20.11	31.42	0.23	10.07	0.013	0.200
b - b	-78.13	0.00	0.60	31.42	20.11	1.71	54.02	0.061	0.200
c - c	-33.07	0.00	0.60	31.42	20.11	0.72	22.86	0.026	0.200
d - d	44.76	49.21	0.66	31.42	20.11	0.86	20.35	0.023	0.200
e - e	18.88	35.68	0.60	31.42	20.11	0.45	8.06	0.008	0.200
f - f	5.59	23.55	0.53	31.42	20.11	0.17	1.41	0.001	0.200
g - g	0.70	12.83	0.47	31.42	20.11	0.00	-	-	0.200

sez. compressa

(n.b.: M+ tende le fibre di intradosso, M- tende le fibre di estradosso)

##### condizione Quasi Permanente

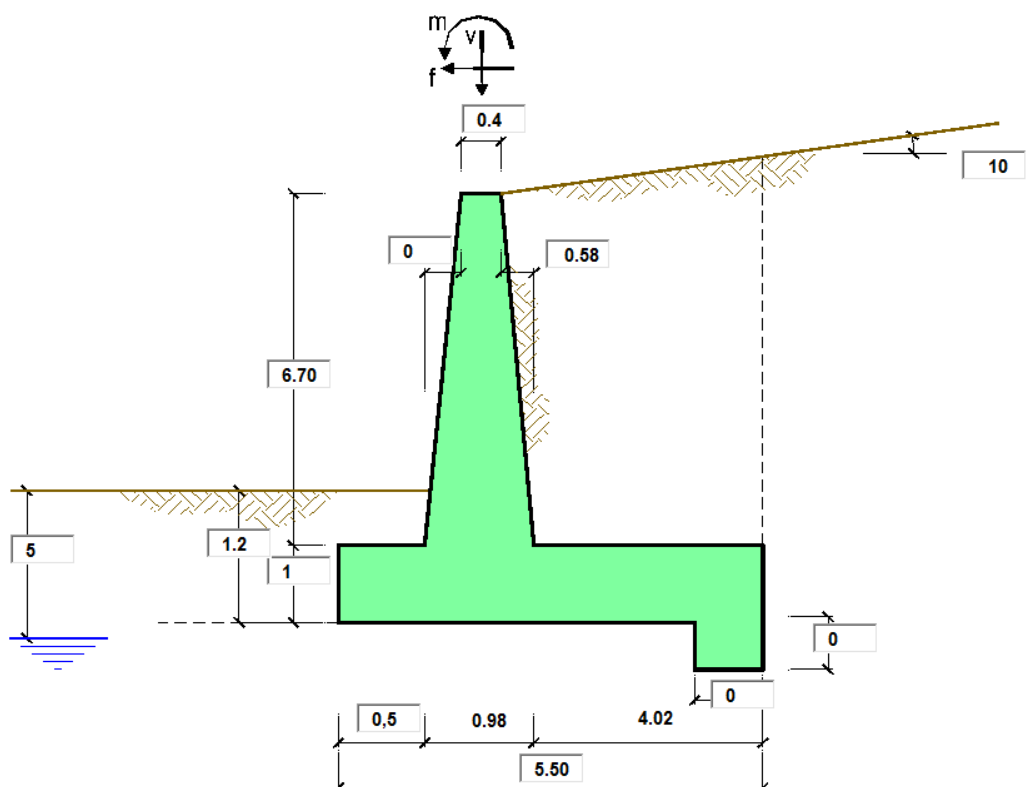
Sez.	M	N	h	Af	A'f	$\sigma_c$	$\sigma_f$	wk	w <sub>amm</sub>
(-)	(kNm)	(kN)	(m)	(cm <sup>2</sup> )	(cm <sup>2</sup> )	(N/mm <sup>2</sup> )	(N/mm <sup>2</sup> )	(mm)	(mm)
a - a	9.46	0.00	0.60	20.11	31.42	0.23	10.07	0.013	0.200
b - b	-78.13	0.00	0.60	31.42	20.11	1.71	54.02	0.061	0.200
c - c	-33.07	0.00	0.60	31.42	20.11	0.72	22.86	0.026	0.200
d - d	44.76	49.21	0.66	31.42	20.11	0.86	20.35	0.023	0.200
e - e	18.88	35.68	0.60	31.42	20.11	0.45	8.06	0.008	0.200
f - f	5.59	23.55	0.53	31.42	20.11	0.17	1.41	0.001	0.200
g - g	0.70	12.83	0.47	31.42	20.11	0.00	-	-	0.200

sez. compressa

(n.b.: M+ tende le fibre di intradosso, M- tende le fibre di estradosso)

## 12. PROGETTO E VERIFICA DEL MURO DI CONTRORIPA “TIPO 2”

### 12.1 DATI DI INPUT



#### Geometria del Muro

Elevazione	H3 =	6.70	(m)
Aggetto Valle	B2 =	0.00	(m)
Spessore del Muro in Testa	B3 =	0.40	(m)
Aggetto monte	B4 =	0.58	(m)

#### Geometria della Fondazione

Larghezza Fondazione	B =	5.50	(m)
Spessore Fondazione	H2 =	1.00	(m)
Suola Lato Valle	B1 =	0.50	(m)
Suola Lato Monte	B5 =	4.02	(m)
Altezza dente	Hd =	0.00	(m)
Larghezza dente	Bd =	0.00	(m)
Mezzeria Sezione	Xc =	2.75	(m)

Peso Specifico del Calcestruzzo	$\gamma_{cls}$ =	25.00	(kN/m <sup>3</sup> )
---------------------------------	------------------	-------	----------------------

*Dati geotecnici e carichi agenti – Condizione statica e sismica*

<b>Dati Geotecnici</b>			valori caratteristici		valori di progetto	
			SLE		STR/GEO	EQU
Dati Terrapieno	Angolo di attrito del terrapieno	(°)	$\varphi'$	30.00	30.00	30.00
	Peso Unità di Volume del terrapieno	(kN/m <sup>3</sup> )	$\gamma'$	19.00	19.00	19.00
	Angolo di attrito terreno-superficie ideale	(°)	$\delta$	10.00	10.00	10.00
Dati Terreno Fondazione	Condizioni		<input checked="" type="radio"/> drenate <input type="radio"/> Non Drenate			
	Coesione Terreno di Fondazione	(kPa)	$c1'$	18.00	18.00	18.00
	Angolo di attrito del Terreno di Fondazione	(°)	$\varphi1'$	24.00	24.00	24.00
	Peso Unità di Volume del Terreno di Fondazione	(kN/m <sup>3</sup> )	$\gamma1$	21.00	21.00	21.00
	Peso Unità di Volume del Rinterro della Fondazione	(kN/m <sup>3</sup> )	$\gamma d$	19.00	19.00	19.00
	Profondità "Significativa" (n.b.: consigliata H = 2*B)	(m)	Hs	11.00		
	Modulo di deformazione	(kN/m <sup>2</sup> )	E	5000		

Dati Sismici	Accelerazione sismica	$a_g/g$	0.095	(-)	
	Coefficiente Amplificazione Stratigrafico	$S_s$	1.5	(-)	
	Coefficiente Amplificazione Topografico	$S_T$	1	(-)	
	Coefficiente di riduzione dell'accelerazione massima	$\beta_s$	0.38	(-)	
	Coefficiente sismico orizzontale	kh	0.05415	(-)	
	Coefficiente sismico verticale	kv	0.0271	(-)	
Muro libero di traslare o ruotare			<input checked="" type="radio"/> si <input type="radio"/> no		

			STR/GEO	RIB
Coefficienti di Spinta	Coeff. di Spinta Attiva Statico	ka	0.350	0.350
	Coeff. Di Spinta Attiva Sismica sisma +	kas+	0.392	0.415
	Coeff. Di Spinta Attiva Sismica sisma -	kas-	0.395	0.422
	Coeff. Di Spinta Passiva	kp	2.371	2.371
	Coeff. Di Spinta Passiva Sismica sisma +	kps+	2.288	2.247
	Coeff. Di Spinta Passiva Sismica sisma -	kps-	2.283	2.236

<b>Carichi Agenti</b>			valori caratteristici		valori di progetto	
			SLE - sisma		STR/GEO	EQU
Carichi permanenti	Sovraccarico permanente	(kN/m <sup>2</sup> )	qp	0.00	0.00	0.00
	Sovraccarico su zattera di monte <input type="radio"/> si <input checked="" type="radio"/> no					
	Forza Orizzontale in Testa permanente	(kN/m)	fp	0.00	0.00	0.00
	Forza Verticale in Testa permanente	(kN/m)	vp	3.50	3.50	3.50
Condizioni Statiche	Momento in Testa permanente	(kNm/m)	mp	0.00	0.00	0.00
	Sovraccarico Accidentale in condizioni statiche	(kN/m <sup>2</sup> )	q	0.00	0.00	0.00
	Forza Orizzontale in Testa accidentale in condizioni statiche	(kN/m)	f	0.00	0.00	0.00
	Forza Verticale in Testa accidentale in condizioni statiche	(kN/m)	v	0.00	0.00	0.00
	Momento in Testa accidentale in condizioni statiche	(kNm/m)	m	0.00	0.00	0.00
Condizioni Sismiche	Coefficienti di combinazione condizione frequente $\Psi1$		1.00	condizione quasi permanente $\Psi2$		0.00
	Sovraccarico Accidentale in condizioni sismiche	(kN/m <sup>2</sup> )	qs	0.00		
	Forza Orizzontale in Testa accidentale in condizioni sismiche	(kN/m)	fs	0.00		
	Forza Verticale in Testa accidentale in condizioni sismiche	(kN/m)	vs	0.00		
	Momento in Testa accidentale in condizioni sismiche	(kNm/m)	ms	0.00		

PT56: MURO DI CONTRORIPA MU96B  
RELAZIONE DI CALCOLO

COMMESSA	LOTTO	CODIFICA	DOCUMENTO	REV.	FOGLIO
RS3T	30 D 78	CL	MU96B0 001	B	120 di 160

### CARATTERISTICHE DEI MATERIALI STRUTTURALI

#### Calcestruzzo

classe cls	C32/40		
Rck	40	(MPa)	
fck	32	(MPa)	
fc <sub>m</sub>	40	(MPa)	
E <sub>c</sub>	33346	(MPa)	
α <sub>cc</sub>	0.85		
γ <sub>c</sub>	1.50		
$f_{cd} = \alpha_{cc} \cdot f_{ck} / \gamma_c$	18.13	(MPa)	
$f_{ctm} = 0.30 \cdot f_{ck}^{2/3}$	3.02	(MPa)	

#### Tensioni limite (tensioni ammissibili)

##### condizioni statiche

σ <sub>c</sub>	19.2	Mpa
σ <sub>f</sub>	360	Mpa

##### condizioni sismiche

σ <sub>c</sub>	19.2	Mpa
σ <sub>f</sub>	360	Mpa

#### Valore limite di apertura delle fessure

Frequente	w1	0.2	mm
Quasi Permanente	w1	0.2	mm

#### Acciaio

tipo di acciaio	B450C		
f <sub>yk</sub> =	450	(MPa)	
γ <sub>s</sub> =	1.15		
$f_{yd} = f_{yk} / \gamma_s / \gamma_E$ =	391.30	(MPa)	
E <sub>s</sub> =	210000	(MPa)	
ε <sub>ys</sub> =	0.19%		

coefficiente omogeneizzazione acciaio n = 15

#### Copriferro (distanza asse armatura-bordo)

c = 8.60 (cm)

#### Copriferro minimo di normativa (ricoprimento armatura)

c<sub>min</sub> = 5.00 (cm)

#### Interfero tra I e II strato

i<sub>I-II</sub> = 5.00 (cm)

## 12.2 CALCOLO DELLE AZIONI

### 12.2.1 FORZE VERTICALI E INERZIALI

#### FORZE VERTICALI

##### - Peso del Muro (Pm)

			SLE	STR/GEO	EQU/RIB
Pm1 =	$(B2 \cdot H3 \cdot \gamma_{cls})/2$	(kN/m)	0.00	0.00	0.00
Pm2 =	$(B3 \cdot H3 \cdot \gamma_{cls})$	(kN/m)	67.00	67.00	67.00
Pm3 =	$(B4 \cdot H3 \cdot \gamma_{cls})/2$	(kN/m)	48.58	48.58	48.58
Pm4 =	$(B \cdot H2 \cdot \gamma_{cls})$	(kN/m)	137.50	137.50	137.50
Pm5 =	$(Bd \cdot Hd \cdot \gamma_{cls})$	(kN/m)	0.00	0.00	0.00
Pm =	$Pm1 + Pm2 + Pm3 + Pm4 + Pm5$	(kN/m)	253.08	253.08	253.08

##### - Peso del terreno e sovr. perm. sulla scarpa di monte del muro (Pt)

Pt1 =	$(B5 \cdot H3 \cdot \gamma)$	(kN/m)	511.75	511.75	511.75
Pt2 =	$(0,5 \cdot (B4 + B5) \cdot H4 \cdot \gamma)$	(kN/m)	35.45	35.45	35.45
Pt3 =	$(B4 \cdot H3 \cdot \gamma)/2$	(kN/m)	36.92	36.92	36.92
Sovr =	$qp \cdot (B4 + B5)$	(kN/m)	0.00	0.00	0.00
Pt =	$Pt1 + Pt2 + Pt3 + Sovr$	(kN/m)	584.11	584.11	584.11

##### - Sovraccarico accidentale sulla scarpa di monte del muro

Sovr acc. Stat	$q \cdot (B4 + B5)$	(kN/m)	0	0	
Sovr acc. Sism	$qs \cdot (B4 + B5)$	(kN/m)	0		

#### MOMENTI DELLE FORZE VERT. RISPETTO AL PIEDE DI VALLE DEL MURO

##### - Muro (Mm)

			SLE	STR/GEO	EQU/RIB
Mm1 =	$Pm1 \cdot (B1 + 2/3 \cdot B2)$	(kNm/m)	0.00	0.00	0.00
Mm2 =	$Pm2 \cdot (B1 + B2 + 0,5 \cdot B3)$	(kNm/m)	46.90	46.90	46.90
Mm3 =	$Pm3 \cdot (B1 + B2 + B3 + 1/3 \cdot B4)$	(kNm/m)	53.11	53.11	53.11
Mm4 =	$Pm4 \cdot (B/2)$	(kNm/m)	378.13	378.13	378.13
Mm5 =	$Pm5 \cdot (B - Bd/2)$	(kNm/m)	0.00	0.00	0.00
Mm =	$Mm1 + Mm2 + Mm3 + Mm4 + Mm5$	(kNm/m)	478.13	478.13	478.13

##### - Terrapieno e sovr. perm. sulla scarpa di monte del muro

Mt1 =	$Pt1 \cdot (B1 + B2 + B3 + B4 + 0,5 \cdot B5)$	(kNm/m)	1785.99	1785.99	1785.99
Mt2 =	$Pt2 \cdot (B1 + B2 + B3 + 2/3 \cdot (B4 + B5))$	(kNm/m)	140.60	140.60	140.60
Mt3 =	$Pt3 \cdot (B1 + B2 + B3 + 2/3 \cdot B4)$	(kNm/m)	47.50	47.50	47.50
Msovr =	$Sovr \cdot (B1 + B2 + B3 + 1/2 \cdot (B4 + B5))$	(kNm/m)	0.00	0.00	0.00
Mt =	$Mt1 + Mt2 + Mt3 + Msovr$	(kNm/m)	1974.09	1974.09	1974.09

##### - Sovraccarico accidentale sulla scarpa di monte del muro

Sovr acc. Stat	$q \cdot (B1 + B2 + B3 + 1/2 \cdot (B4 + B5))$	(kNm/m)	0	0	
Sovr acc. Sism	$qs \cdot (B1 + B2 + B3 + 1/2 \cdot (B4 + B5))$	(kNm/m)	0		

PT56: MURO DI CONTRORIPA MU96B  
RELAZIONE DI CALCOLO

COMMESSA	LOTTO	CODIFICA	DOCUMENTO	REV.	FOGLIO
RS3T	30 D 78	CL	MU96B0 001	B	122 di 160

### INERZIA DEL MURO E DEL TERRAPIENO

- Inerzia orizzontale e verticale del muro (Ps)

Ps h =	$P_m \cdot kh$	(kN/m)	13.70	20.56
Ps v =	$P_m \cdot kv$	(kN/m)	6.85	10.28

- Inerzia orizzontale e verticale del terrapieno a tergo del muro (Pts)

Ptsh =	$P_t \cdot kh$	(kN/m)	31.63	47.44
Ptsh v =	$P_t \cdot kv$	(kN/m)	15.81	23.72

- Incremento orizzontale di momento dovuto all'inerzia del muro (MPs h)

MPs1 h =	$kh \cdot P_m1 \cdot (H_2 + H_3/3)$	(kNm/m)	0.00	0.00
MPs2 h =	$kh \cdot P_m2 \cdot (H_2 + H_3/2)$	(kNm/m)	15.78	23.67
MPs3 h =	$kh \cdot P_m3 \cdot (H_2 + H_3/3)$	(kNm/m)	8.50	12.76
MPs4 h =	$kh \cdot P_m4 \cdot (H_2/2)$	(kNm/m)	3.72	5.58
MPs5 h =	$-kh \cdot P_m5 \cdot (H_d/2)$	(kNm/m)	0.00	0.00
MPs h =	$MPs1 + MPs2 + MPs3 + MPs4 + MPs5$	(kNm/m)	28.01	42.01

- Incremento verticale di momento dovuto all'inerzia del muro (MPs v)

MPs1 v =	$kv \cdot P_m1 \cdot (B_1 + 2/3 \cdot B_2)$	(kNm/m)	0.00	0.00
MPs2 v =	$kv \cdot P_m2 \cdot (B_1 + B_2 + B_3/2)$	(kNm/m)	1.27	1.90
MPs3 v =	$kv \cdot P_m3 \cdot (B_1 + B_2 + B_3 + B_4/3)$	(kNm/m)	1.44	2.16
MPs4 v =	$kv \cdot P_m4 \cdot (B/2)$	(kNm/m)	10.24	15.36
MPs5 v =	$kv \cdot P_m5 \cdot (B - B_d/2)$	(kNm/m)	0.00	0.00
MPs v =	$MPs1 + MPs2 + MPs3 + MPs4 + MPs5$	(kNm/m)	12.95	19.42

- Incremento orizzontale di momento dovuto all'inerzia del terrapieno (MPts h)

MPts1 h =	$kh \cdot P_t1 \cdot (H_2 + H_3/2)$	(kNm/m)	120.54	180.81
MPts2 h =	$kh \cdot P_t2 \cdot (H_2 + H_3 + H_4/3)$	(kNm/m)	23.94	35.90
MPts3 h =	$kh \cdot P_t3 \cdot (H_2 + H_3 \cdot 2/3)$	(kNm/m)	10.93	16.39
MPts h =	$MPts1 + MPts2 + MPts3$	(kNm/m)	155.41	233.11

- Incremento verticale di momento dovuto all'inerzia del terrapieno (MPts v)

MPts1 v =	$kv \cdot P_t1 \cdot ((H_2 + H_3/2) - (B - B_5/2) \cdot 0.5)$	(kNm/m)	48.36	72.53
MPts2 v =	$kv \cdot P_t2 \cdot ((H_2 + H_3 + H_4/3) - (B - B_5/3) \cdot 0.5)$	(kNm/m)	3.99	5.99
MPts3 v =	$kv \cdot P_t3 \cdot ((H_2 + H_3 \cdot 2/3) - (B_1 + B_2 + B_3 + 2/3 \cdot B_4) \cdot 0.5)$	(kNm/m)	1.77	2.65
MPts v =	$MPts1 + MPts2 + MPts3$	(kNm/m)	54.12	81.18

## 12.2.2 SPINTE IN CONDIZIONE STATICA

### SPINTE DEL TERRENO E DEL SOVRACCARICO

- Spinta totale condizione statica

		SLE	STR/GEO	EQU/RIB
St =	$0,5 \cdot \gamma \cdot (H_2 + H_3 + H_4 + H_d)^2 \cdot k_a$	(kN/m) 240.53	312.69	312.69
Sq perm =	$q \cdot (H_2 + H_3 + H_4 + H_d) \cdot k_a$	(kN/m) 0.00	0.00	0.00
Sq acc =	$q \cdot (H_2 + H_3 + H_4 + H_d) \cdot k_a$	(kN/m) 0.00	0.00	0.00

- Componente orizzontale condizione statica

Sth =	$St \cdot \cos \delta$	(kN/m) 236.87	307.94	307.94
Sqh perm =	$Sq \text{ perm} \cdot \cos \delta$	(kN/m) 0.00	0.00	0.00
Sqh acc =	$Sq \text{ acc} \cdot \cos \delta$	(kN/m) 0.00	0.00	0.00

- Componente verticale condizione statica

Stv =	$St \cdot \sin \delta$	(kN/m) 41.77	54.30	54.30
Sqv perm =	$Sq \text{ perm} \cdot \sin \delta$	(kN/m) 0.00	0.00	0.00
Sqv acc =	$Sq \text{ acc} \cdot \sin \delta$	(kN/m) 0.00	0.00	0.00

- Spinta passiva sul dente

$Sp = \frac{1}{2} \cdot g_1 \cdot H_d^2 \cdot \frac{1}{2} \cdot \gamma_1 \cdot H_d^2 \cdot k_p + (2 \cdot c_1 \cdot k_p^{0.5} + \gamma_1 \cdot k_p \cdot H_2) \cdot H_d$	(kN/m)	0.00	0.00	0.00
--	--------	------	------	------

### MOMENTI DELLA SPINTA DEL TERRENO E DEL SOVRACCARICO

		SLE	STR/GEO	EQU/RIB
MSt1 =	$Sth \cdot ((H_2 + H_3 + H_4 + H_d) / 3 - H_d)$	(kNm/m) 672.02	873.63	873.63
MSt2 =	$Stv \cdot B$	(kNm/m) 229.72	298.64	298.64
MSq1 perm =	$Sqh \text{ perm} \cdot ((H_2 + H_3 + H_4 + H_d) / 2 - H_d)$	(kNm/m) 0.00	0.00	0.00
MSq1 acc =	$Sqh \text{ acc} \cdot ((H_2 + H_3 + H_4 + H_d) / 2 - H_d)$	(kNm/m) 0.00	0.00	0.00
MSq2 perm =	$Sqv \text{ perm} \cdot B$	(kNm/m) 0.00	0.00	0.00
MSq2 acc =	$Sqv \text{ acc} \cdot B$	(kNm/m) 0.00	0.00	0.00
MSp =	$\gamma_1 \cdot H_d^3 \cdot k_p / 3 + (2 \cdot c_1 \cdot k_p^{0.5} + \gamma_1 \cdot k_p \cdot H_2) \cdot H_d^2 / 2$	(kNm/m) 0.00	0.00	0.00

### MOMENTI DOVUTI ALLE FORZE ESTERNE

Mfext1 =	$mp + m$	(kNm/m) 0.00	0.00	0.00
Mfext2 =	$(fp + f) \cdot (H_3 + H_2)$	(kNm/m) 0.00	0.00	0.00
Mfext3 =	$(vp + v) \cdot (B_1 + B_2 + B_3 / 2)$	(kNm/m) 2.45	2.45	2.45

### 12.2.3 SPINTE IN CONDIZIONE SISMICA +

#### SPINTE DEL TERRENO E DEL SOVRACCARICO

- Spinta condizione sismica +

		SLE	STR/GEO	EQU/RIB
Sst1 stat = $0,5 \cdot \gamma \cdot (H2+H3+H4+Hd) \cdot ka$	(kN/m)	240.53	240.53	240.53
Sst1 sism = $0,5 \cdot \gamma \cdot (1+kv) \cdot (H2+H3+H4+Hd) \cdot kas^+ - Sst1 \text{ stat}$	(kN/m)	36.79	36.79	56.93
Ssq1 perm = $qp \cdot (H2+H3+H4+Hd) \cdot kas^+$	(kN/m)	0.00	0.00	0.00
Ssq1 acc = $qs \cdot (H2+H3+H4+Hd) \cdot kas^+$	(kN/m)	0.00	0.00	0.00

- Componente orizzontale condizione sismica +

Sst1h stat = $Sst1 \text{ stat} \cdot \cos \delta$	(kN/m)	236.87	236.87	236.87
Sst1h sism = $Sst1 \text{ sism} \cdot \cos \delta$	(kN/m)	36.23	36.23	56.06
Ssq1h perm = $Ssq1 \text{ perm} \cdot \cos \delta$	(kN/m)	0.00	0.00	0.00
Ssq1h acc = $Ssq1 \text{ acc} \cdot \cos \delta$	(kN/m)	0.00	0.00	0.00

- Componente verticale condizione sismica +

Sst1v stat = $Sst1 \text{ stat} \cdot \sin \delta$	(kN/m)	41.77	41.77	41.77
Sst1v sism = $Sst1 \text{ sism} \cdot \sin \delta$	(kN/m)	6.39	6.39	9.89
Ssq1v perm = $Ssq1 \text{ perm} \cdot \sin \delta$	(kN/m)	0.00	0.00	0.00
Ssq1v acc = $Ssq1 \text{ acc} \cdot \sin \delta$	(kN/m)	0.00	0.00	0.00

- Spinta passiva sul dente

$Sp = \frac{1}{2} \cdot \gamma_1 \cdot (1+kv) \cdot Hd^2 \cdot kps^+ + (2 \cdot c_1 \cdot kps^{+0.5} + \gamma_1 \cdot (1+kv) \cdot kps^+ \cdot H2) \cdot Hd$	(kN/m)	0.00	0.00	0.00
--	--------	------	------	------

#### MOMENTI DELLA SPINTA DEL TERRENO E DEL SOVRACCARICO

- Condizione sismica +

		SLE	STR/GEO	EQU/RIB
MSst1 stat = $Sst1h \text{ stat} \cdot ((H2+H3+H4+hd)/3-hd)$	(kNm/m)	672.02	672.02	672.02
MSst1 sism = $Sst1h \text{ sism} \cdot ((H2+H3+H4+Hd)/3-Hd)$	(kNm/m)	102.78	102.78	159.05
MSst2 stat = $Sst1v \text{ stat} \cdot B$	(kNm/m)	229.72	229.72	229.72
MSst2 sism = $Sst1v \text{ sism} \cdot B$	(kNm/m)	35.13	35.13	54.37
MSsq1 = $Ssq1h \cdot ((H2+H3+H4+Hd)/2-Hd)$	(kNm/m)	0.00	0.00	0.00
MSsq2 = $Ssq1v \cdot B$	(kNm/m)	0.00	0.00	0.00
MSp = $\gamma_1 \cdot Hd^3 \cdot kps^+ / 3 + (2 \cdot c_1 \cdot kps^{+0.5} + \gamma_1 \cdot kps^+ \cdot H2) \cdot Hd^2 / 2$	(kNm/m)	0.00	0.00	0.00

#### MOMENTI DOVUTI ALLE FORZE ESTERNE

Mfext1 = $mp+ms$	(kNm/m)		0.00	
Mfext2 = $(fp+fs) \cdot (H3 + H2)$	(kNm/m)		0.00	
Mfext3 = $(vp+vs) \cdot (B1 + B2 + B3/2)$	(kNm/m)		2.45	

## 12.2.4 SPINTE IN CONDIZIONE SISMICA -

### SPINTE DEL TERRENO E DEL SOVRACCARICO

- Spinta condizione sismica -

		SLE	STR/GEO	EQU/RIB
Sst1 stat = $0,5 \cdot \gamma' \cdot (H2+H3+H4+Hd)^2 \cdot ka$	(kN/m)	240.53	240.53	240.53
Sst1 sism = $0,5 \cdot \gamma' \cdot (1-kv) \cdot (H2+H3+H4+Hd)^2 \cdot kas^- - Sst1\ stat$	(kN/m)	23.89	23.89	37.87
Ssq1 perm = $qp \cdot (H2+H3+H4+Hd) \cdot kas^-$	(kN/m)	0.00	0.00	0.00
Ssq1 acc = $qs \cdot (H2+H3+H4+Hd) \cdot kas^-$	(kN/m)	0.00	0.00	0.00

- Componente orizzontale condizione sismica -

Sst1h stat = $Sst1\ stat \cdot \cos\delta$	(kN/m)	236.87	236.87	236.87
Sst1h sism = $Sst1\ sism \cdot \cos\delta$	(kN/m)	23.53	23.53	37.30
Ssq1h perm = $Ssq1\ perm \cdot \cos\delta$	(kN/m)	0.00	0.00	0.00
Ssq1h acc = $Ssq1\ acc \cdot \cos\delta$	(kN/m)	0.00	0.00	0.00

- Componente verticale condizione sismica -

Sst1v stat = $Sst1\ stat \cdot \sin\delta$	(kN/m)	41.77	41.77	41.77
Sst1v sism = $Sst1\ sism \cdot \sin\delta$	(kN/m)	4.15	4.15	6.58
Ssq1v perm = $Ssq1\ perm \cdot \sin\delta$	(kN/m)	0.00	0.00	0.00
Ssq1v acc = $Ssq1\ acc \cdot \sin\delta$	(kN/m)	0.00	0.00	0.00

- Spinta passiva sul dente

$Sp = \frac{1}{2} \cdot \gamma'_1 \cdot (1-kv) \cdot Hd^2 \cdot kps^+ + (2 \cdot c_1 \cdot kps^{-0.5} + \gamma'_1 \cdot (1-kv) \cdot kps^+ \cdot H2) \cdot Hd$	(kN/m)	0.00	0.00	0.00
--	--------	------	------	------

### MOMENTI DELLA SPINTA DEL TERRENO E DEL SOVRACCARICO

- Condizione sismica -

		SLE	STR/GEO	EQU/RIB
MSst1 stat = $Sst1h\ stat \cdot ((H2+H3+H4+hd)/3-hd)$	( kNm/m )	672.02	672.02	672.02
MSst1 sism = $Sst1h\ sism \cdot ((H2+H3+H4+Hd)/3-Hd)$	( kNm/m )	66.75	66.75	105.81
MSst2 stat = $Sst1v\ stat \cdot B$	( kNm/m )	229.72	229.72	229.72
MSst2 sism = $Sst1v\ sism \cdot B$	( kNm/m )	22.82	22.82	36.17
MSsq1 = $Ssq1h \cdot ((H2+H3+H4+Hd)/2-Hd)$	( kNm/m )	0.00	0.00	0.00
MSsq2 = $Ssq1v \cdot B$	( kNm/m )	0.00	0.00	0.00
MSp = $\gamma'_1 \cdot Hd^3 \cdot kps^+ / 3 + (2 \cdot c_1 \cdot kps^{-0.5} + \gamma'_1 \cdot kps^+ \cdot H2) \cdot Hd^2 / 2$	( kNm/m )	0.00	0.00	0.00

### MOMENTI DOVUTI ALLE FORZE ESTERNE

Mfext1 = $mp+ms$	( kNm/m )		0.00	
Mfext2 = $(fp+fs) \cdot (H3 + H2)$	( kNm/m )		0.00	
Mfext3 = $(vp+vs) \cdot (B1 + B2 + B3/2)$	( kNm/m )		2.45	

## 12.3 VERIFICHE GEOTECNICHE

### 12.3.1 VERIFICA STATICA A RIBALTAMENTO, SCORRIMENTO E CARICO LIMITE VERTICALE - C. DRENATE

#### VERIFICA ALLO SCORRIMENTO (STR/GEO)

Risultante forze verticali (N)				
$N = P_m + P_t + v + S_{tv} + S_{qv} \text{ perm} + S_{qv} \text{ acc}$	894.98	(kN/m)		
Risultante forze orizzontali (T)				
$T = S_{th} + S_{qh} + f$	307.94	(kN/m)		
Coefficiente di attrito alla base (f)				
$f = \text{tg}\phi_1'$	0.45	(-)		
<b>Fs scorr.</b>	<b>(N*f + Sp) / T</b>	<b>1.29</b>	<b>&gt;</b>	<b>1.1</b>

#### VERIFICA AL RIBALTAMENTO

Momento stabilizzante (Ms)				
$M_s = M_m + M_t + M_{fext3}$	2454.68	( kNm/m )		
Momento ribaltante (Mr)				
$M_r = M_{St} + M_{Sq} + M_{fext1} + M_{fext2} + M_{Sp}$	574.99	( kNm/m )		
<b>Fs ribaltamento</b>	<b>Ms / Mr</b>	<b>4.27</b>	<b>&gt;</b>	<b>1.15</b>

#### VERIFICA CARICO LIMITE DELLA FONDAZIONE (STR/GEO)

Risultante forze verticali (N)		Nmin	Nmax	
$N = P_m + P_t + v + S_{tv} + S_{qv} (+ \text{Sovr acc})$	894.98	894.98	894.98	(kN/m)
Risultante forze orizzontali (T)				
$T = S_{th} + S_{qh} + f - S_p$	307.94	307.94	307.94	(kN/m)
Risultante dei momenti rispetto al piede di valle (MM)				
$MM = \sum M$	1879.69	1879.69	1879.69	( kNm/m )
Momento rispetto al baricentro della fondazione (M)				
$M = X_c * N - MM$	581.51	581.51	581.51	( kNm/m )

### Formula Generale per il Calcolo del Carico Limite Unitario (Brinch-Hansen, 1970)

Fondazione Nastriforme

$$q_{lim} = c'N_c'ic + q_0'N_q'iq + 0,5*\gamma_1*B*N_\gamma'i_\gamma$$

c1'	coesione terreno di fondaz.	18.00			(kPa)
$\phi_1'$	angolo di attrito terreno di fondaz.	24.00			(°)
$\gamma_1$	peso unità di volume terreno fondaz.	17.91			(kN/m <sup>3</sup> )
$q_0 = \gamma_d'H_2'$	sovraccarico stabilizzante	22.80			(kN/m <sup>2</sup> )
$e = M / N$	eccentricità	0.65	0.65		(m)
$B^* = B - 2e$	larghezza equivalente	4.20	4.20		(m)

I valori di  $N_c$ ,  $N_q$  e  $N_\gamma$  sono stati valutati con le espressioni suggerite da Vesic (1975)

$N_q = \text{tg}^2(45 + \phi'/2)*e^{(\pi*\text{tg}(\phi'))}$	(1 in cond. nd)	9.60			(-)
$N_c = (N_q - 1)/\text{tg}(\phi')$	(2+ $\pi$ in cond. nd)	19.32			(-)
$N_\gamma = 2*(N_q + 1)*\text{tg}(\phi')$	(0 in cond. nd)	9.44			(-)

I valori di  $i_c$ ,  $i_q$  e  $i_\gamma$  sono stati valutati con le espressioni suggerite da Vesic (1975)

$i_q = (1 - T/(N + B*c'*\text{cotg}\phi'))^m$	(1 in cond. nd)	0.51	0.51		(-)
$i_c = i_q - (1 - i_q)/(N_q - 1)$		0.45	0.45		(-)
$i_\gamma = (1 - T/(N + B*c'*\text{cotg}\phi'))^{m+1}$		0.36	0.36		(-)

(fondazione nastriforme  $m = 2$ )

$q_{lim}$	(carico limite unitario)	393.90	393.90		(kN/m <sup>2</sup> )
-----------	--------------------------	--------	--------	--	----------------------

<b>FS carico limite</b>	<b><math>F = q_{lim}*B^*/N</math></b>	Nmin	<b>1.85</b>	>	<b>1.4</b>
		Nmax	<b>1.85</b>	>	

 <b>ITALFERR</b> GRUPPO FERROVIE DELLO STATO ITALIANE	DIRETTRICE FERROVIARIA MESSINA – CATANIA – PALERMO NUOVO COLLEGAMENTO PALERMO – CATANIA TRATTA VALLELUNGA – CALTANISSETTA XIRBI (LOTTO 3b) OPERE DI SOSTEGNO PIAZZALI – LOTTO 3B					
	PT56: MURO DI CONTRORIPA MU96B RELAZIONE DI CALCOLO	COMMESSA RS3T	LOTTO 30 D 78	CODIFICA CL	DOCUMENTO MU96B0 001	REV. B

### 12.3.2 VERIFICA SISMICA A RIBALTAMENTO, SCORRIMENTO E CARICO LIMITE VERTICALE - C. DRENATE

Condizione sismica +

#### VERIFICA ALLO SCORRIMENTO

Risultante forze verticali (N)				
$N = P_m + P_t + v_p + v_s + S_{st1v} + S_{sq1v} + P_s v + P_{tsv}$	911.51	(kN/m)		
Risultante forze orizzontali (T)				
$T = S_{st1h} + S_{sq1h} + f_p + f_s + P_s h + P_{tsh}$	318.44	(kN/m)		
Coefficiente di attrito alla base (f)				
$f = \operatorname{tg}\varphi_1'$	0.45	(-)		
<b><math>F_s = (N \cdot f + S_p) / T</math></b>	<b>1.27</b>	<b>&gt;</b>		<b>1</b>

#### VERIFICA AL RIBALTAMENTO

Momento stabilizzante (Ms)				
$M_s = M_m + M_t + M_{fext3}$	2454.68	(kNm/m)		
Momento ribaltante (Mr)				
$M_r = M_{Sst} + M_{Ssq} + M_{fext1} + M_{fext2} + M_{Sp} + M_{Ps} + M_{pts}$	721.51	(kNm/m)		
<b><math>F_r = M_s / M_r</math></b>	<b>3.40</b>	<b>&gt;</b>		<b>1</b>

#### VERIFICA A CARICO LIMITE DELLA FONDAZIONE

Risultante forze verticali (N)		Nmin	Nmax	
$N = P_m + P_t + v_p + v_s + S_{st1v} + S_{sq1v} + P_s v + P_{tsv} + (Sovr\ acc)$	911.51	911.51	911.51	(kN/m)
Risultante forze orizzontali (T)				
$T = S_{st1h} + S_{sq1h} + f_p + f_s + P_s h + P_{tsh} - S_p$	318.44			(kN/m)
Risultante dei momenti rispetto al piede di valle (MM)				
$MM = \sum M$	1828.38	1828.38		(kNm/m)
Momento rispetto al baricentro della fondazione (M)				
$M = X_c \cdot N - MM$	678.26	678.26		(kNm/m)

### Formula Generale per il Calcolo del Carico Limite Unitario (Brinch-Hansen, 1970)

Fondazione Nastriforme

$$q_{lim} = c'N_c'ic + q_0*N_q'iq + 0,5*\gamma_1*B*N_\gamma'i_\gamma$$

$c'1'$	coesione terreno di fondaz.	18.00			(kN/mq)
$\phi'1'$	angolo di attrito terreno di fondaz.	24.00			(°)
$\gamma_1$	peso unità di volume terreno fondaz.	17.91			(kN/m <sup>3</sup> )
$q_0 = \gamma d^*H2'$	sovraccarico stabilizzante	22.80			(kN/m <sup>2</sup> )
$e = M / N$	eccentricità	0.74	0.74		(m)
$B^* = B - 2e$	larghezza equivalente	4.01	4.01		(m)

I valori di  $N_c$ ,  $N_q$  e  $N_\gamma$  sono stati valutati con le espressioni suggerite da Vesic (1975)

$N_q = tg^2(45 + \phi'/2)*e^{(\pi*tg(\phi'))}$	(1 in cond. nd)	9.60			(-)
$N_c = (N_q - 1)/tg(\phi')$	(2+ $\pi$ in cond. nd)	19.32			(-)
$N_\gamma = 2*(N_q + 1)*tg(\phi')$	(0 in cond. nd)	9.44			(-)

I valori di  $i_c$ ,  $i_q$  e  $i_\gamma$  sono stati valutati con le espressioni suggerite da Vesic (1975)

$i_q = (1 - T/(N + B*c'*cotg\phi'))^m$	(1 in cond. nd)	0.49	0.49		(-)
$i_c = i_q - (1 - i_q)/(N_q - 1)$		0.44	0.44		(-)
$i_\gamma = (1 - T/(N + B*c'*cotg\phi'))^{m+1}$		0.35	0.35		(-)

(fondazione nastriforme  $m = 2$ )

$q_{lim}$	(carico limite unitario)	378.07	378.07		(kN/m <sup>2</sup> )
-----------	--------------------------	--------	--------	--	----------------------

<b>FS carico limite</b>	<b><math>F = q_{lim}*B^*/N</math></b>	<b><math>N_{min}</math></b>	<b>1.66</b>	<b>&gt;</b>	<b>1.2</b>
		<b><math>N_{max}</math></b>	<b>1.66</b>	<b>&gt;</b>	

 <b>ITALFERR</b> GRUPPO FERROVIE DELLO STATO ITALIANE	DIRETTRICE FERROVIARIA MESSINA – CATANIA – PALERMO NUOVO COLLEGAMENTO PALERMO – CATANIA TRATTA VALLELUNGA – CALTANISSETTA XIRBI (LOTTO 3b) OPERE DI SOSTEGNO PIAZZALI – LOTTO 3B					
	PT56: MURO DI CONTRORIPA MU96B RELAZIONE DI CALCOLO	COMMESSA RS3T	LOTTO 30 D 78	CODIFICA CL	DOCUMENTO MU96B0 001	REV. B

Condizione sismica -

### VERIFICA ALLO SCORRIMENTO

Risultante forze verticali (N)					
$N = P_m + P_t + v_p + v_s + S_{st1v} + S_{sq1v} + P_s v + P_{t sv}$			863.93	(kN/m)	
Risultante forze orizzontali (T)					
$T = S_{st1h} + S_{sq1h} + f_p + f_s + P_s h + P_{t sh}$			305.74	(kN/m)	
Coefficiente di attrito alla base (f)					
$f = \operatorname{tg} \varphi_1'$			0.45	(-)	
<b><math>F_s = (N \cdot f + S_p) / T</math></b>			<b>1.26</b>	<b>&gt;</b>	<b>1</b>

### VERIFICA AL RIBALTAMENTO

Momento stabilizzante (Ms)					
$M_s = M_m + M_t + M_{fext3}$			2454.68	(kNm/m)	
Momento ribaltante (Mr)					
$M_r = M_{Sst} + M_{Ssq} + M_{fext1} + M_{fext2} + M_{Sp} + M_{Ps} + M_{pts}$			887.66	(kNm/m)	
<b><math>F_r = M_s / M_r</math></b>			<b>2.77</b>	<b>&gt;</b>	<b>1</b>

### VERIFICA A CARICO LIMITE DELLA FONDAZIONE

Risultante forze verticali (N)			Nmin	Nmax	
$N = P_m + P_t + v_p + v_s + S_{st1v} + S_{sq1v} + P_s v + P_{t sv}$			863.93	863.93	(kN/m)
Risultante forze orizzontali (T)					
$T = S_{st1h} + S_{sq1h} + f_p + f_s + P_s h + P_{t sh} - S_p$			305.74		(kN/m)
Risultante dei momenti rispetto al piede di valle (MM)					
$MM = \sum M$			1717.96	1717.96	(kNm/m)
Momento rispetto al baricentro della fondazione (M)					
$M = X_c \cdot N - MM$			657.85	657.85	(kNm/m)

### Formula Generale per il Calcolo del Carico Limite Unitario (Brinch-Hansen, 1970)

Fondazione Nastriforme

$$q_{lim} = c'N_c'ic + q_0*N_q'iq + 0,5*\gamma_1*B*N_\gamma'i_\gamma$$

c1'	coesione terreno di fondaz.	18.00			(kN/mq)
$\phi_1'$	angolo di attrito terreno di fondaz.	24.00			(°)
$\gamma_1$	peso unità di volume terreno fondaz.	17.91			(kN/m <sup>3</sup> )
$q_0 = \gamma d^*H_2'$	sovraccarico stabilizzante	22.80			(kN/m <sup>2</sup> )
$e = M / N$	eccentricità	0.76	0.76		(m)
$B^* = B - 2e$	larghezza equivalente	3.98	3.98		(m)

I valori di  $N_c$ ,  $N_q$  e  $N_\gamma$  sono stati valutati con le espressioni suggerite da Vesic (1975)

$N_q = \text{tg}^2(45 + \phi'/2)*e^{(\pi*\text{tg}(\phi'))}$	(1 in cond. nd)	9.60			(-)
$N_c = (N_q - 1)/\text{tg}(\phi')$	( $2+\pi$ in cond. nd)	19.32			(-)
$N_\gamma = 2*(N_q + 1)*\text{tg}(\phi')$	(0 in cond. nd)	9.44			(-)

I valori di  $i_c$ ,  $i_q$  e  $i_\gamma$  sono stati valutati con le espressioni suggerite da Vesic (1975)

$i_q = (1 - T/(N + B*c'*\text{cotg}\phi'))^m$	(1 in cond. nd)	0.49	0.49		(-)
$i_c = i_q - (1 - i_q)/(N_q - 1)$		0.43	0.43		(-)
$i_\gamma = (1 - T/(N + B*c'*\text{cotg}\phi'))^{m+1}$		0.35	0.35		(-)

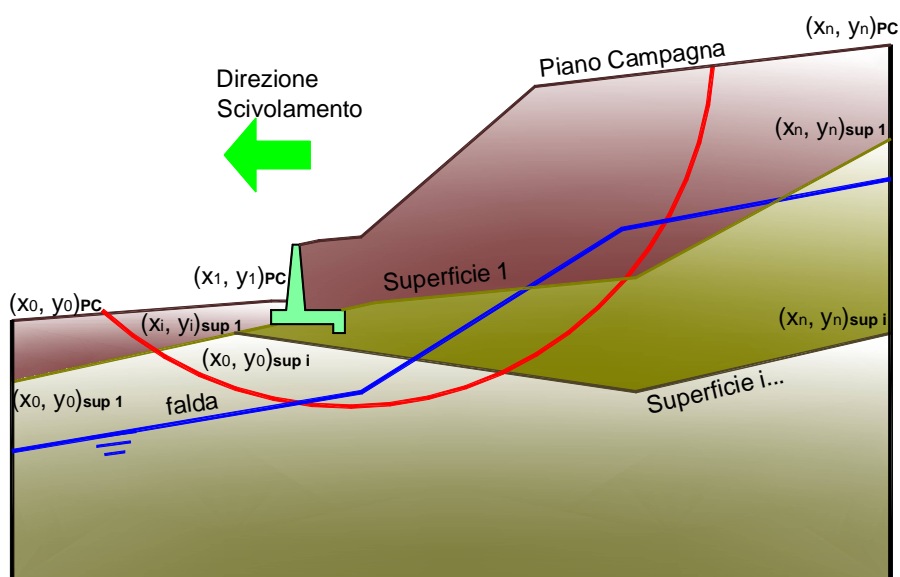
(fondazione nastriforme  $m = 2$ )

$q_{lim}$	(carico limite unitario)	374.65	374.65		(kN/m <sup>2</sup> )
-----------	--------------------------	--------	--------	--	----------------------

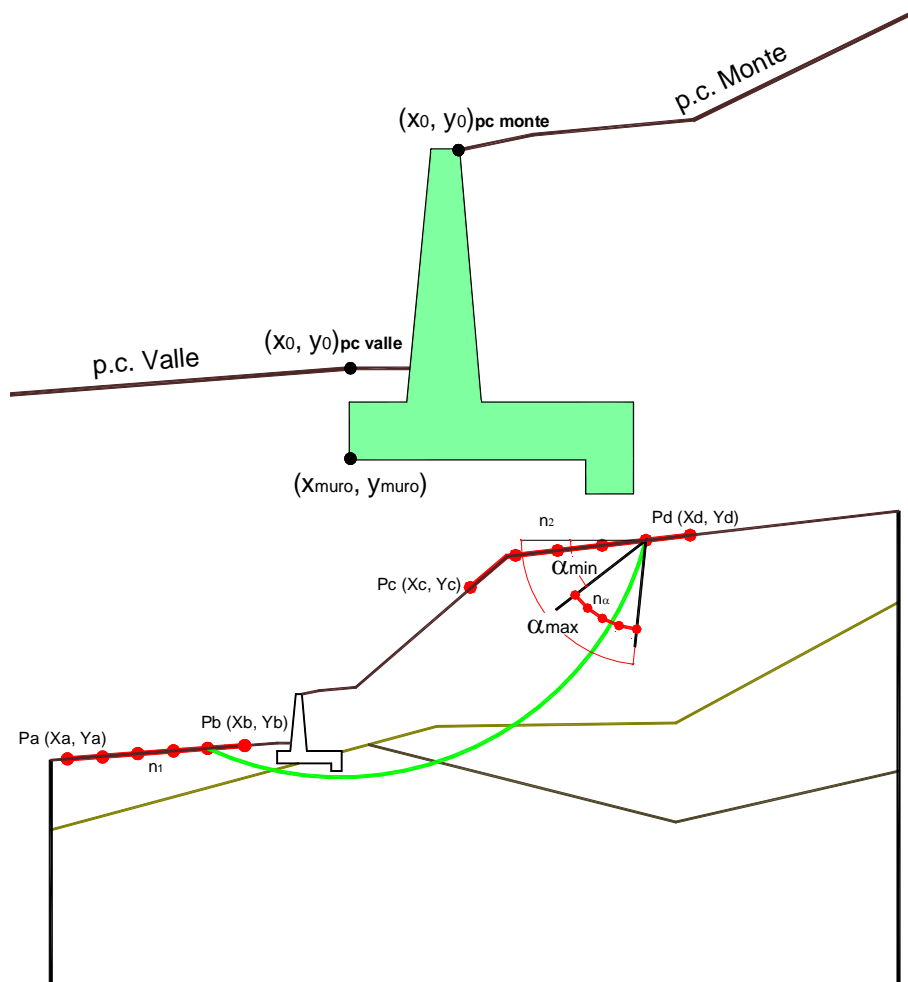
<b>FS carico limite</b>	<b><math>F = q_{lim}*B^*/N</math></b>	$N_{min}$	<b>1.72</b>	>	<b>1.2</b>
		$N_{max}$	<b>1.72</b>	>	

### 12.3.3 VERIFICA DI STABILITÀ GLOBALE – COND. DRENATE

Le analisi di stabilità, di seguito riportate, sono state effettuate limitando la ricerca delle potenziali superfici di scorrimento critiche alla fascia più prossima alla linea stradale.



	$\gamma$ [kN/m <sup>3</sup> ]	$\phi$ [°]	$c$ [kPa]	Descrizione
<b>materiale 1</b>	21.00	24	0	Rilevato - riporto
<b>materiale 2</b>	21.00	24	18	Unità geotecnica 1 - GPQ
<b>materiale 3</b>				
<b>materiale 4</b>				



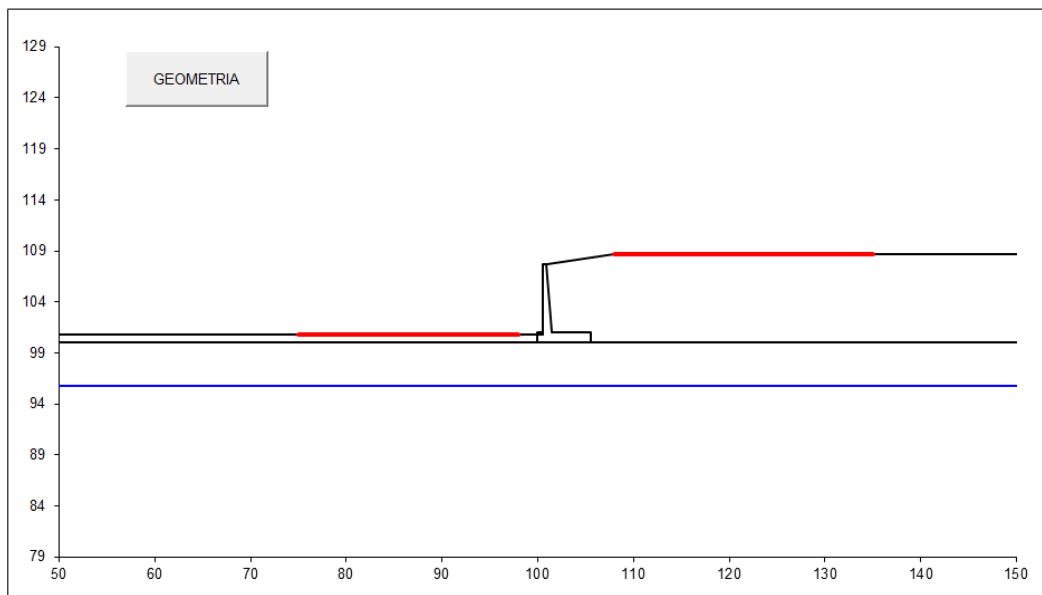
p.c. valle		p.c. monte		superficie 1		superficie 2		superficie 3		f.lda				
materiale 1				materiale 2		materiale 3		materiale 4						
x	y	x	y	x	y	x	y	x	y	x	y			
0	100.000	100.800	0	100.900	107.700	0	50.000	100.000	0			0	50.000	95.800
1	50.000	100.800	1	107.900	108.700	1	150.000	100.000	1			1	150.000	95.800
2			2	150.000	108.700	2			2			2		
3			3			3			3			3		
4			4			4			4			4		
5			5			5			5			5		
6			6			6			6			6		
7			7			7			7			7		
8			8			8			8			8		
9			9			9			9			9		
10			10			10			10			10		

**Sovraccarichi**

	$x_{in}$	$q_{in}$	$x_{fin}$	$q_{fin}$	% sisma	
sovraccarico 1	<input checked="" type="checkbox"/>	103.900	0	106.500	0	20%
sovraccarico 2	<input type="checkbox"/>					

PT56: MURO DI CONTRORIPA MU96B  
RELAZIONE DI CALCOLO

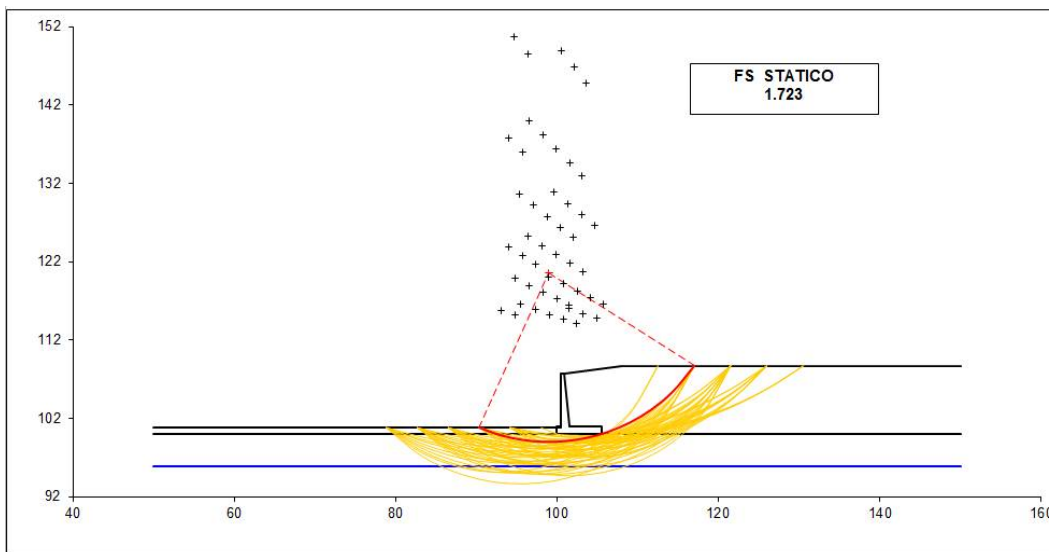
COMMESSA	LOTTO	CODIFICA	DOCUMENTO	REV.	FOGLIO
RS3T	30 D 78	CL	MU96B0 001	B	134 di 160



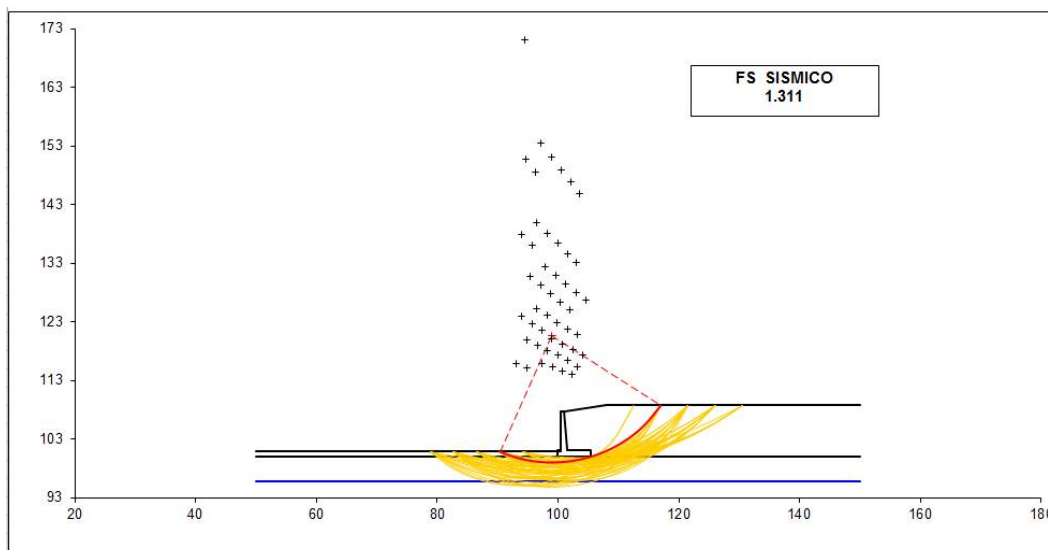
#strisce
30

# Superfici Calcolate	FS Bishop	
	142	STATICO
	SISMICO	1.311

### Condizioni statiche



## Condizioni sismiche



 <b>ITALFERR</b> GRUPPO FERROVIE DELLO STATO ITALIANE	DIRETTRICE FERROVIARIA MESSINA – CATANIA – PALERMO NUOVO COLLEGAMENTO PALERMO – CATANIA TRATTA VALLELUNGA – CALTANISSETTA XIRBI (LOTTO 3b) OPERE DI SOSTEGNO PIAZZALI – LOTTO 3B					
	PT56: MURO DI CONTRORIPA MU96B RELAZIONE DI CALCOLO	COMMESSA RS3T	LOTTO 30 D 78	CODIFICA CL	DOCUMENTO MU96B0 001	REV. B

### 12.3.4 VERIFICA STATICA A RIBALTAMENTO, SCORRIMENTO E CARICO LIMITE VERTICALE - C. NON DRENATE

#### VERIFICA ALLO SCORRIMENTO (STR/GEO)

Risultante forze verticali (N)				
$N = P_m + P_t + v + S_{tv} + S_{qv \text{ perm}} + S_{qv \text{ acc}}$	894.98	(kN/m)		
Risultante forze orizzontali (T)				
$T = S_{th} + S_{qh} + f$	307.94	(kN/m)		
Coefficiente di attrito alla base (f)				
$f = \text{tg}\phi_1'$	0.45	(-)		
<b>Fs scorr.</b>	<b><math>(N \cdot f + S_p) / T</math></b>	<b>1.29</b>	<b>&gt;</b>	<b>1.1</b>

#### VERIFICA AL RIBALTAMENTO

Momento stabilizzante (Ms)				
$M_s = M_m + M_t + M_{fext3}$	2454.68	( kNm/m )		
Momento ribaltante (Mr)				
$M_r = M_{St} + M_{Sq} + M_{fext1} + M_{fext2} + M_{Sp}$	574.99	( kNm/m )		
<b>Fs ribaltamento</b>	<b>Ms / Mr</b>	<b>4.27</b>	<b>&gt;</b>	<b>1.15</b>

#### VERIFICA CARICO LIMITE DELLA FONDAZIONE (STR/GEO)

Risultante forze verticali (N)				
$N = P_m + P_t + v + S_{tv} + S_{qv} (+ \text{Sovr acc})$	Nmin 894.98	Nmax 894.98	(kN/m)	
Risultante forze orizzontali (T)				
$T = S_{th} + S_{qh} + f - S_p$	307.94	307.94	(kN/m)	
Risultante dei momenti rispetto al piede di valle (MM)				
$MM = \Sigma M$	1879.69	1879.69	( kNm/m )	
Momento rispetto al baricentro della fondazione (M)				
$M = X_c \cdot N - MM$	581.51	581.51	( kNm/m )	

### Formula Generale per il Calcolo del Carico Limite Unitario (Brinch-Hansen, 1970)

Fondazione Nastriforme

$$q_{lim} = c'N_c i_c + q_0 N_q i_q + 0,5 \gamma_1 B^* N_\gamma i_\gamma$$

cu	res. al taglio nd terreno di fondaz.	100.00			(kPa)
$\gamma_1$	peso unità di volume terreno fondaz.	21.00			(kN/m <sup>3</sup> )
$q_0 = \gamma d^* H_2'$	sovraccarico stabilizzante	22.80			(kN/m <sup>2</sup> )
$e = M / N$	eccentricità	0.65	0.65		(m)
$B^* = B - 2e$	larghezza equivalente	4.20	4.20		(m)

I valori di  $N_c$ ,  $N_q$  e  $N_\gamma$  sono stati valutati con le espressioni suggerite da Vesic (1975)

$N_q = \text{tg}^2(45 + \varphi'/2) e^{(\pi \text{tg}(\varphi'))}$	(1 in cond. nd)	1.00			(-)
$N_c = (N_q - 1) / \text{tg}(\varphi')$	(2+ $\pi$ in cond. nd)	5.14			(-)
$N_\gamma = 2^*(N_q + 1) \text{tg}(\varphi')$	(0 in cond. nd)	0.00			(-)

I valori di  $i_c$ ,  $i_q$  e  $i_\gamma$  sono stati valutati con le espressioni suggerite da Vesic (1975)

$i_q = (1 - T / (N + B^* c' \cot \varphi'))^m$	(1 in cond. nd)	1.00	1.00		(-)
$i_c = (1 - m T / (B^* c u^* N_c))$		0.71	0.71		(-)
$i_\gamma = (1 - T / (N + B^* c' \cot \varphi'))^{m+1}$		--			(-)

(fondazione nastriforme  $m = 2$ )

$q_{lim}$	(carico limite unitario)	390.34	390.34		(kN/m <sup>2</sup> )
-----------	--------------------------	--------	--------	--	----------------------

<b>FS carico limite</b>	<b>F = <math>q_{lim} * B^* / N</math></b>	Nmin	<b>1.83</b>	>	<b>1.4</b>
		Nmax	<b>1.83</b>	>	

 <b>ITALFERR</b> GRUPPO FERROVIE DELLO STATO ITALIANE	DIRETTRICE FERROVIARIA MESSINA – CATANIA – PALERMO NUOVO COLLEGAMENTO PALERMO – CATANIA TRATTA VALLELUNGA – CALTANISSETTA XIRBI (LOTTO 3b) OPERE DI SOSTEGNO PIAZZALI – LOTTO 3B					
	PT56: MURO DI CONTRORIPA MU96B RELAZIONE DI CALCOLO	COMMESSA RS3T	LOTTO 30 D 78	CODIFICA CL	DOCUMENTO MU96B0 001	REV. B

### 12.3.5 VERIFICA SISMICA A RIBALTAMENTO, SCORRIMENTO E CARICO LIMITE VERTICALE - C. NON DRENATE

Condizione sismica +

#### VERIFICA ALLO SCORRIMENTO

Risultante forze verticali (N)				
$N = P_m + P_t + v_p + v_s + S_{st1v} + S_{sq1v} + P_s v + P_{tsv}$	911.51	(kN/m)		
Risultante forze orizzontali (T)				
$T = S_{st1h} + S_{sq1h} + f_p + f_s + P_s h + P_{tsh}$	318.44	(kN/m)		
Coefficiente di attrito alla base (f)				
$f = \tan \phi_1'$	0.45	(-)		
<b><math>F_s = (N \cdot f + S_p) / T</math></b>	<b>1.27</b>	<b>&gt;</b>		<b>1</b>

#### VERIFICA AL RIBALTAMENTO

Momento stabilizzante (Ms)				
$M_s = M_m + M_t + M_{fext3}$	2454.68	(kNm/m)		
Momento ribaltante (Mr)				
$M_r = M_{Sst} + M_{Ssq} + M_{fext1} + M_{fext2} + M_{Sp} + M_{Ps} + M_{pts}$	721.51	(kNm/m)		
<b><math>F_r = M_s / M_r</math></b>	<b>3.40</b>	<b>&gt;</b>		<b>1</b>

#### VERIFICA A CARICO LIMITE DELLA FONDAZIONE

Risultante forze verticali (N)		Nmin	Nmax	
$N = P_m + P_t + v_p + v_s + S_{st1v} + S_{sq1v} + P_s v + P_{tsv} + (Sovr \text{ acc})$	911.51	911.51	911.51	(kN/m)
Risultante forze orizzontali (T)				
$T = S_{st1h} + S_{sq1h} + f_p + f_s + P_s h + P_{tsh} - S_p$	318.44			(kN/m)
Risultante dei momenti rispetto al piede di valle (MM)				
$MM = \sum M$	1828.38		1828.38	(kNm/m)
Momento rispetto al baricentro della fondazione (M)				
$M = X_c \cdot N - MM$	678.26		678.26	(kNm/m)

### Formula Generale per il Calcolo del Carico Limite Unitario (Brinch-Hansen, 1970)

Fondazione Nastriforme

$$q_{lim} = c \cdot N_c \cdot i_c + q_0 \cdot N_q \cdot i_q + 0,5 \cdot \gamma_1 \cdot B^* \cdot N_\gamma \cdot i_\gamma$$

cu	res. al taglio nd terreno di fondaz.	100.00		(kN/mq)
$\gamma_1$	peso unità di volume terreno fondaz.	21.00		(kN/m <sup>3</sup> )
$q_0 = \gamma \cdot d^* \cdot H_2'$	sovraccarico stabilizzante	22.80		(kN/m <sup>2</sup> )
$e = M / N$	eccentricità	0.74	0.74	(m)
$B^* = B - 2e$	larghezza equivalente	4.01	4.01	(m)

I valori di  $N_c$ ,  $N_q$  e  $N_\gamma$  sono stati valutati con le espressioni suggerite da Vesic (1975)

$N_q = \text{tg}^2(45 + \varphi/2) \cdot e^{(\pi \cdot \text{tg}(\varphi))}$	(1 in cond. nd)	1.00		(-)
$N_c = (N_q - 1) / \text{tg}(\varphi)$	(2+ $\pi$ in cond. nd)	5.14		(-)
$N_\gamma = 2 \cdot (N_q + 1) \cdot \text{tg}(\varphi)$	(0 in cond. nd)	0.00		(-)

I valori di  $i_c$ ,  $i_q$  e  $i_\gamma$  sono stati valutati con le espressioni suggerite da Vesic (1975)

$i_q = (1 - T / (N + B^* \cdot c \cdot \cot \varphi))^m$	(1 in cond. nd)	1.00	1.00	(-)
$i_c = (1 - m \cdot T / (B^* \cdot c \cdot u^* \cdot N_c))$		0.69	0.69	(-)
$i_\gamma = (1 - T / (N + B^* \cdot c \cdot \cot \varphi))^{m+1}$		--		(-)

(fondazione nastriforme  $m = 2$ )

$q_{lim}$	(carico limite unitario)	378.21	378.21	(kN/m <sup>2</sup> )
-----------	--------------------------	--------	--------	----------------------

<b>FS carico limite</b>	<b><math>F = q_{lim} \cdot B^* / N</math></b>	Nmin	<b>1.66</b>	>	<b>1.2</b>
		Nmax	<b>1.66</b>	>	

 <b>ITALFERR</b> GRUPPO FERROVIE DELLO STATO ITALIANE	DIRETTRICE FERROVIARIA MESSINA – CATANIA – PALERMO NUOVO COLLEGAMENTO PALERMO – CATANIA TRATTA VALLELUNGA – CALTANISSETTA XIRBI (LOTTO 3b) OPERE DI SOSTEGNO PIAZZALI – LOTTO 3B					
	PT56: MURO DI CONTRORIPA MU96B RELAZIONE DI CALCOLO	COMMESSA RS3T	LOTTO 30 D 78	CODIFICA CL	DOCUMENTO MU96B0 001	REV. B

Condizione sismica -

### VERIFICA ALLO SCORRIMENTO

Risultante forze verticali (N)					
$N = P_m + P_t + v_p + v_s + S_{st1v} + S_{sq1v} + P_s v + P_{tsv}$			863.93	(kN/m)	
Risultante forze orizzontali (T)					
$T = S_{st1h} + S_{sq1h} + f_p + f_s + P_s h + P_{tsh}$			305.74	(kN/m)	
Coefficiente di attrito alla base (f)					
$f = \operatorname{tg}\varphi_1'$			0.45	(-)	
<b><math>F_s = (N \cdot f + S_p) / T</math></b>			<b>1.26</b>	<b>&gt;</b>	<b>1</b>

### VERIFICA AL RIBALTAMENTO

Momento stabilizzante (Ms)					
$M_s = M_m + M_t + M_{fext3}$			2454.68	(kNm/m)	
Momento ribaltante (Mr)					
$M_r = M_{Sst} + M_{Ssq} + M_{fext1} + M_{fext2} + M_{Sp} + M_{Ps} + M_{pts}$			887.66	(kNm/m)	
<b><math>F_r = M_s / M_r</math></b>			<b>2.77</b>	<b>&gt;</b>	<b>1</b>

### VERIFICA A CARICO LIMITE DELLA FONDAZIONE

Risultante forze verticali (N)			Nmin	Nmax	
$N = P_m + P_t + v_p + v_s + S_{st1v} + S_{sq1v} + P_s v + P_{tsv}$			863.93	863.93	(kN/m)
Risultante forze orizzontali (T)					
$T = S_{st1h} + S_{sq1h} + f_p + f_s + P_s h + P_{tsh} - S_p$			305.74		(kN/m)
Risultante dei momenti rispetto al piede di valle (MM)					
$MM = \sum M$			1717.96	1717.96	(kNm/m)
Momento rispetto al baricentro della fondazione (M)					
$M = X_c \cdot N - MM$			657.85	657.85	(kNm/m)

### Formula Generale per il Calcolo del Carico Limite Unitario (Brinch-Hansen, 1970)

Fondazione Nastriforme

$$q_{lim} = c \cdot N_c \cdot i_c + q_0 \cdot N_q \cdot i_q + 0,5 \cdot \gamma_1 \cdot B^* \cdot N_\gamma \cdot i_\gamma$$

cu	res. al taglio nd terreno di fondaz.	100.00		(kN/mq)
$\gamma_1$	peso unità di volume terreno fondaz.	21.00		(kN/m <sup>3</sup> )
$q_0 = \gamma \cdot d^* \cdot H_2'$	sovraccarico stabilizzante	22.80		(kN/m <sup>2</sup> )
$e = M / N$	eccentricità	0.76	0.76	(m)
$B^* = B - 2e$	larghezza equivalente	3.98	3.98	(m)

I valori di  $N_c$ ,  $N_q$  e  $N_\gamma$  sono stati valutati con le espressioni suggerite da Vesic (1975)

$N_q = \text{tg}^2(45 + \varphi/2) \cdot e^{(\pi \cdot \text{tg}(\varphi))}$	(1 in cond. nd)	1.00		(-)
$N_c = (N_q - 1) / \text{tg}(\varphi)$	( $2 + \pi$ in cond. nd)	5.14		(-)
$N_\gamma = 2 \cdot (N_q + 1) \cdot \text{tg}(\varphi)$	(0 in cond. nd)	0.00		(-)

I valori di  $i_c$ ,  $i_q$  e  $i_\gamma$  sono stati valutati con le espressioni suggerite da Vesic (1975)

$i_q = (1 - T / (N + B^* \cdot c \cdot \cot \varphi))^m$	(1 in cond. nd)	1.00	1.00	(-)
$i_c = (1 - m \cdot T / (B^* \cdot c \cdot u^* \cdot N_c))$		0.70	0.70	(-)
$i_\gamma = (1 - T / (N + B^* \cdot c \cdot \cot \varphi))^{m+1}$		--		(-)

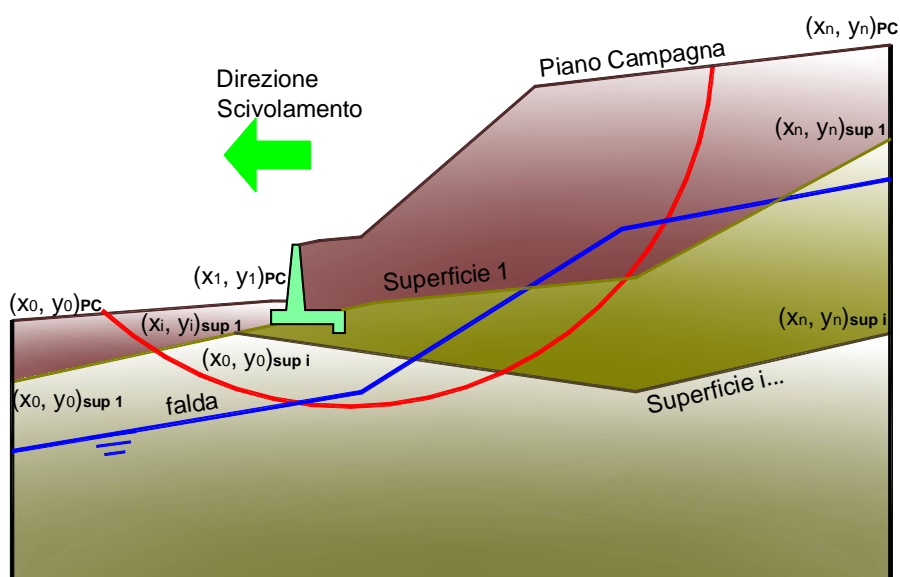
(fondazione nastriforme  $m = 2$ )

$q_{lim}$	(carico limite unitario)	383.21	383.21	(kN/m <sup>2</sup> )
-----------	--------------------------	--------	--------	----------------------

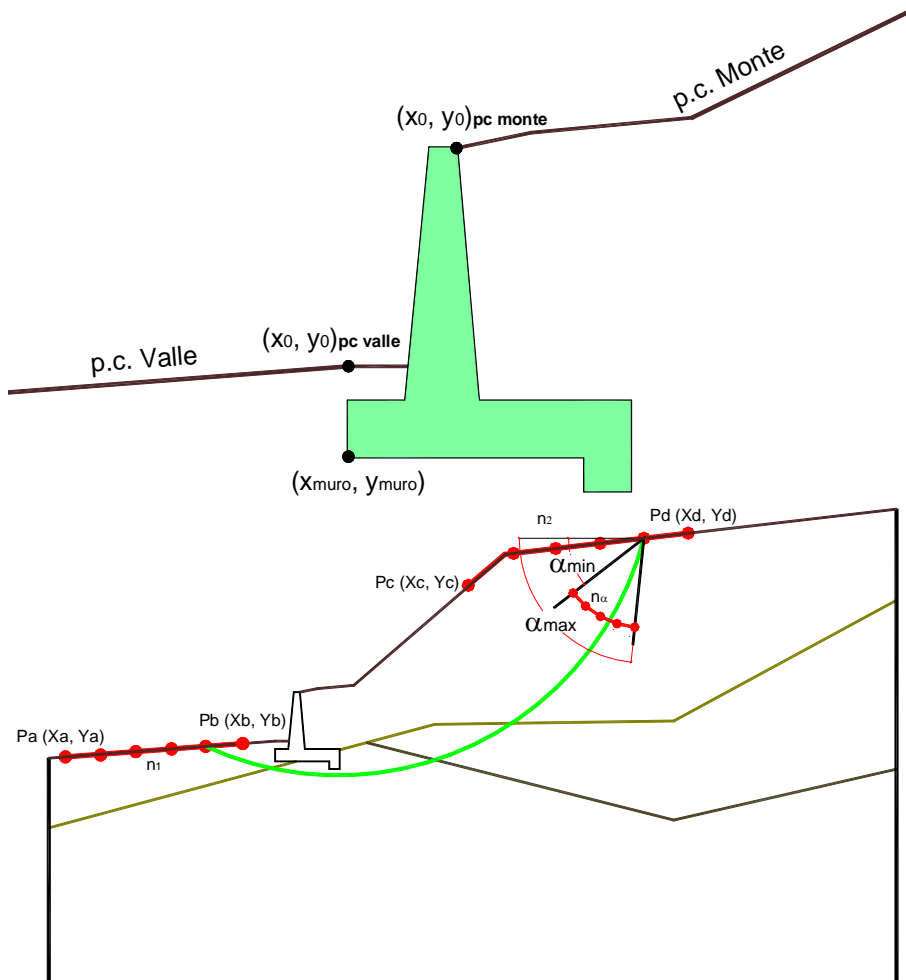
<b>FS carico limite</b>	<b><math>F = q_{lim} \cdot B^* / N</math></b>	Nmin	<b>1.76</b>	>	<b>1.2</b>
		Nmax	<b>1.76</b>	>	

### 12.3.6 VERIFICA DI STABILITÀ GLOBALE – COND. NON DRENATE

Le analisi di stabilità, di seguito riportate, sono state effettuate limitando la ricerca delle potenziali superfici di scorrimento critiche alla fascia più prossima alla linea stradale.



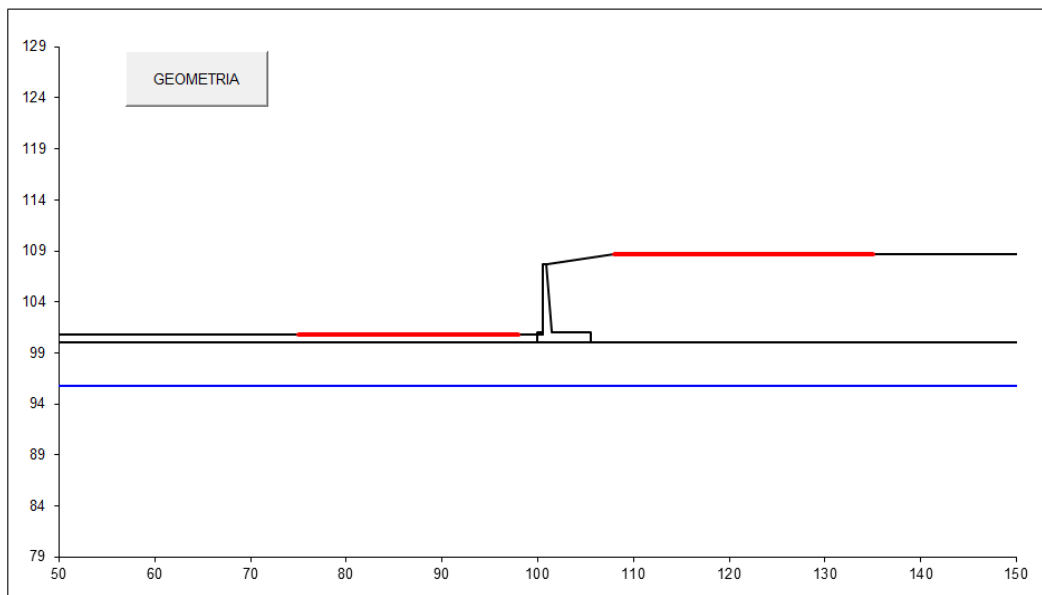
	$\gamma$ [kN/m <sup>3</sup> ]	$\phi$ [°]	$c$ [kPa]	Descrizione
<b>materiale 1</b>	21.00	24	0	Rilevato - riporto
<b>materiale 2</b>	21.00	24	100	Unità geotecnica 1 - GPQ
<b>materiale 3</b>				
<b>materiale 4</b>				



p.c. valle		p.c. monte		superficie 1		superficie 2		superficie 3		f.lda				
materiale 1				materiale 2		materiale 3		materiale 4		f.lda				
x	y	x	y	x	y	x	y	x	y	x	y			
0	100.000	100.800	0	100.900	107.700	0	50.000	100.000	0			0	50.000	95.800
1	50.000	100.800	1	107.900	108.700	1	150.000	100.000	1			1	150.000	95.800
2			2	150.000	108.700	2			2			2		
3			3			3			3			3		
4			4			4			4			4		
5			5			5			5			5		
6			6			6			6			6		
7			7			7			7			7		
8			8			8			8			8		
9			9			9			9			9		
10			10			10			10			10		

**Sovraccarichi**

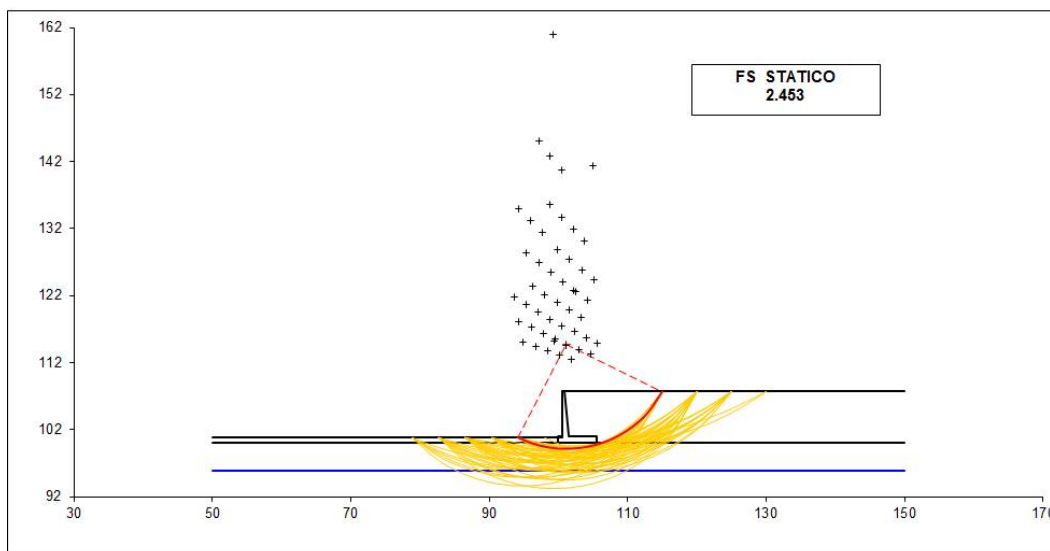
	<input type="checkbox"/>	$x_{in}$	$q_{in}$	$x_{fin}$	$q_{fin}$	% sisma
sovraccarico 1	<input checked="" type="checkbox"/>	103.900	0	106.500	0	20%
sovraccarico 2	<input type="checkbox"/>					



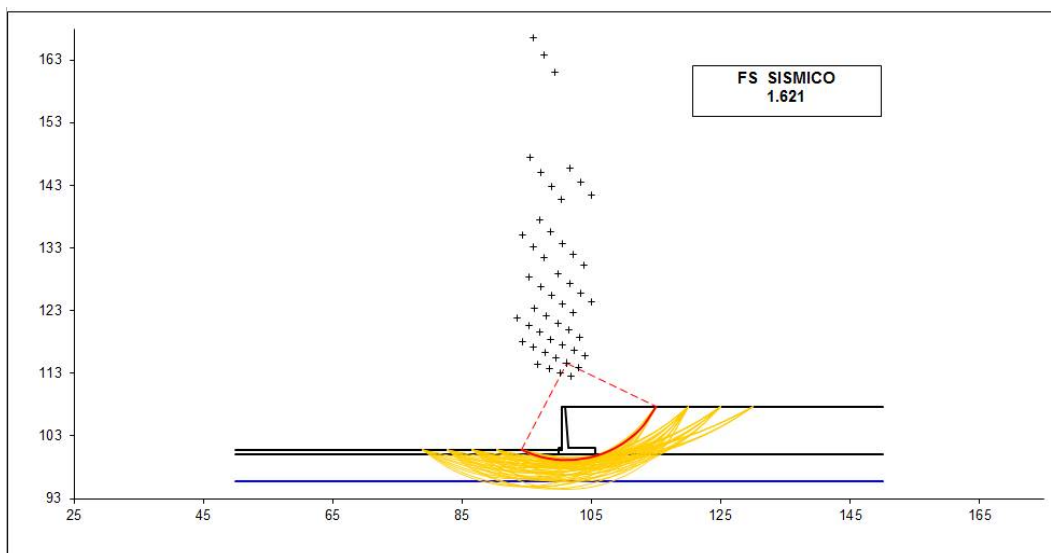
#strisce
30

# Superfici Calcolate	FS Bishop	
	146	STATICO
	SISMICO	1.621

### Condizioni statiche



## Condizioni sismiche



## 12.4 VERIFICHE STRUTTURALI

### 12.4.1 CALCOLO DELLE SOLLECITAZIONI

#### Reazione del terreno

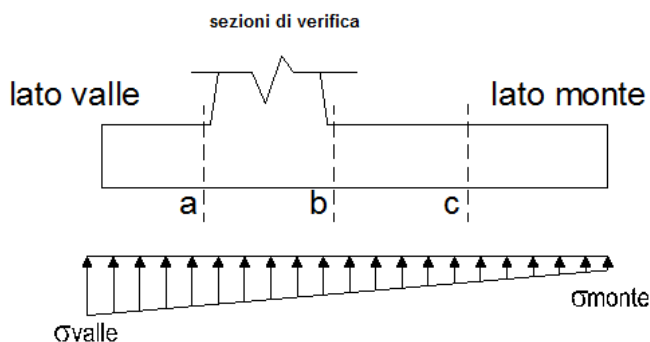
$$\sigma_{valle} = N / A + M / W_{gg}$$

$$\sigma_{monte} = N / A - M / W_{gg}$$

$$A = 1.0 \cdot B = 5.50 \quad (m^2)$$

$$W_{gg} = 1.0 \cdot B^2 / 6 = 5.04 \quad (m^3)$$

caso	N	M	$\sigma_{valle}$	$\sigma_{monte}$
	[kN]	[kNm]	[kN/m <sup>2</sup> ]	[kN/m <sup>2</sup> ]
statico	894.98	581.51	278.07	47.38
	894.98	581.51	278.07	47.38
sisma+	911.51	678.26	300.26	31.20
	911.51	678.26	300.26	31.20
sisma-	863.93	657.85	287.56	26.60
	863.93	657.85	287.56	26.60



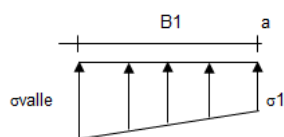
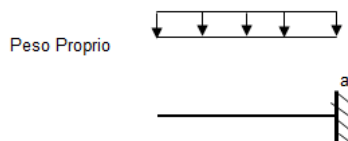
#### Mensola Lato Valle

Peso Proprio. PP = 25.00 (kN/m)

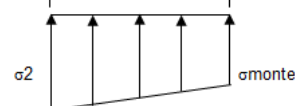
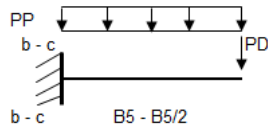
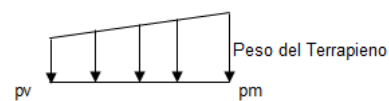
$$M_a = \sigma_1 \cdot B^2 / 2 + (\sigma_{valle} - \sigma_1) \cdot B^2 / 3 - PP \cdot B^2 / 2 \cdot (1 \pm kv)$$

$$V_a = \sigma_1 \cdot B + (\sigma_{valle} - \sigma_1) \cdot B / 2 - PP \cdot B \cdot (1 \pm kv)$$

caso	$\sigma_{valle}$	$\sigma_1$	$M_a$	$V_a$
	[kN/m <sup>2</sup> ]	[kN/m <sup>2</sup> ]	[kNm]	[kN]
statico	278.07	257.09	30.76	121.29
	278.07	257.09	30.76	121.29
sisma+	300.26	275.80	33.30	137.29
	300.26	275.80	33.39	137.29
sisma-	287.56	263.84	31.92	130.94
	287.56	263.84	31.83	130.94



Stv+Stq



#### Mensola Lato Monte

PP = 25.00 (kN/m<sup>2</sup>)

PD = 0.00 (kN/m)

peso proprio soletta fondazione  
peso proprio dente

	Nmin	N max stat	N max sism	
pm	142.71	142.71	142.71	(kN/m <sup>2</sup> )
pvb	129.24	129.24	129.24	(kN/m <sup>2</sup> )
pvc	135.98	135.98	135.98	(kN/m <sup>2</sup> )

$$M_b = (\sigma_{monte} - (p_{vb} + PP) \cdot (1 \pm kv)) \cdot B^2 / 2 + (\sigma_2 - \sigma_{monte}) \cdot B^2 / 6 - (p_m - p_{vb}) \cdot (1 \pm kv) \cdot B^2 / 3 + (Stv + Sqv) \cdot B^2 \cdot PD \cdot (1 \pm kv) \cdot (B_5 - Bd / 2) - PD \cdot kh \cdot (H_d + H_2 / 2) + M_{sp} + Sp \cdot H_2 / 2$$

$$M_c = (\sigma_{monte} - (p_{vc} + PP) \cdot (1 \pm kv)) \cdot (B_5 / 2)^2 / 2 + (\sigma_2 - \sigma_{monte}) \cdot (B_5 / 2)^2 / 6 - (p_m - p_{vc}) \cdot (1 \pm kv) \cdot (B_5 / 2)^2 / 3 + (Stv + Sqv) \cdot (B_5 / 2) \cdot PD \cdot (1 \pm kv) \cdot (B_5 / 2 - Bd / 2) - PD \cdot kh \cdot (H_d + H_2 / 2) + M_{sp} + Sp \cdot H_2 / 2$$

$$V_b = (\sigma_{monte} - (p_{vb} + PP) \cdot (1 \pm kv)) \cdot B_5 + (\sigma_2 - \sigma_{monte}) \cdot B_5 / 2 - (p_m - p_{vb}) \cdot (1 \pm kv) \cdot B_5 / 2 - (Stv + Sqv) \cdot PD \cdot (1 \pm kv)$$

$$V_c = (\sigma_{monte} - (p_{vc} + PP) \cdot (1 \pm kv)) \cdot (B_5 / 2) + (\sigma_2 - \sigma_{monte}) \cdot (B_5 / 2) - (p_m - p_{vc}) \cdot (1 \pm kv) \cdot (B_5 / 2) - (Stv + Sqv) \cdot PD \cdot (1 \pm kv)$$

caso	$\sigma_{monte}$ [kN/m <sup>2</sup> ]	$\sigma_{2b}$ [kN/m <sup>2</sup> ]	Mb [kNm]	Vb [kN]	$\sigma_{2c}$ [kN/m <sup>2</sup> ]	Mc [kNm]	Vc [kN]
statico	47.38	215.99	-700.15	-172.05	131.69	-290.91	-206.69
	47.38	215.99	-700.15	-172.05	131.69	-290.91	-206.69
sisma+	31.20	227.86	-766.39	-192.11	129.53	-310.86	-225.90
	31.20	227.86	-766.39	-192.11	129.53	-310.86	-225.90
sisma-	26.60	217.34	-739.09	-185.22	121.97	-299.55	-218.00
	26.60	217.34	-739.09	-185.22	121.97	-299.55	-218.00

**CALCOLO SOLLECITAZIONI PARAMENTO VERTICALE DEL MURO**

**Azioni sulla parete e Sezioni di Calcolo**

$$M_{t \text{ stat}} = \frac{1}{2} K_{a_{orizz}} \cdot \gamma \cdot (1 \pm kv) \cdot h^2 \cdot h/3$$

$$M_{t \text{ sism}} = \frac{1}{2} \cdot \gamma \cdot (K_{a_{orizz}} \cdot (1 \pm kv) - K_{a_{orizz}}) \cdot h^2 \cdot h/2 \quad o \cdot h/3$$

$$M_q = \frac{1}{2} K_{a_{orizz}} \cdot q \cdot h^2$$

$$M_{ext} = m + P \cdot h$$

$$M_{inerzia} = \Sigma P m_i \cdot b_i \cdot kh$$

$$N_{ext} = v$$

$$N_{pp+inerzia} = \Sigma P m_i \cdot (1 \pm kv)$$

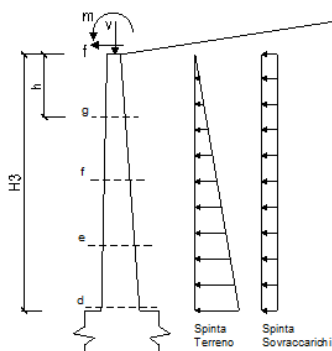
$$V_{t \text{ stat}} = \frac{1}{2} K_{a_{orizz}} \cdot \gamma \cdot (1 \pm kv) \cdot h^2$$

$$V_{t \text{ sism}} = \frac{1}{2} \cdot \gamma \cdot (K_{a_{orizz}} \cdot (1 \pm kv) - K_{a_{orizz}}) \cdot h^2$$

$$V_q = K_{a_{orizz}} \cdot q \cdot h$$

$$V_{ext} = f$$

$$V_{inerzia} = \Sigma P m_i \cdot kh$$



**condizione statica**

sezione	h [m]	Mt [kNm/m]	Mq [kNm/m]	M <sub>ext</sub> [kNm/m]	M <sub>tot</sub> [kNm/m]	N <sub>ext</sub> [kN/m]	N <sub>pp</sub> [kN/m]	N <sub>tot</sub> [kN/m]
d-d	6.70	426.18	0.00	0.00	426.18	3.50	115.58	119.08
e-e	5.03	179.79	0.00	0.00	179.79	3.50	77.57	81.07
f-f	3.35	53.27	0.00	0.00	53.27	3.50	45.64	49.14
g-g	1.68	6.66	0.00	0.00	6.66	3.50	19.79	23.29

sezione	h [m]	Vt [kN/m]	Vq [kN/m]	V <sub>ext</sub> [kN/m]	V <sub>tot</sub> [kN/m]
d-d	6.70	190.83	0.00	0.00	190.83
e-e	5.03	107.34	0.00	0.00	107.34
f-f	3.35	47.71	0.00	0.00	47.71
g-g	1.68	11.93	0.00	0.00	11.93

**condizione sismica +**

sezione	h [m]	M <sub>t stat</sub> [kNm/m]	M <sub>t sism</sub> [kNm/m]	Mq [kNm/m]	M <sub>ext</sub> [kNm/m]	M <sub>inerzia</sub> [kNm/m]	M <sub>tot</sub> [kNm/m]	N <sub>ext</sub> [kN/m]	N <sub>pp+inerzia</sub> [kN/m]	N <sub>tot</sub> [kN/m]
d-d	6.70	327.83	50.91	0.00	0.00	18.03	396.77	3.50	118.70	122.20
e-e	5.03	138.30	21.48	0.00	0.00	9.31	169.10	3.50	79.67	83.17
f-f	3.35	40.98	6.36	0.00	0.00	3.77	51.12	3.50	46.88	50.38
g-g	1.68	5.12	0.80	0.00	0.00	0.85	6.77	3.50	20.32	23.82

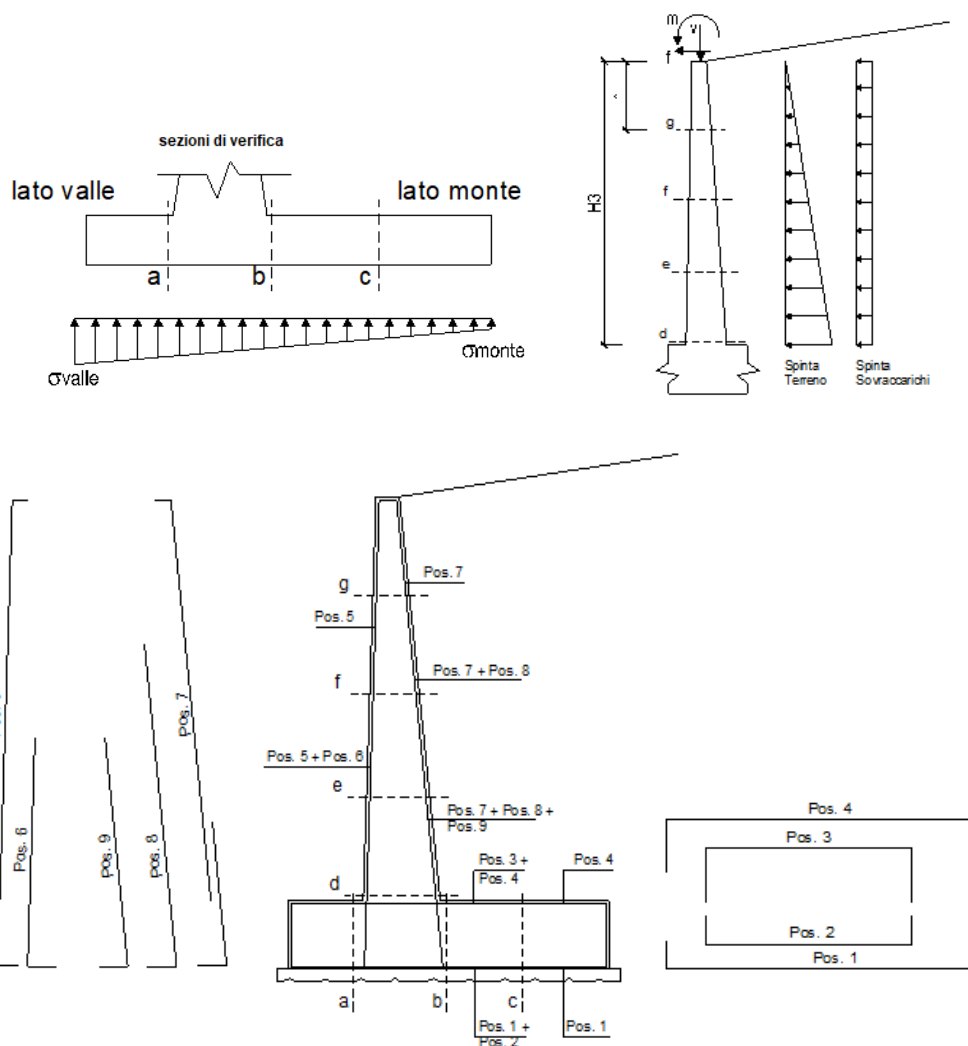
sezione	h [m]	V <sub>t stat</sub> [kN/m]	V <sub>t sism</sub> [kN/m]	Vq [kN/m]	V <sub>ext</sub> [kN/m]	V <sub>inerzia</sub> [kN/m]	V <sub>tot</sub> [kN/m]
d-d	6.70	146.79	22.80	0.00	0.00	6.26	175.84
e-e	5.03	82.57	12.82	0.00	0.00	4.20	99.59
f-f	3.35	36.70	5.70	0.00	0.00	2.47	44.87
g-g	1.68	9.17	1.42	0.00	0.00	1.07	11.67

**condizione sismica -**

sezione	h [m]	M <sub>t stat</sub> [kNm/m]	M <sub>t sism</sub> [kNm/m]	Mq [kNm/m]	M <sub>ext</sub> [kNm/m]	M <sub>inerzia</sub> [kNm/m]	M <sub>tot</sub> [kNm/m]	N <sub>ext</sub> [kN/m]	N <sub>pp+inerzia</sub> [kN/m]	N <sub>tot</sub> [kN/m]
d-d	6.70	327.83	33.06	0.00	0.00	18.03	378.92	3.50	112.45	115.95
e-e	5.03	138.30	13.95	0.00	0.00	9.31	161.57	3.50	75.47	78.97
f-f	3.35	40.98	4.13	0.00	0.00	3.77	48.88	3.50	44.41	47.91
g-g	1.68	5.12	0.52	0.00	0.00	0.85	6.49	3.50	19.25	22.75

sezione	h [m]	V <sub>t stat</sub> [kN/m]	V <sub>t sism</sub> [kN/m]	Vq [kN/m]	V <sub>ext</sub> [kN/m]	V <sub>inerzia</sub> [kN/m]	V <sub>tot</sub> [kN/m]
d-d	6.70	146.79	14.81	0.00	0.00	6.26	167.85
e-e	5.03	82.57	8.33	0.00	0.00	4.20	95.10
f-f	3.35	36.70	3.70	0.00	0.00	2.47	42.87
g-g	1.68	9.17	0.93	0.00	0.00	1.07	11.17

## 12.4.2 VERIFICHE SLU



### Armatura minima

L'armatura minima principale in fondazione deve essere in percentuale non inferiore allo 0.20% dell'area di conglomerato.

L'armatura minima principale presente in zona tesa deve essere in percentuale non inferiore allo 0.15% dell'area di conglomerato per l'intera lunghezza.

L'armatura secondaria, ortogonale a quella principale, deve essere pari al massimo delle seguenti percentuali:

- 0.10% dell'area di conglomerato in entrambi i lembi;
- 20% dell'armatura principale.

Muro  $h = 6,70m$  su fondazione diretta

**ARMATURE**

pos	n°/ml	$\phi$	II strato	pos	n°/ml	$\phi$	II strato
1	10.0	20		5	10.0	20	
2	0.0	0	<input type="checkbox"/>	6	0.0	0	<input type="checkbox"/>
3	0.0	0	<input type="checkbox"/>	7	10.0	24	
4	10.0	24		8	0.0	0	<input type="checkbox"/>
				9	0.0	0	<input type="checkbox"/>

Pertanto l'armatura secondaria sarà pari a:

sez a – a:  $\phi 12/20cm$  (ripartitori in fondazione e in elevazione);

sez b – b:  $\phi 12/20cm$  (ripartitori in fondazione);

sez c – c:  $\phi 12/20cm$  (ripartitori in fondazione);

sez d – d:  $\phi 12/20cm$  (ripartitori in fondazione);

sez e – e:  $\phi 12/20cm$  (ripartitori in fondazione);

sez f – f:  $\phi 12/20cm$  (ripartitori in fondazione);

sez g – g:  $\phi 12/20cm$  (ripartitori in fondazione);

Sez.	M	N	h	Af	A'f	Mu
(-)	(kNm)	(kN)	(m)	(cm <sup>2</sup> )	(cm <sup>2</sup> )	(kNm)
a - a	33.39	0.00	1.00	31.42	45.24	1072.29
b - b	-766.39	0.00	1.00	45.24	31.42	1521.16
c - c	-310.86	0.00	1.00	45.24	31.42	1521.16
d - d	426.18	119.08	0.98	45.24	31.42	1533.65
e - e	179.79	81.07	0.84	45.24	31.42	1255.82
f - f	53.27	49.14	0.69	45.24	31.42	985.05
g - g	6.77	23.82	0.55	45.24	31.42	720.12

(n.b.: M+ tende le fibre di intradosso, M- tende le fibre di estradosso)

Sez.	V <sub>Ed</sub>	h	V <sub>rd</sub>	$\sigma$ staffe	i orizz.	i vert.	$\theta$	V <sub>Rsd</sub>	
(-)	(kN)	(m)	(kN)	(mm)	(cm)	(cm)	(°)	(kN)	
a - a	137.29	1.00	358.02	12	20	20	21.8	2275.28	Armatura a taglio non necessaria
b - b	192.11	1.00	404.29	12	20	20	21.8	2275.28	Armatura a taglio non necessaria
c - c	225.90	1.00	404.29	12	20	20	21.8	2275.28	Armatura a taglio non necessaria
d - d	190.83	0.98	416.08	12	20	20	21.8	2225.50	Armatura a taglio non necessaria
e - e	107.34	0.84	376.76	12	20	20	21.8	1864.54	Armatura a taglio non necessaria
f - f	47.71	0.69	335.68	12	20	20	21.8	1503.58	Armatura a taglio non necessaria
g - g	11.93	0.55	291.91	12	20	20	21.8	1142.62	Armatura a taglio non necessaria

### 12.4.3 VERIFICHE SLE TENSIONE

#### Condizione Statica

Sez.	M	N	h	Af	A'f	$\sigma_c$	$\sigma_f$
(-)	(kNm)	(kN)	(m)	(cm <sup>2</sup> )	(cm <sup>2</sup> )	(N/mm <sup>2</sup> )	(N/mm <sup>2</sup> )
a - a	26.58	0.00	1.00	31.42	45.24	0.21	10.10
b - b	-530.84	0.00	1.00	45.24	31.42	3.89	142.10
c - c	-219.67	0.00	1.00	45.24	31.42	1.61	58.80
d - d	327.83	119.08	0.98	45.24	31.42	2.59	77.91
e - e	138.30	81.07	0.84	45.24	31.42	1.47	37.58
f - f	40.98	49.14	0.69	45.24	31.42	0.63	12.14
g - g	5.12	23.29	0.55	45.24	31.42	0.13	0.78

#### Condizione Sismica

Sez.	M	N	h	Af	A'f	$\sigma_c$	$\sigma_f$
(-)	(kNm)	(kN)	(m)	(cm <sup>2</sup> )	(cm <sup>2</sup> )	(N/mm <sup>2</sup> )	(N/mm <sup>2</sup> )
a - a	33.30	0.00	1.00	31.42	45.24	0.26	12.66
b - b	-766.39	0.00	1.00	45.24	31.42	5.62	205.15
c - c	-310.86	0.00	1.00	45.24	31.42	2.28	83.21
d - d	396.77	115.95	0.98	45.24	31.42	3.11	97.07
e - e	169.10	78.97	0.84	45.24	31.42	1.78	47.92
f - f	51.12	47.91	0.69	45.24	31.42	0.78	16.42
g - g	6.77	22.75	0.55	45.24	31.42	0.17	1.62

(n.b.: M+ tende le fibre di intradosso, M- tende le fibre di estradosso)

#### 12.4.4 VERIFICHE SLE FESSURAZIONE

##### condizione Frequente

Sez.	M	N	h	Af	A'f	$\sigma_c$	$\sigma_f$	wk	w <sub>amm</sub>
(-)	(kNm)	(kN)	(m)	(cm <sup>2</sup> )	(cm <sup>2</sup> )	(N/mm <sup>2</sup> )	(N/mm <sup>2</sup> )	(mm)	(mm)
a - a	26.58	0.00	1.00	31.42	45.24	0.21	10.10	0.014	0.200
b - b	-530.84	0.00	1.00	45.24	31.42	3.89	142.10	0.181	0.200
c - c	-219.67	0.00	1.00	45.24	31.42	1.61	58.80	0.075	0.200
d - d	327.83	119.08	0.98	45.24	31.42	2.59	77.91	0.099	0.200
e - e	138.30	81.07	0.84	45.24	31.42	1.47	37.58	0.045	0.200
f - f	40.98	49.14	0.69	45.24	31.42	0.63	12.14	0.013	0.200
g - g	5.12	23.29	0.55	45.24	31.42	0.13	0.78	0.001	0.200

(n.b.: M+ tende le fibre di intradosso, M- tende le fibre di estradosso)

##### condizione Quasi Permanente

Sez.	M	N	h	Af	A'f	$\sigma_c$	$\sigma_f$	wk	w <sub>amm</sub>
(-)	(kNm)	(kN)	(m)	(cm <sup>2</sup> )	(cm <sup>2</sup> )	(N/mm <sup>2</sup> )	(N/mm <sup>2</sup> )	(mm)	(mm)
a - a	26.58	0.00	1.00	31.42	45.24	0.21	10.10	0.014	0.200
b - b	-530.84	0.00	1.00	45.24	31.42	3.89	142.10	0.181	0.200
c - c	-219.67	0.00	1.00	45.24	31.42	1.61	58.80	0.075	0.200
d - d	327.83	119.08	0.98	45.24	31.42	2.59	77.91	0.099	0.200
e - e	138.30	81.07	0.84	45.24	31.42	1.47	37.58	0.045	0.200
f - f	40.98	49.14	0.69	45.24	31.42	0.63	12.14	0.013	0.200
g - g	5.12	23.29	0.55	45.24	31.42	0.13	0.78	0.001	0.200

(n.b.: M+ tende le fibre di intradosso, M- tende le fibre di estradosso)

 <b>ITALFERR</b> GRUPPO FERROVIE DELLO STATO ITALIANE	DIRETTRICE FERROVIARIA MESSINA – CATANIA – PALERMO NUOVO COLLEGAMENTO PALERMO – CATANIA TRATTA VALLELUNGA – CALTANISSETTA XIRBI (LOTTO 3b) OPERE DI SOSTEGNO PIAZZALI – LOTTO 3B					
	PT56: MURO DI CONTRORIPA MU96B RELAZIONE DI CALCOLO	COMMESSA RS3T	LOTTO 30 D 78	CODIFICA CL	DOCUMENTO MU96B0 001	REV. B

### 13. PROGETTO E VERIFICA DELLA PARATIA “TIPO 1”

#### 13.1 DATI DI INPUT

Sono di seguito descritte le principali caratteristiche dell'opera adottate nelle analisi.

Tipologia struttura di sostegno	pali $\phi 1000$ ad interasse 1.20 m
Altezza totale paratia	$H_{tot} = 13.2$ m (1.20 m cordolo + 12.0 m palo)
Altezza di scavo (da estradosso cordolo)	$H = 5.0$ m
Altezza di scavo di calcolo (DM 2018 § 6.5.2.2) (da estradosso cordolo)	$H_1 = 5.5$ m
Inclinazione del piano campagna a monte	$8.0^\circ$
Inclinazione del piano campagna a valle	$0.0^\circ$
Sovraccarichi permanenti a monte	$g = 0$ kPa
Sovraccarichi permanenti a valle	$g = 0$ kPa
Sovraccarichi accidentali a monte	$q = 0$ kPa
Sovraccarichi variabili a valle	$q = 0$ kPa

Tabella 13-1 - Caratteristiche geometriche della sezione di calcolo.

#### 13.2 FASI DI CALCOLO

Nel programma di calcolo Paratie Plus sono state implementate le seguenti fasi di calcolo:

- 1) Realizzazione della paratia
- 2) Scavo fino a quota di progetto
- 3) Applicazione azione sismica.

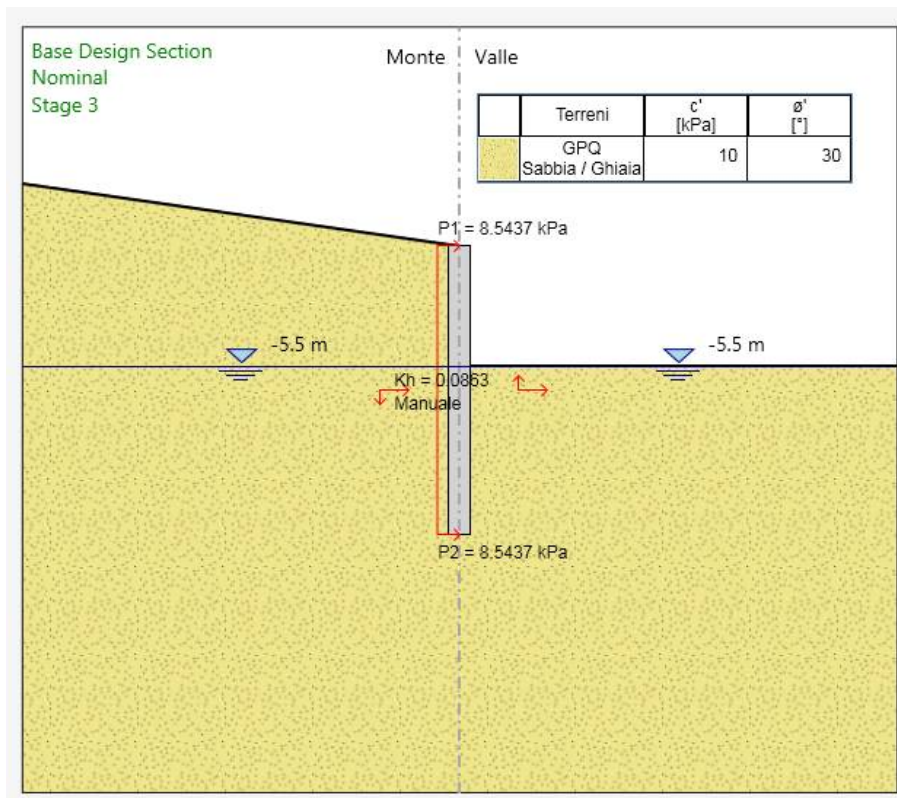


Figura 13-1 – Schema di calcolo paratia.

### 13.3 RISULTATI DELLE ANALISI

A seguire si riportano i diagrammi del momento flettente e del taglio ottenuti dalle analisi.

	Sollecitazioni a metro lineare			Sollecitazioni sul singolo palo		
	M (kNm/m)	z (Mmax) (m)	T (kN/m)	M (kNm)	N (kN)	T (kN)
SLE	125.17	7.4	-	150.20	145.23	-
SLU	162.72	7.4	70.13	195.26	145.23	84.16
SLV	406.63	8.2	127.29	487.96	160.93	152.75

Tabella 13-2 – Riepilogo sollecitazioni.

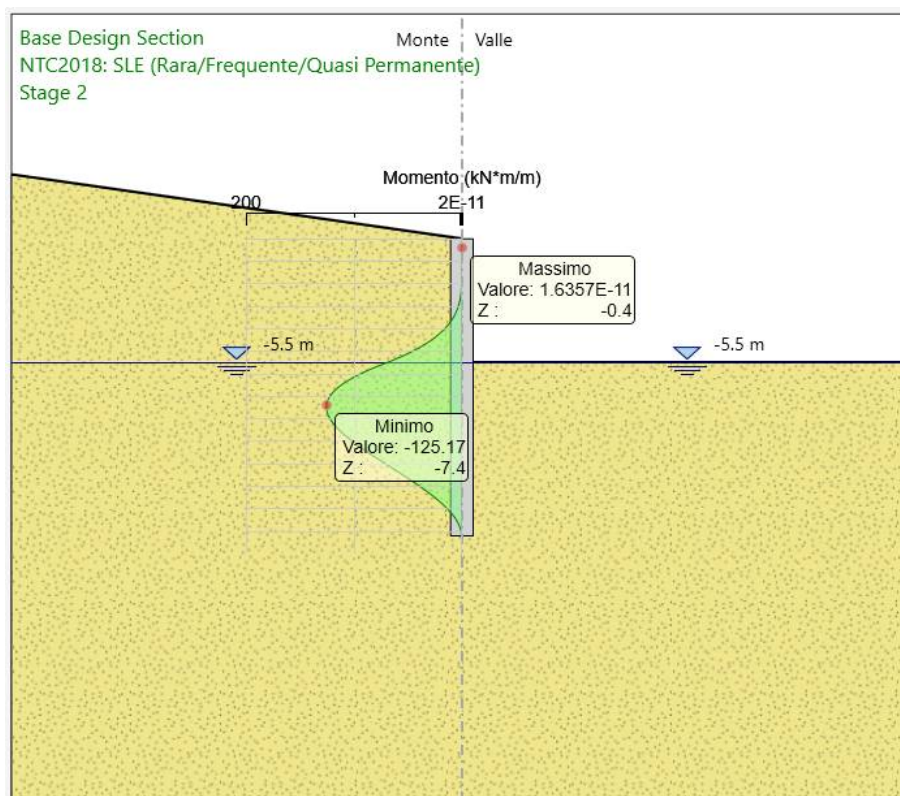


Figura 13-2 – Momento SLE.

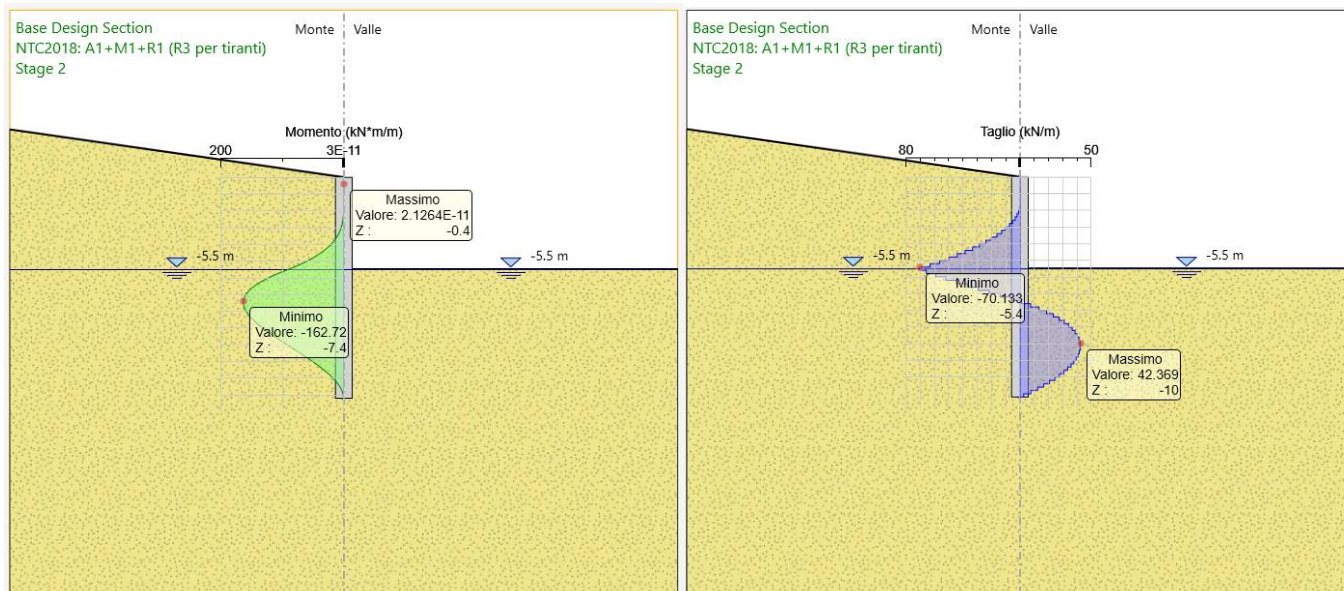


Figura 13-3 – Momento e taglio SLU.

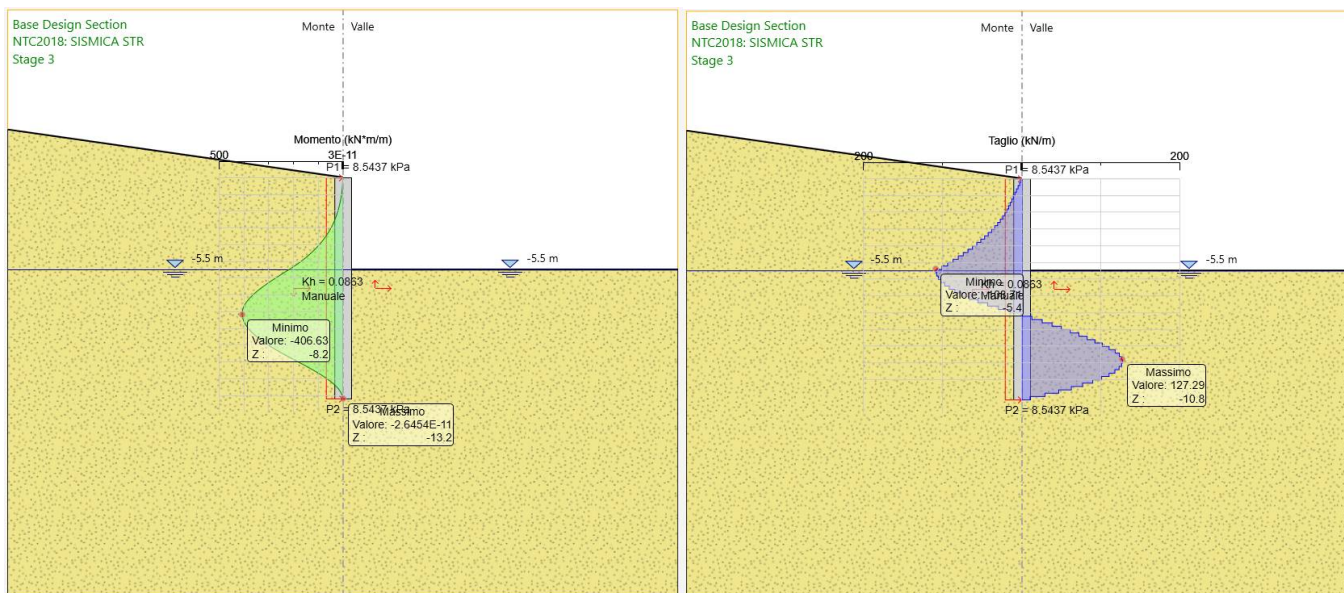


Figura 13-4 – Momento e taglio SLV.

 <b>ITALFERR</b> GRUPPO FERROVIE DELLO STATO ITALIANE	<b>DIRETTRICE FERROVIARIA MESSINA – CATANIA – PALERMO</b> <b>NUOVO COLLEGAMENTO PALERMO – CATANIA</b> <b>TRATTA VALLELUNGA – CALTANISSETTA XIRBI (LOTTO 3b)</b> <b>OPERE DI SOSTEGNO PIAZZALI – LOTTO 3B</b>					
	PT56: MURO DI CONTRORIPA MU96B RELAZIONE DI CALCOLO	COMMESSA RS3T	LOTTO 30 D 78	CODIFICA CL	DOCUMENTO MU96B0 001	REV. B

## 13.4 VERIFICHE GEOTECNICHE

### 13.4.1 VERIFICHE SLE

Nell'immagine che segue si riporta lo spostamento della paratia in fase 2.

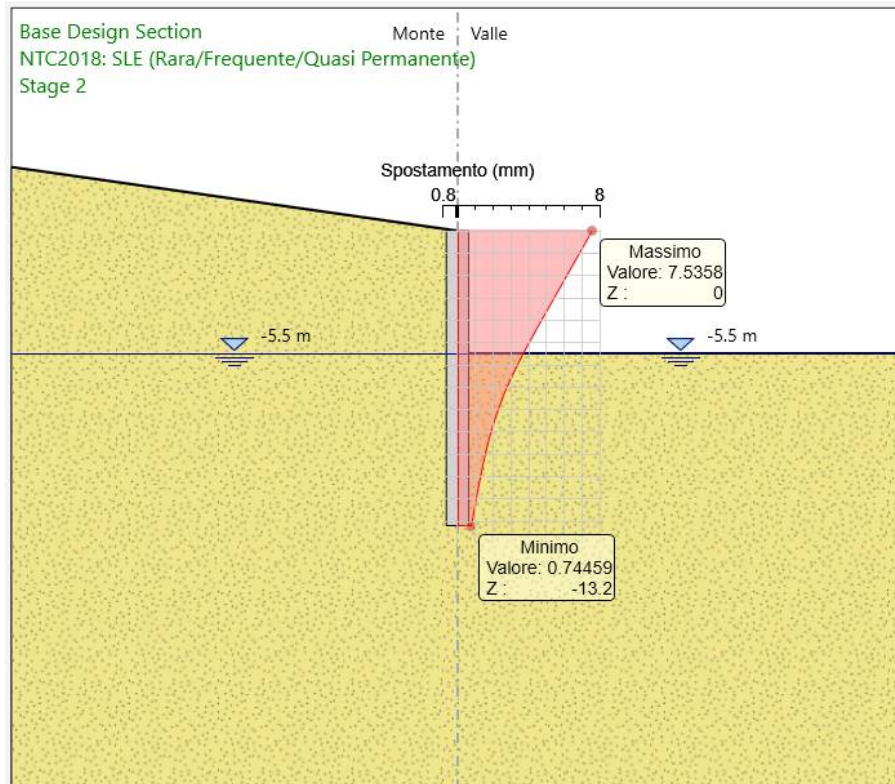
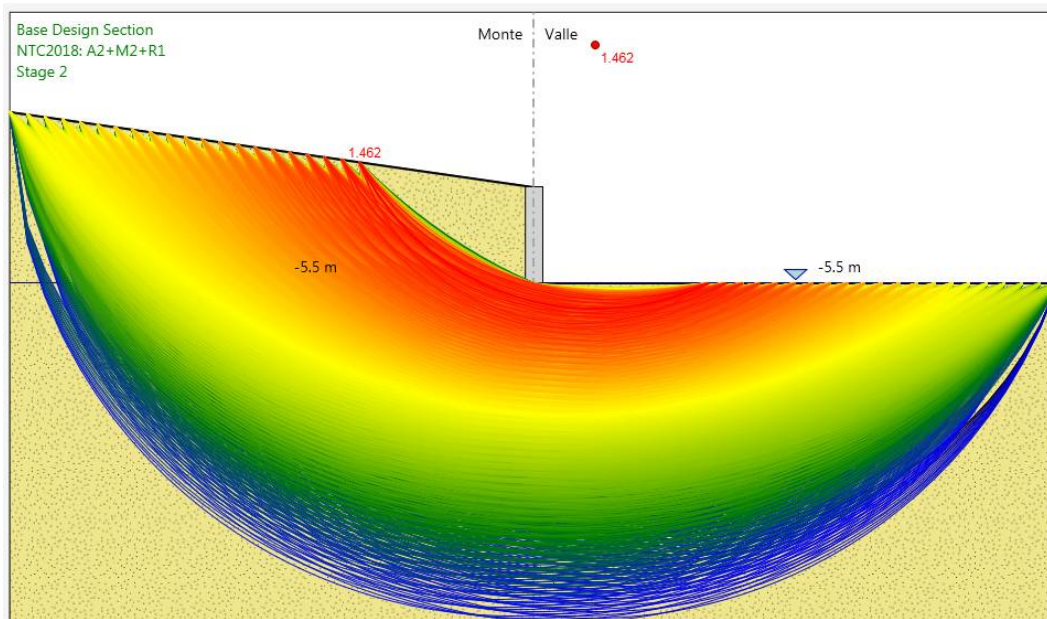


Figura 13-5 – Deformata dell'opera di sostegno nella configurazione di fondo scavo.

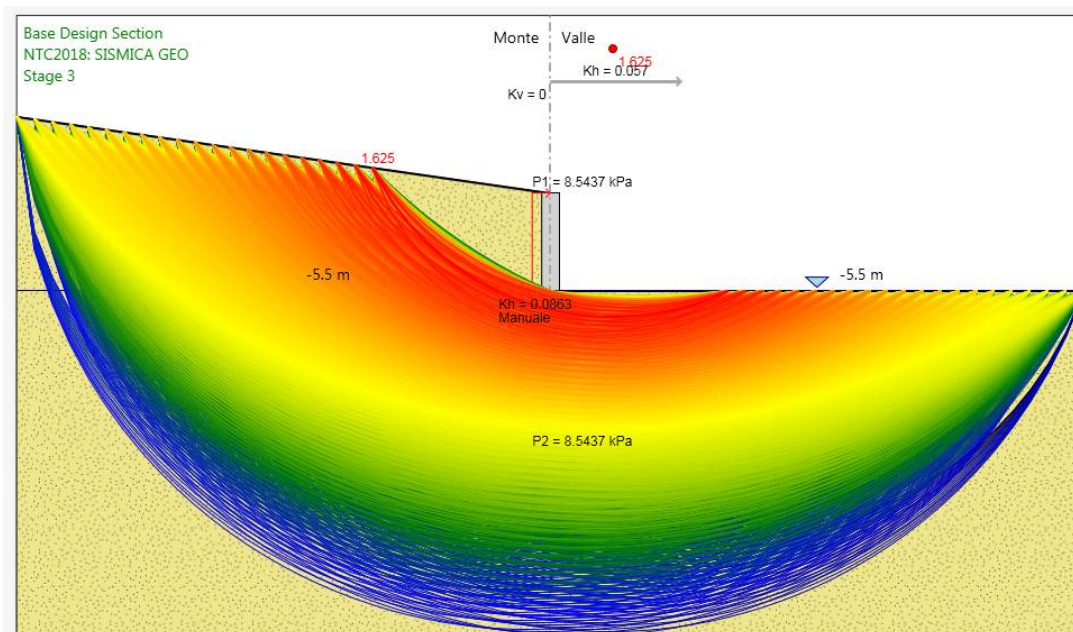
La deformata dell'opera rientra nei limiti progettuali stabiliti.

### 13.4.2 VERIFICA DI STABILITÀ GLOBALE

- Verifica stabilità globale del sistema opera – terreno in condizioni statiche



- Verifica stabilità globale del sistema opera – terreno in condizioni sismiche



## 13.5 VERIFICHE STRUTTURALI

### DATI GENERALI SEZIONE RETTANGOLARE DI PILASTRO IN C.A.

#### NOME SEZIONE: MU96

Descrizione Sezione:	
Metodo di calcolo resistenza:	Stati Limite Ultimi
Normativa di riferimento:	N.T.C.
Tipologia sezione:	Sezione predefinita di Palo
Forma della sezione:	Circolare
Percorso sollecitazione:	A Sforzo Norm. costante
Condizioni Ambientali:	Poco aggressive
Riferimento Sforzi assegnati:	Assi x,y principali d'inerzia
Riferimento alla sismicità:	Zona non sismica

#### CARATTERISTICHE DI RESISTENZA DEI MATERIALI IMPIEGATI

CALCESTRUZZO -	Classe:	C25/30	
	Resistenza compress. di progetto fcd:	141.60	daN/cm <sup>2</sup>
	Resistenza compress. ridotta fcd':	70.80	daN/cm <sup>2</sup>
	Deform. unitaria max resistenza ec2:	0.0020	
	Deformazione unitaria ultima ecu:	0.0035	
	Diagramma tensioni-deformaz.:	Parabola-Rettangolo	
	Modulo Elastico Normale Ec:	314750	daN/cm <sup>2</sup>
	Resis. media a trazione fctm:	25.60	daN/cm <sup>2</sup>
	Coeff.Omogen. S.L.E.:	15.00	
	Sc limite S.L.E. comb. Rare:	137.50	daN/cm <sup>2</sup>
ACCIAIO -	Tipo:	B450C	
	Resist. caratt. a snervamento fyk:	4500.0	daN/cm <sup>2</sup>
	Resist. caratt. a rottura ftk:	4500.0	daN/cm <sup>2</sup>
	Resist. a snerv. di progetto fyd:	3913.0	daN/cm <sup>2</sup>
	Resist. ultima di progetto ftd:	3913.0	daN/cm <sup>2</sup>
	Deform. ultima di progetto Epu:	0.068	
	Modulo Elastico Ef:	2000000	daN/cm <sup>2</sup>
	Diagramma tensioni-deformaz.:	Bilineare finito	
	Coeff. Aderenza istant. β1*β2:	1.00	
	Coeff. Aderenza differito β1*β2:	0.50	
Comb.Rare - Sf Limite:	3375.0	daN/cm <sup>2</sup>	

#### CARATTERISTICHE GEOMETRICHE ED ARMATURE SEZIONE

Diametro sezione:	100.0	cm
Barre circonferenza:	20Ø20	(62.8 cm <sup>2</sup> )
Coprif.(dal baric. barre):	9.0	cm

#### CALCOLO DI RESISTENZA - SFORZI PER OGNI COMBINAZIONE ASSEGNATA

N	Sforzo normale [daN] applicato nel baricentro (posit. se di compress.)			
Mx	Momento flettente [daNm] intorno all'asse x baric. della sezione con verso positivo se tale da comprimere il lembo sup. della sezione			
Vy	Taglio [daN] in direzione parallela all'asse y baric. della sezione			
MT	Momento torcente [daN m]			
N°Comb.	N	Mx	Vy	MT
1	14523	19526	8416	0
2	16093	48796	15275	0

#### COMB. RARE (S.L.E.) - SFORZI PER OGNI COMBINAZIONE ASSEGNATA

N	Sforzo normale [daN] applicato nel baricentro (positivo se di compress.)
Mx	Coppia [daNm] applicata all'asse x baricentrico (tra parentesi il Momento di fessurazione) con verso positivo se tale da comprimere il lembo superiore della sezione

PT56: MURO DI CONTRORIPA MU96B  
RELAZIONE DI CALCOLO

COMMESSA	LOTTO	CODIFICA	DOCUMENTO	REV.	FOGLIO
RS3T	30 D 78	CL	MU96B0 001	B	159 di 160

N°Comb.	N	Mx
1	14523	15020

## RISULTATI DEL CALCOLO

### Sezione verificata per tutte le combinazioni assegnate

Copriferro netto minimo barre longitudinali:	8.0	cm
Interferro netto minimo barre longitudinali:	10.8	cm
Copriferro netto minimo staffe:	7.0	cm

### VERIFICHE DI RESISTENZA IN PRESSO-TENSO FLESSIONE ALLO STATO LIMITE ULTIMO

Ver	S = combinazione verificata / N = combin. non verificata
N	Sforzo normale [daN] applicato nel Baricentro (positivo se di compressione)
Mx	Momento flettente assegnato [daNm] riferito all'asse x baricentrico
N Ult	Sforzo normale ultimo [daN] nella sezione (positivo se di compress.)
Mx rd	Momento flettente ultimo [daNm] riferito all'asse x baricentrico
Mis.Sic.	Misura sicurezza = rapporto vettoriale tra (N rd, Mx rd) e (N, Mx) Verifica positiva se tale rapporto risulta $\geq 1.000$
Yn	Ordinata [cm] dell'asse neutro alla massima resistenza nel sistema di rif. X,Y,O sez.
x/d	Rapp. di duttilità (travi e solette)[§ 4.1.1.1 NTC]: deve essere $< 0.45$
C.Rid.	Coeff. di riduz. momenti in travi continue [formula (4.1.1)NTC]
As Tesa	Area armature long. trave [cm <sup>2</sup> ] in zona tesa. (tra parentesi l'area minima di normativa)

N°Comb	Ver	N	Mx	N rd	Mx rd	Mis.Sic.	Yn	x/d	C.Rid.	As Tesa
1	S	14523	19526	14552	97379	4.987	27.8	0.24	0.74	47.1 (15.7)
2	S	16093	48796	16116	97862	2.006	27.7	0.24	0.75	47.1 (15.7)

### DEFORMAZIONI UNITARIE ALLO STATO LIMITE ULTIMO

ec max Deform. unit. massima del conglomerato a compressione

Yc max	Ordinata in cm della fibra corrip. a ec max (sistema rif. X,Y,O sez.)
es min	Deform. unit. minima nell'acciaio (negativa se di trazione)
Ys min	Ordinata in cm della barra corrip. a es min (sistema rif. X,Y,O sez.)
es max	Deform. unit. massima nell'acciaio (positiva se di compressione)
Ys max	Ordinata in cm della barra corrip. a es max (sistema rif. X,Y,O sez.)

N°Comb	ec max	Yc max	es min	Ys min	es max	Ys max
1	0.00350	50.0	0.00208	41.0	-0.01086	-41.0
2	0.00350	50.0	0.00209	41.0	-0.01079	-41.0

### ARMATURE A TAGLIO E/O TORSIONE DI INVILUPPO PER LE COMBINAZIONI ASSEGNATE

Diametro staffe:	10	mm	
Passo staffe:	20.0	cm	[Passo massimo di normativa = 24.0 cm]
N.Bracci staffe:	2		
Area staffe/m :	7.9	cm <sup>2</sup> /m	[Area Staffe Minima NTC = 2.4 cm <sup>2</sup> /m]

### VERIFICHE A TAGLIO

Ver	S = comb.verificata a taglio-tors./ N = comb. non verificata
Ved	Taglio agente [daN] uguale al taglio Vy di comb.
Vrd	Taglio resistente [daN] in assenza di staffe [formula (4.1.23)NTC]
Vcd	Taglio compressione resistente [daN] lato conglomerato [formula (4.1.28)NTC]
Vvd	Taglio trazione resistente [daN] assorbito dalle staffe [formula (4.1.27)NTC]
bw d	Larghezza minima [cm] sezione misurata parallelam. all'asse neutro   Altezza utile sezione
Ctg	Cotangente dell'angolo di inclinazione dei puntoni di conglomerato
Acw	Coefficiente maggiorativo della resistenza a taglio per compressione
Ast	Area staffe/metro strettamente necessaria per taglio e torsione [cm <sup>2</sup> /m]

N°Comb	Ver	Ved	Vrd	Vcd	Vvd	bw d	Ctg	Acw	Ast
1	S	8416	0	214868	22381	82.3  81.8	1.000	1.013	3.0
2	S	15275	0	215028	22367	82.3  81.8	1.000	1.014	5.4

### COMBINAZIONI RARE IN ESERCIZIO - VERIFICA MASSIME TENSIONI NORMALI

Ver	S = combinazione verificata / N = combin. non verificata
-----	--

PT56: MURO DI CONTRORIPA MU96B  
RELAZIONE DI CALCOLO

COMMESSA	LOTTO	CODIFICA	DOCUMENTO	REV.	FOGLIO
RS3T	30 D 78	CL	MU96B0 001	B	160 di 160

Sc max Massima tensione di compress.(+) nel conglom. in fase fessurata [(daN/cm<sup>2</sup>)  
Yc max Ordinata in cm della fibra corrisp. a Sc max (sistema rif. X,Y,O)  
Sc min Minima tensione di compress.(+) nel conglom. in fase fessurata [(daN/cm<sup>2</sup>)  
Yc min Ordinata in cm della fibra corrisp. a Sc min (sistema rif. X,Y,O)  
Sf min Minima tensione di trazione (-) nell'acciaio [daN/cm<sup>2</sup>)  
Ys min Ordinata in cm della barra corrisp. a Sf min (sistema rif. X,Y,O)  
Dw Eff. Spessore di conglomerato [cm] in zona tesa considerata aderente alle barre  
Ac eff. Area di congl. [cm<sup>2</sup>] in zona tesa aderente alle barre (verifica fess.)  
As eff. Area Barre tese di acciaio [cm<sup>2</sup>] ricadente nell'area efficace(verifica fess.)

N°Comb	Ver	Sc max	Yc max	Sc min	Yc min	Sf min	Ys min	Dw Eff.	Ac Eff.	As Eff.	D barre
1	S	25.7	-50.0	0.0	50.0	-635	41.0	22.5	2598	28.3	----

#### COMBINAZIONI RARE IN ESERCIZIO - VERIFICA APERTURA FESSURE (NTC/EC2)

Ver Esito verifica  
e1 Minima deformazione unitaria (trazione: segno -) nel calcestruzzo in sez. fessurata  
e2 Massima deformazione unitaria (compress.: segno +) nel calcestruzzo in sez. fessurata  
K2 = 0.5 per flessione;  $= (e1 + e2) / (2 * e2)$  in trazione eccentrica per la (7.13)EC2 e la (C4.1.11)NTC  
Kt fattore di durata del carico di cui alla (7.9) dell'EC2  
e sm Deformazione media acciaio tra le fessure al netto di quella del cls. Tra parentesi il valore minimo = 0.6 Ss/Es  
srm Distanza massima in mm tra le fessure  
wk Apertura delle fessure in mm fornito dalla (7.8)EC2 e dalla (C4.1.7)NTC. Tra parentesi è indicato il valore limite.  
M fess. Momento di prima fessurazione [daNm]

N°Comb	Ver	e1	e2	e3	K2	Kt	e sm	srm	wk	M Fess.
1	S	-0.00037	0.00019		0.50	0.60	0.000190 (0.000190)	584	0.111 (0.20)	33371